



UNIVERSIDADE DE SÃO PAULO  
ESCOLA DE ENGENHARIA DE SÃO CARLOS  
DEPARTAMENTO DE ESTRUTURAS

**Análise Elasto-Plástica de  
Pórticos Planos Retangulares**

**Eng.<sup>o</sup> CESAR BALLAROTTI**

DEPARTAMENTO DE ESTRUTURAS  
ESCOLA DE ENGENHARIA DE SÃO CARLOS

**São Carlos, dezembro 1981**

UNIVERSIDADE DE SÃO PAULO  
ESCOLA DE ENGENHARIA DE SÃO CARLOS  
DEPARTAMENTO DE ESTRUTURAS

ANÁLISE ELASTO-PLÁSTICA DE  
PÓRTICOS PLANOS RETANGULARES

ENG. CESAR BALLAROTTI

Dissertação apresentada à Escola de Engenharia de São Carlos, da Universidade de São Paulo, como parte dos requisitos para a obtenção do título de "Mestre em Engenharia de Estruturas".

Orientador:

PROFA. DRA. HELENA M.C. CARMO ANTUNES

DEPARTAMENTO DE ESTRUTURAS  
ESCOLA DE ENGENHARIA DE SÃO CARLOS

Comissão Examinadora:

Profa. Dra. Helena M.C. Carmo Antunes

Prof. Dr. Ilio Montanari

Prof. Dr. Ronaldo Garcia de Figueiredo

São Carlos, Dezembro de 1981

À Wanda e ao Maurício.  
Aos meus pais e irmãs.

## AGRADECIMENTOS

À Profa. Dra. Helena M.C. Carmo Antunes pela eficiente e constante orientação prestada.

Ao Reitor José C. Pinotti, da Fundação Universidade Estadual de Londrina, pelo apoio prestado para a realização deste trabalho.

À Coordenação de Aperfeiçoamento de Pessoal de Nível Superior (PICD-CAPES-FUEL) pela concessão de Bolsa de Estudo.

Ao Centro de Processamento de Dados da Escola de Engenharia de São Carlos e ao Núcleo de Processamento de Dados da Fundação Universidade Estadual de Londrina, pela utilização de seus equipamentos.

Aos funcionários do Departamento de Estruturas da Escola de Engenharia de São Carlos, em particular à Sra. Wilma Provinciali Vall pela primorosa datilografia deste trabalho, ao Sr. João Paulo Moretti e Sylvia Helena Morette pelos desenhos.

A todos, que de uma forma ou de outra, têm colaborado para o desenvolvimento deste trabalho.

## SINOPSE

Neste trabalho é feita a análise elasto-plástica de pórticos planos retangulares, constituídos só de vigas e pilares considerando-se a não linearidade física do material e geométrica da estrutura.

O material é considerado elasto-plástico ideal, sendo utilizado o conceito de articulação plástica (rótula plástica).

Foi desenvolvida e programada uma técnica numérica através da qual é feita a análise de pórticos pelo Processo dos Deslocamentos.

Como resultados das análises pode-se ter: os esforços solicitantes nas barras, as relações carga-deslocamentos, a posição e ordem de formação das rótulas plásticas, a carga última e a causa da instabilidade da estrutura em cada caso.

São considerados na análise o efeito dos deslocamentos laterais dos nós do pórtico (efeito P-Delta), a redução do momento de plastificação, a alteração da rigidez devido aos esforços axiais nos pilares e a reversão de rotação de rótulas plásticas.

O carregamento pode ser inteiramente ou parcialmente proporcional.

Foram desenvolvidos dois programas para Computador (IBM 1130 e HP 2100) que denominamos PRGMI e PRGMII. O PRGMI faz a análise considerando a não linearidade física e o PRGMII a não linearidade física e geométrica.

São feitas comparações com exemplos da literatura de resultados teóricos e experimentais.

## ABSTRACT

The aim of the present work is the elastic-plastic analysis of rectangular plane frames, made only of beams and columns, taking into account the geometrical non-linearity of the structure and physical non-linearity of the material.

The material is considered to be an ideal elasto-plastic one, using the concept of plastic hinge.

A numerical technique was developed and programmed, using the stiffness method, by which the analysis of frames is made.

As results from the analysis, it can be obtained, the internal forces in the members, load-displacement relations, position and sequence of appearing of plastic hinges, ultimate load and the cause of instability of the structure in each case.

The effect of the lateral nodal displacement (P-Delta effect), the reduction of moments in the plasticification, the change of stiffness caused by axial forces in the columns and strain reversal of plastic hinges are taken into account in this analysis.

The loading can be fully or partially proportional.

Two computer programs were developed (IBM 1130 and HP 2100), which were designated by PRGMI and PRGMII. The PRGMI makes the analysis, considering the physical non-linearity and the PRGMII considering the physical and geometrical non-linearity.

The results were compared with examples found in the technical literature, both experimental and theoretical ones.

## LISTA DE SÍMBOLOS

Esta seção contém uma lista de símbolos, os quais aparecem no texto. A menos de indicação em contrário, as unidades são indicadas em tonelada-centímetro. Os subscritos numéricos e os i, j, k e n indicam localização.

O prefixo Δ indica um incremento.

- A = área da seção transversal de uma barra;  
b = largura da "mesa" dos perfis - I;  
c = fator de propagação das funções de estabilidade<sup>(9)</sup>;  
D = deslocamento;  
 $D_f$  = deslocamento devido ao carregamento constante;  
 $D_v$  = deslocamento devido ao carregamento variável;  
 $\{D\}$  = vetor deslocamento;  
 $D_u$  = deslocamento no colapso;  
d = altura dos perfis-I;  
E = módulo de elasticidade;  
 $E_f$  = esforço devido ao carregamento constante, em coordenadas locais;  
 $E_v$  = esforço devido ao carregamento variável, em coordenadas locais;  
 $\{E\}$  = vetor de esforços;  
F = esforço axial numa barra;  
 $F_e = \pi^2 E J / L^2$  = carga crítica de Euler para uma barra bi-rotulada;  
 $F_y$  = esforço axial de escoamento de uma barra;  
h = altura de um andar do pórtico;  
i = extremidade esquerda ou superior de uma barra;

## LISTA DE SÍMBOLOS (continuação)

- J = momento de inércia da seção transversal de uma barra;
- j = extremidade direita e inferior de uma barra;
- k = nó (conexão de barras) esquerdo ou superior, correspondente a uma barra;
- [K] = matriz de rigidez da estrutura;
- [K'] = matriz de rigidez tangente da estrutura;
- $K_{ij}$  = um elemento da matriz de rigidez de uma barra;
- $[K_{ij}]^v$  = matriz de rigidez de uma viga;
- $[K_{ij}]^p$  = matriz de rigidez de um pilar;
- L = comprimento da barra;
- l = vão entre prumadas de pilares;
- M = momento fletor;
- $M_p$  = momento de plastificação de uma barra;
- $M_{pr}$  = momento de plastificação de uma barra, reduzido pelo efeito do esforço axial;
- $M_y$  = momento referente ao início de escoamento da seção;
- m = coeficiente de rigidez à translação, das funções de estabilidade<sup>(9)</sup>;
- n = nó direito ou inferior, correspondente a uma barra;
- $N_{nos}$  = número de nós do pórtico;
- $N_{tc}$  = número total de coordenadas do sistema estrutural;
- P = carga;
- $P_f$  = carga aplicada constante;
- $P_v$  = carga aplicada variável;

## LISTA DE SÍMBOLOS (continuação)

{ P }	= vetor de carga;
{ P <sub>f</sub> }	= vetor de carga constante;
{ P <sub>v</sub> }	= vetor de carga variável;
P <sub>u</sub>	= carga de colapso;
R	= rotação de rótula plástica;
r	= raio de giração;
S	= módulo de resistência;
S <sub>p</sub>	= módulo plástico de resistência;
s	= coeficiente de rigidez à rotação, das funções de estabilidade <sup>(9)</sup> ;
T	= trabalho virtual;
t <sub>f</sub>	= espessura da "mesa" dos perfis-I;
t <sub>w</sub>	= espessura da "alma" dos perfis-I;
V	= esforço cortante;
v	= ordenada da linha elástica;
W <sub>c</sub>	= fator de carga crítica elástica;
W <sub>f</sub>	= fator estimado da carga última;
ΔW <sub>i</sub>	= fator de carga da etapa "i";
ΔW <sub>p</sub>	= fator de carga predito em cada iteração;
W <sub>r</sub>	= fator de carga da análise rígido-plástica;
W <sub>t</sub>	= fator de carga acumulado e total da análise;
X	= eixo de referência horizontal da estrutura no plano do pórtico;
x	= eixo de referência axial da barra, no plano do pórtico;
Y	= eixo de referência vertical da estrutura no <u>pla</u> no do pórtico;

## LISTA DE SÍMBOLOS (Continuação)

- y = eixo de referência da barra, perpendicular a seu eixo, no plano do pórtico;
- z, z = eixos de referência da estrutura e das barras, normais ao plano do pórtico;
- $\alpha$  = fator de forma da seção transversal de barras, ( $S_p/S$ );
- $\beta$  =  $\pi/2 \sqrt{\rho}$  ;
- $\gamma$  =  $\pi/2 \sqrt{|\rho|}$  ;
- $\delta$  = deslocamento transversal relativo entre extremidades de uma barra i-j;
- $\epsilon$  = deformação (cm/cm);
- $\epsilon_y$  = deformação de escoamento (cm/cm);
- $\theta$  = deslocamento rotacional (radianos);
- $\phi$  = curvatura (radianos/cm);
- $\phi_y$  = curvatura correspondente ao escoamento (radianos/cm);
- $\rho$  =  $F/F_e$ ;
- $\sigma$  = tensão ( $tf/cm^2$ );
- $\sigma_y$  = tensão de escoamento ( $tf/cm^2$ ).

## Í N D I C E

1. INTRODUÇÃO .....	1
2. CONSIDERAÇÕES GERAIS .....	5
2.1 - Hipóteses gerais .....	6
2.2 - Colapso plástico .....	8
2.3 - Carregamento .....	10
3. ANÁLISE ELASTO-PLÁSTICA EM PRIMEIRA ORDEM .....	12
3.1 - Hipóteses e delineação da análise .....	12
3.2 - Matriz de rigidez da estrutura .....	16
3.3 - Vetores de carga .....	21
3.4 - Rotações das rótulas plásticas .....	23
3.5 - Alteração da rigidez da estrutura .....	26
4. PROGRAMA PARA ANÁLISE AUTOMÁTICA - PRGMI .....	27
4.1 - Sistemas de numeração .....	27
4.2 - Plastificação precoce .....	29
4.3 - Determinação dos fatores de carga .....	30
4.4 - Formação de rótulas plásticas .....	31
4.5 - Reversão de rotação de rótulas plásticas ....	31
4.6 - Relações carga-deslocamento e carga última ..	32
4.7 - Verificação do PRGMI .....	33
4.8 - Exemplos de verificação .....	34
4.8.1 - Exemplo número 1 .....	34
4.8.2 - Exemplo número 2 .....	40
4.8.3 - Exemplo número 3 .....	41
4.9 - Exemplos de Aplicação .....	43
5. ANÁLISE ELASTO-PLÁSTICA EM SEGUNDA ORDEM .....	48
5.1 - Preliminares .....	48
5.1.1 - Análise elástica .....	50
5.1.2 - Análise rígido-plástica .....	51

5.1.3 - Análise elasto-plástica em segunda ordem .....	52
5.2 - Formulação da análise .....	53
5.2.1 - Hipóteses e delineação da análise .	54
5.2.2 - Efeito do esforço axial na rigidez dos pilares .....	58
5.2.3 - Efeito do esforço axial no momento de plastificação .....	64
5.2.4 - Efeito P-Delta .....	66
 6. PROGRAMA PARA ANÁLISE AUTOMÁTICA - PRGMII .....	68
6.1 - Alteração da rigidez dos pilares .....	69
6.2 - Cálculo dos deslocamentos pelo método de Cholesky .....	70
6.3 - Convergência .....	72
6.4 - Relações carga-deslocamento e carga última.	73
6.5 - Verificação do PRGMII .....	74
6.6 - Exemplos de verificação .....	76
6.6.1 - Exemplo número 1 .....	76
6.6.2 - Exemplo número 2 .....	77
6.6.3 - Exemplo número 3 .....	78
6.6.4 - Exemplo número 4 .....	79
6.6.5 - Exemplo número 5 .....	80
6.6.6 - Exemplo número 6 .....	81
6.6.7 - Exemplo número 7 .....	82
6.7 - Exemplos de Aplicação .....	83
 7. CONCLUSÕES .....	86
 APÊNDICE I - PROGRAMA PRGMI .....	87
APÊNDICE II - PROGRAMA PRGMII .....	120
 BIBLIOGRAFIA .....	185

## 1. INTRODUÇÃO

Com a difusão de computadores eletrônicos e o de senvolvimento de técnicas matriciais, tem-se tornado viável desenvolver a análise de estruturas levando em conta efeitos diversos, na tentativa de reproduzir o seu comportamento real em qualquer nível de solicitação.

Muito esforço tem sido despendido na obtenção de relações carga-deslocamento de pórticos planos de muitos andares, utilizados como painéis de contraventamento de estruturas tridimensionais de edifícios, considerando o comportamento não elástico do material. A maior dificuldade no tratamento desse tipo de estrutura, levando em conta um comportamento elasto-plástico para o material e efeitos de segunda ordem, se prende ao extensivo trabalho numérico só praticável em programas apropriados para computador.

Fazendo-se uma retrospectiva, ver-se-á como, de certa forma, têm-se desenvolvido as análises de pórticos. O pesquisador Merchant<sup>(18)</sup> (1954) em suas primeiras investigações, formulou a carga de colapso de pórticos através do fator de carga  $W_f$ , sendo este uma função do fator de carga rígido-plástico  $W_r$ , do crítico elástico  $W_c$  e de um parâmetro corretivo. Horne<sup>(18)</sup> (1963) expôs uma relação aproxima da para a carga de colapso de pórticos, similar à usada por Rankine na determinação do colapso de pilares sob flexo-compressão. Moses<sup>(19)</sup> (1964) comprovou que tais resultados são geralmente próximos dos obtidos experimentalmente.

Majid e Anderson<sup>(4)</sup> (1968) propuseram uma análise elasto-plástica em segunda ordem, na qual é considerada a redução do momento de plastificação devido aos esforços axiais, e prevendo a formação progressiva de rótulas, simulâneas ou não. Ao ser iniciada essa análise, não são considerados os efeitos do esforço axial nas barras. Em cada etapa da análise são feitas iterações que visam ajustar os esforços axiais nas barras que, por sua vez, intervêm na rigidez e na redução do momento de plastificação das mesmas. O

determinante da matriz de rigidez é, então, calculado e a análise é finalizada quando o mesmo for negativo, indicando que a estrutura tornou-se instável. Este método, através dos exemplos analisados, demonstrou ser eficiente e viável para a análise de pórticos de muitos andares, os quais se encontram com frequência na prática.

Em 1972, McNamee e Lu<sup>(12)</sup> salientaram que, para que se obtivesse uma solução mais exata do comportamento não elástico de pórticos, o procedimento teórico empregado deveria possibilitar a determinação precisa da ordem de formação e localização das rótulas plásticas. Com o propósito de avaliar a carga de flambagem não-elástica de pórticos sob cargas gravitacionais, apresentou-se uma técnica na qual são consideradas pequenas cargas horizontais que podem representar o efeito das excentricidades iniciais, devidas às imperfeições de fabricação e montagem de estrutura. Como hipóteses básicas utilizadas na formulação, o equilíbrio é baseado na estrutura deslocada, são consideradas deformações só devidas à flexão, é empregada a teoria de pequenas deformações, não sendo considerada a reversão de rotação das rótulas plásticas e sendo impedidas a flambagem lateral e local. Os resultados obtidos por esta análise mostraram-se muito bons comparados com os experimentais, no que se refre à carga de flambagem.

Liapunov<sup>(5)</sup> (1973) desenvolveu uma técnica numérica para a análise elasto-plástica de pórticos planos, a qual aplicou para estudar as relações carga-deslocamento destes, projetados a partir de critérios práticos, como os de tensão admissível. Na formulação desta técnica, que é incremental-iterativa, são consideradas as seguintes hipóteses: o material é homogêneo e elasto-plástico ideal; as tensões resíduais oriundas do processo de fabricação, através de um modelo idealizado; o espalhamento da plastificação ao longo das barras; os efeitos dos deslocamentos dos nós, dentre eles, o efeito P-delta através da aplicação adicional de cargas externas horizontais. Entretanto, não são considerados a reversão de rotação de rótulas plásticas e o encruamento

do material. São consideradas cargas ao longo de vigas, sendo estas subdivididas em trechos para considerar a plastificação ao longo de seus eixos. Dos estudos realizados pode-se verificar que os efeitos de segunda ordem e a plastificação são os principais causadores da diminuição da rigidez lateral e que a consideração das tensões residuais e a variação de módulo de elasticidade não influencia significativamente a capacidade última de carga. Os pórticos analisados tornaram-se instáveis antes da formação do mecanismo.

Tranberg, Swannell e Meek<sup>(1)</sup> (1976) apresentaram um trabalho com o qual é avaliado o comportamento carga-deslocamento de pórticos. É considerado o conceito de rigidez tangente, o espalhamento da plastificação ao longo das barras, uma relação momento-curvatura idealizada, o encruamento do material e efeitos de segunda ordem, numa análise incremental-iterativa. Os resultados demonstraram a viabilidade do tratamento dos problemas de instabilidade de pórticos, considerando a plastificação e o encruamento.

Em 1977, Cheong-Siat-Moy, Ozer e Lu<sup>(16)</sup> procederam a determinação do comportamento de pórticos submetidos a cargas gravitacionais, com o propósito de investigar suas cargas últimas e seus modos de colapso. O comportamento não elástico de pórticos simétricos submetidos a cargas simétricas e, em particular, um fenômeno complexo. Excetuando o colapso parcial de pilares, o comportamento do pórtico é análogo ao da flambagem de uma coluna. Entretanto, através de pequenas forças fictícias laterais e análise elasto-plástica, é extrapolado o valor da carga de flambagem<sup>(12)</sup>. A presença do esforço axial nas vigas é ignorado. A formação de rótulas plásticas é regida pelas especificações do "AISC". Da análise de vários pórticos concluiu-se que o colapso de pórticos sob cargas gravitacionais se deve mais a um fenômeno localizado envolvendo a estabilidade de andares individuais; a flambagem global, caracterizada pela passagem de uma configuração deformada de equilíbrio simétrica para uma não simétrica, não ocorreu nos diversos pórticos analisados.

No mesmo ano, 1977, foi verificado<sup>(15)</sup> que o com-

portamento de pórticos submetidos simultaneamente a cargas gravitacionais e laterais é afetado significativamente pelo efeito P-delta. Em relação ao regime elástico, este efeito tende a aumentar as tensões e os deslocamentos laterais da estrutura. A plastificação das seções ocorre nas partes da estrutura onde as solicitações combinadas de momento fletor e esforço normal são mais intensas, reduzindo a rigidez global da estrutura para acréscimos de carga, resultando acréscimos cada vez maiores nos deslocamentos laterais. Com o aumento de seções plastificadas e dos deslocamentos laterais, a estrutura passa a ter, continuamente, sua rigidez diminuída até que atinja a instabilidade, ocasionada, geralmente, pela nulidade de sua rigidez lateral. Os principais resultados dessa análise, se comparados com os de uma análise plástica em primeira ordem, são: o aumento dos momentos fletores antecipando a plastificação das seções; a redução progressiva da rigidez global da estrutura; pode ser atingida a instabilidade sem a formação de um mecanismo.

O objetivo do trabalho ora apresentado é a formulação de um procedimento numérico e a elaboração de programas para computador para que se possa determinar as relações carga-deslocamento e analisar o fenômeno de instabilidade de pórticos planos, envolvendo a plastificação das seções e o efeito de segunda ordem. Visa-se com isso obter ferramentas que viabilizem a análise numérica e consequentemente a compreensão do comportamento de pórticos planos quando se considera a não linearidade do material e a influência de esforços axiais na flexão, nesse tipo de estrutura.

No capítulo 3 apresenta-se uma análise incremental das relações carga-deslocamento, onde é considerada a não linearidade física, i.e., do material. No capítulo 4, esta análise é automatizada através do programa de computador PRGMI, com o qual vários exemplos são processados.

No capítulo 5 apresenta-se uma análise incremental-iterativa, considerando-se a não linearidade física e geométrica. A automatização desta análise é feita através do programa de computador PRGMII, conforme o que se apresenta no capítulo 6, com o qual se processam vários exemplos.

## 2. CONSIDERAÇÕES GERAIS

Neste trabalho, propõe-se a formulação de um processo numérico para a análise de pórticos planos, prevendo a formação de rótulas plásticas e efeitos de segunda ordem, que permita um rápido processamento sem, contudo, comprometer a precisão dos resultados.

Fundamentalmente, uma análise elasto-plástica consiste na determinação das relações não-lineares carga-deslocamento até que se verifique o colapso da estrutura. Essas relações decrivem a história do carregamento na estrutura associada aos deslocamentos por ela assumidos. Por outro lado verifica-se que relacionado ao colapso tem-se a carga última, que é aquela para a qual a estrutura deixa de ser estável em seu plano pois sua estabilidade transversal é suposta assegurada<sup>(14)</sup>.

O desenvolvimento deste trabalho foi feito basicamente em duas partes globais. Na primeira foram considerados os efeitos apenas da não linearidade física e na segunda, os efeitos da não linearidade física e geométrica.

Na formulação procurou-se estabelecer um procedimento que previsse a formação de rótulas plásticas e a possível reversão de rotação das mesmas. Se para esse procedimento fossem aplicados incrementos constantes de carga obtiver-se-iam resultados tão mais imprecisos quanto maiores fossem esses incrementos, pois, poderia haver mais que uma rótula se formando entre a aplicação de um e outro incremento de carga. Por outro lado, a aplicação de pequenos incrementos de carga exigiria que o sistema de equações fosse resolvido muitas vezes, o que consumiria muito tempo de processamento.

Com o procedimento numérico adotado neste trabalho, são aplicados incrementos de carga que coincidem exatamente com a formação das rótulas plásticas na análise em primeira ordem e, se aproximam satisfatoriamente na análise em segunda ordem. Para minimizar o número de iterações são previstos pontos simultâneos de plastificação (i.e., a for-

mação de mais que uma rótula plástica com a aplicação de um único incremento de carga) e é utilizado um artifício para acelerar a convergência na determinação dos incrementos de carga quando se consideram os efeitos de segunda ordem.

Por outro lado, tem-se a salientar que a alteração da matriz de rigidez da estrutura devido à formação de rótulas plásticas e devido aos efeitos de segunda ordem nos pilares é feita por substituição das rigidezes de cada barra, sem que se necessite reconstruí-la totalmente.

## 2.1 - Hipóteses gerais

a) Assume-se para o material um comportamento elasto-plástico ideal, desprezando o encruamento, assumindo a tensão inicial de escoamento igual à final, assumindo uma reserva de deformação plástica infinita sem que haja ruptura, assumindo comportamento elástico na inversão de solicitação, e assumindo idêntico comportamento à tração e à compressão; com isso resulta o diagrama tensão-deformação esquematizado na fig. 2.1.

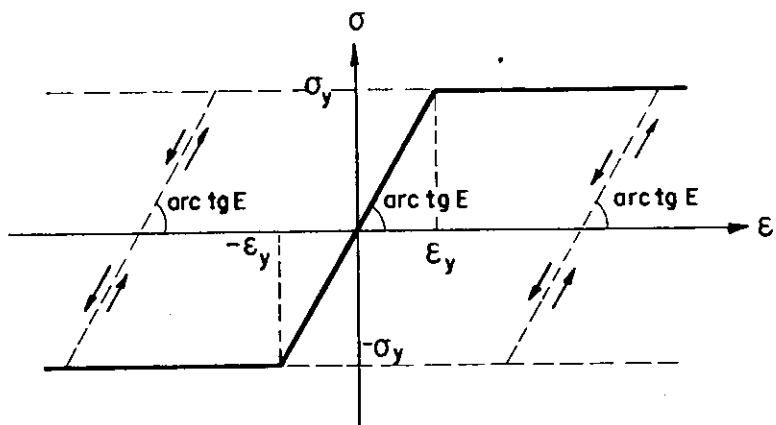


FIG. 2.1 - DIAGRAMA TENSÃO-DEFORMAÇÃO; MATERIAL ELASTO-PLÁSTICO IDEAL COM INVERSÃO DE SOLICITAÇÃO.

b) As seções transversais planas permanecem planas na deformação, tanto em regime elástico como em regime plástico.

c) As seções transversais são supostas com dois eixos de simetria, um deles no plano do pórtico, de forma que o eixo que contém os centros de gravidade das seções coincida com o eixo de "igual área" das seções. Os momentos fletores serão referidos a esse eixo de simetria.

d) Será admitido que a formação de rótulas plásticas é à flexão, e também, que a formação dessas rótulas não se altera com a eventual existência de esforços axiais na seção.

Nessas condições, assumindo também que o momento fletor  $M_y$  correspondente ao início de plastificação na seção coincide com o momento fletor  $M_p$  de plastificação total da seção, o que equivaleria por exemplo, a trabalhar com o perfil I ideal da Fig. 2.2, desprezada a contribuição da alma do perfil, ter-se-ia para flexão pura o comportamento momento curvatura esquematizado na Fig. 2.3.

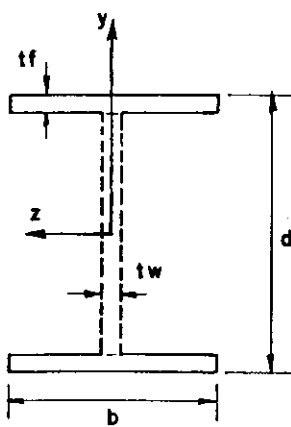


FIG. 2.2 - PERFIL I IDEAL

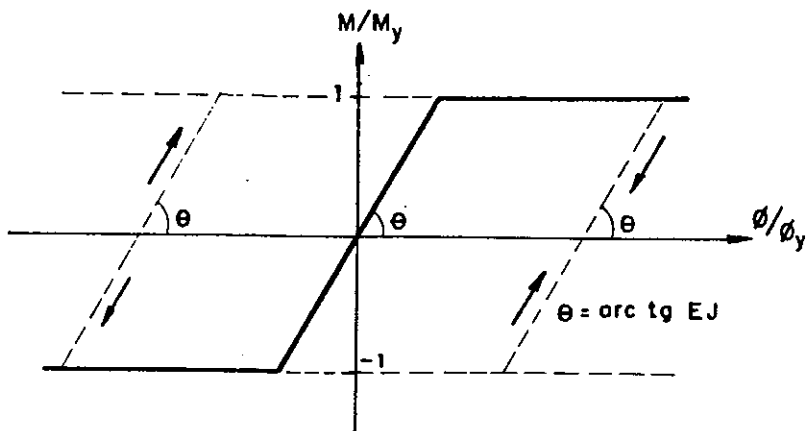


FIG. 2.3 – DIAGRAMA MOMENTO-CURVATURA COM INVERSÃO DE SOLICITAÇÃO.

e) Despreza-se a influência do esforços axial no momento fletor de plastificação da seção, na análise em primeira ordem.

f) Despreza-se o espalhamento da plastificação ao longo das barras; a plastificação será suposta restrita apenas a rótulas, tendo o resto das barras comportamento elástico.

g) É suposta assegurada a estabilidade fora do plano do pórtico.

## 2.2 - Colapso plástico

As estruturas a serem abordadas neste trabalho se constituem de pórticos planos retangulares compostos de vigas e pilares.

Uma análise elasto-plástica em primeira ordem, na qual é considerada a formação de rótulas plásticas de acordo com as hipóteses da seção 2.1, se resume na obtenção do mecanismo de colapso da estrutura. Assim, para um determinado pórtico com  $n$  graus de hiperestaticidade, cada rótula

plástica que se forma ao longo do carregamento vem a diminuir um desses graus. Desta forma, quando tiver se formado, no máximo,  $n+1$  rótulas plásticas nas barras da estrutura, esta terá se transformado em um mecanismo com um grau de liberdade, no mínimo. Se houver, por exemplo, a formação de rótulas plásticas nas extremidades de todos os pilares de um mesmo andar, de um pórtico de muitos andares, ocorrerá um mecanismo lateral com um número menor que  $n+1$  rótulas. Da mesma forma, se houver uma carga momento aplicada em um determinado nó de um pórtico, no qual haja a formação de rótulas plásticas nas extremidades de todas as barras que concorram a esse nó, ocorrerá um mecanismo de nó. Em casos assim, o colapso plástico da estrutura ocorre sem que venha a se formar o número máximo de rótulas plásticas, de acordo com o grau de hiperestaticidade da estrutura.

Assim, deve-se observar que o número de rótulas plásticas que transformará a estrutura em um mecanismo não depende apenas do grau de hiperestaticidade, mas também das características elásticas, plásticas, geométricas e do carregamento da estrutura.

Dentre os Processos Plásticos<sup>(2,3)</sup> para o cálculo de estruturas, é citado o Processo de Combinação de Mecanismos. Com este processo, para um determinado carregamento de uma estrutura, o mecanismo de colapso, dentre todos os possíveis mecanismos, será aquele que ocorrer com a menor intensidade possível deste carregamento. Entretanto, há uma restrição importante que é o fato deste processo só ser válido para carregamento proporcional, i.e., quando todos os parâmetros de carga mantêm a mesma proporção entre si, ou seja, variam na mesma proporção. Neste trabalho não existirá esta restrição quanto ao carregamento.

O processo de combinação de mecanismos será utilizado apenas para a verificação da carga última de alguns exemplos de verificação de resultados das análises elasto-plásticas em primeira ordem.

### 2.3 - Carregamento

Serão consideradas cargas gravitacionais e cargas devidas à ação do vento. De acordo com o procedimento numérico estabelecido os parâmetros de carga poderão ser parcialmente ou totalmente variáveis. Dessa forma, poderão se estabelecer carregamentos com vários tipos de variação e proporção entre os parâmetros de carga.

O carregamento é aplicado através de dois vetores de carga, que são utilizados em duas fases distintas da análise. Numa primeira fase a estrutura é carregada com os parâmetros do vetor de carga  $\{P_f\}$  que, por sua vez, não deve provocar a plastificação de nenhuma seção das barras. Caso isso ocorra, o processo é reiniciado. Com esse carregamento são determinados os esforços pela resolução do sistema de equações  $\{D_f\} = [K]^{-1} \cdot \{P_f\}$  e  $\{E_f\} = [K] \cdot \{D_f\}$  através do Processo dos Deslocamentos.

Numa segunda fase, a estrutura passa a ser carregada com os parâmetros do vetor de carga  $\{P_v\}$ , com o qual são determinados os esforços  $\{E_v\} = [K'] \cdot \{D_v\}$ . Nesta fase o procedimento passa a ser iterativo, na qual se considera a formação de rótulas e efeitos de segunda ordem. Devido a esses efeitos a matriz de rigidez tangente  $[K']$  irá se alterando ao longo das iterações. A cada iteração é associada a formação de pelo menos uma rótula plástica, que no caso compõe as "etapas" dessa segunda fase.

Os incrementos de carga, com relação aos quais se verifica a formação das rótulas plásticas em cada etapa, são obtidos a partir dos fatores de carga  $\Delta W_i$ . Esses fatores de carga são obtidos através dos esforços  $\{E\}, \{E_v\}$  e do momento de plastificação  $M_{pr}$  relativos a uma mesma seção, o que é feito para todas as seções das barras da estrutura nas quais esses esforços assumem valores extremos. Com os fatores  $\Delta W_i$ , os incrementos de carga são calculados por  $\Delta W_i \cdot \{P_v\}$ .

O nível de carga, i.e., a carga acumulada a que fica submetida a estrutura, é obtida por

$$\{P\} = \{P_f\} + \sum_{i=1}^m \Delta w_i \cdot \{P_v\},$$

sendo m o número correspondente à etapa atual na qual se encontra o processo de análise. De forma similar são calculados os deslocamentos acumulados da estrutura. Assim, vão sendo estabelecidos os respectivos níveis de carga e deslocamentos ao longo da análise.

### 3. ANÁLISE ELASTO-PLÁSTICA EM PRIMEIRA ORDEM

Neste capítulo as relações carga-deslocamento as sim como a carga última de pórticos serão determinadas por uma análise elasto-plástica em primeira ordem. Uma análise baseada numa determinação etapa-por-etapa das relações carga-deslocamento onde rótulas e mais rótulas plásticas se formam é chamada "análise elasto-plástica"<sup>(11)</sup>. Ao ser iniciada a análise toda a estrutura comporta-se elasticamente até formarem-se as primeiras rótulas. A partir daí, as barras da estrutura continuam a se comportar elasticamente nos trechos entre rótulas, ou seja, nas seções onde o momento fletor é menor que o momento de plastificação da referida seção ( $M < M_p$ ). Depois que determinadas rótulas plásticas se formaram a estrutura passa a reagir ao carregamento como se existissem rótulas reais naquelas seções, incapazes de resistirem a adicionais momentos fletores, sen do que o momento naquelas seções permanece constante e igual a  $M_p$ .

Neste capítulo se apresenta a formulação completa dessa análise.

#### 3.1 - Hipóteses e delineação da análise

Dadas as características elásticas, plásticas, geométricas e o carregamento do pórtico é procedida a análise pelo Processo dos Deslocamentos, o que é feito pela resolução dos sistemas de equações apresentados no capítulo 2 (seção 2.3) segundo as coordenadas do sistema estrutural.

O procedimento numérico proposto baseia-se, além das hipóteses apresentadas no capítulo 2 (seção 2.1), nas seguintes:

- a) Todas as barras (vistas e pilares) são retas e prismáticas.

- b) O comprimento da barra é igual à distância entre os centros das conexões ou nós (i.e., ponto de convergência dos eixos das barras).
- c) Todas as cargas atuantes no pórtico são estáticas e consideradas no plano do mesmo, sendo aplicadas nos nós da estrutura.
- d) A teoria de pequenas deformações é válida em cada "etapa".
- e) Todos os deslocamentos da estrutura são em seu próprio plano, sendo a mesma contraventada fora desse plano.
- f) As deformações devidas ao esforço cortante são desprezadas.
- g) As conexões (nós) das barras são rígidas.
- h) O surgimento das rótulas plásticas deve ocorrer apenas nas extremidades das barras, visto que serão carregados apenas os nós da estrutura.
- i) As vigas são consideradas axialmente indeformáveis.

Ao ser iniciada a análise a estrutura é inteiramente elástica e são obtidas, dessa forma, relações carga-deslocamento lineares. Assim, determina-se o primeiro fator de carga  $\Delta W_i$ , correspondente à(s) primeira(s) rótula(s) plástica(s). Com a formação de rótulas a matriz de rigidez  $[K]$  é alterada, e na medida que mais e mais rótulas se formam menos e menos rígida torna-se a estrutura o que leva a relações carga-deslocamento conforme Fig. 3.1.

Entretanto, pode ocorrer que a partir da terceira etapa da análise determinada(s) rótula(s) se feche(m) o que implica em repetir-se essa etapa alternando convenientemente a matriz  $[K']$  e os demais parâmetros envolvidos na análise, conforme se verá no capítulo 4. Sabe-se que uma determinada rótula formada na etapa "i" só poderá se fechar a partir da etapa "i+2", visto que na etapa que ela se forma sua rotação é nula. E dessa forma, só a partir da

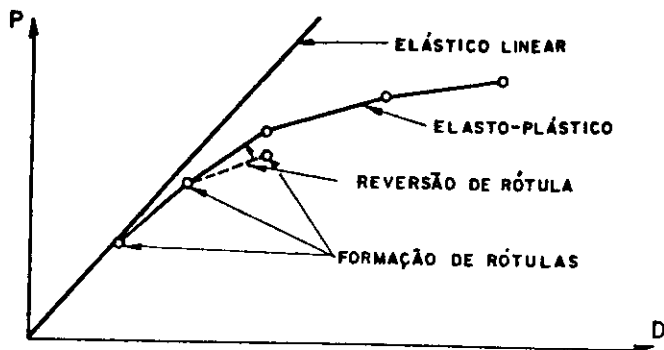


FIG. 3.1 - RELAÇÃO CARGA-DESLOCAMENTO COM REVERSÃO DE RÓTULA

terceira etapa é que se tornará possível comparar as rotacões, com o que se detectará a reversão das rótulas.

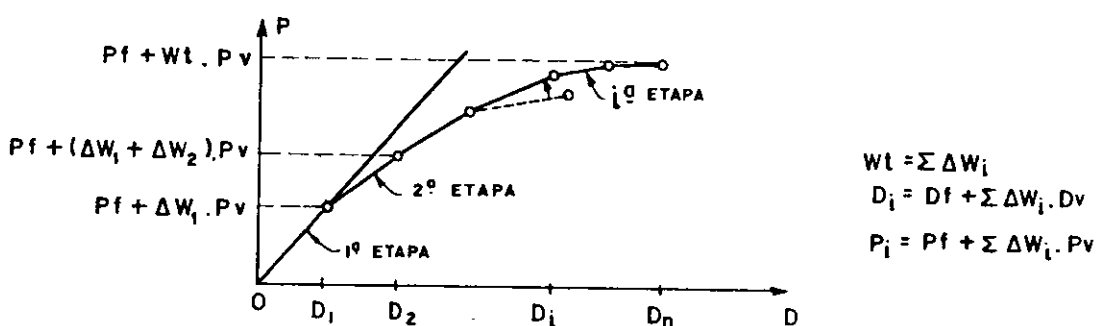


FIG. 3.2 - RELAÇÃO CARGA-DESLOCAMENTO COM INDICAÇÃO DAS ETAPAS.

Na Fig. 3.2 são indicadas as sucessivas "etapas" correlacionadas com os parâmetros de carga e deslocamento. Dessa forma, as relações carga-deslocamento para um determinado ponto da estrutura, ao longo da análise, são obtidas a partir de  $\Delta W_i$ ,  $P_i$  e  $D_i$ .

Quando se formar a última rótula plástica a estrutura terá se transformado em um mecanismo, de acordo com o que foi apresentado no capítulo 2 (seção 2.2). Uma forma de se detectar a instabilidade será quando o fator de carga  $\Delta W_i$  calculado na etapa atual tornar-se ínfimo e a estrutura assumir grandes deslocamentos. Além dessa, a detecção do mecanismo será feita através do cálculo do deter-

minante da matriz de rigidez do pórtico<sup>(4)</sup>, quando este resultar em valor menor ou igual a zero.

O procedimento incremental adotado para computar os fatores de carga  $\Delta W_i$  nas análises de pórtico são descritos através dos seguintes passos:

- 1) Montagem da matriz de rigidez  $[K]$  a partir da rigidez das barras, usando as características elásticas e geométricas da estrutura.
- 2) Inversão da matriz de rigidez  $[K]$  pelo método de Gauss-Jordan.
- 3) Cálculo dos deslocamentos pelo sistema simultâneo de equações  $\{D\} = [K]^{-1} \cdot \{P_f\}$ . Com esses deslocamentos, calculam-se os esforços  $\{E_f\}$  nas seções extremas das barras do pórtico.
- 4) É verificado se, com os esforços  $\{E_f\}$ , ocorre plastificação nas seções das barras; em caso afirmativo, são reduzidos os parâmetros de carga do vetor  $\{P_f\}$  e retorna-se ao passo 3.
- 5) Com a matriz  $[K']$  da etapa atual, calculam-se os deslocamentos e, com estes, os esforços  $\{E_v\}$  devidos ao vetor de carga variável  $\{P_v\}$ , definido na seção 3.3.
- 6) Com os momentos fletores dos parâmetros  $\{E_v\}$  e  $\{E\}$ , e o momento de plastificação  $M_p$  calculam-se os fatores de carga  $\Delta W_i$ , de acordo com o que se apresenta no capítulo 2 (seção 2.3).
- 7) Determina-se o menor fator de carga  $\Delta W_i$ , dentre os calculados no passo 6, que por sua vez se refere à formação da i-ésima rótula plástica. A menos de um "erro" pré-fixado de acordo com a precisão desejada, são determinado os "outros" pontos de plastificação (rótulas simultâneas).
- 8) Calculam-se os esforços e deslocamentos acumulados que são atribuídos aos parâmetros  $\{E\}$  e  $\{D\}$ .
- 9) Calculam-se as rotações das rótulas com os esforços e deslocamentos do passo 8.
- 10) A partir da terceira etapa verifica-se a reversão

de rótula(s) plástica(s). Caso haja reversão, altera-se a matriz de rigidez  $[K]$ , retorna-se ao passo 8, desacumulando-se os parâmetros  $\{E\}$  e  $\{D\}$  e, em seguida volta-se ao passo 5 e repete-se essa etapa.

- 11) Altera-se a matriz de rigidez  $[K]$  devido a formação de rótula(s) plástica(s) dessa etapa, que passa a ser matriz de rigidez tangente  $[K']$  a partir da primeira etapa.
- 12) É verificado se a estrutura atingiu a instabilidade, averiguando-se o determinante da matriz de rigidez; caso este assuma valor menor ou igual a zero, tem ocorrido o colapso plástico do pórtico, o que indica o fim da análise; caso o determinante seja maior que zero, retorna-se ao passo 5, dando prosseguimento à análise.

### 3.2 - Matriz de rigidez da estrutura

A matriz de rigidez da estrutura é obtida a partir da matriz de rigidez das barras (viga e pilares) que constituem o pórtico. Ao se proceder a montagem da matriz de rigidez da estrutura, esta estará referida ao sistema de eixos coordenados que se apresenta na Fig. 3.3.

As matrizes de rigidez das barras são referidas a um sistema local de eixos de referência, designados por  $x$ ,

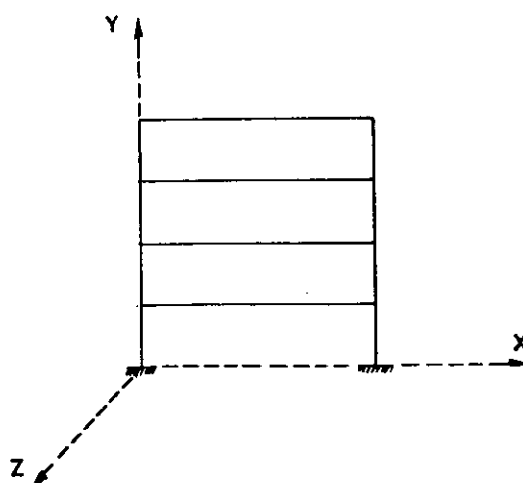


FIG. 3.3 - EIXOS DE REFERÊNCIA DA ESTRUTURA

y e z. A seguir são apresentadas essas matrizes que serão utilizadas ao longo da análise.

A matriz de rigidez de uma viga se constitui segundo as coordenadas da Fig. 3.4 e, apresenta-se da seguinte forma:

$$[K_{ij}]^v = \begin{bmatrix} & 1 & 2 & 3 & 4 \\ 1 & +12EJ/L^3 & -6EJ/L^2 & -12EJ/L^3 & -6EJ/L^2 \\ 2 & -6EJ/L^2 & +4EJ/L & +6EJ/L^2 & +2EJ/L \\ 3 & -12EJ/L^3 & +6EJ/L^2 & +12EJ/L^3 & +6EJ/L^2 \\ 4 & -6EJ/L^2 & +2EJ/L & +6EJ/L^2 & +4EJ/L \end{bmatrix} \dots \text{Eq. 3.1}$$

FIG. 3.4 - COORDENADAS E EIXOS DE REFERÊNCIAS DAS VIGAS

Caso tenha se formado uma rótula plástica na extremidade esquerda da viga, sua matriz de rigidez terá a seguinte configuração:

$$[K_{ij}]^v = \begin{bmatrix} & 1 & 2 & 3 & 4 \\ 1 & +3EJ/L^3 & 0 & -3EJ/L^3 & -3EJ/L^2 \\ 2 & 0 & 0 & 0 & 0 \\ 3 & -3EJ/L^3 & 0 & +3EJ/L^3 & +3EJ/L^2 \\ 4 & -3EJ/L^2 & 0 & +3EJ/L^2 & +3EJ/L \end{bmatrix} \dots \text{Eq. 3.2}$$

Caso tenha se formado rótula plástica na extremidade direita da viga, sua matriz de rigidez terá a seguinte configuração:

$$\left[ K_{ij} \right] v = \begin{bmatrix} 1 & 2 & 3 & 4 \\ 1 & +3EJ/L^3 & -3EJ/L^2 & -3EJ/L^3 & 0 \\ 2 & -3EJ/L^2 & +3EJ/L & +3EJ/L^2 & 0 \\ 3 & -3EJ/L^3 & +3EJ/L^2 & +3EJ/L^3 & 0 \\ 4 & 0 & 0 & 0 & 0 \end{bmatrix}$$

.... Eq. 3.3

Caso tenha se formado rótulas plásticas nas duas extremidades da viga, sua rigidez será nula; dessa forma a viga passa a funcionar apenas com um elemento de rigidez axial infinita, que faz a ligação entre duas prumadas de pilares.

A matriz de rigidez de um pilar i-j se constitui segundo as coordenadas da Fig. 3.5.

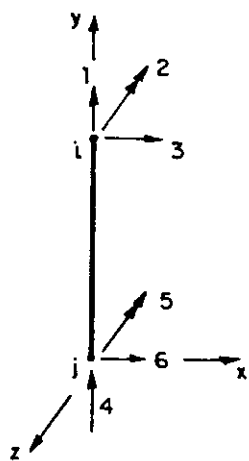


FIG. 3.5 - COORDENADAS E EIXOS DE REFERÊNCIA DOS PILARES

Para um pilar sem articulações (sem rótulas plásticas), sua matriz de rigidez se apresenta com a seguinte configuração:

$$\left[ K_{ij} \right]^P = \begin{bmatrix} 1 & 2 & 3 & 4 & 5 & 6 \\ \hline 1 & \frac{+EA}{L} & 0 & 0 & -\frac{EA}{L} & 0 & 0 \\ 2 & 0 & \frac{+4EJ}{L} & -\frac{6EJ}{L^2} & 0 & \frac{+2EJ}{L} & \frac{+6EJ}{L^2} \\ 3 & 0 & -\frac{6EJ}{L^2} & \frac{+12EJ}{L^3} & 0 & -\frac{6EJ}{L^2} & -\frac{12EJ}{L^3} \\ 4 & -\frac{EA}{L} & 0 & 0 & \frac{+EA}{L} & 0 & 0 \\ 5 & 0 & \frac{+2EJ}{L} & -\frac{6EJ}{L^2} & 0 & \frac{+4EJ}{L^2} & \frac{+6EJ}{L^2} \\ 6 & 0 & \frac{+6EJ}{L^2} & -\frac{12EJ}{L^3} & 0 & \frac{+6EJ}{L^2} & \frac{+12EJ}{L^3} \end{bmatrix}$$

....Eq. 3.4

Um pilar com rótula plástica na extremidade superior, terá sua matriz de rigidez com a seguinte configuração:

$$\left[ K_{ij} \right]^P = \begin{bmatrix} 1 & 2 & 3 & 4 & 5 & 6 \\ \hline 1 & \frac{+EA}{L} & 0 & 0 & -\frac{EA}{L} & 0 & 0 \\ 2 & 0 & 0 & 0 & 0 & 0 & 0 \\ 3 & 0 & 0 & \frac{+3EJ}{L^3} & 0 & -\frac{3EJ}{L^2} & -\frac{3EJ}{L^3} \\ 4 & -\frac{EA}{L} & 0 & 0 & \frac{+EA}{L} & 0 & 0 \\ 5 & 0 & 0 & -\frac{3EJ}{L^2} & 0 & \frac{+3EJ}{L} & \frac{+3EJ}{L^2} \\ 6 & 0 & 0 & -\frac{3EJ}{L^3} & 0 & \frac{+3EJ}{L^2} & \frac{+3EJ}{L^3} \end{bmatrix}$$

.... Eq. 3.5

Um pilar com rótula plástica na extremidade inferior, terá sua matriz de rigidez com a seguinte configuração:

$$[K_{ij}]^P = \begin{array}{|c|c|c|c|c|c|} \hline & 1 & 2 & 3 & 4 & 5 & 6 \\ \hline 1 & \frac{+EA}{L} & 0 & 0 & -\frac{EA}{L} & 0 & 0 \\ \hline 2 & 0 & \frac{+3EJ}{L} & -\frac{3EJ}{L^2} & 0 & 0 & \frac{+3EJ}{L^2} \\ \hline 3 & 0 & -\frac{3EJ}{L^2} & \frac{+3EJ}{L^3} & 0 & 0 & -\frac{3EJ}{L^3} \\ \hline 4 & -\frac{EA}{L} & 0 & 0 & \frac{+EA}{L} & 0 & 0 \\ \hline 5 & 0 & 0 & 0 & 0 & 0 & 0 \\ \hline 6 & 0 & \frac{+3EJ}{L^2} & -\frac{3EJ}{L^3} & 0 & 0 & \frac{+3EJ}{L^3} \\ \hline \end{array}$$

.... Eq. 3.6

E, finalmente, um pilar com rótulas plásticas em ambas as extremidades, terá sua matriz de rigidez com a seguinte configuração:

$$[K_{ij}]^P = \begin{array}{|c|c|c|c|c|c|} \hline & 1 & 2 & 3 & 4 & 5 & 6 \\ \hline 1 & \frac{+EA}{L} & 0 & 0 & -\frac{EA}{L} & 0 & 0 \\ \hline 2 & 0 & 0 & 0 & 0 & 0 & 0 \\ \hline 3 & 0 & 0 & 0 & 0 & 0 & 0 \\ \hline 4 & -\frac{EA}{L} & 0 & 0 & \frac{+EA}{L} & 0 & 0 \\ \hline 5 & 0 & 0 & 0 & 0 & 0 & 0 \\ \hline 6 & 0 & 0 & 0 & 0 & 0 & 0 \\ \hline \end{array}$$

.... Eq. 3.7

Mais precisamente, a montagem da matriz  $[K]$  se fará pela "identificação" das coordenadas do sistema estrutural, conforme a Fig. 3.6, com as coordenadas das barras que concorrem em cada nó (por "coordenada" deve-se entender "coordenada deslocamento"). Maiores detalhes a esse respeito podem ser encontrados no Apêndice I.

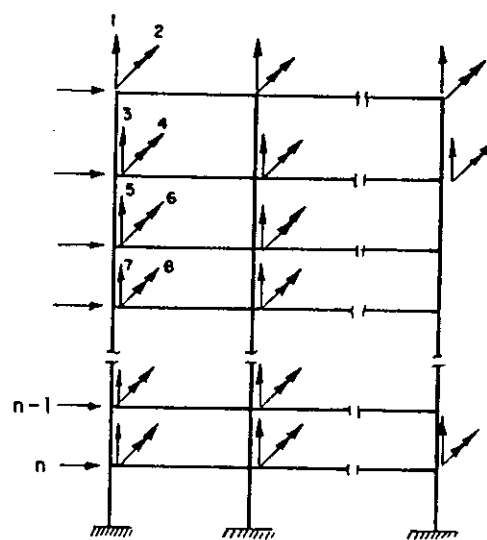


FIG. 3.6 – COORDENADAS DO SISTEMA ESTRUTURAL

### 3.3 – Vetores de carga

Os vetores de carga constante  $\{P_f\}$  e carga variável  $\{P_v\}$  representam as cargas aplicadas sobre a estrutura. Essas cargas se constituem de cargas gravitacionais e cargas devidas à força do vento. A dimensão dos vetores de carga é  $N_{tc} \times 1$ , sendo  $N_{tc}$  o número total de coordenadas da estrutura. A utilização de dois vetores de carga é de corrente, dentre outros, do tipo de análise empregada, de acordo com a seção 3.1. A intensidade dos parâmetros de carga que compõem o vetor  $\{P_f\}$  deve ser tal que não provoque plastificação em nenhuma seção das barras do pórtico. Isso é verificado automaticamente pelo programa PRGMI.

A interpretação dos vetores de carga  $\{P_f\}$  e  $\{P_v\}$

é a seguinte: o vetor  $\{P_f\}$  corresponde a cargas que permanecerão invariáveis ao longo da análise. Já o vetor  $\{P_v\}$ , corresponde a cargas que sofrerão variações ao longo da análise. Dessa forma, pode-se optar por vários tipos de carregamento, dentre os quais, destacamos os seguintes:

- a) Carregamento "proporcional"; neste, os parâmetros de carga do  $\{P_f\}$  e  $\{P_v\}$  mantêm relações constantes, como por exemplo:  $\{P_f\} = (-5; 2; -5; -2; 0)^T$ ,  $\{P_v\} = (-10; 4; -10; -4; 0)^T$  (v. Fig. 3.7).

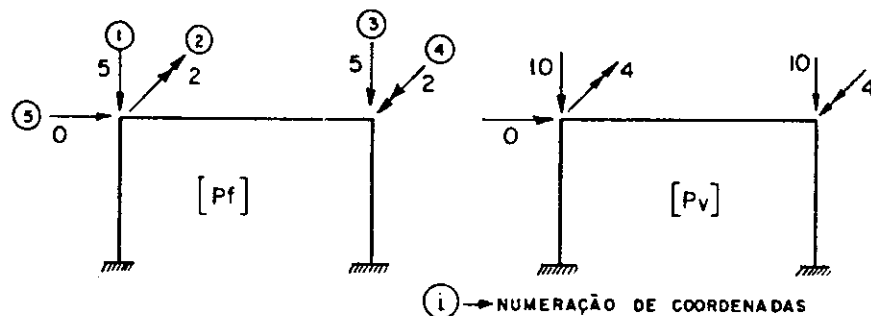


FIG. 3.7 - VETORES DE CARGA

- b) Carregamento "não-proporcional"; neste caso, pode-se considerar, basicamente, dois casos:

b.1) o carregamento gravitacional constante, sendo variável apenas o carregamento horizontal, como por exemplo:  $\{P_f\} = (-5; 0; -5; 0; 1)^T$ ,  $\{P_v\} = (0; 0; 0; 0; 2)^T$ ;

b.2) o carregamento gravitacional variável e, o horizontal constante, como por exemplo:  $\{P_f\} = (-5; 0; -5; 0; 3)^T$  e  $\{P_v\} = (-2; 0; -2; 0; 0)^T$ .

Os vetores de carga exemplificados acima, se referem a um pórtico de um andar e duas prumadas.

Convém ainda observar que:

- a) dentre as possíveis combinações entre os vetores de carga, salienta-se o seguinte: onde houver um parâmetro de carga no vetor  $\{P_v\}$ , de

verá haver um correspondente no vetor  $\{P_f\}$ ; entretanto, a recíproca não precisa, necessariamente, se verificar;

- b) cada linha dos vetores de carga, e a correspondente linha da matriz de rigidez  $[K]$ , precisam estar associadas à mesma coordenada.

Os carregamentos a serem utilizados nas análises, serão de acordo com o que se apresenta nesta seção.

### 3.4 - Rotação das rótulas plásticas

O cálculo da rotação das rótulas plásticas é efetuado como se expõe a seguir. Considerando-se uma barra  $i-j$ , pertencente ao pórtico, com a extremidade  $i$  junto ao nó  $k$  e, a extremidade  $j$  junto ao nó  $n$ , tem-se o que se apresenta na Fig. 3.8.

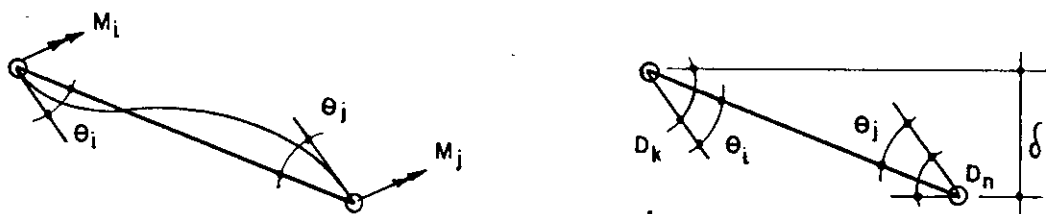


FIG. 3.8 - ROTAÇÕES

A relação entre os esforços  $M_i$  e  $M_j$  e as rotacões  $\theta_i$  e  $\theta_j$ , desprezando-se as deformações devidas aos esforços cortantes, podem ser expressas pelas matrizes e expressão abaixo:

$$[K_{ij}] = \begin{bmatrix} K_{ii} & K_{ij} \\ K_{ji} & K_{jj} \end{bmatrix}; [K_{ij}]^{-1} = \begin{bmatrix} K_{ij} & K_{ji} \\ H & H \end{bmatrix}; H = K_{ii} \cdot K_{jj} - K_{ij} \cdot K_{ji}$$

Em se tratando de barras prismáticas, temos:

$$K_{ii}/H = K_{jj}/H = +L/3EJ \quad \text{e} \quad K_{ij}/H = K_{ji}/H = -L/6EJ$$

Tendo-se os momentos  $M_i$  e  $M_j$ , determinam-se as rotações  $\theta_i$  e  $\theta_j$  por:

$$\begin{bmatrix} \theta_i \\ \theta_j \end{bmatrix} = [K_{ij}]^{-1} \cdot \begin{bmatrix} M_i \\ M_j \end{bmatrix} \quad \dots \text{Eq. 3.8}$$

A relação entre as rotações dos nós "k" e "n", que são  $D_k$  e  $D_n$  e, o deslocamento transversal do nó "n", que é  $\delta$ , e as rotações  $\theta_i$  e  $\theta_j$  é expressa por:

$$\begin{bmatrix} \theta_i \\ \theta_j \end{bmatrix} = \begin{bmatrix} +1 & 0 & -1/L \\ 0 & +1 & -1/L \end{bmatrix} \cdot \begin{bmatrix} D_k \\ D_n \\ \delta \end{bmatrix} \quad \dots \text{Eq. 3.9}$$

Caso não haja(m) rótula(s) nas extremidades i-j da barra, deve haver "continuidade" nesses pontos. Para que haja "continuidade", as rotações das extremidades "i" e "j" causadas pelos momentos, devem ser iguais àquelas causadas pelos deslocamentos externos dos nós "k" e "n". Assim, tem-se:

$$[K_{ij}]^{-1} \cdot \begin{bmatrix} M_i \\ M_j \end{bmatrix} = \begin{bmatrix} +1 & 0 & -1/L \\ 0 & +1 & -1/L \end{bmatrix} \cdot \begin{bmatrix} D_k \\ D_n \\ \delta \end{bmatrix}$$

ou,

$$\begin{bmatrix} M_i \\ M_j \end{bmatrix} = [K_{ij}] \cdot \begin{bmatrix} +1 & 0 & -1/L \\ 0 & +1 & -1/L \end{bmatrix} \cdot \begin{bmatrix} D_k \\ D_n \\ \delta \end{bmatrix}$$

sendo esta última equação, uma das equações utilizadas no Processo dos Deslocamentos para a análise de pôrticos<sup>(6)</sup>.

Caso haja uma rótula em "i", o valor da "descon-

"continuidade" ou, a rotação dessa rótula será dada pelas equações 3.8 e 3.9, sendo calculadas como segue:

$$\{R\} = [K_{ij}]^{-1} \cdot \begin{bmatrix} M_i \\ M_j \end{bmatrix} - \left[ \begin{array}{c|c|c} +1 & 0 & -1/L \\ 0 & +1 & -1/L \end{array} \right] \cdot \begin{bmatrix} D_k \\ D_n \\ \delta \end{bmatrix} =$$

$$= \left[ \begin{array}{c} \frac{M_i \cdot L}{3EJ} - \frac{M_j \cdot L}{6EJ} \\ -\frac{M_i \cdot L}{6EJ} + \frac{M_j \cdot L}{3EJ} \end{array} \right] - \left[ \begin{array}{c} D_k - \frac{\delta}{L} \\ D_n - \frac{\delta}{L} \end{array} \right] = \left[ \begin{array}{c} RR_i \\ 0 \end{array} \right]$$

.... Eq. 3.10

Assim, tem-se  $R_i = M_i \cdot L/3EJ - M_j \cdot L/6EJ - D_k + \delta/L$ , sendo  $M_i = M_p$ .

Caso hajam rótulas em ambas as extremidades da barra, as rotações das mesmas, de acordo com a eq. 3.10, serão:

$$R_i = M_i \cdot L/3EJ - M_j \cdot L/6EJ - D_k + \delta/L$$

e

$$R_j = M_j \cdot L/3EJ - M_i \cdot L/6EJ - D_n + \delta/L$$

.... Eq. 3.11

sendo  $M_i = M_j = M_p$ .

Os esforços e deslocamentos acima referidos, serão obtidos pelas equações 4.1 e 4.3. Eles se referem a etapa atual, i.e., primeiramente calculam-se os esforços e deslocamentos acumulados e com eles as rotações das rótulas plásticas existentes.

Observa-se ainda que, na etapa onde determinada rótula acaba de se formar, sua rotação deve ser nula, i.e., ainda há "continuidade".

As rotações das rótulas plásticas de vigas e pi

lares serão calculadas neste trabalho, de acordo com a eq. 3.11.

### 3.5 - Alteração da rigidez da estrutura

Ao iniciar-se a análise, monta-se a matriz de rigidez  $[K]$  conforme o que se apresenta na seção 3.2.

Ao longo da análise, com a formação ou o fechamento de rótulas plásticas (veja seção 3.1), a matriz de rigidez  $[K]$  será alterada e não reconstruída, o que, por sua vez, torna a análise mais rápida.

Por exemplo: ao formar-se a primeira rótula de um pilar, em sua extremidade inferior, na passagem de uma etapa da análise para outra, é subtraída da matriz  $[K']$  a rigidez correspondente à eq. 3.4 e, adicionada a rigidez correspondente à eq. 3.6.

Um outro exemplo, pode ser o caso de uma viga, na qual já haviam se formado duas rótulas em suas extremidades; ocorrendo a reversão de rotação da rótula esquerda, adiciona-se à matriz  $[K']$  a rigidez correspondente à eq. 3.3. E assim se processam todos os casos de alterações de rigidez.

#### 4. PROGRAMA PARA ANÁLISE AUTOMÁTICA - PRGMI

O programa para computador, PRGMI, executa a análise de pórticos baseado no que se apresentou no capítulo 3. Esse programa, escrito em linguagem FORTRAN, foi estruturado em um programa principal e vinte e duas subrotinas. Com esta concepção de programação pretendeu-se o seguinte:

- a) possibilitar maior flexibilidade na ideação e montagem do programa;
- b) facilitar as correções e alterações;
- c) eficiente aproveitamento da memória interna<sup>(10)</sup>;
- d) adaptação a outros tipos de análise.

O programa consta, basicamente, de duas fases. Na primeira fase é feita a análise da estrutura com o vetor de carga  $\{P_f\}$  (veja seção 3.3) e, procede-se a verificação dita na seção 4.2. Na segunda fase faz-se a análise incremental alterando-se a matriz de rigidez  $[K]$  com a formação de rótulas plásticas, que passa a ser a matriz de rigidez tangente  $[K']$ , e assim, obtendo-se as relações carga-deslocamento.

Os procedimentos essenciais do PRGMI são apresentados nas seções subsequentes e no Apêndice I.

##### 4.1 - Sistemas de numeração

Esta seção, descreve os sistemas de numeração utilizados no PRGMI.

A extremidade esquerda de cada viga, e a extremidade superior de cada pilar é designada como extremidade "i" da barra. A extremidade direita de uma viga e a inferior de um pilar é designada como extremidade "j". Não há

nenhum nó adicional ao longo do eixo de qualquer barra.

Os nós na estrutura são numerados consecutivamente. A numeração começa no topo e prossegue para baixo, de tal forma que o nó número 1 situa-se no canto superior esquerdo e o último nó, na extremidade superior do pilar inferior e à direita.

A numeração das barras do pórtico é associada à numeração dos nós. Dessa forma, o número de cada barra corresponde ao número do nó no qual está ligada na extremidade "i". Há, entretanto, distinção entre a numeração das vigas e dos pilares.

Um exemplo dos sistemas de numeração descritos acima, apresenta-se na Fig. 4.1.

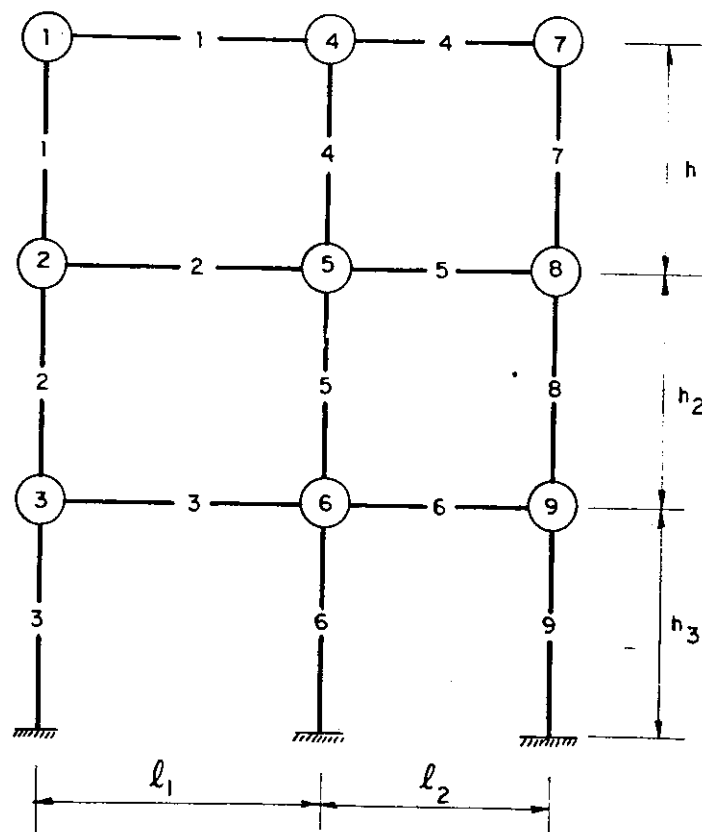


FIG. 4.1 - SISTEMA DE NUMERAÇÃO

Há três tipos possíveis de cargas e deslocamentos em cada nó: horizontal, vertical e rotacional. É considerada, entretanto, a restrição de que os nós pertencentes a um mesmo andar tem a carga e deslocamento horizontal em comum. Isso está de acordo com a hipótese "i" da seção 3.1. Os possíveis deslocamentos ditos acima são também cognominados como graus de liberdade. Os graus de liberdade da estrutura são iguais a duas vezes o número de nós, adicionado do número de andares. As coordenadas "deslocamento" das barras e do sistema estrutural são as apresentadas na seção 3.2.

Contudo, observa-se que, caso seja prevista a utilização de métodos compactos de armazenamento de matrizes e resolução do sistema de equações na análise<sup>(5,13)</sup>, os sistemas de numeração devem, provavelmente, seguir outros encaminhamentos.

#### 4.2 - Plastificação precoce

Ao iniciar-se a análise, a matriz  $[K]$  corresponde à estrutura inteiramente elástica. Resolvendo-se o sistema de equações

$$\{P_f\} = [K] \{D_f\},$$

onde  $\{P_f\}$  é o vetor de carga constante definido na seção 3.3, e  $\{D_f\}$ , o vetor de deslocamentos correspondentes segundo as coordenadas do sistema estrutural da Fig. 3.6. Com os deslocamentos dados por este vetor e as rigidezes de cada barra que compõe a estrutura, são calculados os esforços correspondentes, ditos esforços constantes  $E_f$ .

Tais esforços, mais especificamente, os momentos fletores máximos de cada barra não devem ultrapassar seu momento de plastificação  $M_p$ .

Por outro lado, os parâmetros do vetor  $\{P_f\}$  po-

dem ser tão pequenos quanto se deseje, visto que, em cada "fase" (veja seção 4), assim como, em cada "etapa" (Veja seção 3.1) as relações carga-deslocamento são lineares.

Caso o vetor  $\{P_f\}$  provoque a plastificação (dita precoce) nessa primeira fase da análise, deve-se diminuir sua intensidade e reiniciar-se a análise.

#### 4.3 - Determinação dos fatores de carga

A determinação dos fatores de carga, e a escolha do menor deles em cada "etapa" (veja seção 3.1), é feita por uma subrotina do PRGMI.

Os parâmetros utilizados no cálculo dos fatores de carga, dentre os quais o menor deles cognomina-se  $\Delta W_i$ , são os momentos fletores segundo as coordenadas "2" e "4" da Fig. 3.4, e o momento de plastificação da respectiva barra. Subtraindo-se do momento de plastificação  $M_p$  o momento fletor correspondente aos esforços  $\{E\}$  e dividindo-se este resultado pelo momento fletor correspondente aos esforços  $\{E_v\}$ , obtém-se os fatores de carga que, por sua vez, correspondem aos pontos de máximo momento fletor da estrutura.

Os esforços  $\{E_v\}$  são decorrentes do vetor de carga  $\{P_v\}$  definido na seção 3.3.

Observa-se que os esforços  $\{E\}$ , a partir da segunda etapa, tornam-se esforços acumulados, sendo calculados por

$$\{\bar{E}\} = \{E_f\} + w_t \cdot \{E_v\} \dots \quad \text{.... Eq. 4.1}$$

sendo que os esforços  $\{E_v\}$  são obtidos através da matriz  $[K']$  alterada pelo surgimento de rótulas plásticas e

$$w_t = \sum \Delta W_i \quad \text{.... Eq. 4.2}$$

O fator de carga  $\Delta W_i$  está associado à formação de rótulas plásticas, ao longo da análise (seção 2.3).

Além do cálculo dos esforços acumulados (eq. 4.1), faz-se o dos deslocamentos acumulados pela expressão

$$\{D\} = \{D_f\} + W_t \cdot \{D_v\} \quad \text{Eq. 4.3}$$

o que possibilita obter-se as relações carga-deslocamento ao longo da análise.

#### 4.4 - Formação de rótulas plásticas

Calculado o fator  $\Delta W_i$  referente à i-ésima etapa conforme seção 4.3, há a formação de mais uma rótula plástica ao longo da análise. Entretanto, ao analisar-se determinadas estruturas, observou-se que em determinadas etapas obtinham-se fatores de carga  $\Delta W_i$  muito pequenos. Desta forma foram suprimidas tais etapas da análise, considerando-se rótulas simultâneas numa mesma etapa. Assim, a menos de um erro pré-fixado entre o menor fator de carga de cada etapa ( $\Delta W_i$ ) e os outros fatores de carga correspondentes aos pontos ainda não plastificados, determina(m)-se a(s) possíveis rótula(s) simultânea(s) da etapa considerada. Isso é feito por uma subrotina do PRGMI.

Quanto mais regular for a estrutura em termos elastico-plástico-geométricos, mais rápida será a análise da mesma, com a consideração de rótulas simultâneas.

#### 4.5 - Reversão de rotação de rótulas plásticas

A verificação da reversão de rótulas plásticas é feita comparando-se as rotações das mesmas, nas sucesivas etapas de análise.

A partir da etapa seguinte à formação de cada ró

tula, sua rotação é calculada de acordo com a seção 3.4, por uma subrotina do PRGMI. Desta forma, se a rótula surgiu na etapa "i", sua rotação é calculada a partir da etapa "i+1", e, a partir da etapa "i+2" a rotação da etapa "i+1" ( $R_{i+1}$ ) é comparada com a rotação dessa etapa ( $R_{i+2}$ ), e assim consecutivamente. Para tanto, baseia-se na seguinte proposição:

se  $R_{i+1} < R_{i+2}$  e,  $R_{i+2} < R_{i+3}$

então  $R_{i+1} < R_{i+3}$  e, sucessivamente.

Nessa sequência de verificações, considera-se que a rótula só se reverterá caso  $R_{i+n}$  seja menor que  $R_{i+n-1}$ . Caso isso ocorra, altera-se a matriz de rigidez  $[K']$ , conforme a seção 3.5 e, desacumulam-se os esforços e deslocamentos referentes às equações 4.1 e 4.3 da seção 4.3. Dessa forma, a etapa onde uma ou mais rótulas se fica invalidada, sendo a mesma refeita, em seguida, com as alterações ditas acima.

Estes são os procedimentos adotados quando houver a reversão de rótula(s) plástica(s).

#### 4.6 - Relações carga-deslocamento e carga última

Ao longo da análise de cada estrutura, são computados os esforços e deslocamentos, cognominados "acumulados", na segunda "fase" do PRGMI (veja seção 4). Em cada etapa os deslocamentos acumulados são calculados pela eq. 4.3 e o nível de carga correspondente, pela eq. 4.4, segundo o sistema de coordenadas da Fig. 3.6.

$$\{P\} = \{P_f\} + W_t \cdot \{P_v\} \quad \text{Eq. 4.4}$$

Dessa forma pode-se construir diagramas, como

por exemplo, pondo-se na abscissa os deslocamentos e na ordenada os níveis de carga, consecutivos, ao longo da análise, conforme a Fig. 3.2.

Ao finalizar-se cada "etapa" da análise, é calculado o determinante da matriz  $[K']$ . Quando o valor deste for menor ou igual a zero, a estrutura se transforma em um mecanismo. Desta feita, a análise é interrompida pelo PRGMI, obtendo-se os parâmetros últimos de carga e deslocamento pelas equações 4.4 e 4.3, respectivamente.

#### 4.7 - Verificação do PRGMI

Foram efetuadas verificações de resultados obtidos pelo PRGMI através da análise de vários pórticos, com diferentes características elasto-plasto-geométricas.

Nos exemplos analisados, tem-se verificado o equilíbrio da estrutura sob os seguintes aspectos:

- a) equilíbrio de esforços nas extremidades das barras correspondentes aos nós do pórtico;
- b) equilíbrio do pórtico como corpo livre, considerando as cargas e os esforços;

A seguir, apresentam-se os principais exemplos analisados. Num deles ocorre a reversão de rótula plástica, o qual é julgado ter sido ocasionado pela irregularidade do pórtico, quanto às suas características elasto-plasto-geométricas. Para esse pórtico, fez-se a verificação da carga última pelo Processo Plástico de Combinação de Mecanismos<sup>(2)</sup>.

São apresentados, inclusive, as relações carga-deslocamento, até o colapso.

Em todos os exemplos analisados, a carga última coincide com a da análise rígido-plástica, como era de se prever<sup>(11)</sup>.

A seguir são apresentados os exemplos de verificação.

#### 4.8 - Exemplos de verificação

4.8.1 - O exemplo número 1 trata de um pórtico, cujas características elasto-plasto-geométricas são irregulares e hipotéticas.

Perfis I com  $\sigma_y = 2,50 \text{ tf/cm}^2$ ;

Módulo de Elasticidade  $E = 2100 \text{ tf/cm}^2$ ;

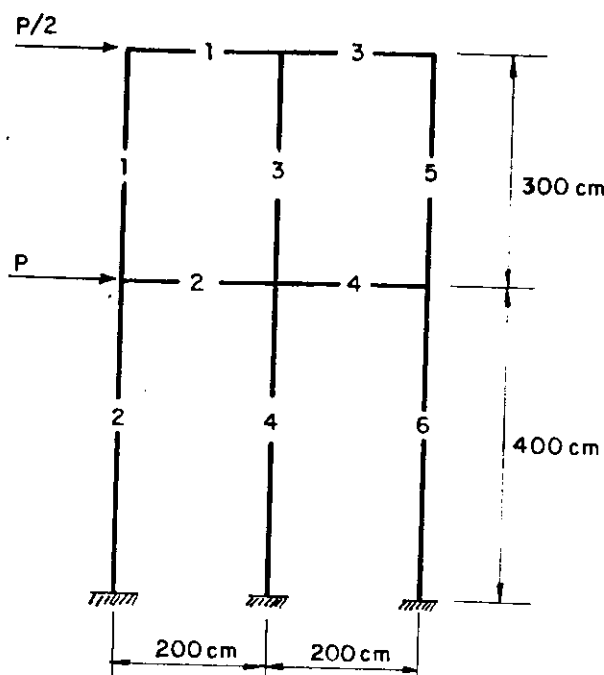


FIG. 4.2 - EXEMPLO DE VERIFICAÇÃO NÚMERO 1  
PÓRTICO COM REVERSÃO DE RÓTULA.

TABELA 1

NÚMERO DA BARRA		CARACTERÍSTICA DOS PERFIS		
		A ( $\text{cm}^2$ )	J ( $\text{cm}^4$ )	M <sub>p</sub> ( $\text{tf} \cdot \text{cm}$ )
PILARES	1	500	10000	1000
	2	700	50000	10
	3	600	30000	100000
	4	800	70000	100
	5	500	10000	10
	6	700	50000	10000
VIGAS	1	-	20000	20
	2	-	100000	2000
	3	-	20000	20000
	4	-	100000	200

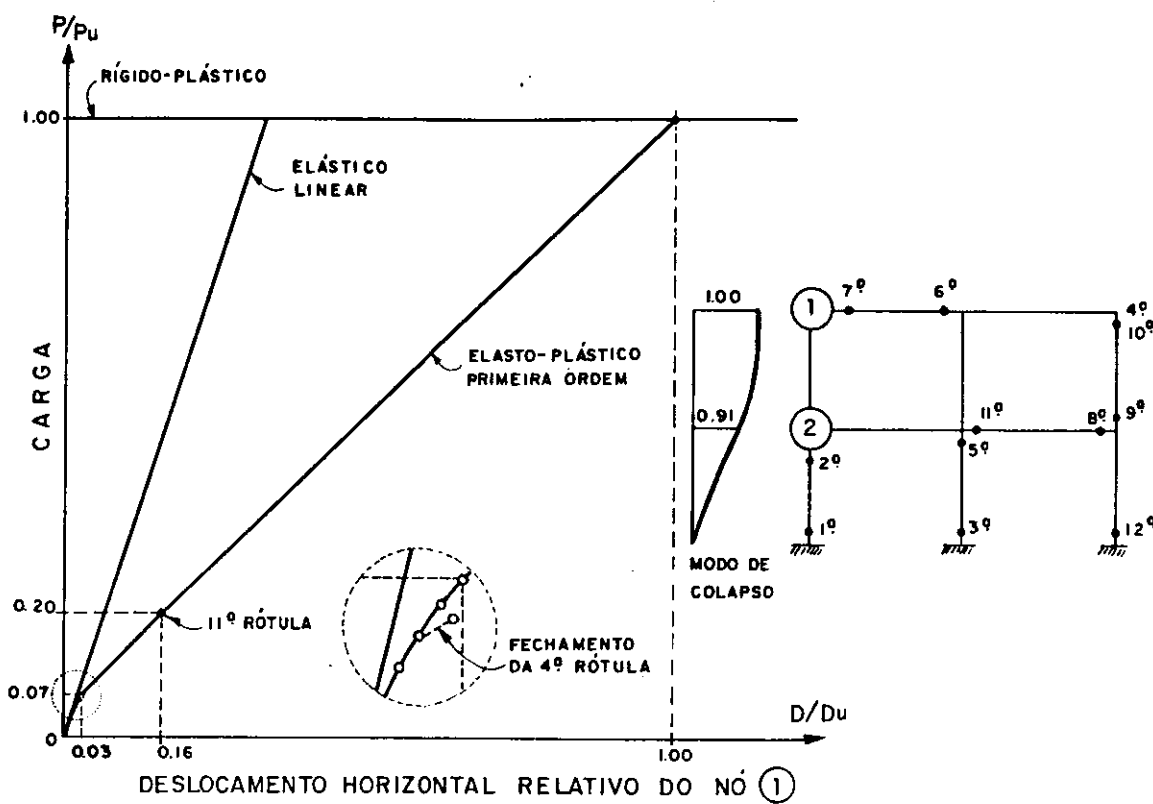


FIG. 4.3 - EXEMPLO DE VERIFICAÇÃO NÚMERO 1.

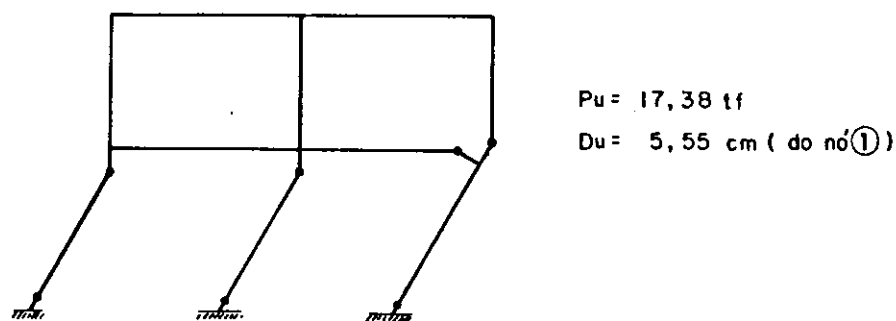


FIG. 4.4 - MECANISMO DE COLAPSO

Observações:

- a) como a décima primeira (11<sup>a</sup>) rótula não participa do mecanismo de colapso (veja Fig. 4.4), o seu surgimento não altera significativamente a rigidez do pórtico, como se vê na Fig. 4.3;
- b) os deslocamentos horizontais dos nós 1 (5,55cm) e 2 (5,03cm) obtidos pelo PRGMI são bem próximos, caracterizando o tipo de mecanismo de colapso (Fig. 4.4);
- c) ocorreu a reversão da quarta (4<sup>a</sup>) rótula plástica (veja Fig. 4.3).

TABELA 2

PARÂMETROS ASSOCIADOS AO FECHAMENTO DA 4<sup>a</sup> RÓTULA

ETAPA	ROTAÇÃO DA RÓTULA	MOMENTO FLETOR	OBSERVAÇÕES
3	-	-0,8898E-1	a rótula não surgiu, ainda;
4	-	-0,9580E-1	forma-se a rótula;
5	-0,1069E-4	-0,9580E-1	o esforço mantém-se constante, igual a $M_p$ ;
6	-0,2959E-4	-0,9580E-1	a rotação aumenta em módulo e, o esforço mantém-se constante, igual a $M_p$ ;
7	-0,3162E-4	-0,9580E-1	idem à etapa 6, acima;
8	-0,2704E-4	-0,9580E-1	o valor absoluto da rotação diminuiu, logo ocorreu a reversão;
8	-0,3162E-4	-0,8948E-1	o esforço diminuiu; a rótula recupera a rotação da etapa 7;
9	-0,3162E-4	-0,9580E-1	a rótula resurge, com uma rotação residual igual à da etapa 7;
10	-0,3412E-3	-0,9580E-1	a rotação aumenta e o esforço mantém-se constante e igual a $M_p$ ;
11	-0,2315E-2	-0,9580E-1	idem à etapa 10, acima.

Verificação do Mecanismo de Colapso e da Carga Última através do Processo Plástico de Combinação de Mecanismos<sup>(2,3)</sup>:

Número total de rótulas possíveis = 18

Grau de hiperestaticidade total = 12

Número de mecanismos independentes = 6

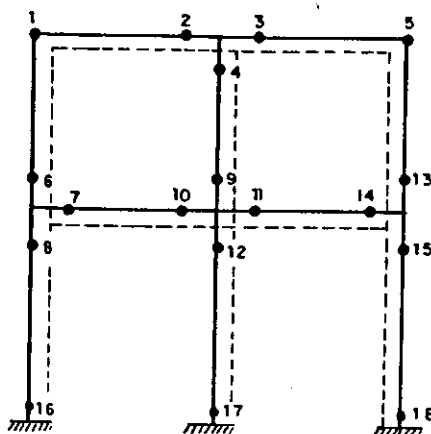
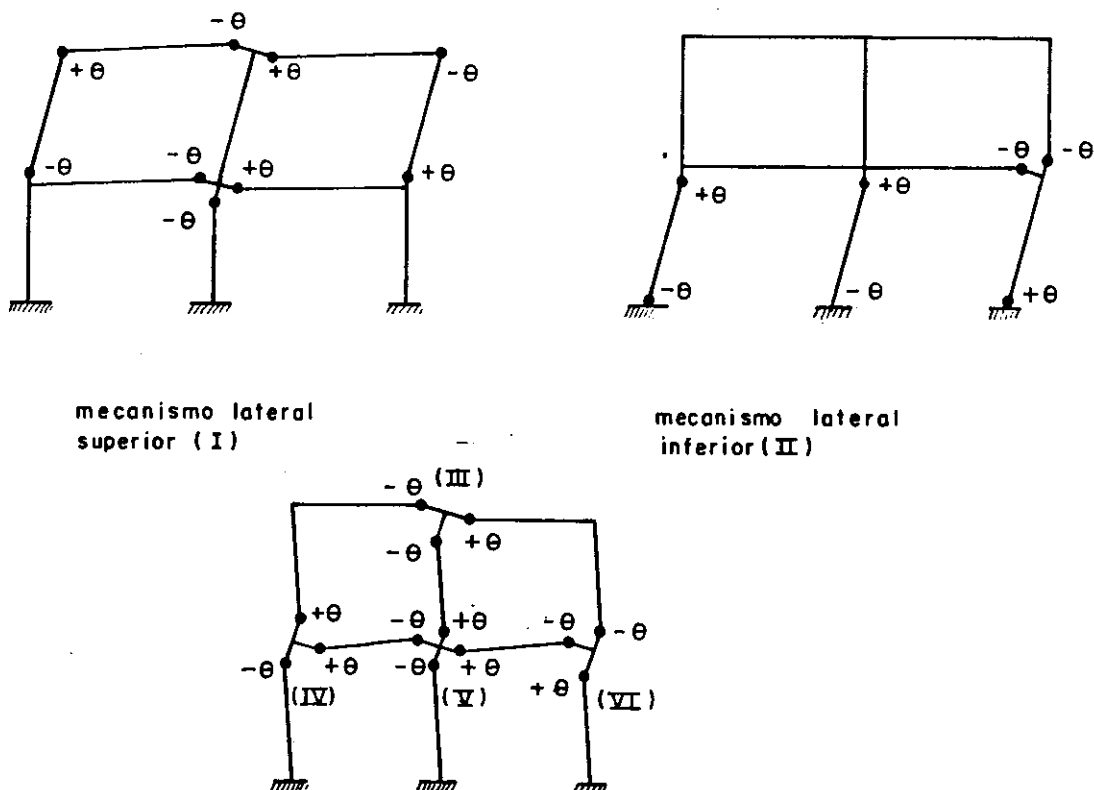


FIG. 4.5 - NUMERAÇÃO DE RÓTULAS PLÁSTICAS



Do mecanismo (I), tem-se:

$$T_e = P/2 \cdot \theta \cdot 300$$

$$T_i = (2 \cdot 0,02+20+2 \cdot 0,01+0,2+0,1+2+1) M_p \cdot \theta ;$$

pelo P.T.V., vem:

$$P = 155,73 \text{ tf} \quad (\text{com } M_p = 1000 \text{ tf.cm})$$

Do mecanismo (II), tem-se:

$$T_e = (P/2) \cdot \theta \cdot 400 + P \cdot \theta \cdot 400$$

$$T_i = (2 \cdot 0,01+2 \cdot 0,1+10+0,2+0,01) M_p \cdot \theta ;$$

pelo P.T.V., vem:

$$P = 17,38 \text{ tf}$$

Dos mecanismos (III, IV, V e VI), vem:

$$T_e = 0 \rightarrow P \rightarrow \infty$$

Relações de equilíbrio relativas aos mecanismos independentes:

$$(I) \quad M_1 - M_2 + M_3 - M_5 - M_6 - M_{10} + M_{11} - M_{12} + M_{13} = (P/2) \cdot 300$$

$$(II) \quad M_8 - M_{16} + M_{12} - M_{17} - M_{14} - M_{13} + M_{18} = P \cdot 600$$

$$(III) \quad -M_2 - M_4 + M_3 = 0$$

$$(IV) \quad M_6 + M_7 - M_8 = 0$$

$$(V) \quad M_9 + M_{11} - M_{10} - M_{12} = 0$$

$$(VI) \quad -M_{13} - M_{14} + M_{15} = 0$$

Admitindo que (II) seja o mecanismo de colapso,  
vem:

$$M_8 = +10 ; M_{16} = -10 ; M_{12} = +100 ; M_{17} = -100 ;$$

$$M_{13} = -10 ; M_{14} = -200 ; M_{18} = +10000 ;$$

Pelo Teorema cinemático<sup>(2)</sup>, tem-se:

$$P = 17,38 \text{ tf} \geq P_u$$

Verificação estática: tentar-se-á encontrar uma distribuição de momentos fletores que seja segura e estaticamente possível.

Obs.: Os valores de momentos sublinhados são arbitrados.

Das relações de equilíbrio acima, vem:

$$(VI) \quad -M_{13} -M_{14} +M_{15} = 0 \rightarrow M_{15} = -210 ;$$

(II) é automaticamente verificada, por estar-se admitindo este mecanismo como o de colapso;

$$(IV) \quad M_6 +M_7 -M_8 = 0 \rightarrow M_6 +M_7 = 10 ; M_6 = \underline{1000} \rightarrow \\ \rightarrow M_7 = -980 ;$$

$$(V) \quad M_9 +M_{11} -M_{10} = 100 ; M_{10} = +\underline{2000} \text{ e } M_{11} = -\underline{200} \rightarrow \\ \rightarrow M_9 = 2300 ;$$

$$(III) \quad -M_2 -M_4 +M_3 = 0 \rightarrow M_3 = M_2 +M_4 ; M_3 = \underline{20000} \text{ e } \\ M_2 = -\underline{20} \rightarrow M_4 = 20020 ;$$

$$(I) \quad M_1 +20 +20000 -M_5 -1000 -2000 -200 -100 -10 = 2607,6 \rightarrow \\ \rightarrow M_1 -M_5 = 0,16 ; M_5 = \underline{10} \rightarrow M_1 = 10,16$$

Logo, pelo Teorema Estático<sup>(2)</sup>, tem-se:

$$P = 17,38 \text{ tf} = P_u$$

Então, pelo Teorema da Unicidade<sup>(2)</sup>, vem:

$$P_u = 17,38 \text{ tf}$$

que é exatamente o valor encontrado pelo PRGMI.

4.8.2 - O exemplo nº 2 é constituído por um pórtico de um andar e três prumadas de pilares com as seguintes características elasto-geométricas:

Perfis W (tensão de escoamento  $\sigma_y = 33 \text{ KSI}$ );

Módulo de Elasticidade  $E = 29000 \text{ KSI}$

Vigas: W10x49 ; Pilares: W8x31.

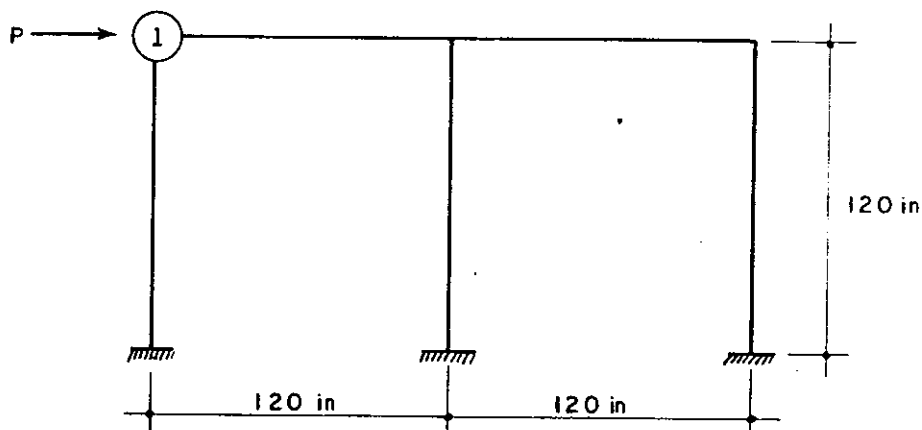


FIG. 4.6 - EXEMPLO DE VERIFICAÇÃO NÚMERO 2 – PÓRTICO EM 1 ANDAR E 3 PRUMADAS.

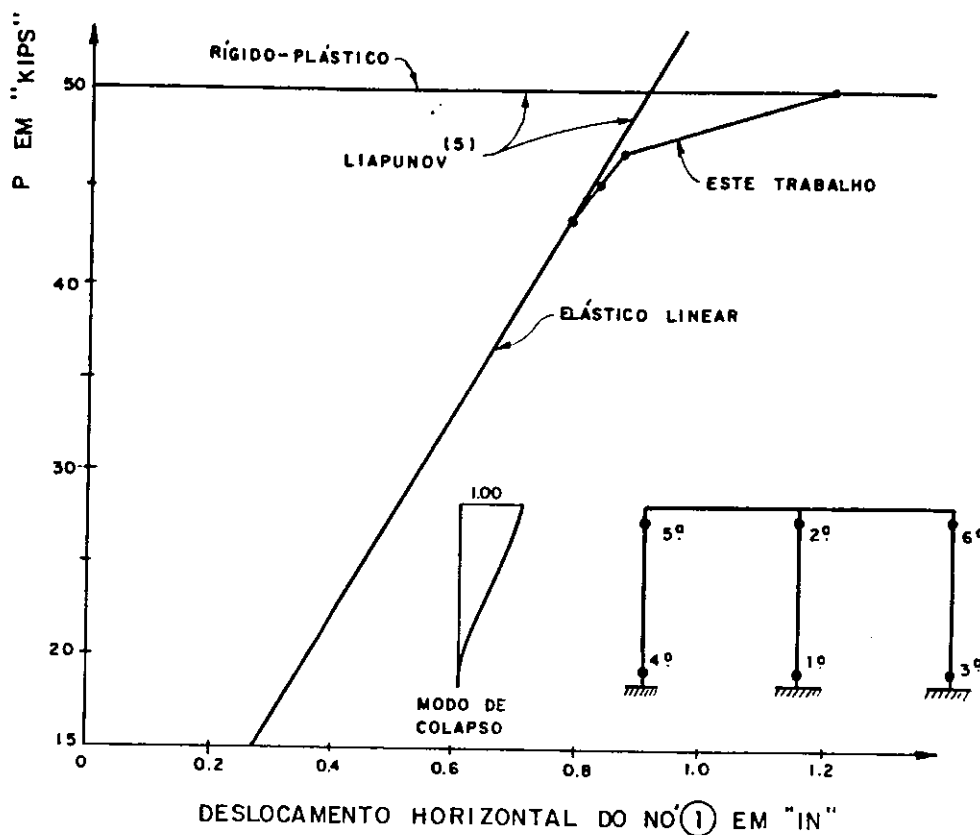


FIG. 4.7 - EXEMPLO DE VERIFICAÇÃO NÚMERO 2.

4.8.3 - O exemplo nº 3 é constituído por um pórtico em um andar e duas prumadas de pilares, com as seguintes características elasto-geométricas:

Perfis WF (tensão de escoamento  $\sigma_y = 50$  KSI);

Módulo de Elasticidade  $E = 30000$  KSI;

Viga:  $J = 231 \text{ in}^4$ ;  $M_p = 2678 \text{ Kip.in}$ ;

Pilares:  $A = 10,07 \text{ in}^2$ ;  $J = 115,5 \text{ in}^4$ ;

$M_p = 1590 \text{ Kip.in}$

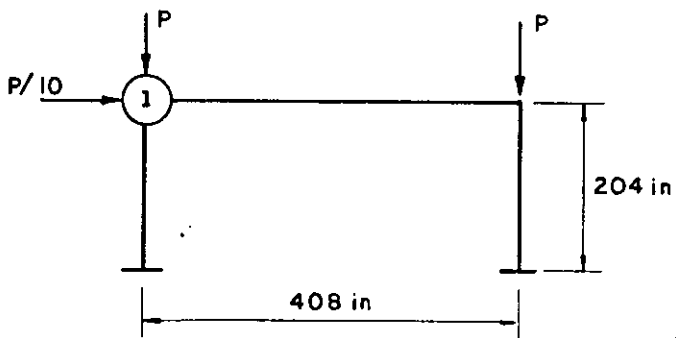


FIG. 4.8 - EXEMPLO DE VERIFICAÇÃO NÚMERO 3 - PÓRTICO EM 1 ANDAR E 2 PRUMADAS.

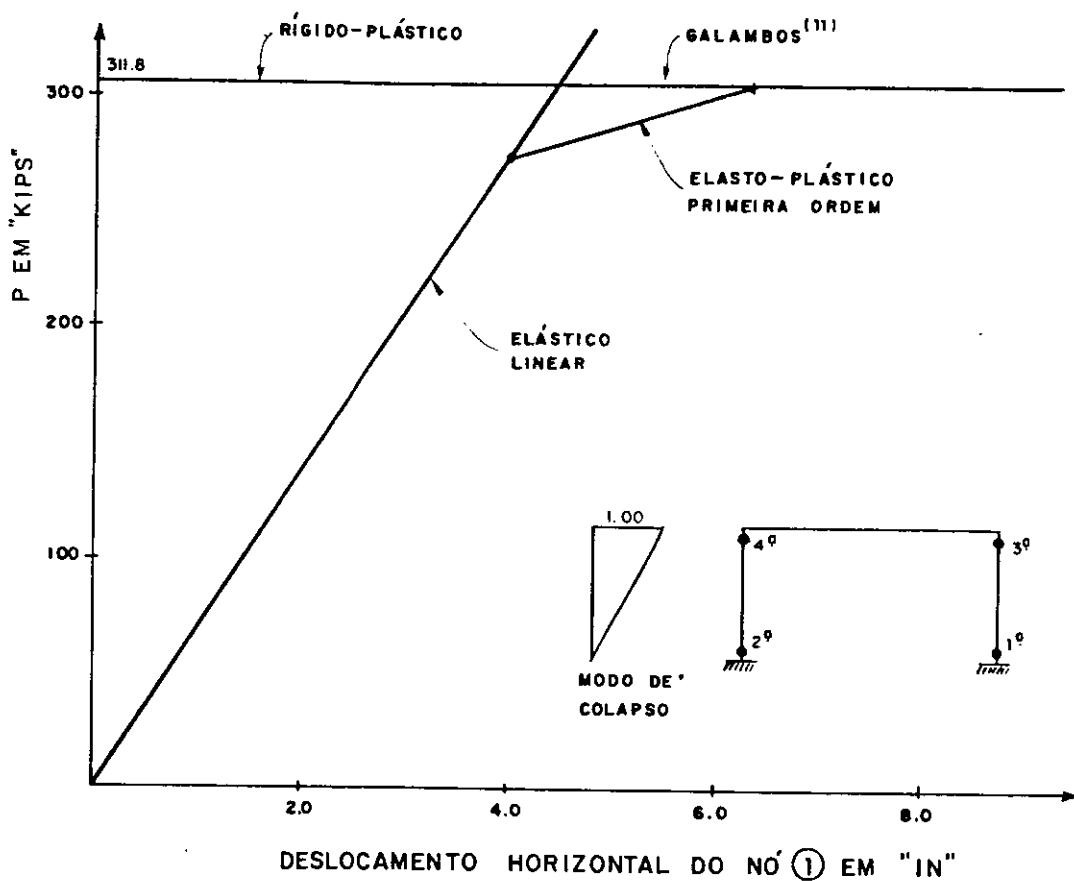


FIG. 4.9 - EXEMPLO DE VERIFICAÇÃO NÚMERO 3.

Observa-se que a carga última da análise rígido-plástica coincide com a da elasto-plástica, como se previa<sup>(11)</sup>.

#### 4.9 - Exemplos

Nesta seção propõem-se a análise de dois pórticos cujas características elasto-geométricas e o carregamento são próximos das usuais.

No primeiro exemplo (pórtico número 1), apresenta-se um pórtico de seis andares e duas prumadas de pilares, com uma relação altura/largura igual a 4,62.

No segundo exemplo (pórtico número 2) apresenta-se um pórtico de seis andares e três prumadas de pilares, com uma relação altura/largura igual a 2,06.

As barras dos pórticos, se constituem de perfis padrão americano, produzidos por Usina(s) Nacional(is).

Quanto ao carregamento que solicitará os pórticos, tem-se o seguinte: o carregamento gravitacional é considerado constante e o horizontal variando de um valor inicial até um valor último, ao longo da análise, sendo este detectado automaticamente pelo PRGMI. Observa-se que, em circunstâncias usuais a intensidade dos parâmetros de carga do carregamento horizontal é variável com a altura do pórtico; por outro lado, os parâmetros do carregamento gravitacional constituem-se de cargas "mortas" e "vivas", previstas de acordo com o tipo de construção e utilização da edificação.

As características elásticas, geométricas e o carregamento dos pórticos são as que se apresentam a seguir.

Assim, para esses pórticos considera-se um material com  $E = 2100 \text{ tf/cm}^2$ , sendo que as barras se constituem em perfis I(axe) (sendo "I" o tipo de seção transversal, "a" a altura total do perfil na direção da alma e "e" o peso do perfil em  $\text{kgf/m}$ ) de aço carbono (ASTM A36) com  $\sigma_y = 2,1 \text{ tf/cm}^2$ .

Os dados geométricos dos pórticos número 1 e 2 são apresentados nas Figs. 4.10(a) e 4.11(a), respectivamente e, na tabela 3.

Os carregamentos dos pórticos número 1 e 2 são apresentados pelas Figs. 4.10(b) e 4.11(b), respectivamente.

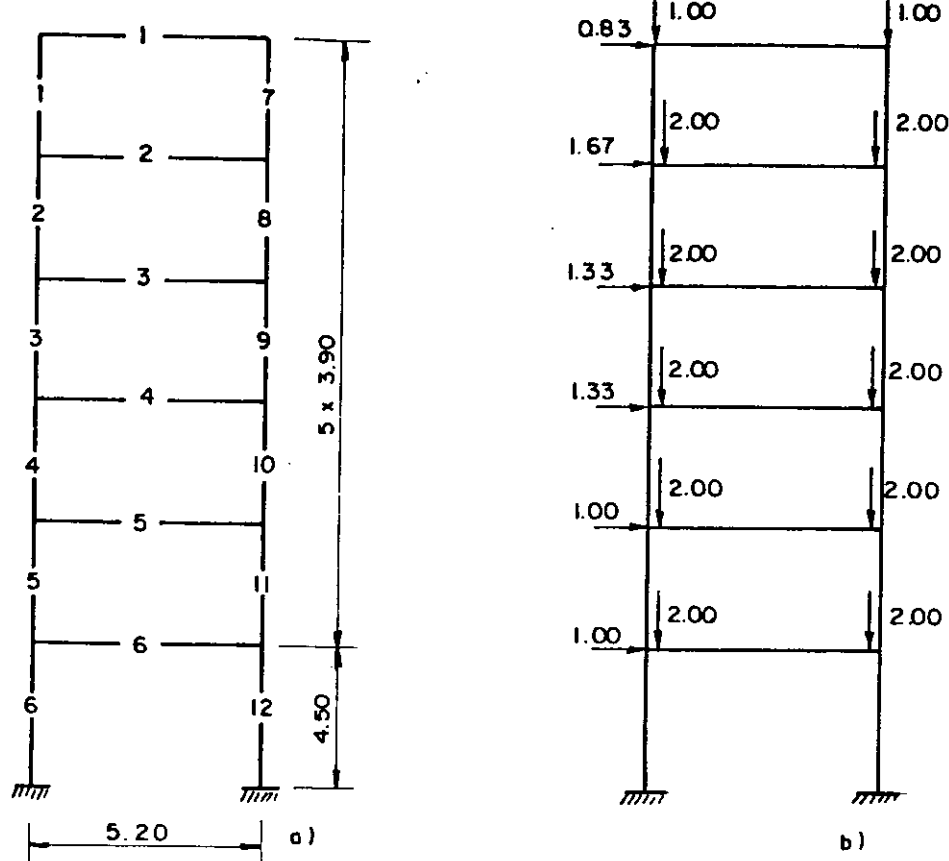


FIG. 4.10- PÓRTICO NÚMERO 1.

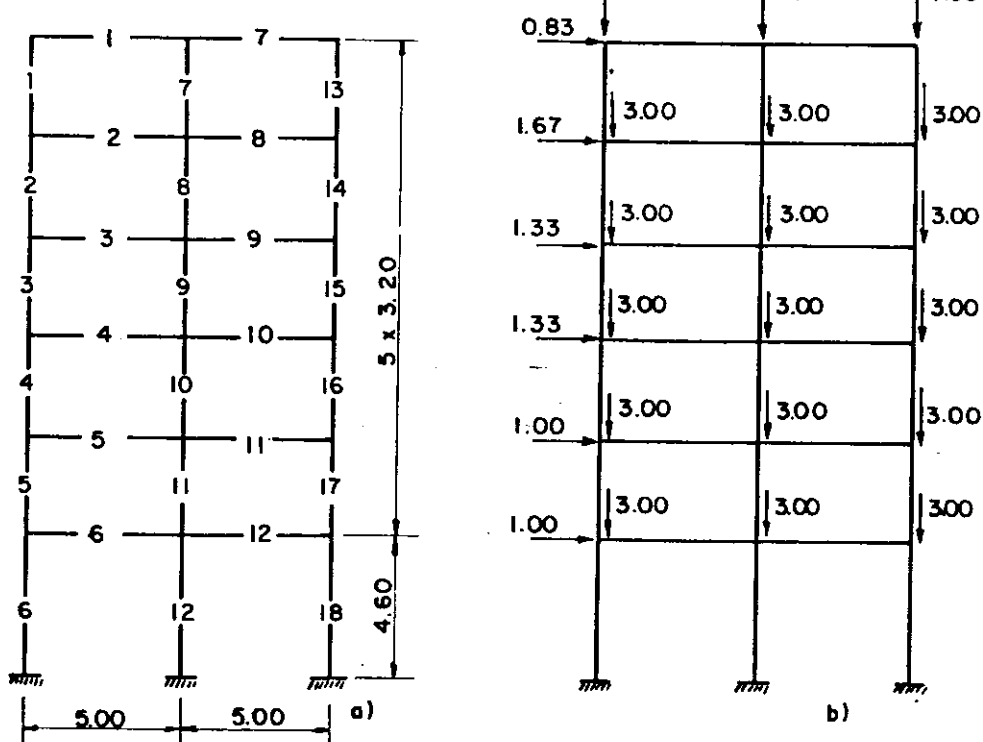


FIG. 4.11- PÓRTICO NÚMERO 2.

TABELA 3  
CARACTERÍSTICA DOS PERFIS

PÓRTICOS				
NÚMERO DA BARRA		NÚMERO 1	NÚMERO DA BARRA	NÚMERO 2
PILARES	1	I 12x74,4	1	I 12x74,4
	2	I 12x74,4	2	I 12x74,4
	3	I 15x63,3	3	I 12x81,8
	4	I 15x63,3	4	I 12x81,8
	5	I 15x66,5	5	I 15x63,3
	6	I 15x66,5	6	I 15x63,3
	7	I 12x74,4	7	I 12x74,4
	8	I 12x74,4	8	I 12x74,4
	9	I 15x63,3	9	I 15x63,3
	10	I 15x13,3	10	I 15x63,3
	11	I 15x66,5	11	I 15x66,5
	12	I 15x66,5	12	I 15x66,5
VIGAS	1	I 15x73,9	13	I 12x74,4
	2	I 15x73,9	14	I 12x74,4
	3	I 15x73,9	15	I 12x81,8
	4	I 15x73,9	16	I 15x81,8
	5	I 18x81,4	17	I 15x63,3
	6	I 18x81,4	18	I 15x63,3
		---	1	I 15x73,9
		---	2	I 15x73,9
		---	3	I 18x81,4
		---	4	I 15x81,4
		---	5	I 20x121,2
		---	6	I 20x126,6
		---	7	I 15x73,9
		---	8	I 15x73,9
		---	9	I 18x81,4
		---	10	I 15x81,4
		---	11	I 20x121,2
		---	12	I 20x126,6

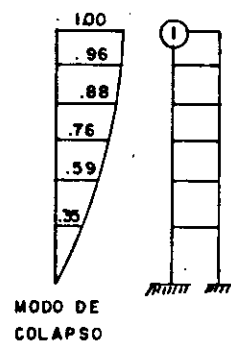
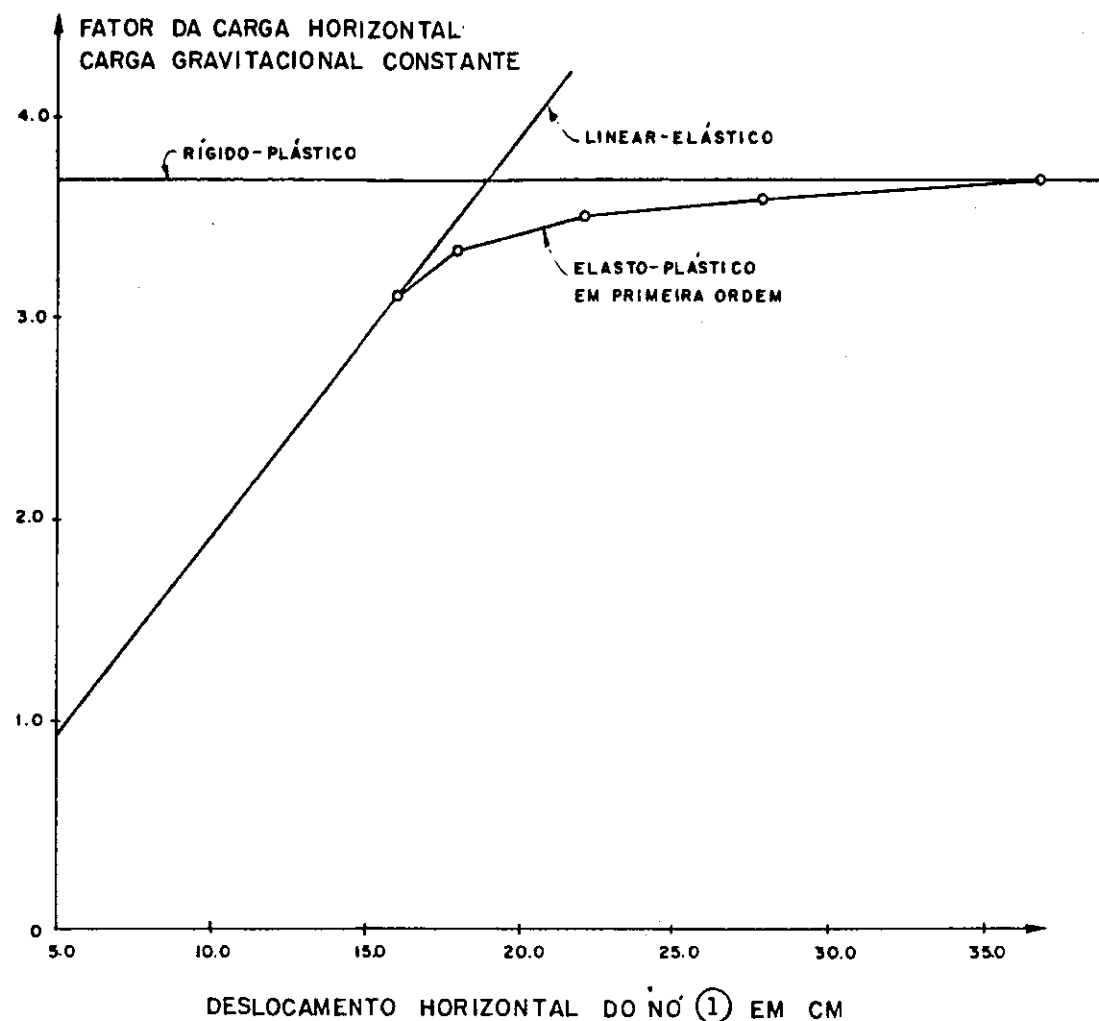


FIG. 4.12 - PÓRTICO NÚMERO 1.

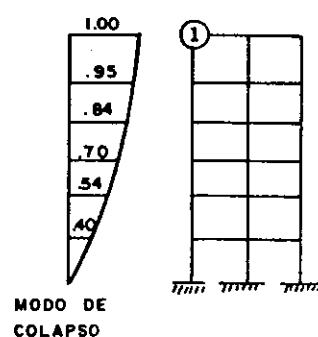
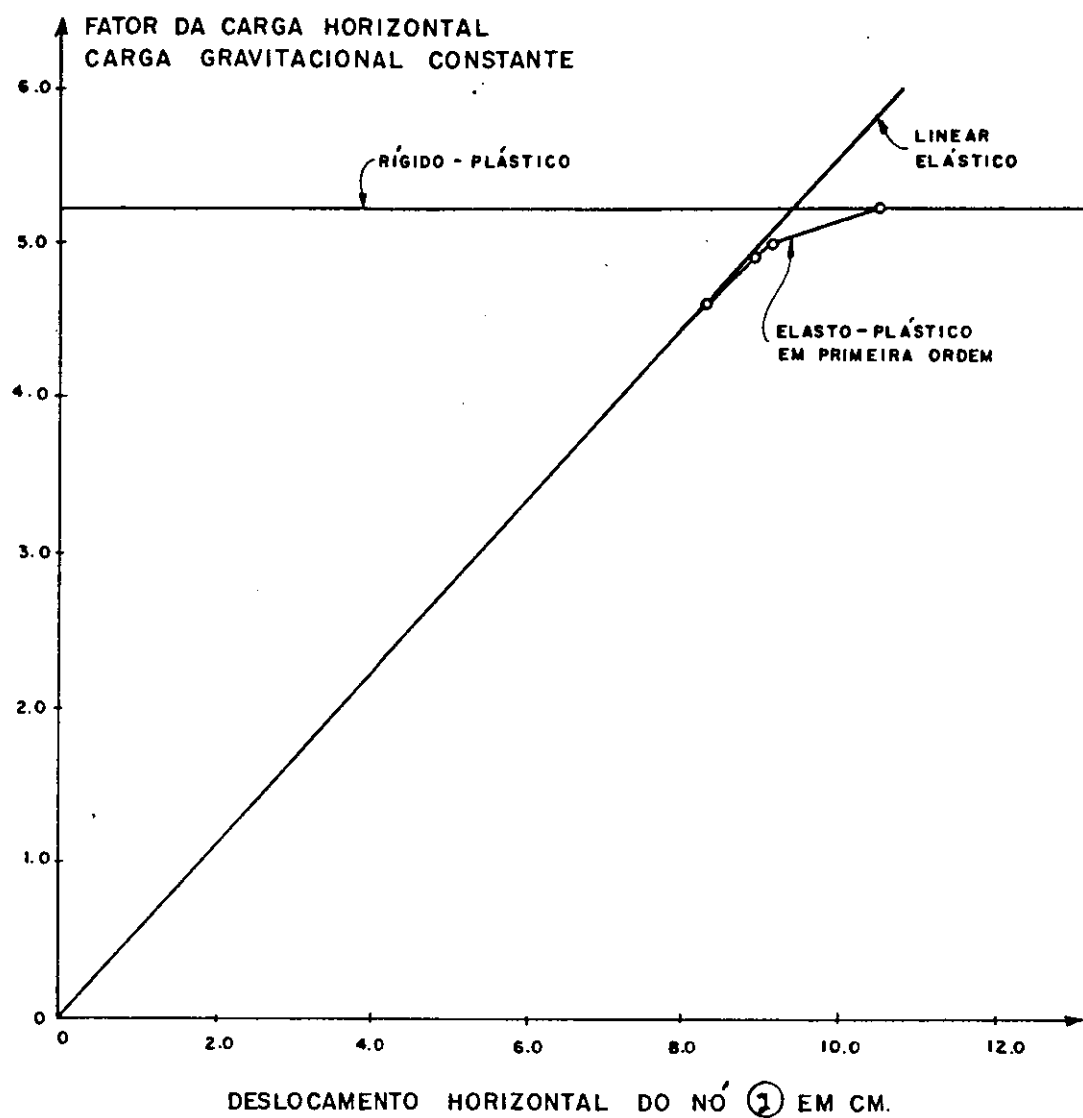


FIG. 4.13 - PÓRTICO NÚMERO 2.

## 5. ANÁLISE ELASTO-PLÁSTICA EM SEGUNDA ORDEM

Neste capítulo as relações carga-deslocamento e a carga última de pôrticos serão determinadas por uma análise elasto-plástica em segunda ordem. Nesta análise é considerada a não-linearidade física e geométrica.

Diante das dificuldades que ocorrem neste tipo de análise, procurou-se uma formulação que agilizasse a sua solução sem comprometer a precisão dos resultados.

Neste capítulo se apresenta a formulação completa dessa análise. A automatização da técnica utilizada é feita pelo programa de computador PRGMII.

### 5.1 - Preliminares

De um modo geral, a capacidade última de carga de uma barra ou de um pôrtico pode ser obtida, teoricamente, de três maneiras diferentes, as quais são citadas aqui como sendo:

- a) Análise elástica
- b) Análise rígido-plástica
- c) Análise elasto-plástica.

Dentre esses três tipos de análise, a elasto-plástica em segunda ordem é a que pode fornecer resultados mais próximos dos que se obtêm de ensaios experimentais, que por sua vez descrevem o comportamento mais real da estrutura<sup>(4)</sup>. O resultado de uma análise elasto-plástica é uma relação carga-deslocamento da estrutura, da qual a capacidade última de carga pode ser obtida de imediato.

De um modo geral, as análises elástica e rígido-plástica fornecem apenas a capacidade última de carga das estruturas<sup>(5)</sup>. Entretanto, uma análise elástica em segunda ordem pode fornecer uma relação carga-deslocamento, consti-

tuindo-se em uma tentativa primeira de se aproximar do comportamento real das estruturas, fornecendo valores superestimados para a carga. Da mesma forma uma análise rígido-plástica pode fornecer uma relação carga-deslocamento, de limitando também um valor superior para a carga última.

Na Fig. 5.1 apresentam-se as relações carga-deslocamento para os diversos tipos de análise. Nas respectivas curvas pode-se observar a deterioração da estabilidade devida a efeitos de segunda ordem e à formação de rótulas plásticas.

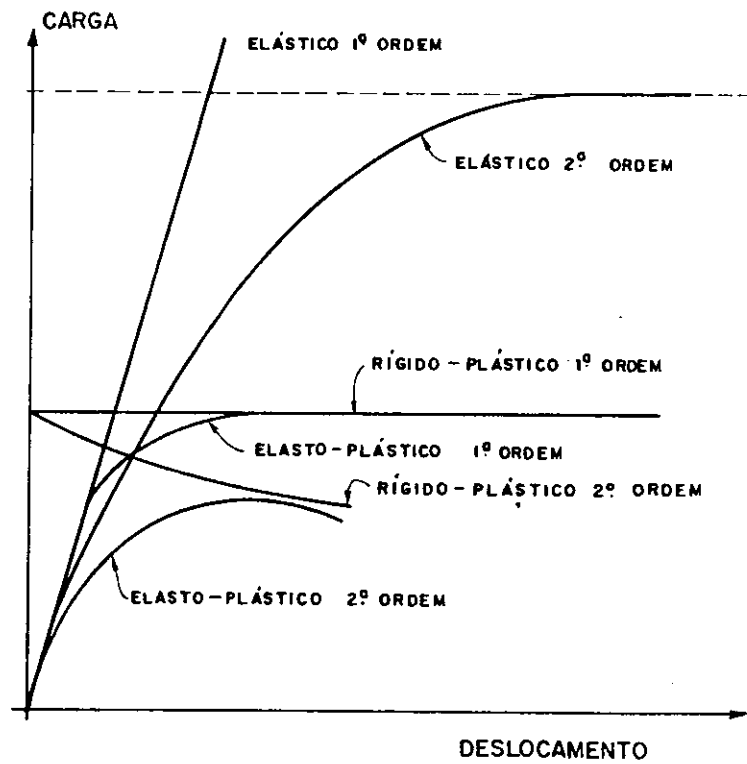


FIG. 5.1 — RELAÇÕES CARGA-DESLOCAMENTO



### 5.1.1 - Análise elástica

Uma análise elástica em segunda ordem é formulada considerando-se pequenas deformações ( $\phi=v''$ ), tendo-se as e quações de equilíbrio obtidas a partir da estrutura deformada e a rigidez das barras sendo alterada devido aos efeitos do esforço axial, o que é feito em geral, através das funções de estabilidade<sup>(9)</sup>. Dessa forma, os momentos fletores nas barras são ampliados pelos efeitos do carregamento na estrutura deformada (em geral, são consideradas as deformações devidas ao momento fletor, sendo desprezadas as deformações devidas ao esforço cortante). E, como resultado desses efeitos, os deslocamentos da estrutura, relativamente, aumentam mais rapidamente do que a carga que a solicita. Dessa forma, quando os deslocamentos tornam-se indeterminados, o que corresponde teoricamente a tenderem ao infinito, a estrutura atingiu a capacidade última de carga com o respectivo nível de carga se aproximando da carga de flambagem.

Ao ser iniciada a análise de uma estrutura, não se conhecem os esforços axiais em suas barras e com isso a determinação da matriz de rigidez da estrutura não pode ser feita diretamente<sup>(14)</sup>. No entanto, esse problema pode ser contornado, calculando-se os esforços axiais, inicialmente, a partir da matriz de rigidez obtida com esforços axiais nulos. E assim, num ciclo seguinte define-se a matriz de rigidez com os esforços axiais do ciclo anterior e, sucessivamente, obtendo-se um ajuste na matriz em função desses esforços, para o correspondente nível de carga na estrutura<sup>(11)</sup>.

Os resultados de uma análise elástica em segunda ordem são: uma relação carga-deslocamento associada à não linearidade geométrica e um valor para a carga crítica elástica. Esta carga se constitui numa importante referência, podendo ser utilizada como uma estimativa superior da capacidade última de carga, visto que representa a mais alta carga teoricamente possível que pode ser suportada pela estrutura.

Nesta dissertação, não será realizada esta análise.

### 5.1.2 - Análise rígido-plástica

Na análise rígido-plástica em primeira ou segunda ordem é possível se estimar a capacidade de carga não-elástica de barras e pórticos. Nesta análise supõe-se que após a formação de um mecanismo, a estrutura é incapaz de absorver qualquer incremento de carga. Com isso, a carga correspondente à formação do mecanismo refere-se à carga de colapso rígido-plástico.

As hipóteses consideradas nesta análise são as seguintes:

- a) as barras da estrutura se constituem de um material rígido-plástico;
- b) utiliza-se a concepção de rótulas plásticas, de acordo com o que se apresenta na seção 2.1;
- c) a estrutura permanece indeslocável até que o momento fletor seja igual a  $M_{pr}$  em um número suficiente de seções, tal que a estrutura se transforme em um mecanismo<sup>(11)</sup>;
- d) os segmentos de barra entre rótulas são rígidos.

Dessa forma a relação momento-curvatura é composta, de inicio, de uma linha vertical, até que surja o mecanismo na estrutura, seguida de uma linha horizontal (para análise em primeira ordem) ou de uma curva descendente com a concavidade para cima (para análise em segunda ordem).

Na análise em segunda ordem, após a formação do mecanismo, os deslocamentos da estrutura são computados considerando-se as deflexões de corpo rígido das barras nas equações de equilíbrio<sup>(11)</sup>. A curva carga-deslocamento gerada desse modo pode, em certos casos, cruzar com a curva carga-deslocamento da análise elasto-plástica em segunda ordem, definindo a mesma carga última que esta.

A análise rígido-plástica em primeira ordem é de

grande importância porque a capacidade última de carga de pôrticos de poucos andares, solicitados por esforços axiais de baixa intensidade é aproximadamente igual à carga de colapso rígido-plástica.

A primeira formulação completa da teoria da análise rígido-plástica se deve a Gvozdev<sup>(20)</sup> (1938).

### 5.1.3 - Análise elasto-plástica em segunda ordem

Uma estimativa mais precisa das relações carga-deslocamento, da capacidade última de carga e, também, do modo de colapso de pôrticos é obtida por uma análise elasto-plástica em segunda ordem. De acordo com o comportamento real de barras e pôrticos ocorre que a partir da aplicação dos primeiros incrementos de carga, já se manifestam deslocamentos na estrutura. Com isso, ao ser iniciada a análise, tem-se um comportamento elástico da estrutura, com esses deslocamentos gerando efeitos de segunda ordem como aqueles mencionados na seção 5.1.1. Devido a esses efeitos, as solicitações de flexão aumentam, antecipando a formação de rótulas plásticas que ocorre de forma similar à descrita na seção 3. Assim, será estabelecido um procedimento que intercala efeitos de segunda ordem com a formação de rótulas plásticas, até que ocorra a instabilidade da estrutura. Esses efeitos se constituem nas principais causas da deterioração da estabilidade da estrutura. Dessa forma, a relação carga-deslocamento é não-linear, sendo que os deslocamentos são cada vez maiores em relação ao nível de carga (i.e., ao aumento da carga).

Esse tipo de análise é, de certa forma, uma combinação de uma análise elasto-plástica em primeira ordem com uma análise elástica em segunda ordem.

A partir de um determinado nível de carga, para um pequeno incremento na carga, resultam grandes deslocamentos. Com isso, teoricamente, ao ser atingida a capacidade

última de carga, os deslocamentos tendem ao infinito com a estrutura tornando-se instável.

A primeira análise realizada, considerando a não linearidade física (rótulas plásticas) e geométricas (efeitos de segunda ordem) de pórticos foi, provavelmente, desenvolvida por Horne<sup>(21)</sup> (1948). Posteriormente, outros pesquisadores desenvolveram outros trabalhos.

Neste trabalho faz-se a análise de pórticos considerando-se os efeitos da plastificação de seções (rótulas plásticas), do esforço axial na rigidez dos pilares e na redução do momento de plastificação, dos deslocamentos horizontais dos nós (efeito P-Delta) e da reversão de rótulas plásticas. Entretanto, não são considerados os efeitos da deformação axial no equilíbrio das barras, da tensão residual e do espalhamento da plastificação ao longo do eixo das barras. Neste capítulo apresenta-se uma formulação numérica para essa análise.

## 5.2 - Formulação da análise

Através da análise elasto-plástica em segunda ordem se obtém as relações carga-deslocamento dos pórticos, até que seja atingida a instabilidade à qual se associa a carga última. Essas relações são obtidas através de determinados níveis de carga associados aos correspondentes deslocamentos ao longo da análise, que é incremental-iterativa. Dessa forma são obtidos pontos, pelos quais é traçada uma curva, que é ajustada da melhor forma possível a esses pontos. Cada ponto dessa curva representa uma posição de equilíbrio para os respectivos parâmetros de carga e deslocamento da estrutura.

Nas seções subsequentes se apresenta a formulação pormenorizada desta análise. A seção 5.2.1 apresenta as hipóteses e uma delineação passo a passo do procedimento utilizado. As seções 5.2.2 a 5.2.5 contém uma explanação detalhada do procedimento teórico utilizado.

O que foi considerado no capítulo 3 deste trabalho, quanto às matrizes de rigidez das vigas, à montagem da matriz de rigidez do sistema estrutural, aos vetores de carga, à rotação das rótulas plásticas e a alteração da rigidez do sistema estrutural devido à formação de rótulas plásticas, será mantido neste capítulo.

### 5.2.1 - Hipóteses e delineação da análise

Esta análise de pórticos consiste na determinação das relações carga-deslocamento da estrutura sob a ação de um carregamento crescente. Dadas as características elásticas, plásticas, geométricas e o carregamento do pórtico é procedida a análise pelo Processo dos Deslocamentos, o que é feito pela resolução dos sistemas de equações apresentados na seção 2.3, segundo as coordenadas do sistema estrutural. Ao considerar-se a plastificação (rótulas plásticas) a análise deve ser incremental e, ao considerar-se os efeitos dos esforços axiais (segunda ordem) a análise deve ser, também, iterativa. Dessa forma a relação carga-deslocamento é obtida pela superposição de soluções incrementais-iterativas, sendo não-linear com os deslocamentos, relativamente, aumentando mais rapidamente do que a carga aplicada.

O procedimento numérico proposto baseia-se nas mesmas hipóteses apresentadas no capítulo 2 (seção 2.1) e no capítulo 3 (seção 3.1), deste trabalho.

Ao ser iniciada a análise, o que corresponde à primeira fase do processo, a estrutura é inteiramente elástica. Com a matriz de rigidez  $[K]$ , definida a partir de esforços axiais nulos nos pilares, determina-se o primeiro fator de carga ( $\Delta W_i$ ) e os primeiros esforços axiais nos pilares. Com esses esforços axiais, altera-se a matriz de rigidez e os momentos de plastificação, que é reduzido pela ação do esforço axial. Com essa matriz de rigidez tangente  $[K']$  são recalculados os novos fatores de carga ( $\Delta W_i'$ ) e es-

forços axiais. E, assim, procede-se sucessivamente até que haja convergência entre os fatores de carga do ciclo interno atual com o do ciclo interno anterior.

Na segunda fase do processo, à qual corresponde a formação de rótulas plásticas na análise, tem-se que esse procedimento anterior, de ajustar-se a matriz de rigidez  $[K']$  aos esforços axiais, é repetido em todas as etapas entre a formação de rótulas. E, assim, são determinados os fatores de carga ( $\Delta W_i$ ) de cada etapa, correspondentes à formação das rótulas plásticas. Na passagem de uma etapa para outra, nessa segunda fase da análise, a matriz de rigidez  $[K']$  é alterada devido à formação de rótula(s) plástica(s). As relações carga-deslocamento se apresentam como a da Fig. 5.2.

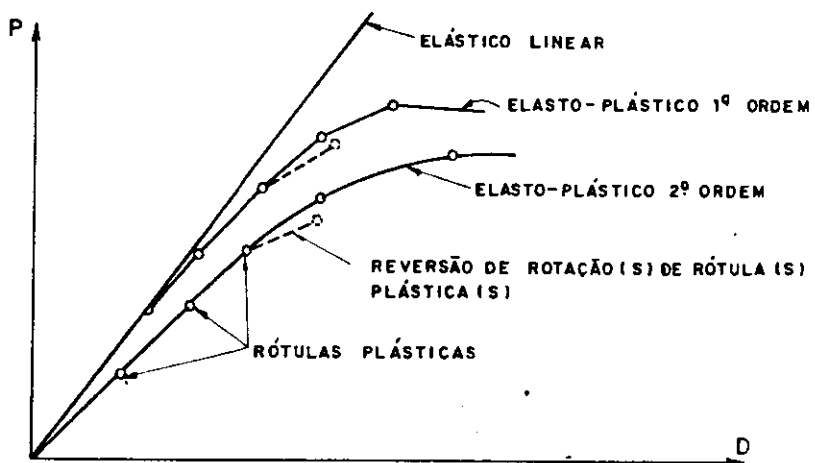


FIG. 5.2 - RELAÇÕES CARGA-DESLOCAMENTO

As considerações quanto à reversão de rótula(s) plástica(s) são as mesmas que aquelas apresentadas na seção 3.1.

O procedimento numérico incremental-iterativo a seradoado para computar os fatores de carga ( $\Delta W_i$ ) nas análises de pórticos é descrito pelos passos seguintes:

- 1) Montagem da matriz de rigidez  $[K]$  a partir das matrizes de rigidez das barras, com as carac

terísticas elásticas e geométricas da estrutura, considerada descarregada.

- 2) Resolução do sistema de equações pelo método de Cholesky com o vetor de carga  $\{P_f\}$ .
- 3) Com os deslocamentos calculados no passo 2, a cima, determinam-se os esforços  $E_f$  com os quais é verificado se há plastificação nas seções das barras; e caso afirmativo, faz-se a redução dos parâmetros de carga do vetor  $\{P_f\}$ , retomando-se ao passo 2; em caso negativo, passe-se ao passo 4.
- 4) Resolve-se o sistema de equações pelo método de Cholesky com o vetor de carga  $\{P_v\}$ , e calcula-se os esforços  $E_v$ . Se a matriz de rigidez deixou de ser positiva definida ou houve indeterminação na resolução do sistema de equações, tem-se que a estrutura tem atingido a capacidade última de carga e a análise é finalizada.
- 5) Calcula-se o fator de carga  $\Delta W_i$  referente à formação de rótula(s) plástica(s) com  $M_{pr}$  da etapa atual. Caso o esforço axial de algum pilar tenha atingido o valor da força de escoamento da seção ( $F > F_y$ ), a análise é interrompida. Se o fator de carga  $\Delta W_i$  for muito pequeno, a análise é finalizada sob a suposição de que a capacidade última de carga da estrutura tem sido atingida.
- 6) Altera-se a matriz de rigidez tangente  $[K']$  devido aos esforços axiais estimados pelo fator de carga  $\Delta W_p$ .
- 7) Sendo a primeira etapa, são recalculados os esforços  $E_v$  e  $E_f$ ; a partir da segunda etapa, são recalculados apenas os esforços  $E_v$ .

- 8) Recalcula-se o fator de carga  $\Delta W_i$  e testa-se a convergência com o fator do passo 5; se há convergência, passa-se para o passo 9 e, em caso contrário, retorna-se ao passo 6.
- 9) Caso a convergência do passo 8 não seja alcançada com o número máximo de iterações pré-estabelecida, passa-se ao passo 10.
- 10) Determina-se a(s) rótula(s) plástica(s) simulânea(s), a menos de um "erro" pré-fixado de acordo com a precisão desejada na análise.
- 11) Calculam-se os esforços {E} e os deslocamentos {D} acumulados, através do fator  $\Delta W_i$  da etapa atual.
- 12) Altera-se a matriz de rigidez tangente  $[K']$  devido aos esforços axiais acumulados até a etapa atual. Caso algum pilar tenha atingido a carga crítica, a análise é interrompida.
- 13) Calculam-se as rotações das rótulas plásticas com os esforços {E} e os deslocamentos {D} do passo 11.
- 14) A partir da terceira etapa, verifica-se a reversão de rótula(s) plástica(s). Caso haja reversão, altera-se a matriz de rigidez tangente  $[K']$ , desacumula-se os parâmetros {E} e {D} e retorna-se ao passo 4, repetindo-se essa etapa.
- 15) Altera-se a matriz de rigidez tangente  $[K']$  devido à formação de rótula(s) plástica(s) dessa etapa. Retorna-se ao passo 4, dando prosseguimento à análise.

Assim será procedida a análise elasto-plástica em segunda ordem deste trabalho.

### 5.2.2 - Efeito do esforço axial na rigidez dos pilares

A presença do esforço axial  $F$  numa barra altera sua rigidez e consequentemente os outros esforços. No caso de pôrticos carregados predominantemente por cargas gravitacionais, o esforço axial nos pilares é preponderante, o que afeta significativamente a rigidez da estrutura.

O efeito do esforço axial na rigidez dos pilares será considerado através das funções de estabilidade<sup>(9)</sup>, que são definidas a seguir.

Considera-se que  $\rho = F/F_e$ , sendo  $F_e = \pi^2 \cdot f / L$  e  $f = E \cdot J / L$ .

Seja a barra da Fig. 5.3, na qual o momento  $M_i$  provoca uma rotação  $\theta_i$  e faz surgir o momento de engastamento  $M_j$ .

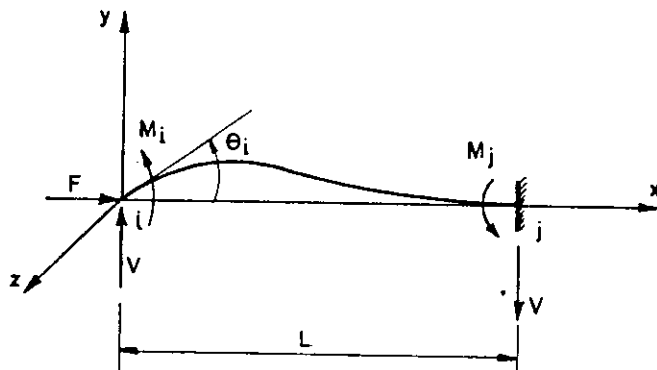


FIG. 5.3 — BARRA COM ESFORÇO AXIAL

Para a barra da Fig. 5.3 a equação da linha elástica, com  $v$  representando a deflexão de um ponto do eixo da barra distante  $x$  da extremidade "i" no plano  $xoy$ , pode ser expressa por:

$$v'' + \pi^2 \cdot \rho \cdot v / L^2 = ((M_i + M_j) \cdot x / L - M_i) / (f \cdot L)$$

.... Eq. (5.1)

A solução dessa equação diferencial, obtida a partir das condições de contorno  $v = 0$  para  $x = 0$  e para  $x = L$ , diferenciada em relação a  $x$ , é expressa por:

$$4\beta^2 \cdot f \cdot v' = M_i (1 - 2\beta \sin 2\beta x/L - 2\beta \cot 2\beta \cos 2\beta x/L) + \\ + M_j (1 - 2\beta \cosec 2\beta \cos 2\beta x/L), \quad \beta = \pi/2 \cdot \sqrt{\rho} \quad \dots \text{Eq. (5.2)}$$

Com a condição de contorno  $v' = 0$  para  $x = L$  e, por definição<sup>(14)</sup>, tem-se o fator de propagação

$$c = M_j/M_i = (2\beta - \sin 2\beta)/( \sin 2\beta - 2\beta \cos 2\beta) \quad \text{Eq. (5.3)}$$

Visto que, por definição<sup>(14)</sup>,  $M_i = s \cdot f \cdot \theta_i$  e  $M_j = c \cdot s \cdot f \cdot \theta_j$ , o valor de  $s$  pode ser obtido a partir da eq. 5.2, dando

$$s = \beta (\sin 2\beta - 2\beta \cos 2\beta) / (2 \sin \beta (\sin \beta - \beta \cos \beta)) \quad \dots \text{Eq. (5.4)}$$

As equações 5.3 e 5.4 relativas aos coeficientes  $s$  e  $c$  dependem apenas da relação entre  $F$  e  $F_e$ .

A rigidez de uma barra é reduzida quando, por exemplo, um dos seus extremos é articulado. Seja a barra da Fig. 5.4, contendo uma articulação na extremidade "j".

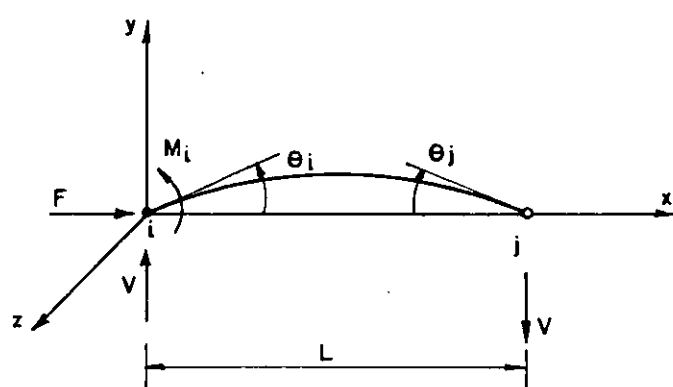


FIG. 5.4 - BARRA ARTICULADA COM ESFORÇO AXIAL

Por superposição, obtém-se a partir de barras como a da Fig. 5.3 o que segue: com a articulação em "i" e em "j" vem, respectivamente, que  $M_i = s \cdot f \cdot (\theta_i + c \cdot \theta_j)$  e  $M_j = s \cdot f \cdot (c \cdot \theta_i + \theta_j)$ . Sendo que na barra da Fig. 5.4  $M_j = 0$ , resulta que  $\theta_j = -c \cdot \theta_i$ . Dessa forma  $M_i = s \cdot f \cdot (1 - c^2) \cdot \theta_i$  ou  $M_i = s'' \cdot f \cdot \theta_i$ , sendo

$$s'' = s \cdot (1 - c^2) \quad \dots \text{Eq. (5.5)}$$

que é o coeficiente de rigidez modificado<sup>(9)</sup>.

Como foi exposto acima, os coeficientes  $s$ ,  $c$  e  $s''$  são associados à rotação de extremidade das barras.

No caso de uma translação transversal ao eixo da barra, conforme a Fig. 5.5, o efeito do esforço axial  $F$  é considerado a seguir.

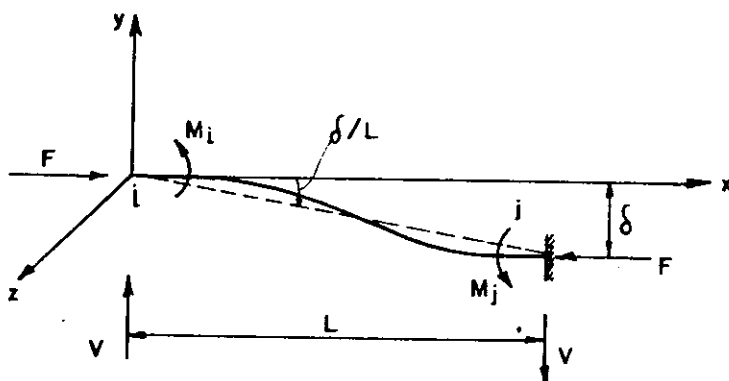


FIG. 5.5— BARRA TRANSLADADA COM ESFORÇO AXIAL

A extremidade "j" é transladada de "δ" em relação a "i", sendo  $\delta/L$  pequeno comparado com a unidade. Dessa forma, pode-se considerar que a barra seja submetida apenas a rotações  $\theta_i = \delta/L$  e  $\theta_j = \delta/L$ . Por superposição tem-se que  $M_i = M_j = s(1+c) \cdot f \cdot \delta/L$ . Com a translação, conforme a Fig. 5.5, e pondo  $F = 0$ , tem-se que  $V \cdot L = M_i + M_j$  e  $M_i = M_j = V \cdot L/2$ . Com a presença do esforço axial, a equação passa a se apresentar  $M_i = M_j = m \cdot V \cdot L/2$ , na qual "m" representa o efeito de  $F$ .

Fazendo-se o equilíbrio em relação ao ponto "i" tem-se  $V \cdot L = M_i + M_j - F \cdot \delta$ . Substituindo  $M_i = M_j = m \cdot V \cdot L / 2 = s(1+c)f \cdot \delta / L$  e  $F = \pi^2 \rho f / L$ , vem que

$$m = 2s(1+c)/(2s(1+c)-4\beta^2) \quad \dots \text{Eq. (5.6)}$$

sendo que o esforço  $V = 2s(1+c)f\delta/mL^2$ .

Caso a barra possua uma articulação, conforme a Fig. 5.6, o efeito do esforço axial  $F$  é considerado como segue.

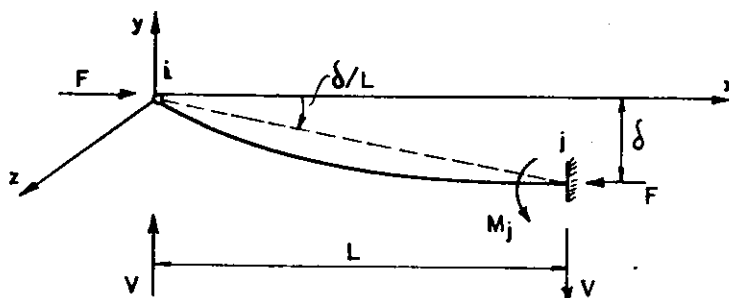


FIG. 5.6 - BARRA ARTICULADA COM ESFORÇO AXIAL

O momento é  $M_j = s'' \cdot f \cdot \delta / L$ , conforme a Fig. 5.4 e o que se expôs acima. Fazendo-se o equilíbrio em relação à extremidade "i", tem-se que o esforço cortante é dado por

$$V = (s'' - \pi^2 \rho) f \delta / L^2$$

No caso do esforço axial  $F$  ser de tração, a eq. 5.1 passa a apresentar-se sob a forma

$$v'' - \pi^2 \rho \cdot v / L^2 = ((M_i + M_j) \cdot x / L - M_i) / (f \cdot L) \dots \text{Eq. (5.7)}$$

cuja solução geral pode ser expressa por

$$v = C_1 \cdot e^{\pi \sqrt{\rho} x / L} + C_2 \cdot e^{-\pi \sqrt{\rho} x / L} - L / (\pi^2 \rho f) \cdot ((M_i + M_j) x / L - M_i) \quad \dots \text{Eq. (5.8)}$$

As condições de contorno e o procedimento adotado para a determinação dos coeficientes  $s$ ,  $c$ ,  $s''$  e  $m$  a partir da eq. 5.8, são análogos aos considerados anteriormente para o caso de compressão. Com isso as expressões desses coeficientes se apresentam sob a mesma forma, sendo as funções trigonométricas substituídas pelas hiperbólicas de mesmo nome. Assim

$$s = \gamma(\operatorname{senh} 2\gamma - 2\gamma \operatorname{cosh} 2\gamma) / (2\operatorname{senh}\gamma (\operatorname{senh}\gamma - \gamma \operatorname{cosh}\gamma)) \quad \dots \text{Eq. (5.9)}$$

$$c = (2\gamma - \operatorname{senh} 2\gamma) / (\operatorname{senh} 2\gamma - 2\gamma \operatorname{cosh} 2\gamma) \quad \dots \text{Eq. (5.10)}$$

$$m = 2s(1+c) / (2s(1+c) + 4\gamma^2) \quad \dots \text{Eq. (5.11)}$$

sendo  $\gamma = \pi/2 \sqrt{|-\rho|}$

Outros detalhes a respeito destas funções de estabilidade podem ser encontrados em Horne<sup>(9)</sup> e Antunes<sup>(14)</sup>.

A matriz de rigidez do sistema estrutural é obtida da mesma forma que a apresentada na seção 3.2 do capítulo 3. A seguir, apresentam-se as matrizes de rigidez dos pilares obtidas a partir dos coeficientes  $s$ ,  $c$ ,  $s''$  e  $m$ , de acordo com as coordenadas e eixos de referência da Fig. 3.5.

Para um pilar sem articulações, a matriz de rigidez  $[K_{ij}]^P$  segundo suas coordenadas, apresenta-se com a seguinte configuração:

$$[K_{ij}]^P = \begin{bmatrix} 1 & 2 & 3 & 4 & 5 & 6 \\ 1 & \frac{EA}{L} & 0 & 0 & -\frac{EA}{L} & 0 & 0 \\ 2 & 0 & \frac{sEJ}{L} & -\frac{s(1+c)EJ}{L^2} & 0 & \frac{scEJ}{L} & \frac{s(1+c)EJ}{L^2} \\ 3 & 0 & -\frac{s(1+c)EJ}{L^2} & \frac{2s(1+c)EJ}{m L^3} & 0 & -\frac{s(1+c)EJ}{L^2} & -\frac{2s(1+c)EJ}{m L^3} \\ 4 & \frac{EA}{L} & 0 & 0 & \frac{EA}{L} & 0 & 0 \\ 5 & 0 & \frac{scEJ}{L} & -\frac{s(1+c)EJ}{L^2} & 0 & \frac{sEJ}{L} & \frac{s(1+c)EJ}{L^2} \\ 6 & 0 & \frac{s(1+c)EJ}{L^2} & -\frac{2s(1+c)EJ}{m L^3} & 0 & \frac{s(1+c)EJ}{L^2} & \frac{2s(1+c)EJ}{m L^3} \end{bmatrix}$$

.... Eq. (5.12)

Um pilar com uma articulação na extermidade superior, terá sua matriz de rigidez com a seguinte configuração:

$$[K_{ij}]^P = \begin{bmatrix} 1 & 2 & 3 & 4 & 5 & 6 \\ 1 & \frac{EA}{L} & 0 & 0 & -\frac{EA}{L} & 0 & 0 \\ 2 & 0 & 0 & 0 & 0 & 0 & 0 \\ 3 & 0 & 0 & \frac{(s''-\pi^2\rho)EJ}{L^3} & 0 & -\frac{s''EJ}{L^2} & \frac{(s''-\pi^2\rho)EJ}{L^3} \\ 4 & \frac{EA}{L} & 0 & 0 & \frac{EA}{L} & 0 & 0 \\ 5 & 0 & 0 & -\frac{s''EJ}{L^2} & 0 & \frac{s''EJ}{L} & \frac{s''EJ}{L^2} \\ 6 & 0 & 0 & -\frac{(s''-\pi^2\rho)EJ}{L^3} & 0 & \frac{s''EJ}{L^2} & \frac{(s''-\pi^2\rho)EJ}{L^3} \end{bmatrix}$$

.... Eq. (5.13)

Um pilar com uma articulação na extremidade inferior, terá sua matriz de rigidez com a seguinte configuração:

$$[K_{ij}]^P = \begin{bmatrix} 1 & 2 & 3 & 4 & 5 & 6 \\ 1 & \frac{EA}{L} & 0 & 0 & -\frac{EA}{L} & 0 & 0 \\ 2 & 0 & \frac{s''EJ}{L} & -\frac{s''EJ}{L^2} & 0 & 0 & \frac{s''EJ}{L^2} \\ 3 & 0 & -\frac{s''EJ}{L^2} & \frac{(s''-\pi^2\rho)EJ}{L^3} & 0 & 0 & -\frac{(s''-\pi^2\rho)EJ}{L^3} \\ 4 & \frac{EA}{L} & 0 & 0 & \frac{EA}{L} & 0 & 0 \\ 5 & 0 & 0 & 0 & 0 & 0 & 0 \\ 6 & 0 & \frac{s''EJ}{L^2} & -\frac{(s''-\pi^2\rho)EJ}{L^3} & 0 & 0 & \frac{(s''-\pi^2\rho)EJ}{L^3} \end{bmatrix}$$

.... Eq. (5.14)

E, finalmente, um pilar bi-articulado terá sua matriz de rigidez com a mesma configuração da eq. 3.7 da seção 3.2 do capítulo 3.

Deve-se observar que  $\rho$  muda de sinal com o esforço axial  $F$ , nas equações 5.13 e 5.14.

A matriz de rigidez do sistema estrutural é obtida a partir das matrizes de rigidez dos pilares  $[K_{ij}]^P$  referentes às equações 5.12, 5.13, 5.14 e 3.7 e, das matrizes de rigidez das vigas  $[K_{ij}]^V$  referentes às equações 3.1, 3.2 e 3.3 da seção 3.2 do capítulo 3.

### 5.2.3 - Efeito do esforço axial no momento de plastificação

O valor do momento de plastificação  $M_{pr}$  depende do esforço axial na barra, e pode ser estimado (11,16) da seguinte maneira:

$$M_{pr} = M_p \quad \text{com } 0 \leq F/F_y \leq 0,1526$$

.... Eq. (5.15)

$$M_{pr} = 1,18 \cdot M_p (1 - F/F_y) \quad \text{com } 0,1526 < F/F_y \leq 1,000$$

.... Eq. (5.16)

Tais expressões levam a bons resultados considerando-se perfis do tipo "H" e "I", como pode-se ver pela Fig. 5.7 (i.e., este diagrama é aproximadamente igual aos reais dos referidos perfis). Inclusive, essas expressões referentes às equações 5.15 e 5.16 são recomendadas pelo American Institute of Steel Construction (AISC)<sup>(16)</sup> para os perfis citados acima.

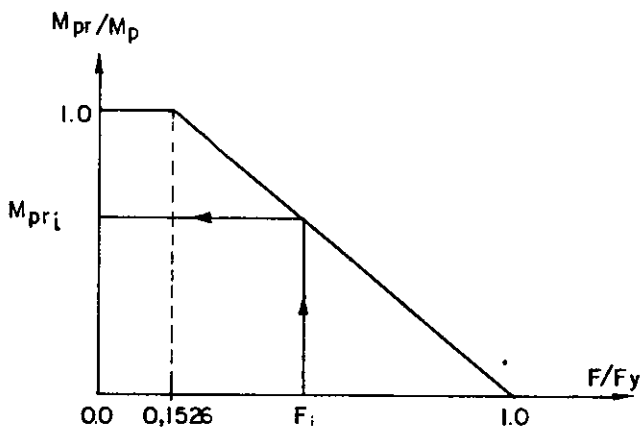


FIG. 5.7 - RELAÇÃO ENTRE O MOMENTO DE PLASTIFICAÇÃO E O ESFORÇO AXIAL.

Tendo-se o esforço axial efetivo e o momento de plastificação  $M_p$  de cada pilar (são desprezadas as deformações axiais das vigas, conforme a seção 3.1), avalia-se o momento de plastificação reduzido  $M_{pr}$  para cada iteração, em cada ciclo interno ao longo da análise.

Dessa forma, a relação momento-esforço axial-curvatura é a que se apresenta na Fig. 5.8, tendo-se em vista barras de seções como a da Fig. 2.2 do capítulo 2. Com

isso, deixa-se de considerar o efeito do esforço axial e das tensões residuais na curvatura  $\phi$ , assim como outros efeitos correlatos, tais como o espalhamento da plastificação ao longo do eixo das barras e o encurtamento do material<sup>(5)</sup>.

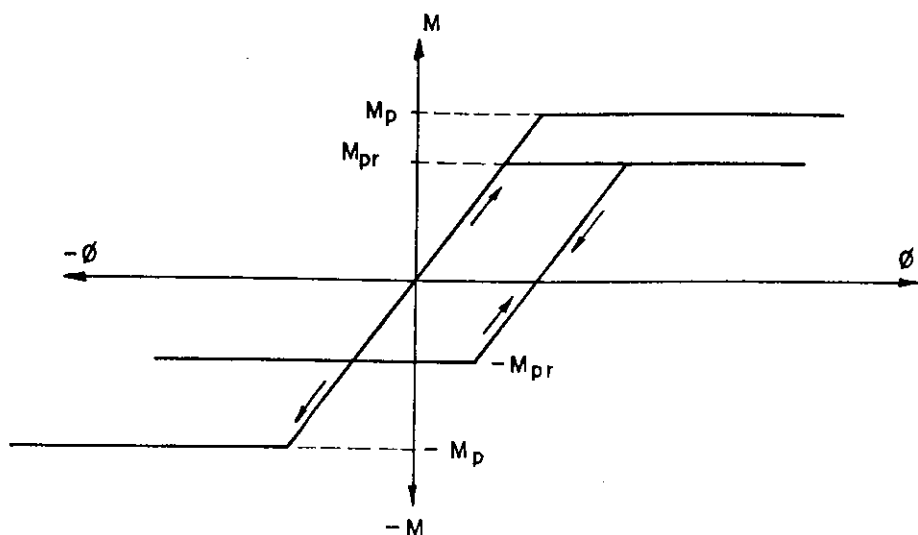


FIG. 5.8 - RELAÇÃO MOMENTO - ESFORÇO AXIAL - CURVATURA IDEALIZADA

#### 5.2.4 - Efeito P-Delta

O efeito P-Delta é tido como a ação do carregamento gravitacional sobre a estrutura transladada (i.e., deslocada horizontalmente).

Ao longo da análise, à medida que a estrutura vai assumindo deslocamentos horizontais referentes a cada andar, de acordo com o carregamento e suas características elasto-plasto-geométricas, a ação do carregamento sobre a estrutura transladada provoca esforços adicionais que é tido como efeito P-Delta ou "momento P-Delta". A existência destes deslocamentos horizontais é assegurada pois, sempre é considerada a presença de cargas horizontais nas análises deste trabalho, por menores que sejam.

A utilização do coeficiente "m", definido na se  
ção 5.2.2 e dado pela equação 5.6, nos elementos de rigidez  
dos pilares, faz com que o efeito P-Delta seja considerado,  
sendo que a influência desse efeito pode ser levada em con  
ta nas análises objetivando a determinação da capacidade úl  
tima de carga ou apenas a determinação de esforços soli  
ciantes em pórticos.

Sendo o coeficiente "m" relacionado com os elementos de rigidez dos pilares, o mesmo leva em consideração a inclinação entre o eixo dos pilares e a carga vertical.

No capítulo seguinte, capítulo 6, apresenta-se o procedimento adotado para a automatização desta análise e lasto-plástica em segunda ordem.

## 6. PROGRAMA PARA ANÁLISE AUTOMÁTICA - PRGMII

O programa para computador PRGMII faz a análise de pórticos, baseado no que se apresenta no capítulo 5. O PRGMII foi escrito em linguagem FORTRAN e estruturado em um programa principal e vinte e três subrotinas. Este programa foi inicialmente utilizado através do computador IBM 1130 e posteriormente através do HP 2100, ambos com 32K de memória interna. No Apêndice II o programa apresenta-se subdividido<sup>(17)</sup> em um segmento principal e doze segmentos auxiliares, para que se obtivesse um melhor aproveitamento da capacidade do computador HP 2100. Com esta concepção de programação pretendeu-se o seguinte:

- a) dar maior flexibilidade à programação;
- b) facilitar as correções e alterações;
- c) otimizar o aproveitamento da memória interna<sup>(10,17)</sup>
- d) possibilitar adaptações a outros tipos de análise.

A estrutura do PRGMII é basicamente a mesma do PRGMI, tendo sido mantidas as rotinas relativas à formação e fechamento de rótulas plásticas, e criadas novas rotinas para a consideração dos efeitos de segunda ordem. Com isso, o programa principal foi reestruturado objetivando ajustar o esforço axial nos pilares iterativamente e, com isso, foram criadas, substituídas e eliminadas determinadas subrotinas com relação ao PRGMI. Dessa forma, o que tem-se apresentado nas seções 4.1, 4.2, 4.4 e 4.5 é mantido para o PRGMII. Assim, a primeira fase do PRGMII coincide com a do PRGMI (veja seção 4). Entretanto, na segunda fase existem, basicamente, dois ciclos que se dispõem como segue. O ciclo externo processa a alteração da matriz  $[K']$  com a formação de rótulas plásticas, conforme a seção 3.5. O ciclo interno, por sua vez, processa o ajuste do esforço axial nos pilares, jun-

tamente com a determinação dos fatores de carga  $\Delta W_i$ . Cada ciclo externo, corresponde a uma etapa da análise.

Outros procedimentos do PRGMII são apresentados nas seções subsequentes e no Apêndice II.

Dependendo da capacidade de memória interna do computador utilizado, o PRGMII pode ser empregado para a análise de pórticos com um número elevado de incógnitas.

### 6.1 - Alteração da rigidez dos pilares

No ciclo iterativo interno da segunda fase do programa, conforme a seção 6, a matriz  $[K']$  é ajustada a partir das matrizes  $[K_{ij}]^P$  dos pilares, que levam em conta os efeitos do esforço axial. Assim, o ajuste da matriz  $[K']$  é feito através de uma subrotina do PRGMII, a qual utiliza os esforços axiais  $E_{ap}$  dados pela equação

$$\{E_{ap}\} = \{E_f\} + \Delta W_p \cdot \{E_v\} \quad \dots \text{Eq. 6.1}$$

sendo  $\Delta W_p$  o fator de carga pré-estabelecido em cada ciclo interno. Esta subrotina altera a matriz  $[K']$  por substituição das matrizes  $[K_{ij}]^P$  homólogas com relação à  $[K']$ , calculadas com os esforços  $\{E_{ap}\}$  do ciclo anterior e do ciclo atual, respectivamente. Ao ser finalizada cada etapa (etapa - veja seção 3.1) da análise, o que completa um ciclo externo, a matriz  $[K']$  é reajustada pelos esforços axiais mais exatos dessa etapa, que são dados por

$$\{E\} = \{E_f\} + W_t \cdot \{E_v\} \quad \dots \text{Eq. 6.2}$$

adotando-se um procedimento similar ao descrito acima.

Dessa forma são considerados os efeitos de segunda ordem nas análises de pórticos, neste trabalho.

## 6.2 - Cálculo dos deslocamentos pelo método de Cholesky

O cálculo dos deslocamentos é feito pela resolução dos sistemas de equações apresentados na seção 2.3, segundo as coordenadas do sistema estrutural, pelo método de Cholesky<sup>(13)</sup>.

Até que a capacidade última de carga da estrutura não seja alcançada, a matriz  $[K']$  é simétrica e positiva definida, podendo ser arranjada da seguinte forma

$$[K'] = [T^i] \cdot [T^s] \quad \dots \text{Eq. 6.3}$$

na qual  $[T^i]$  é uma matriz triangular inferior e  $[T^s]$  a sua transposta. Na forma expandida, observando-se a simetria, tem-se

$$\begin{pmatrix} K_{11} & K_{12} & K_{13} & \dots & K_{1n} \\ K_{21} & K_{22} & K_{23} & \dots & K_{2n} \\ K_{31} & K_{32} & K_{33} & \dots & K_{3n} \\ \vdots & \vdots & \vdots & \ddots & \vdots \\ K_{n1} & K_{n2} & K_{n3} & \dots & K_{nn} \end{pmatrix} = \begin{pmatrix} T_{11} & 0 & 0 & \dots & 0 \\ T_{12} & T_{22} & 0 & \dots & 0 \\ T_{13} & T_{23} & T_{33} & \dots & 0 \\ \vdots & \vdots & \vdots & \ddots & \vdots \\ T_{1n} & T_{2n} & T_{3n} & \dots & T_{nn} \end{pmatrix} \times \begin{pmatrix} T_{11} & T_{12} & T_{13} & \dots & T_{1n} \\ 0 & T_{22} & T_{23} & \dots & T_{2n} \\ 0 & 0 & T_{33} & \dots & T_{3n} \\ \vdots & \vdots & \vdots & \ddots & \vdots \\ 0 & 0 & 0 & \dots & T_{nn} \end{pmatrix}$$

$$\dots \text{Eq. 6.4}$$

Da equação 6.4, tem-se:

$$\begin{aligned} K_{11} &= T_{11}^2 ; \quad K_{22} = T_{12}^2 + T_{22}^2 ; \quad K_{33} = T_{13}^3 + T_{23}^2 + \\ &+ T_{33}^2 ; \quad \dots \dots \dots ; \quad \dots \dots \dots ; \\ \therefore K_{ii} &= \sum_{k=1}^i T_{ki}^2 \quad \dots \text{Eq. 6.5} \end{aligned}$$

$$K_{12} = T_{11} \cdot T_{12} ; \quad K_{13} = T_{11} \cdot T_{13} ; \quad K_{23} = T_{12} \cdot T_{13} +$$

$$+ T_{22} \cdot T_{23} ; \dots ;$$

$$\therefore K_{ij} = \sum_{k=1}^i T_{ki} \cdot T_{kj} \quad \dots \text{Eq. 6.6}$$

Das equações 6.5 e 6.6 obtém-se:

$$T_{ii} = K_{ii} - \sum_{k=1}^{i-1} T_{ki}^2 \quad \dots \text{Eq. 6.7}$$

$$T_{ij} = (K_{ij} - \sum_{k=1}^{i-1} T_{ki} \cdot T_{kj}) / T_{ii} \quad \text{se } j > i$$

Como  $T_{ij}$  é coeficiente da matriz  $[T^S]$ , vem que  $T_{ij} = 0$  se  $j < i$ ; com esta equação e a equação 6.7 é efetuada a triangularização da matriz  $[K']$ . Com as equações 6.3 e  $[K'] \cdot \{D\} = \{P\}$ , vem que

$$\{P\} = [T^i] \cdot [T^S] \cdot \{D\} \quad \dots \text{Eq. 6.8}$$

$$\text{Pondo-se } [T^S] \cdot \{D\} = \{P^*\} \quad \dots \text{Eq. 6.9}$$

obtém-se:

$$P_i^* = \sum_{k=1}^n T_{ik} \cdot D_k \quad \dots \text{Eq. 6.10}$$

Das equações 6.8 e 6.9, vem:

$$[T^i] \cdot \{P^*\} = \{P\} \quad \dots \text{Eq. 6.11}$$

obtendo-se:

$$P_i = \sum_{k=1}^i T_{ki} \cdot P_k^* \quad \dots \text{Eq. 6.12}$$

Da equação 6.12, vem:

$$P_i^* = (P_i - \sum_{k=1}^{i-1} T_{ki} \cdot P_k^*) / T_{ii} \quad \dots \text{Eq. 6.13}$$

Com os valores de  $\{P_i^*\}$ , dados pela equação 6.13, são calculados os deslocamentos  $\{D\}$  através da equação 6.10, resultando

$$D_i = (P_i^* - \sum_{k=i+1}^n T_{ik} \cdot D_k) / T_{ii} \quad \dots \text{Eq. 6.14}$$

Dessa forma são calculados os deslocamentos  $\{D\}$  no PRGMII, o que é feito através da equação 6.14.

### 6.3 - Convergência

Na segunda fase do PRGMII, onde são feitas iterações visando ajustar a matriz  $[K']$  aos efeitos de segunda ordem, tem-se que, os valores corretos dos deslocamentos  $D$  não podem ser obtidos a menos que os valores de  $[K']$  sejam corretos.

Com o objetivo de obter-se uma boa estimativa para os valores de  $[K']$  e, consequentemente, de  $\{D\}$ , tem-se utilizado o fator de carga  $\Delta W_p$  que é dado por:

$$\Delta W_p = (\text{OSCIL} \cdot \Delta W_i + \Delta W_a) / (\text{OSCIL} + 1) \quad \dots \text{Eq. 6.15}$$

A utilização deste fator de carga na predição dos esforços axiais dos pilares (veja seção 6.1) visa otimizar a análise, diminuindo a oscilação e consequentemente o número de iterações sem, no entanto, comprometer a precisão os resultados.

Na equação 6.15,  $\Delta W_i$  é o fator de carga efetivo do ciclo atual,  $\Delta W_a$  é o fator  $\Delta W_i$  do ciclo anterior e OSCIL é o coeficiente que visa minimizar as oscilações, atribuindo um grau de confiabilidade maior a  $\Delta W_i$ , na busca de um valor mais exato para o fator de carga  $\Delta W_i$  do próximo ciclo.

Um estudo à parte foi realizado, objetivando de terminar-se um valor ótimo para o coeficiente OSCIL. Para tanto, foram analisados vários pórticos com diferentes ca

racterísticas elasto-plasto-geométricas e carregamentos. Os critérios considerados para a escolha do valor ótimo desse coeficiente foram os seguintes: o equilíbrio da estrutura e o número mínimo de iterações. Confrontando-se os resultados obtidos nessas análises, verificou-se que, de modo geral, o valor ótimo para este coeficiente situa-se em torno de dois e três décimos(2,3). No entanto, deve-se observar que, para cada tipo de pórtico e carregamento, existe um particular valor ótimo para o coeficiente OSCIL.

Dessa forma tem-se solucionado o problema da convergência no processo iterativo do ciclo interno da segunda fase do PRGMII.

#### 6.4 - Relações carga-deslocamento e carga última

Ao longo da análise de cada estrutura, são computados os esforços e deslocamentos acumulados na segunda fase do PRGMII, através das equações 4.3 e 4.4. Em cada etapa da análise tem-se os deslocamentos (eq. 4.3) e o correspondente nível de carga (eq. 4.4) que solicita a estrutura segundo o sistema de coordenadas da Fig. 3.6. Com esses elementos as relações carga-deslocamento são estabelecidas e, com isso, pode-se construir diagramas como os das seções 6.6 e 6.7 seguintes.

Ao longo da análise, são feitos testes, objetivando detectar-se a causa da instabilidade em cada caso. Tem-se considerado que ocorre a instabilidade quando se verifica uma ou mais das seguintes causas:

- a) desenvolvimento de um mecanismo, envolvendo um ou mais andares da estrutura;
- b) colapso da estrutura como um todo;
- c) flambagem por flexão de pilares, i.e., o esforço axial do pilar atinge o valor da carga crítica de Euler;

d) escoamento de toda a seção do pilar, i.e.,

$$F = F_y;$$

e) a curva carga-deslocamento é nivelada, i.e., ocorrem grandes deslocamentos para pequenos incrementos de carga.

A análise é interrompida pelo PRGMII, quando pelo menos uma das condições acima se verifica, tendo-se assim alcançado a capacidade última de carga da estrutura.

Os parâmetros últimos de carga e deslocamento são dados pelas equações 4.4 e 4.3, respectivamente.

De acordo com as hipóteses e demais considerações do capítulo 5, tem-se que as condições de instabilidade especificadas nos itens "a" e "b" acima são as necessárias e suficientes<sup>(7,8)</sup>.

## 6.5 - Verificação do PRGMII

Foram efetuadas verificações dos resultados obtidos com o PRGMII através da análise de vários pórticos, com diferentes características elasto-plasto-geométricas e carregamentos. Esses mesmos pórticos, com exceção do pórtico do exemplo 2 seguinte, já haviam sido analisados por outros pesquisadores, conforme indicações a seguir. Foram analisados, inclusive, pórticos com carregamentos não comparáveis com os "moldes" previstos para o PRGMII, visto que, em se tratando de cargas aplicadas ao longo dos vãos das vigas, há a possibilidade de ocorrer mecanismo de viga. O bastante a isso, neste trabalho não é considerada a possibilidade de tal ocorrência, conforme hipóteses indicadas na seção 5.2.1.

O valor correto dos deslocamentos  $\{D\}$  não pode ser obtido, a menos que se obtenha a rigidez  $[K']$  correta. No sentido de obter a rigidez  $[K']$  correspondente ao nível de carga de cada etapa, são feitas ajustagens à matriz  $[K']$

e sucessivos testes de verificação conforme o que se apresenta na seção 6.3. Adicionalmente, tem-se verificado o equilíbrio dos esforços das extremidades das barras concorrentes aos nós da estrutura, dos esforços correspondentes às vigas e aos pilares, considerando a inclinação de seus eixos (efeito P-Delta) e, também, da estrutura quando considerada como um corpo livre.

Salienta-se que, nos pórticos referentes aos exemplos número 2 e 5 houve reversão de rótulas plásticas. O exemplo número 2, trata-se da estrutura hipotética apresentada na seção 4.8. Na análise da estrutura desse pórtico, em primeira ordem, houve a reversão de uma rótula plástica e, em segunda ordem houve a reversão de três rótulas.

O exemplo de verificação número 1 trata-se de um pórtico analisado por Galambos<sup>(11)</sup>. Galambos tem considerado em sua análise aproximada, as funções de estabilidade e apenas cargas aplicadas nos nós da estrutura, como neste trabalho. O resultado obtido pelo PRGMII divergiu muito pouco daquele obtido por Galambos.

A comparação entre os resultados experimentais<sup>(11)</sup> e os correspondentes resultados teóricos obtidos pelo PRGMII são apresentados no exemplo número 3. A divergência entre os resultados deve-se provavelmente, ao encruamento do material e à localização de cargas ao longo do vão da viga, elementos não considerados no PRGMII.

Os resultados do exemplo número 4 são comparados aos obtidos por Alvarez<sup>(22)</sup> (1967).

Os resultados apresentados nos exemplos número 5 e 6 são comparados aos obtidos por Liapunov<sup>(5)</sup>.

Finalmente, os resultados do exemplo número 7 são comparados aos obtidos por Tranberg<sup>(1)</sup>.

A seguir são apresentados os exemplos de verificação.

## 6.6 - Exemplos de verificação

6.6.1 - Este pórtico foi analisado, dentre outros, por Galambos (11). As condições, dados e resultados são os seguintes:

### CONDICÕES:

$$A_{(viga)} = A_{(pilares)}; J_{(viga)} = 2 \cdot J_{(pilares)}$$

material: aço A441 ( $\sigma_y = 50$  KSI);

$E = 30000$  KSI;  $\alpha = 1,10$ ;  $r_{(v)}/d_{(v)} = 0,430$ ;

a esbeltez da viga é tal que:  $L_{(v)}/r_{(v)} = 100$ ;

a esbeltez dos pilares é tal que:  $L_{(p)}/r_{(p)} = 60$ ;

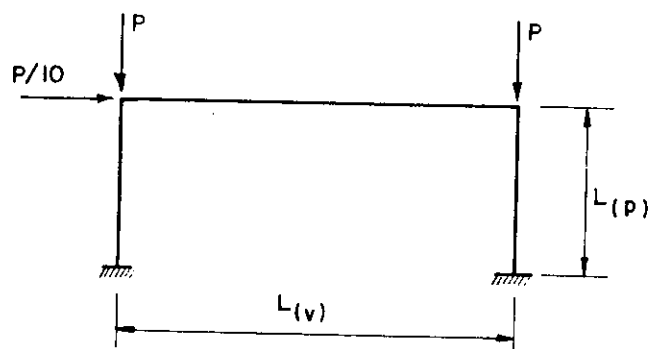


FIG. 6.1 - EXEMPLO DE VERIFICAÇÃO NÚMERO 1

DADOS: Ajustando os dados geométricos do pórtico com as condições acima tem-se, por exemplo, que:

Pilares:  $A = 10,07 \text{ in}^2$ ;  $J = 115,5 \text{ in}^4$ ;

$M_p = 1590 \text{ Kips.in}$ ;  $L_{(p)} = 204 \text{ in}$

Viga:  $A = 10,07 \text{ in}^2$ ;  $J = 231,0 \text{ in}^4$ ;

$M_p = 2678 \text{ Kips.in}$ ;  $L_{(v)} = 408 \text{ in}$

### RESULTADOS: (carga última)

Galambos:  $P = 167 \text{ Kips}$

Este trabalho:  $P = 164 \text{ Kips}$ .

6.6.2 - Este pórtico tem as mesmas características elasto-plasto-geométricas do exemplo 1 da seção 4.8 do capítulo 4. Perfis I, com  $\sigma_y = 2,50 \text{ t/cm}^2$  e  $E = 2100 \text{ t/cm}^2$ .

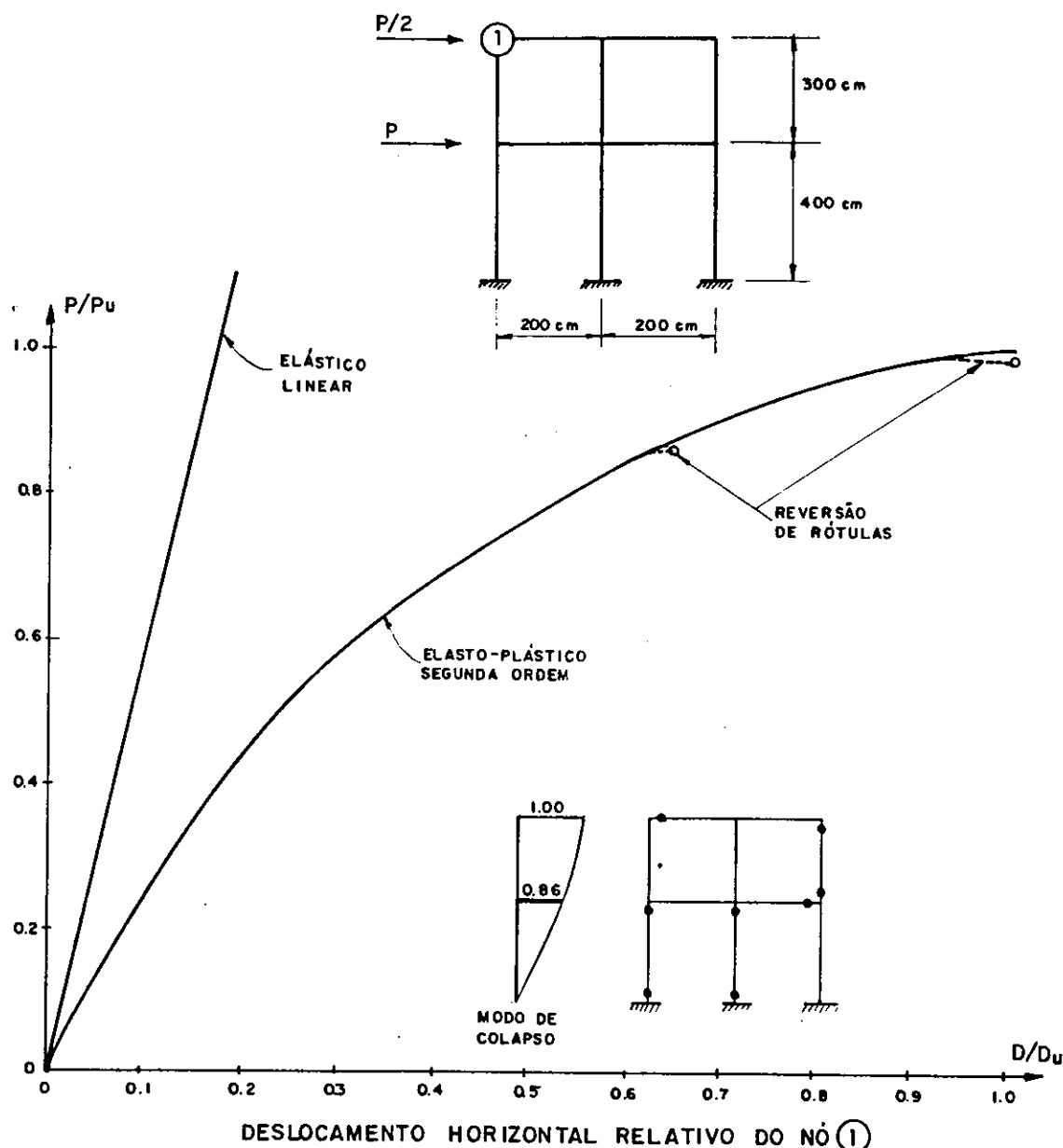


FIG. 6.2 - EXEMPLO DE VERIFICAÇÃO NÚMERO 2.

Observou-se que a localização e a ordem de formação e reversão das rótulas mantiveram-se idênticas à da análise em primeira ordem até a etapa 8. Desta etapa até a última (etapa 10) houve a reversão adicional de mais duas rótulas plásticas.

A estrutura atingiu a capacidade última de carga sem que a mesma se transformasse em mecanismo.

6.6.3 - Este pórtico foi ensaiado em laboratório<sup>(5,11)</sup>. Os dados e resultados são apresentados abaixo.

PERFIS: viga - W10x25,4 com  $\sigma_y = 38,6$  KSI

pilares - W5x18,5 com  $\sigma_y = 56$  KSI

$$E = 29500 \text{ KSI}$$

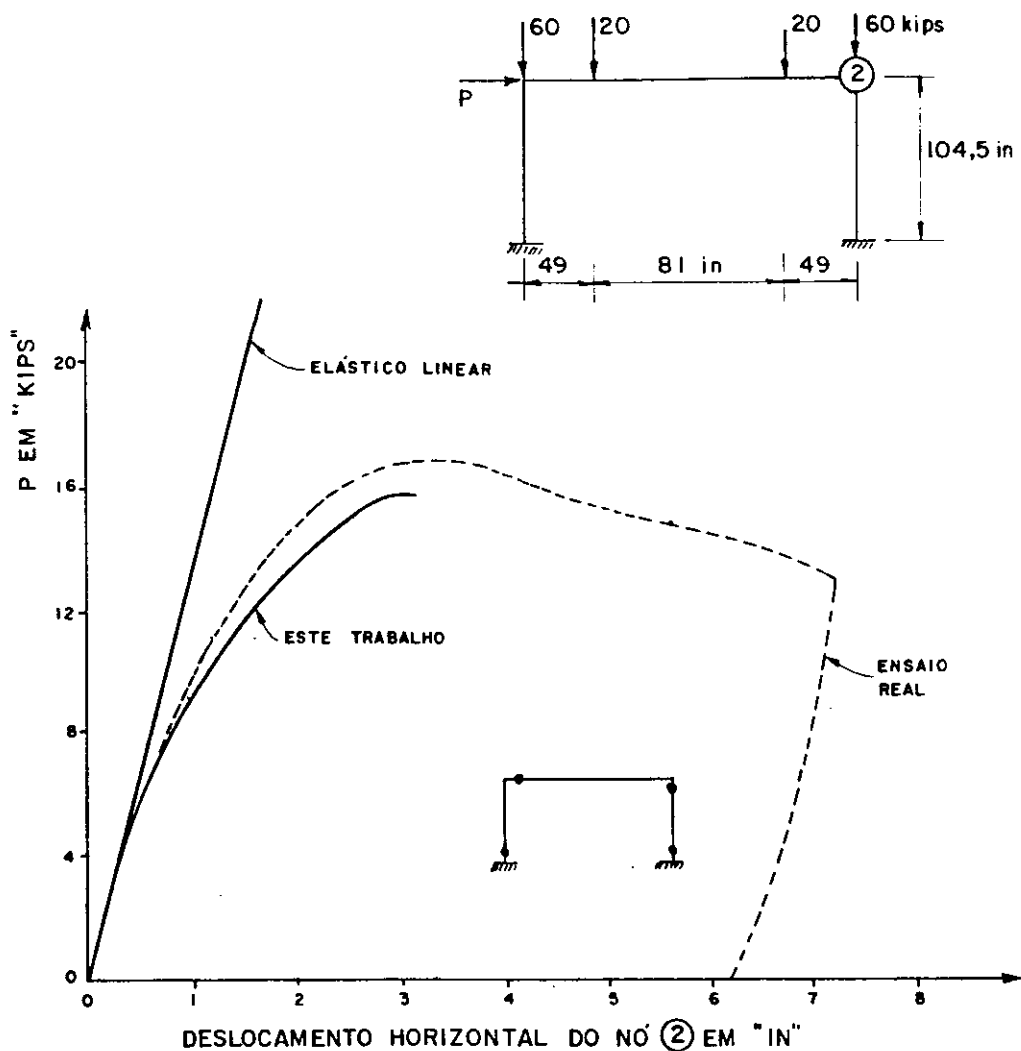


FIG.6.3 - EXEMPLO DE VERIFICAÇÃO NÚMERO 3.

6.6.4 - Este pôrtico foi analisado, dentre outros, por Alvarez<sup>(22)</sup>, sendo que os dados e resultados são apresentados na Fig. 6.4.  $\sigma_y = 33\text{KSI}$ ;  $E = 29000\text{ KSI}$ .

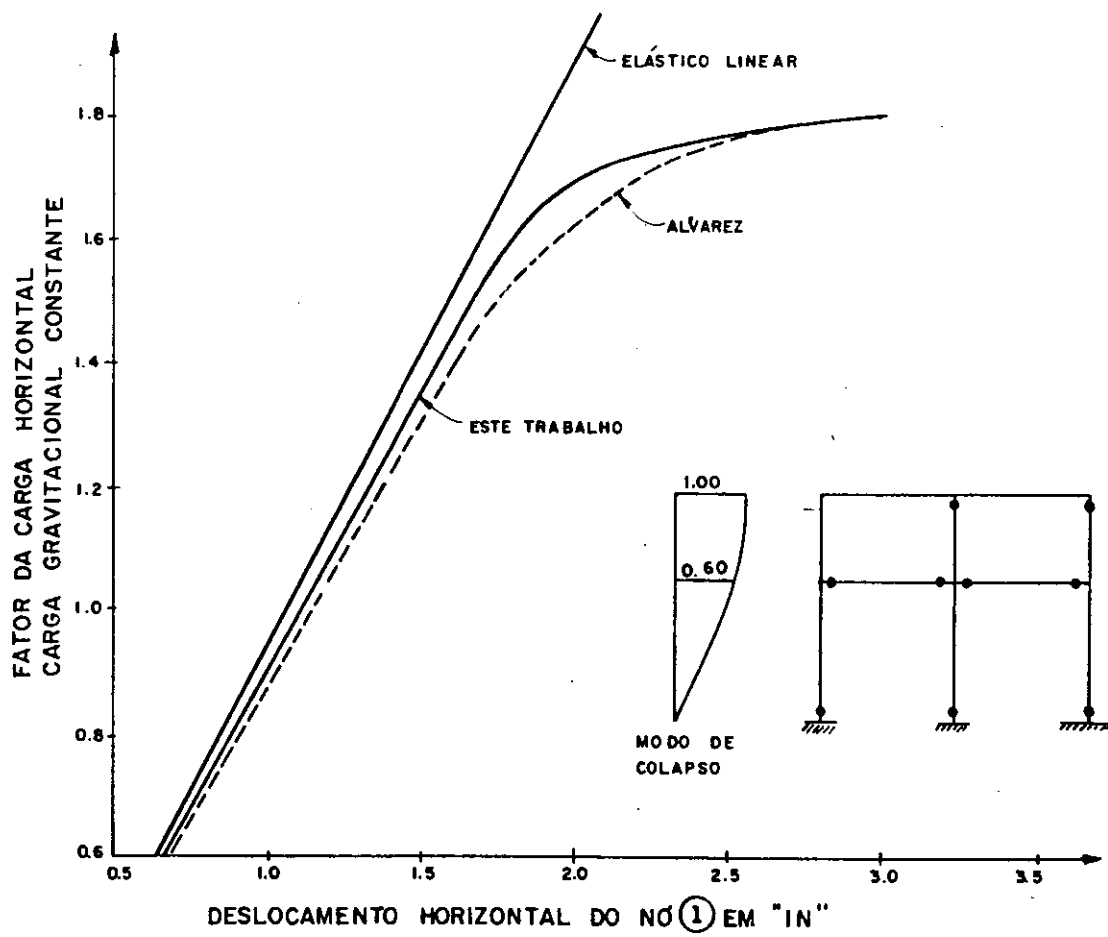
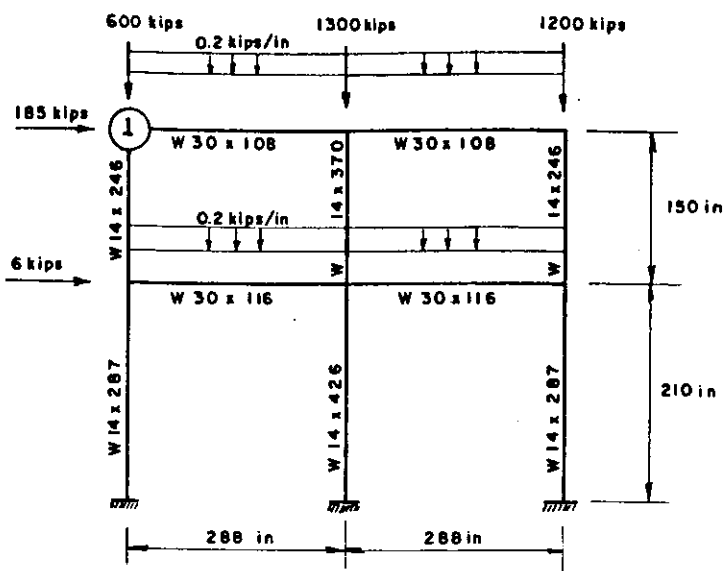


FIG. 6.4 - EXEMPLO DE VERIFICAÇÃO NÚMERO 4.

6.6.5 - Este pórtico foi analisado, dentre outros, por Liapunov<sup>(5)</sup>, sendo que os dados e resultados são apresentados na Fig. 6.5.  $E = 26000 \text{ KSI}$ ;  $\sigma_y = 30,5 \text{ KSI}$ ;  $G = 2,097 \cdot H$

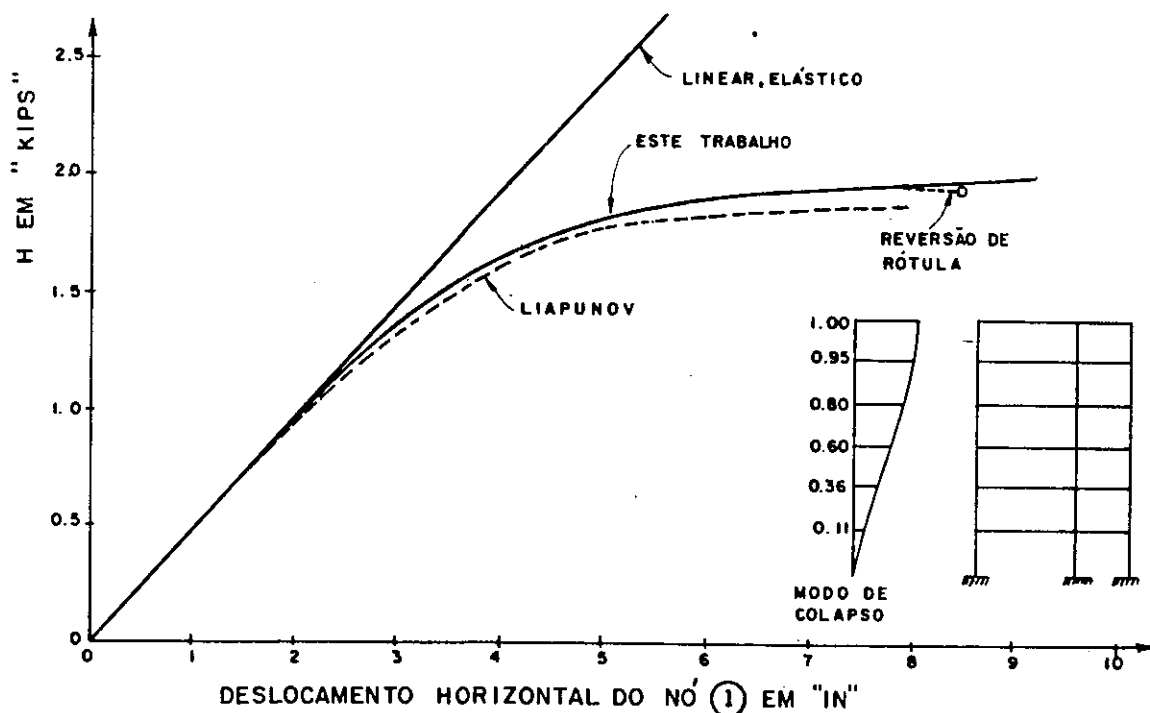
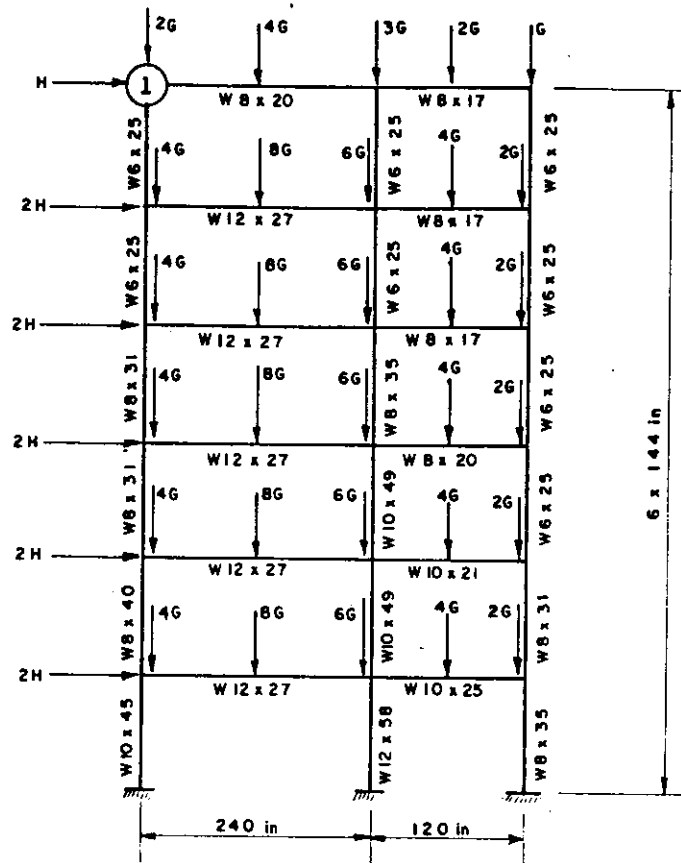


FIG. 6.5 - EXEMPLO DE VERIFICAÇÃO NÚMERO 5.

Deve-se observar que Liapunov<sup>(5)</sup> não considera a reversão de rótulas plásticas e, por outro lado, neste trabalho não se considera a possibilidade de ocorrer "mecanismo de viga". No exemplo acima houve a reversão de uma rótula, não tendo ocorrido mecanismo de viga na análise feita por Liapunov<sup>(5)</sup> (mesmo porque o carregamento gravitacional é constante).

6.6.6 - Este pórtico foi analisado, também, por Liapunov<sup>(5)</sup>, sendo que os dados e resultados são apresentados na Fig. 6.6. PERFIS: Vigas - W10x49; pilares-W8x31.  
 $\sigma_y = 33 \text{ KSI}$  e  $E = 29000 \text{ KSI}$

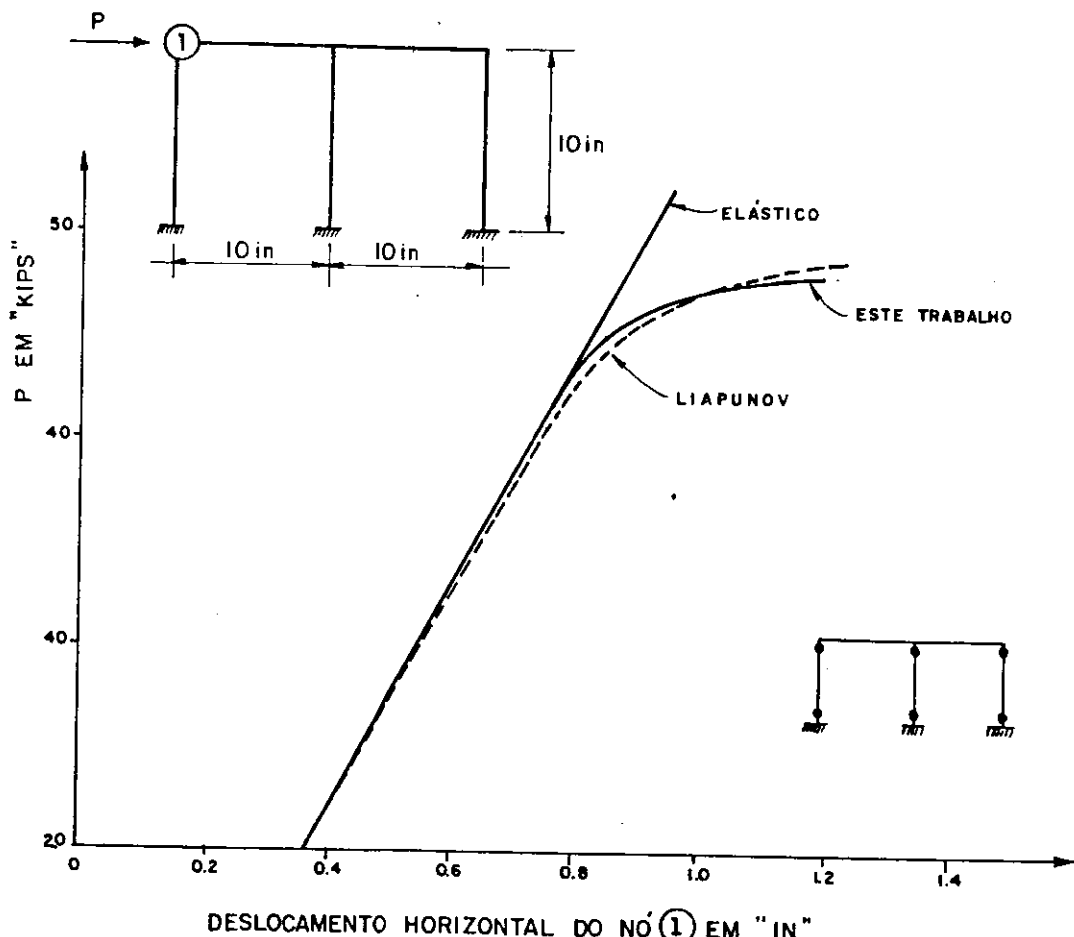
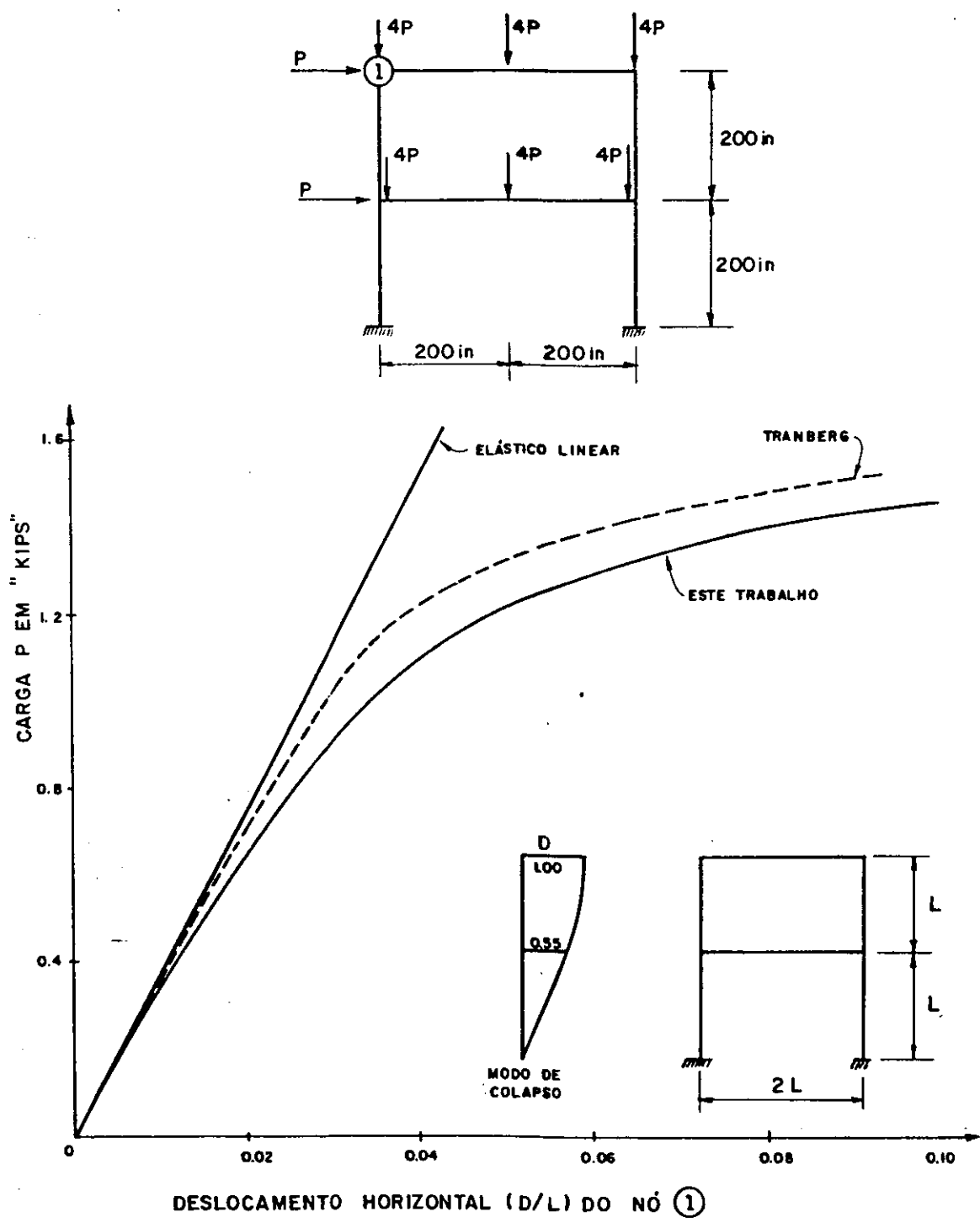


FIG. 6.6 - EXEMPLO DE VERIFICAÇÃO NÚMERO 6.

6.6.7 - Este pórtico foi analisado, dentre outros, por Tranberg<sup>(1)</sup>, cujos resultados se apresentam na Fig. 6.7. Perfis I, sendo o mesmo para todas as barras.  
 $a = 1$ ;  $\sigma_y = 36\text{KSI}$ ;  $M_p = 464\text{Kips.in}$ ;  $A = 3,2\text{in}^2$ ;  
 $J = 51,2 \text{ in}^4$ ;  $E = 30000 \text{ KSI}$ .



DESLOCAMENTO HORIZONTAL (D/L) DO NÓ 1

FIG. 6.7 - EXEMPLO DE VERIFICAÇÃO NÚMERO 7.

Observa-se que Tranberg<sup>(1)</sup>, tem considerado o en  
cruamento do material.

### 6.7 - Exemplos

Propõem-se a análise dos pórticos apresentados na seção 4.8 do capítulo 4, com as mesmas características elásticas, plásticas e geométricas, e o mesmo carregamento.

Os resultados da análise dos pórticos número 1 e número 2 são apresentados a seguir nas Figs, 6.8 e 6.9, respectivamente.

A capacidade última de carga foi atingida tendo se desenvolvido mecanismos laterais em ambos os pórticos, tanto em primeira como em segunda ordem (PRGMI e PRGMII).

Fazendo-se comparações entre os resultados obtidos pelo PRGMI (seção 4.9) e pelo PRGMII, tem-se os seguintes valores últimos e máximos:

a) Pórtico número 1	PRGMI	PRGMII
fator de carga	3,62	3,27
deslocamento horizontal	37,07	20,52 cm
b) Pórtico número 2		
Fator de carga	5,24	4,94
deslocamento horizontal	10,48	10,15 cm

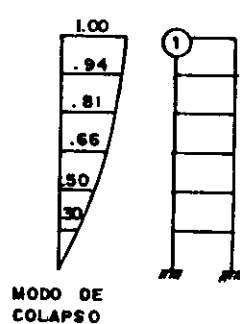
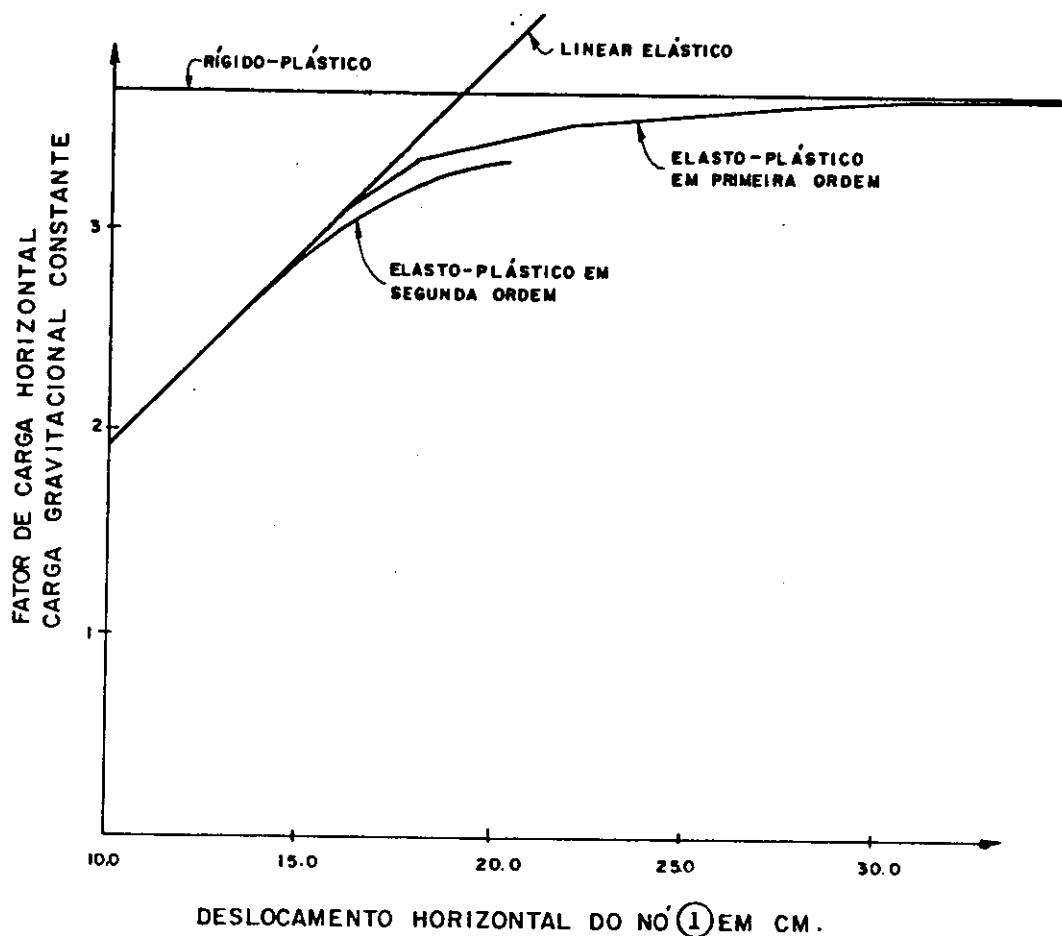
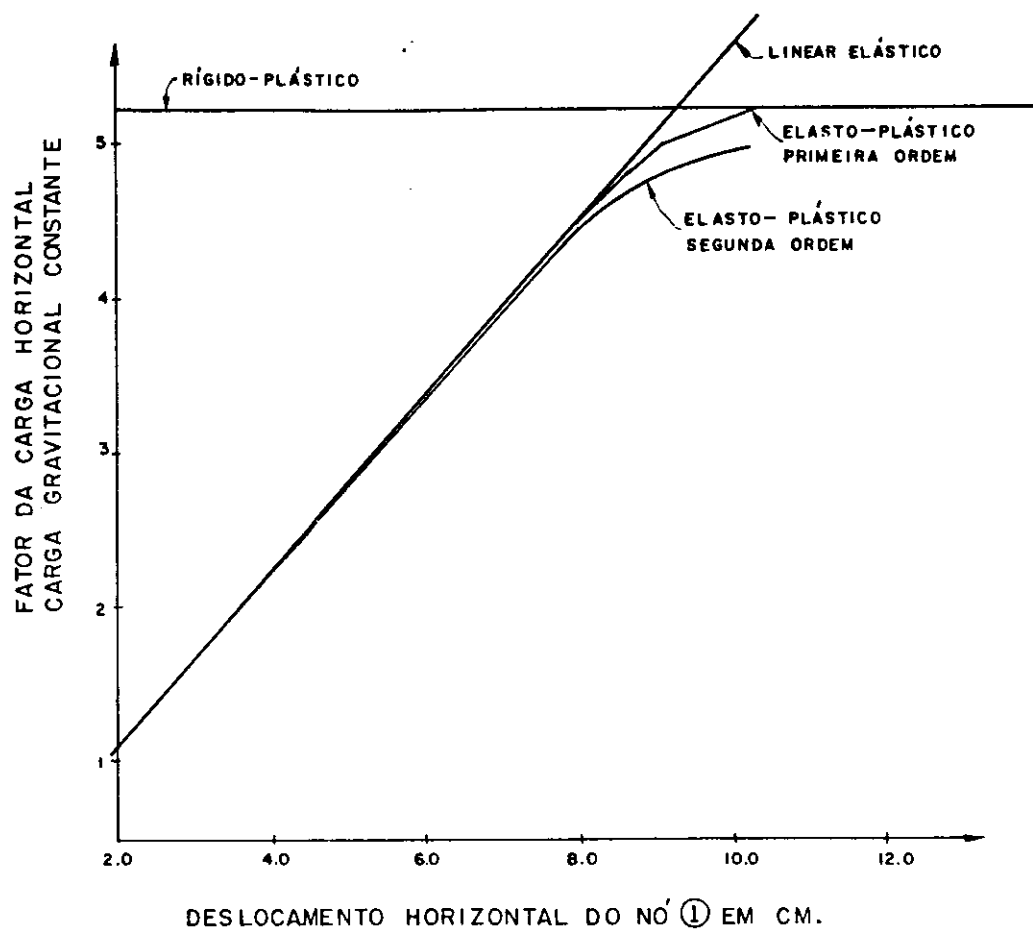


FIG. 6.8 - PÓRTICO NÚMERO 1.



DESLOCAMENTO HORIZONTAL DO NO' 1 EM CM.

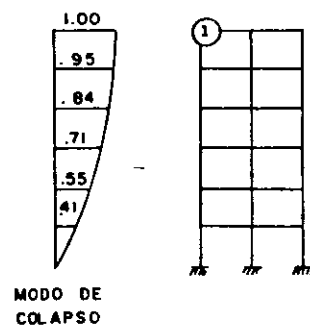


FIG. 6.9 - PORTICO NÚMERO 2.

## 7. CONCLUSÕES

Com esse trabalho tem-se viabilizado a análise de pôrticos planos retangulares, considerando-se a não linearidade física (PRGMI) e a não linearidade física e geométrica (PRGMII).

Dadas as restrições da formulação do procedimento numérico deste trabalho, os resultados obtidos mostraram-se coerentes e satisfatórios.

Na maioria dos pôrticos analisados, considerando-se a não linearidade física e geométrica (PRGMII), tem o corrido a instabilidade dos mesmos com a estrutura tendo atingido o colapso como um todo, dentre as possibilidades apresentadas na seção 6.4.

Tem-se apresentado o modo de colapso dos pôrticos analisados, que ilustram como a estrutura atinge a capacidade última de carga, e a partir daí, esta assume grandes e indefinidos deslocamentos.

A partir das análises desenvolvidas através deste trabalho, outros estudos podem ser realizados, como por exemplo a influência do efeito P-Delta, dos outros efeitos de segunda ordem, da consideração ou não da redução do momento de plastificação, dos critérios de dimensionamento e carregamento, e outros.

## APÊNDICE I - PROGRAMA PRGMI

O programa PRGMI foi escrito em linguagem FORTRAN, conforme a seção "e" seguinte.

A seguir apresentar-se-ão, pela ordem, a descrição do programa, a entrada de dados, a notação de variáveis utilizadas no programa, a interpretação dos resultados e a linguagem do programa.

### a) DESCRIÇÃO DO PROGRAMA

#### a.1) Sub-rotinas utilizadas:

As sub-rotinas que se utiliza o PRGMI têm o seguinte funcionamento:

PANEL - leitura e impressão dos dados elasto-geométricos e carregamento da estrutura;

MRP - faz a montagem da matriz de rigidez da estrutura a partir das matrizes de rigidez das barras;

RIGVI - montam as matrizes de rigidez das vigas com e sem rótulas plásticas ( $i=1, \dots, 4$ );

RIGPI - idem para os pilares;

INV - inverte a matriz quadrada pelo método de Gauss-Jordan;

PROD1 - calcula os deslocamentos segundo o sistema de coordenadas do sistema estrutural;

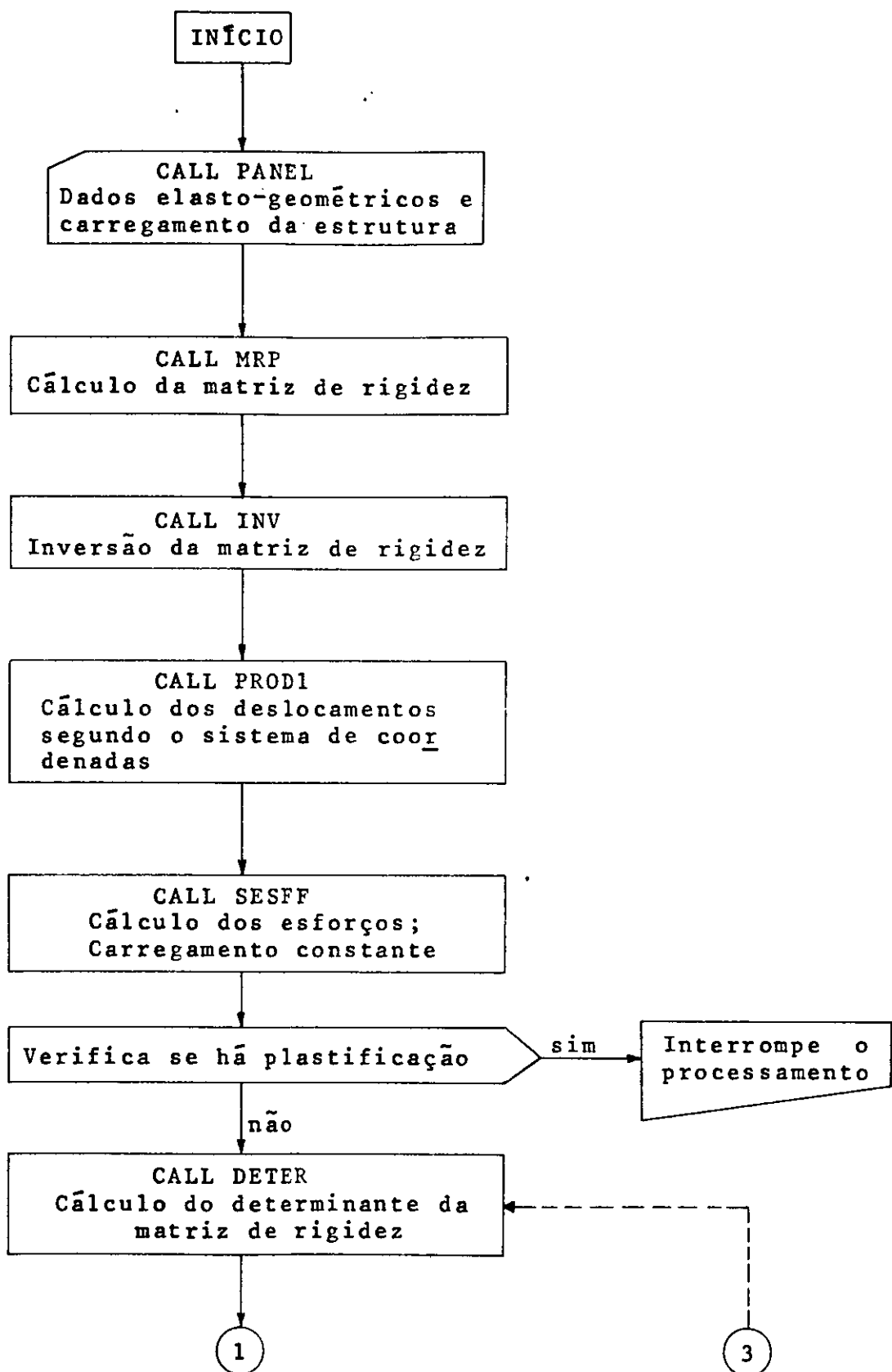
SESFF - calcula os esforços nas extremidades das barras e as reações de apoio da estrutura, devido ao carregamento constante PF(NTC);

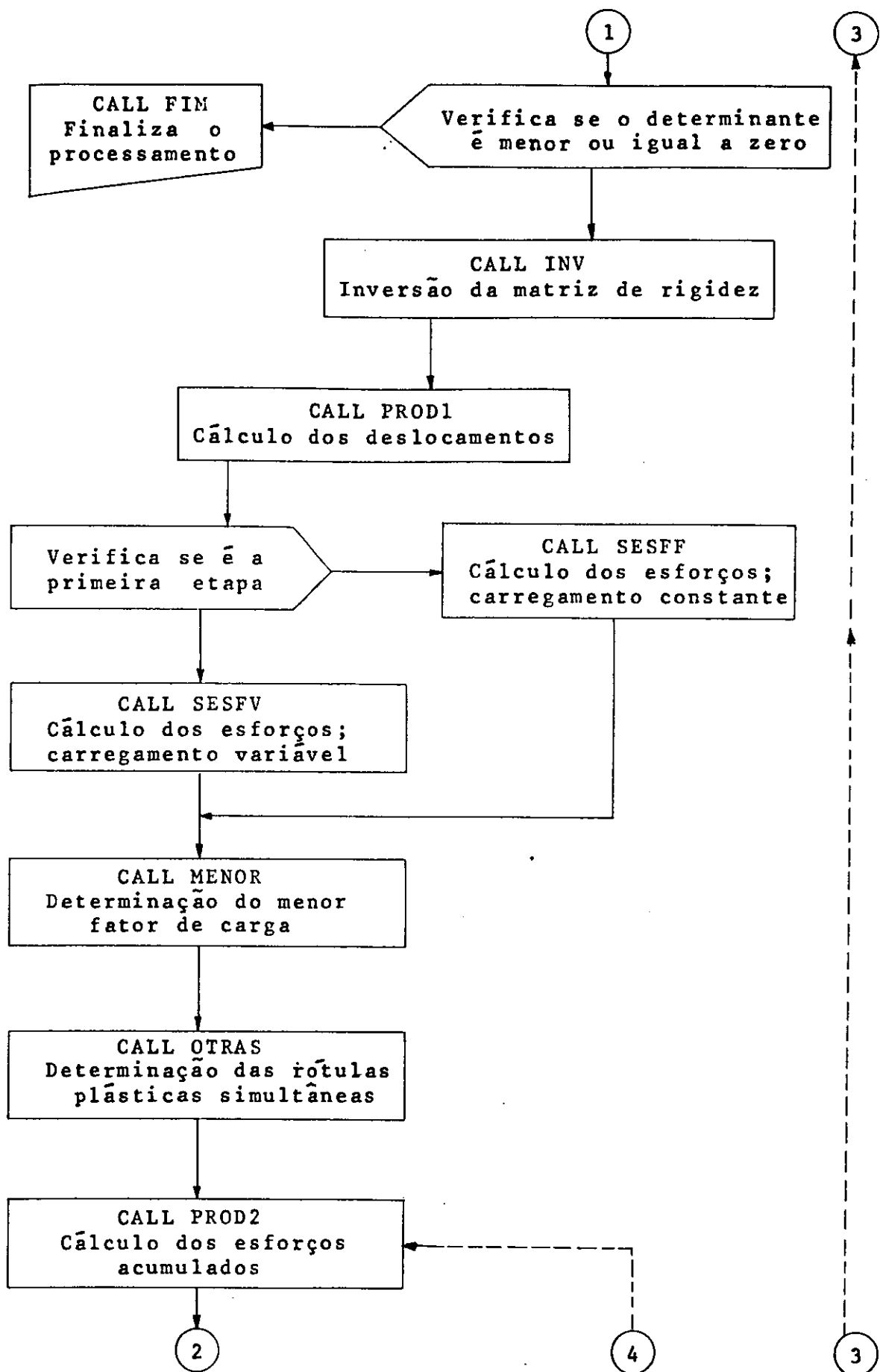
DETER - calcula o determinante da matriz de rigidez da estrutura;

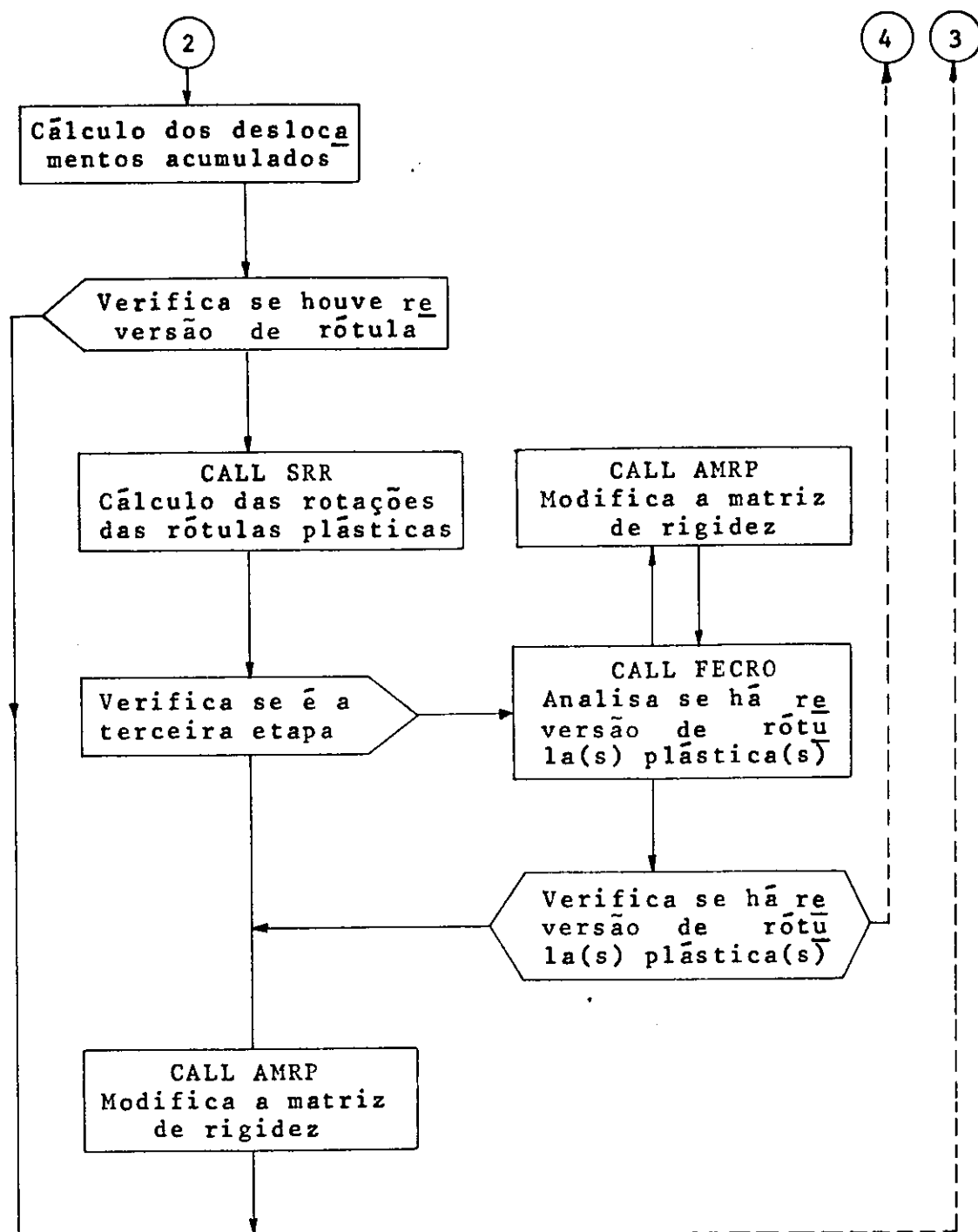
SESFV - calcula os esforços nas extremidades das barras e

- as reações de apoio da estrutura, devido ao carregamento variável PV(NTC);
- MENOR - calcula os fatores de cargas DW(2,NC,5) e determina, dentre eles, o menor fator de carga (DWI), referente à formação da primeira rótula plástica (veja seção 4.4) da etapa "i";
- OTRAS - determina as outras rótulas plásticas (pontos simultâneos de plastificação na estrutura) da etapa "i";
- PROD2 - calcula os esforços acumulados em cada etapa ao longo das análises, segundo às coordenadas das vigas e pilares;
- SRR - calcula as rotações das rótulas plásticas;
- AMRP - modifica a matriz de rigidez do sistema estrutural face à formação de rótula(s) plástica(s);
- FECRO - determina se há reversão de rótula(s) plástica(s);
- FIM - imprime o fator de carga DWT (carga última da estrutura) e finaliza o processamento;
- LISTE - executa a impressão de matrizes, vetores, parâmetros e mensagens ao longo do processamento do programa.

a.2) Fluxograma simplificado







b) ENTRADA DE DADOS

(\*) - numeração da ordem da sequência de variáveis (da dos) especificadas na seção "c".

(*)	VARIÁVEIS	NÚMERO DE VARIÁVEIS	FORMATO
1	NPP,NR	2	I2,I3
2	EMOD, BR, NA	3	F6.0,F2.0,I2
3	T(I), I=1, NB	NB	20F4.0
4	H(I), I=1, NA	NA	20F4.0
5	AXP(I,K); K=1, NA; I=1, NPP	NA*NPP	13F6.0
6	AZP(I,K); K=1, NA; I=1, NPP	NA*NPP	13F6.0
7	AZV(I,K); K=1, NA; I=1, NB	NA*NB	13F6.0
8	AMP(1,I); I=1, NC	NC	11E7.3
9	AMP(2,I); I=1, NDV	NDV	11E7.3
10	NNC, NAC	2	2I2
11	NV, NH, A1, A2, A3, A4	6	2I2,4F5.2
12	NAND, A5, A6	5	I2,2F5.2

As variáveis indexadas do quadro acima, que correspondem às características geométricas das barras, são lidas pela ordem, de acordo com a numeração das barras na estrutura conforme a fig. 4.1.

Pelo quadro acima, tem-se acesso à entrada de dados da estrutura a ser analisada.

c) NOTAÇÃO DE VARIÁVEIS UTILIZADAS NO PRGMI

NA - número de andares do pórtico.

- NB - número de vãos de vigas.
- NTC - número de coordenadas do sistema estrutural.
- NNOS - número de nós do pórtico.
- NC - número de pilares.
- NDV - número de vigas.
- N - contador de número de "etapas".
- NPP - número de prumadas de pilares.
- NF - número da rótula plástica que se fechou.
- NR - número de rótulas plásticas.
- NTR - contador auxiliar do número de rótulas plásticas.
- IVOUP(NR) - variável que indica se a rótula plástica é na viga ou num pilar.  
IVOUP(NR) = 1 → rótula num pilar  
IVOUP(NR) = 2 → rótula numa viga.
- NIBAB(NR) - variável que indica o número da viga na qual tem se formado a rótula de número NR.
- NIBAC(NR) - idem acima, para pilar.
- ICORD(NR) - número da coordenada da barra, na qual se forma a rótula de número NR.
- MF(NR) - variável para indicar a etapa onde determinada rótula se fechou.
- PF(NTC) - componente de carga do carregamento constante (secção 3.3), segundo o sistema de coordenadas da fig. 3.6.
- PV(NTC) - idem, para o carregamento variável.
- DF(NTC) - componente de deslocamento devido a PF(NTC), segundo o sistema de coordenadas da fig. 3.6.
- DV(NTC) - idem para PV(NTC).

ESFF(2,NC,6) - esforços devidos a PF(NTC), segundo as coordenadas das barras - figs. 3.4 e 3.5.

ESFV(2,NC,6) - idem para PV(NTC).

NAND - número de ordem do andar com carga horizontal, contado de cima para baixo.

DW(2,NC,5) - fatores de carga.

DWI - menor fator de carga da "etapa" "i".

K1,K2,K3(NR) - indicadores de rótulas fechadas.

AXP(NPP,N4) - área da seção transversal dos pilares.

AZP(NPP,NA) - momento de inércia dos pilares.

AZV(NE,NA) - momento de inércia das vigas.

T(NB) - vão das vigas, da esquerda para a direita.

H(NA) - altura dos pilares, de cima para baixo.

AMP(2,NC) - momento de plastificação das barras.

ITT(N) - contador de rótulas plásticas de cada etapa.

RJ(NTC,NTC) - matriz de rigidez da estrutura.

RR(N,NR) - rotação das rótulas plásticas.

DB(4) - deslocamento segundo as coordenadas das vigas.

DC(6) - deslocamento segundo as coordenadas dos pilares.

RV(4,4) - matriz de rigidez das vigas.

RP(6,6) - matriz de rigidez dos pilares.

DWT - fator de carga referente à capacidade última de carga da estrutura.

EMOD - módulo de elasticidade.

BR - zero ou branco.

NAND - número de andares solicitados horizontalmente.

NNC	- número de nós do pórtico solicitado por <u>cargas</u> de origem vertical.
NAC	- número de andares solicitados por cargas de origem horizontal.
NV	- número de ordem das prumadas, da esquerda <u>pa</u> ra a direita, com relação ao nó considerado.
NH	- número de ordem dos andares, de cima para baixo, com relação ao nó considerado.
A1	- parâmetro de carga vertical do carregamento constante.
A2	- momento de engastamento do carregamento <u>cons</u> tante.
A3	- parâmetro de carga vertical do carregamento variável.
A4	- momento de engastamento do carregamento <u>va</u> riável.
A5	- parâmetro de carga horizontal do carregamen <u>to</u> constante.
A6	- parâmetro de carga horizontal do carregamen <u>to</u> variável.

d) INTERPRETAÇÃO DOS RESULTADOS

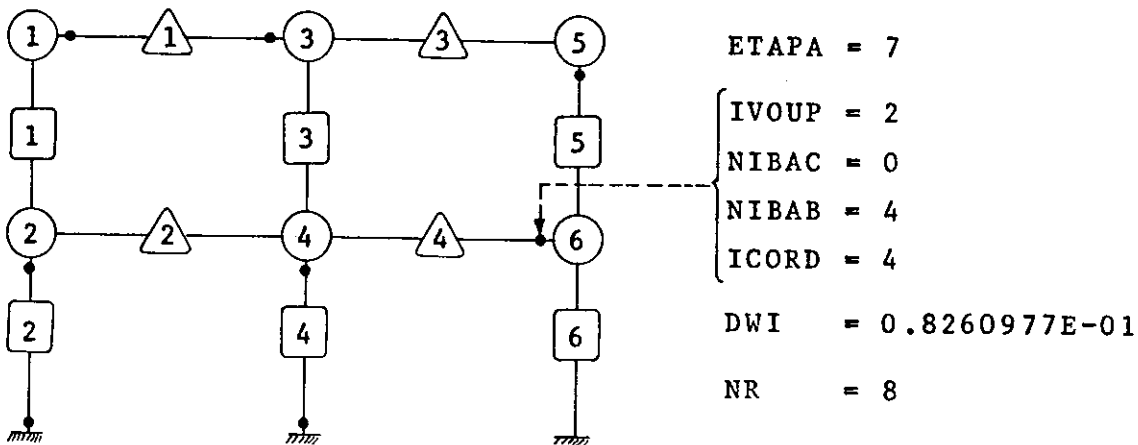
A seguir são apresentados as instruções necessárias à interpretação dos resultados fornecidos pelo PRGMI.

Ao ser iniciado o processamento, o PRGMI imprime os dados apresentados na seção "c". Na primeira fase (veja seção 4) do PRGMI são impressos as matrizes de rigidez das barras e da estrutura, assim como os deslocamentos devidos a PF(NTC) e PV(NTC) segundo o sistema de coordenadas da fig.3.6. Na segunda fase do PRGMI (fase incremental da análise, conforme seção 4) tem-se em cada etapa os parâme

etros associados à formação e reversão de rótula(s) plástica(s) e aos esforços ESFF(2,NC,6) e ESFV(2,NC,6) e deslocamentos DF(NTC) e DV(NTC).

Seja, por exemplo, o pôrtico abaixo no qual está se formando a oitava rótula plástica na sétima etapa da análise:

o programa PRGMI imprime



(i) - nº do nó; (i) - nº do pilar; (i) - nº da viga

FIG. I - EXEMPLO

e, os esforços ESFF(2,NC,6) e deslocamentos DF(NTC) acumulados da etapa atual. Com esses elementos (veja notação - seção "c") pode-se localizar a rótula no pôrtico e expressar as relações necessárias ao que se objetiva analisar.

Caso haja a formação de mais que uma rótula plástica numa mesma etapa, o PRGMI imprime, por exemplo:

RÓTULA(S) SIMULTÂNEA(S), ETAPA = 5

IVOUP = 1, NIBAC = 2, ICORD = 5

IVOUP = 2, NIBAB = 1, ICORD = 4

No caso de ocorrer a reversão da rótula "NR"

na etapa "N", é impressa a mensagem:

REVERTEU-SE A RÔTULA "NR" NA ETAPA "N"

e, o PRGMI procede de acordo com o que se apresenta na se  
ção 4.5.

e) LISTAGEM DO PROGRAMA PRGMI

PAGE 1 CESAROTI

// JCB T 0C16 0036

CESAROTI

LOG DRIVE	CART SPEC	CART AVAIL	PHY DRIVE
0000	0016	0016	CCCC
0001	0036	0036	CCCC
		0007	CCCC

V2 M10 ACTUAL 32K CONFIG 32K

// \* C.F.D. - E.E.S.C. - U.S.P.

0043

```
// FCR
*LIST SOURCE PROGRAM
*CNE WORD INTEGERS
CALCUL CE ESFCRCCS ACUMULACCS
SUBROUTINE PRCC2(EF, EV, CWI, ICS, NCV, NC)
DIMENSION EF(2,18,6), EV(2,18,6)
DO 1 I=1,2
IF(I-1)10,10,11
10 DO 1 L=1,NC
DO 1 M=1,6
EF(I,L,M)=EF(I,L,M)+CWI*EV(I,L,M)*ICS
1 CONTINUE
11 DO 2 L=1,NCV
DO 2 M=1,4
EF(I,L,M)=EF(I,L,M)+CWI*EV(I,L,M)*ICS
2 CONTINUE
RETURN
END
```

FEATURES SUPPORTED  
CNE WORD INTEGERS

CORE REQUIREMENTS FOR PRCC2
COMMON 0 VARIOELES 6 PROGRAM 146

RELATIVE ENTRY POINT ADDRESS IS 00CA (HEX)

END OF COMPILEATION

// OLP

```
*STCRE WS UA PRCC2
CART ID 0016 CE ACCR 555C CB CNT CCCA

// FCR
*LIST SOURCE PROGRAM
*CNE WORD INTEGERS
CALCUL CE ESFCRCCS
SUBROUTINE PRCC1(R,C,P,K)
DIMENSION R(42,42),C(42),P(42)
CC 1 L=1,K
C(L)=0.
CC 1 M=1,K
C(L)=C(L)+R(L,M)*P(M)
1 CONTINUE
RETURN
END
```

FEATURES SUPPORTED  
CNE WORD INTEGERS

CORE REQUIREMENTS FOR PRCC1
COMMON 0 VARIOELES 6 PROGRAM 86

RELATIVE ENTRY POINT ADDRESS IS 00C9 (HEX)

END OF COMPILEATION

// OLP

```
*STCRE WS UA PRCC1
CART ID 0016 CE ACCR 5567 CB CNT CCC7
```

```
// FCR
*LIST SOURCE PROGRAM
*CNE WORD INTEGERS
C IMPRESSAC CCS RESULTACCS
SUBROUTINE LISTE(KAI, RJ, CF, ESFF)
DIMENSION RJ(42,42), CF(42), ESFF(2,18,6)
CCPPCN RA, RB, NE, NTC, NNGS, NC, NCV, N, NPP, NF, NR, NTR
50 FORMAT(6X,'PRGM-MATRIZ RJ, PASSO=',I3)
51 FORMAT(IX,10E12.4)
```

PAGE 2 CESAROTI

```
52 FCRMAT(6X,'FRGM- FJ INVERTIDA, PASSO=1,13)
53 FCRMAT(6X,'FFGM- VETCF FF, PASSO=1,12)
54 FCRMAT(6X,'ELASTIFICAÇAO PRECISE-FI" DO PROCESSAMENTO(DIMIN PF*)
55 FCRMAT(6X,'O CETERM) NANTE E MENOR OU IGUAL A ZERO, PASSO=1,13)
56 FCRMAT(6X,'FRGM- VETCF IV, PASSO=1,12)
57 FCRMAT(6X,'FRGM-ESFF-ESFCRCOS ACUMULADOS, PASSO=1,13)
58 FCRMAT(6X,'FRGM-ESLCCAMENTOS ACUMULADOS-DF, PASSO=1,13)
      K=5
      GC TC (2,3,4,5,t,7,8,9),KA1
2  WRITE(M,50)N
20  WRITE(M,51){(FJ(I,J),J=1,NTC),I=1,NTC}
      GC TC 1
3  WRITE(M,52)N
      GC TC 20
4  WRITE(M,53)N
21  WRITE(M,51){CF(I),I=1,NTC}
      GC TC 1
5  WRITE(M,54)N
      GC TC 1
6  WRITE(M,55)N
      GC TC 1
7  WRITE(M,56)N
      GC TC 21
8  WRITE(M,57)N
      DC 100 I=1,2
      IF(I-1)22,22,23
22  WRITE(M,51){(ESFF(I,J,K),K=1,4),J=1,NC)
100  CCRJNUE
23  WRITE(M,51){(ESFF(I,J,K),K=1,4),J=1,NDV)
      GC TC 1
9  WRITE(M,58)N
      WRITE(M,51){CF(I),I=1,NTC)
1  RETLRA
END
```

FEATURES SUPPORTED  
BY THE INTEGER

CORE REQUIREMENTS FOR LISTE  
COMMON 14 VARIABLES & PROGRAM 446

RELATIVE ENTRY POINT ADDRESS IS 0084 (HEX)

END OF COMPILEATION

// DUP

\*\$TCRE WS UA LISTE  
CART ID 0016 CE ADDR 556E CB CNT CCID

```
// FCR
*LIST SOURCE FRECAF
*CNE KFCR INTEGERS
CARACTERISTICAS ELAST, GEOMETRICAS E CARREG DO PAINEL
SLBFC(LT,AXP,AZP,AZV,PV,PF,H,AMP)
DIMENSÃO LT(2),AXP(3,6),AZP(3,6),AZV(2,t),
*PV(42),FF(42),F(6),AMP(2,18)
CCMEN NA,BF,NB,NTC,NKCS,NC,NEV,N,NPP,NF,NR,NTR
C LEIA-SE OS VALORES MAXIMO FRESUMIVEL PARA "NP"
READ(2,B)AFF,NA
8 FCRMAT(12,13)
READ(2,1)EMCE,BR,NA
1 FCRMAT(F6.0,F2.0,12)
NA=NA-1
READ(2,2){T(I),I=1,NA}
2 FCRMAT(12,0)
READ(2,2){F(I),I=1,NA}
READ(2,3){(FXF(I,K),K=1,NA),I=1,NPP}
3 FCRMAT(13F6.0)
READ(2,3){(IZF(I,K),K=1,NA),I=1,NPP}
READ(2,3){(AZV(K,I),I=1,NA),K=1,NB}
KC=NA*NA
KC=NA*NA
KC=NA*NA
KC=NA*NA
C LEITURA DOS VALORES DE "MP"
READ(2,4){AMF(I,I),I=1,NC}
4 FCFAT(11,E7.2)
READ(2,4){AFF(2,I),I=1,NEV}
WITE(I,1)EMCE,FXF,AZP,AZV,T,F,AMP
NKCS=NA*NA
NTC=2*NKCS+NA
C ZERAR OS VETORES DE CARGA
DC 103 J=1,NTC
PV(J)=BF
```



PAGE 3 CESARCTI

```

    FF(J)=PF
103 CONTINUE
CARREGA PERT VERTICAL A1,2=VERT., A2,4=MOM.
REAL(2,5)RAC,RAC
5 FCRRAT(1212)
IF(NAC)104,20,21
21 DC 104 J=1,NAC
REAL(2,6)AV,AT,F1,F2,A3,A4
6 FCRRAT(1212,4F5,2)
K1=AV-1)*KA+FF
J2=2*K1
J1=J2-1
FF(J1)=A1
FF(J2)=A2
FV(J1)=A3
PV(J2)=A4
C C CARREGA E A ACAC CCS ESFCRCCS SOERE OS NOS
C CS SINAS CEVEM SER CCEFENTES C/ AS COORD GLOBAIS
1C4 CONTINUE
CARREGA PERT HORIZONTAL
20 IF(KAC)22,22,23
22 DC 105 J=1,NAC
REAL(2,7)RAC,A5,A6
7 FCRRAT(12,2F5,2)
J3=2*NAC+KAC
FF(J3)=A5
FV(J3)=A6
105 CONTINUE
C GRAVA FF E FV ACS ARQUIVCS
22 WRITE(10*1)FF
WRITE(11*1)FV
C LISTAGENS
WRITE(5,10)ENCC
10 FCRRAT(1,6X,'ENC=',E14.7)
WRITE(5,11)(AFX(I,J),J=1,NA),I=1,NPP
11 FCRRAT(6X,'AFX=',9E12.4)
WRITE(5,12)(AZF(I,J),J=1,NA),I=1,NPP
12 FCRRAT(6X,'AZF=',9E12.4)
WRITE(5,13)(AZV(J,I),I=1,NA),J=1,NB
13 FCRRAT(6X,'AZV=',9E12.4)
WRITE(5,14)(T(I),I=1,NB)
14 FCRRAT(6X,'T=',9E12.4)
WRITE(5,15)(H(I),I=1,KA)
15 FCRRAT(6X,'H=',9E12.4)
WRITE(5,16)(AMP(I,J),J=1,NC),I=1,2
16 FCRRAT(6X,'AMP=',9E12.4)
WRITE(5,17)(FV(I),I=1,NTC)
17 FCRRAT(6X,'FV=',9E12.4)
WRITE(5,18)(FF(I),I=1,NTC)
18 FCRRAT(6X,'FF=',9E12.4)
RETFN
ENDC

```

FEATURES SUFFCRTEC  
CNE WERE INTEGERS

CORE REQUIREMENTS FOR PANEL  
CCPMCH 14 VARIABLES 28 PROGRAM E42

RELATIVE ENTRY POINT ADDRESS IS OCTAL (HEX)

END OF CCPMILATION

// DLF

\*STERE HS UA PANEL  
CART ID 0016 DE ADDR 558E DB CNT CC37

```

// FCR
*LIST SURFACE PROGRAM
*CNE WERE INTEGERS
C PRIMEIRA MONTAGEM DA MATRIZ RJ
SUBROUTINE PRFIT,T,AFX,АЗP,AMP,AZV,RJ
  DIMENSION T(2),H(E),AFX(3,6),АЗP(2,E),
  *AFX(2,18),FV(4,4),RF(4,E),AZV(2,E),
  *RJ(42,42)
  CCPMCH RA,PF,NE,NTC,NKOS,NC,NEV,N,NPP,NF,NR,NTR
  READ(1*1)ENCC,AFX,АЗP,AZV,T,F,AMP
C ZERAK A MATRIZ FJ
  DC 100 I=1,NTC
  DC 100 J=1,NTC
  RJ(I,J)=EF
100 CONTINUE

```

PAGE 4 CESARCTI

```

CCNTRIBLICAC [AS VIGAS
 101 J=1,NA
 ALX1=1(J)
 ALX2=1ZV(J,K)
 N=K+(J-1)*KA
 NFV=K1+KA
 J2=2*NI
 J1=J2-1
 K2=2*NFV
 K1=K2-1
 KPITE{5,1}NI,NFV
 1 FCRMAT{6X,'NPF', ' NI=' ,IZ, ' NFP=' ,IZ)
 CALL FIGVI{EMCC,AUX1,AUX2,RV)
 RJ(J1,J1)=FJ(J1,J1)+RV(1,1)
 RJ(J1,J2)=FJ(J1,J2)+RV(1,2)
 RJ(J1,K1)=FJ(J1,K1)+RV(1,3)
 RJ(J1,K2)=FJ(J1,K2)+RV(1,4)
 RJ(J2,J1)=FJ(J2,J1)
 RJ(J2,J2)=FJ(J2,J2)+RV(2,2)
 RJ(J2,K1)=FJ(J2,K1)+RV(2,3)
 RJ(J2,K2)=FJ(J2,K2)+RV(2,4)
 RJ(K1,J1)=FJ(K1,J1)
 RJ(K1,J2)=FJ(K2,K1)
 RJ(K1,K1)=FJ(K1,K1)+RV(3,3)
 RJ(K1,K2)=FJ(K1,K2)+RV(3,4)
 RJ(K2,J1)=FJ(K1,K2)
 RJ(K2,K1)=FJ(K1,K2)
 RJ(K2,K2)=FJ(K2,K2)+RV(4,4)
 101 CCNTINUE
 CCNTRIBLICAC [CS FILARES
 102 K=1,NA
 ALX1=1(K)
 J3=2*NKCS+K
 K3=J3+1
 102 J=1,NPF
 ALX2=1XF(J,K)
 ALX3=1ZF(J,K)
 NI=K+(J-1)*KA
 NFF=K1+1
 J2=2*NI
 J1=J2-1
 K2=2*NFF
 K1=K2-1
 KPITE{5,2}NI,NFF
 2 FCRMAT{6X,'NPF', ' NI=' ,IZ, ' NFP=' ,IZ)
 CALL FIGVI{EMCC,AUX1,AUX2,AUX3,RP)
 RJ(J1,J1)=FJ(J1,J1)+RP(1,1)
 RJ(J2,J1)=FJ(J2,J1)+RP(2,1)
 RJ(J3,J1)=FJ(J3,J1)+RP(3,1)
 RJ(J1,J2)=FJ(J2,J1)
 RJ(J2,J2)=FJ(J2,J2)+RP(2,2)
 RJ(J3,J2)=RJ(J3,J2)+RP(3,2)
 RJ(J1,J3)=RJ(J3,J1)
 RJ(J2,J3)=RJ(J3,J2)
 RJ(J3,J3)=RJ(J3,J3)+RP(3,3)
 C VERIFICA SE E CULTUME ANCAR
 IF(K=NA)20,102,102
 20 RJ(K1,J1)=FJ(K1,J1)+RP(4,1)
 RJ(K2,J1)=FJ(K2,J1)+RP(5,1)
 RJ(K3,J1)=FJ(K3,J1)+RP(6,1)
 RJ(K1,J2)=FJ(K1,J2)+RP(4,2)
 RJ(K2,J2)=FJ(K2,J2)+RP(5,2)
 RJ(K3,J2)=FJ(K3,J2)+RP(6,2)
 RJ(K1,J3)=FJ(K1,J3)+RP(4,3)
 RJ(K2,J3)=FJ(K2,J3)+RP(5,3)
 RJ(K3,J3)=FJ(K3,J3)+RP(6,3)
 RJ(J1,K1)=FJ(K1,J1)
 RJ(J2,K1)=FJ(K1,J2)
 RJ(J3,K1)=FJ(K1,J3)
 RJ(K1,K1)=FJ(K1,K1)+RP(4,4)
 RJ(K2,K1)=FJ(K2,K1)+RP(5,4)
 RJ(K3,K1)=FJ(K3,K1)+RP(6,4)
 RJ(J1,K2)=FJ(K2,J1)
 RJ(J2,K2)=RJ(K2,J2)
 RJ(J3,K2)=RJ(K2,J3)
 RJ(K1,K2)=FJ(K2,K1)
 RJ(K2,K2)=FJ(K2,K2)+RP(5,5)
 RJ(K3,K2)=FJ(K3,K2)+RP(6,5)
 RJ(J1,K3)=RJ(K3,J1)
 RJ(J2,K3)=RJ(K3,J2)
 RJ(J3,K3)=RJ(K3,J3)

```

PAGE 5 CESARCTI

```
RJ(K1,K2)=FJ(K3,K1)
RJ(K2,K2)=FJ(K3,K2)
KJ(K3,K3)=FJ(K3,K2)+RF(6,6)
102 CONTINUE
  FITE(9,1)FJ
  FITE(5,3)
  3 FCFPAT(6X,"*ATRIZ RJ - MRP")
  4 FCFPAT(1GE12.4)
  RETURN
END
```

FEATURES SUPPORTED  
CNE WCFC INTEGERS

CORE REQUIREMENTS FOR MRP

CCMPCA 14 VARIABLES 14C PROGRAM 1350

RELATIVE ENTRY POINT ADDRESS IS 0CB5 (HEX)

END OF CCMFILATION

// DUP

```
*STCRE WS UA MRP
CART ID 0016 DE ACF 55C2 EB CNT CC5D
```

```
// FCR
*LIST SOURCE PROGRAM
*CNE WCFC INTEGERS
  SLBFCLTINE RIGV4(RV)
  DIMENSION RV(4,4)
  CC 10 J=1,4
  CC 10 J=1,4
  RVII,J)=0.
10 CONTINUE
RETURN
END
```

FEATURES SUPPORTED  
CNE WCFC INTEGERS

CORE REQUIREMENTS FOR RIGV4

CCMPCA C VARIABLES 4 PROGRAM 4E

RELATIVE ENTRY POINT ADDRESS IS 0C08 (HEX)

END OF CCMFILATION

// DUP

```
*STCRE WS UA RIGV4
CART ID 0C16 DE ACF 561F EB CNT CCC4
```

```
// FCR
*LIST SOURCE PROGRAM
*CNE WCFC INTEGERS
C INVERSE(4x4 MATRIX
  SLBFCLTINE INV(RJ,4)
  DIMENSION RJ(4,4)
  IF(K3=1)8,9,8
  9 RJ(1,1)=1./FJ(1,1)
  GC 10
  8 CC 11 I=1,N3
  ALX=RJ(I,I)
C MATRIX IDENTICAL
  RJ(I,I)=1.
  CC 12 J=1,N3
  12 RJ(I,J)=RJ(I,J)/AUX
  CC 13 K=1,N3
  IF(I-K)14,13,14
  14 ALX=RJ(K,I)
  RJ(K,I)=0.
  CC 15 N=1,N3
  RJ(K,N)=RJ(K,N)-AUX*RJ(I,N)
15 CONTINUE
13 CONTINUE
11 CONTINUE
10 RETURN
END
```

FEATURES SUPPORTED  
CNE WCFC INTEGERS

PAGE 6 CESARET

CCPE REQUIREMENTS FOR INV  
CCPEN C VARIABLES E PROGRAM 174  
RELATIVE ENTRY POINT ADDRESS IS CCCD (HEX)  
END OF COMPILATION  
// DLP  
\*STORE WS UA INV  
CART ID 0016 EE ADDR 5550 DB CNT CCCA  
  
// FCF  
\*LIST SCLACE PROGRAM  
\*CNE KCRE INTEGERS  
CALCULCS ESFCRCCS DEVICC AD CARREGAM/ VARIAVEL  
SLEFLCLINE SESFV(EV,ESFV,NIEAC,NIAC,ICURL,MF,AXP,AZP,AZV,T,H,AMP  
DIMENSION EV(42),ESFV(2,16,6),NIAC(42),NIBAB(42),  
\*ICCRE(42),MF(42),FF(6,6),RV(4,4),DC(6),LB(4),  
\*AXF(3,6),AZF(3,6),AZV(2,6),T(2),H(6),AMP(2,18)  
CCPEN NA,EF,NE,NTC,NADS,NC,NEV,N,NPP,NF,NR,NTR  
READ(1'1)EFL,AXF,AZF,AZV,T,H,AMP  
DC 100 I=1,2  
IF(I=1)20,20,21  
20 DC 100 J=1,KFF  
DC 100 K=1,KA  
KJ=K+(J-1)\*KA  
KFF=KJ+1  
J2=2\*KJ  
J1=J2-1  
J3=2\*KCS+K  
K1=J2+1  
K2=K1+1  
K3=J3+1  
CC(1)=EV(J1)  
CC(2)=EV(J2)  
CC(3)=EV(J3)  
C VERIFICA SE E C ULTIMO ANEAR  
IF(K=NA)22,23,23  
23 CC(4)=EF  
CC(5)=PF  
CC(6)=BF  
GC TC 24  
22 CC(4)=EV(K1)  
DC(5)=EV(K2)  
CC(6)=EV(K3)  
24 WRITE(5,1)N1,(CC(L),L=1,6)  
1 FCRRMAT1!SESFV--EC-FILAR=\*,I2,/,EE12.4)  
AL X+=1(K)  
AXF=AXF(J,K)  
AZF=AZF(J,K)  
IFC2R=PF  
C VERIF SE C FILAR TEM RCT(S) PALT(S)  
DC 101 L=1,KA  
IF(NIEAC(L)=K)101,25,101  
25 IF(MF(L))101,26,101  
26 IFC2R=IFC2R+1  
IC=ICCRE(L)  
101 CONTINUE  
C DECIDE CUAL A CNEICAC DE RIGIDEZ CO PILAR  
IF(IFC2F-1)27,28,29  
27 CALL PICF1(EMCC,AUXF,AAXP,AAZP,RP)  
GC TC 3C  
28 IF(IC-2)31,32,31  
31 CALL PICF3(EMCC,AUXF,AAXP,AAZP,RP)  
GC TC 3C  
32 CALL PICF2(EMCC,AUXF,AAXP,AAZP,RP)  
GC TC 3C  
29 CALL RICF4(EMCC,AUXF,AAXP,RP)  
30 WRITE(5,3)N1  
3 FCRRMAT1!SESFV-RP-FILAR=\*,I2)  
WRITE(5,70)((FF(L,M),M=1,6),L=1,6)  
70 FCRRMAT1!EX,EE14.5)  
CALCULCS ESFCRCCS - FILAR  
DC 102 J7=1,6  
ESFV(1,NI,J7)=ER  
DC 102 J6=1,6  
ESFV(1,NI,J7)=ESFV(1,NI,J7)+RP(J7,J6)\*CC(J8)  
102 CONTINUE  
WRITE(5,5)N1,(ESFV(1,NI,M),M=1,6)  
5 FCRRMAT1!SESFV-ESFV-FILAR=\*,I2,2X,EE14.5)

PAGE 7 CESARCTI

```
100 CONTINUE
21 CC 102 J=1,NE
DC 103 K=1,KT
NI=K+(J-1)*KT
AFV=NI+KA
J2=2*KJ
J1=J2-1
K2=2*KFV
KJ=K2-1
CE(1)=[V(J1)
CE(2)=[V(J2)
CE(3)=[V(K1)
CE(4)=[V(K2)
WITE(5,6)NI,(CE(N),N=1,4)
6 FCRMAT(*SESFV-CE-VICA=*,12,/,4E12.4)
AAZV=AZV(J,K)
ALXI=1(J)
IVC2R=EF
C VERIF SE A VICA JA TEM RCT(S) PLAST(S)
DC 104 L=1,NF
IF(NIEAEIL)-NI)104,23,104
33 IF(IF(L))104,34,104
34 IVC2R=IVC2R+1
IC=ICCF(L)
104 CONTINUE
C DECIDE UMA A CNECAC CE RICIDEZ DA VICA
IF(IVC2R-1)35,36,37
35 CALL RIGV1(EMCE,AUXT,AAZV,RV)
GC TC 38
36 IF(IC-2)39,40,39
39 CALL RIGV3(EMCE,AUXT,AAZV,RV)
GC TC 38
40 CALL RIGV2(EMCE,AUXT,AAZV,RV)
GC TC 38
37 CALL RIGV4(FV)
38 WITE(5,7)NI
7 FCRMAT(*SESFV-RV-VICA=*,12)
WITE(5,7) ((RV(L,M),N=1,4),L=1,4)
71 FCRMAT(6X,4E11.4)
CALCULC CES ESFCRCCS - VICA
DC 105 J7=1,4
ESFV(I,NI,J7)=BR
DC 105 J8=1,4
ESFV(I,NI,J7)=ESFV(I,NI,J7)+RV(J7,JE)*DB(J8)
105 CONTINUE
WITE(5,8)NI,1(ESFV(I,NI,M),M=1,4)
8 FCRMAT(*SESFV-ESFV-VICA=*,12,3X,4E14.5)
103 CONTINUE
RETLRA
END
```

FEATURES SUFFICIENTES  
CNE HERE INTEGERS

CNE RECLIREPETS FCR SESFV  
CCFMCN 14 VARIABLES IEE PROGRAM 1054

RELATIVE ENTRY POINT ADDRESS IS 01CC (HEX)

END OF COMPILATION

// DUP

\*STCRE WS UF SESFV  
CART ID 0016 CE ACK 5622 CB CNT CC44

```
// FCR
*LIST SOURCE PROGRAM
*CNE HERE INTEGERS
CALCULC DETERMINANTE - MATRIZ QUADRADA
SUPERLTINA DETER(S,XM1,N)
DIMENSION S(42,42)
L=1
K=2
XP1=1.
70 XP=S(L,L)
DC 95 J=L,N
S(L,J)=S(L,J)/XM
95 CONTINUE
CC 140 I=K,N
X=S(I,L)
CC 140 J=L,N
S(I,J)=S(I,J)-S(L,J)*X
```

PAGE 8 CESARCTI

```
140 CONTINUE
L=L+1
K=K+1
XP1=XP1*XP
IF(1-K)70,190,190
150 XP1=XP1*S(N,K)
KITE(5,1)XP1
1 FCFIT(5//),EX,VALOR DO DETERMINANTE=,E14.7)
RETURNA
END

FEATURES SUFFICIENTES
CNE KFCF INTEGERS

CORE REQUIREMENTS FOR CEFER
CCMPCN G VARIABLES TO PROGRAM ZC4 .

RELATIVE ENTRY POINT ADDRESS IS CC21 (HEX)

END OF COMPILEATION

// DUF

*STORE WS USE CEFER
CART ID 0016 EE ACH 5667 DB CNT CCGE

// ECR
#LIST SCLRCF FRCCFAK
#CNE KFCF INTEGERS
C DETERMINA OS MENSOS INCREMENTOS DE CARGA
SLBRCUTINE MECR(AMF,NIBAC,NIEAE,ICORD,IVOUP,ESFF,ESFV,DW,DH)
CIMENSAO AM(2,18),ESFF(2,1E,1),ESFV(2,1E,1),
*DW(2,18,5),LW1(12),LW2(12,4),LW3(18),DH4(18,5),
*NIEAF(42),NIEAC(42),ICORE(42),IVOUP(42)
CIMENSAO NF,PF,NE,NTC,NKOS,NC,NEV,N,NPP,NF,NR,NTR
NIBAC(NF)=EF
NIBAC(PF)=EF
100 I=1,2
IF(I=1)10,10,11
CALCULA OS INCREMENTOS DE CARGA
10 CC 101 J=1,NC
CC 101 K=2,5,2
DIV=ESFV(1,J,K)
IF(DIV)50,51,52
51 DW(1,J,K)=1.E25
GE TC 1C1
50 DW(1,J,K)=(-AMP(1,J)-ESFF(1,J,K))/DIV
GE TC 1C1
52 DW(1,J,K)=(AMF(1,J)-ESFF(1,J,K))/DIV
101 CONTINUE
GE TC 14
11 CC 102 J=1,NCV
CC 102 K=2,4,2
DIV=ESFV(1,J,K)
IF(DIV)53,54,55
54 DW(1,J,K)=1.E25
GE TC 102
53 DW(1,J,K)=(-AMP(1,J)-ESFF(1,J,K))/DIV
GE TC 1C2
55 DW(1,J,K)=(AMF(1,J)-ESFF(1,J,K))/DIV
1C2 CONTINUE
14 IF(I=1)17,17,18
CALCULA OS MENSOS INCREMENTOS DE CARGA DOS PILARES
17 CC 103 J=1,NC
K=2
L=5
IF(DW(1,J,K)-DW(1,J,L))19,20,2C
19 DW3(J)=DW(1,J,K)
IA=K
GE TC 21
20 DW3(J)=DW(1,J,L)
IA=L
21 IF(I=1)22,22,23
C SAI CC IF FALSE CONTINUE 22 SO A 1. VEZ
22 ICCRF=1/
NBARF=J
DW4(NBARF,ICCRF)=DW3(J)
GE TC 1C3
23 IF(DW4(NBARF,ICCRF)-DW3(J))102,103,22
1C3 CONTINUE
100 CONTINUE
CALCULA OS MENSOS INCREMENTOS DE CARGA DAS VIGAS
18 CC 104 J=1,NCV
```

PAGE 9 CESARCTI

```
K=2
L=4
IF([h{I,J,K}=[W{I,J,L}])24,25,25
24 [w1{J}=[h{I,J,K}]
IA=R
GC TC 26
25 [h1{J}=[h{I,J,L}]
IA=L
26 IF(J=1)27,27,28
27 IF(CCFV=1)
NEAFV=
C>2(NPAPV,ICCRV)=[W1{J}
GC TC 1C4
28 IF([h2(NEAFV,ICCRV)=[W1{J}))1C4,1C4,27
1C4 CONTINUE
C DETERMINA SE C MENCH INCREMENTO E NLMA VIGA OU PILAR
IF([h2(NPAPV,ICCRV)=[h4(NPAP,ICORP))29,29,30
30 C>=E44(NEAFV,ICCFV)
IVCLF(NF)=1
NIBAC(NF)=NEAFV
ICCPD(NF)=ICCRV
NIEAE(NF)=0
GC TC 31
29 h1=[h2(NEAFV,ICCRV)
IVCLF(NF)=2
NIBAP(NF)=NEAFV
ICCFD(NF)=ICCRV
NIBAC(NF)=0
31 WITE(5,1)N
1 FCRRMAT(5/,6X,'MENCR INCREMENTO DE CARGA , PASSO',2X,12)
WITE(5,2)IVCUF(NR),NIBAC(NR),NIEAB(NR),ICORD(NR),Dh
2 FCRRMAT(//,6X,'IVCUF=',12,'NIFAC=',12,'NIBAB=',12,
*,ICCF=',12,'EW)=',E14.7)
3 FCRRMAT(5/,6X,'MENCR-INCREMENTOS DE CARGA, PASSO=',13)
DC 105 I=1,2
IF(I=1)41,41,40
40 WITE(5,4)
4 FCRRMAT(//,6X,'VIGAS')
WITE(5,5)((CW{I,J,K}),K=2,4,2),J=1,NDV)
GC TC 105
41 WITE(5,6)
6 FCRRMAT(//,6X,'FILARES')
WITE(5,5)((CW{I,J,K}),K=2,5,2),J=1,NC)
5 FCRRMAT(//,6X,2(E14.7,3X))
1C5 CONTINUE
RETUR
END
```

FEATURES SUPPORTED  
ARE WORDS INTEGERS

CCRF REQUIREMENTS FOR MENCR  
CCMPCA 14 VARIABLES 350 PROGRAM 1C0E

RELATIVE ENTRY POINT ADDRESS IS 01CF (HEX)

END OF COMPILATION

// DUP

\*STCRE WS UA MENCR  
CART ID 0016 DE ACCR 5675 CB CNT CC41

```
// FCR
*LIST SOURCE FRCR
*ARE WORDS INTEGERS
C CALCULA OS ESFERAIS QUANDO N=0
SUBRCLTIRE SESFF(CV,ESFF,AXP,AZP,AZV,H,T,AMP)
DIMENSION CV(42),CC(4),CE(4),ESFF(2,2,2,2),RP(6,6),RV(4,4),
*AXF(3,6),AZF(3,6),AZV(2,6),H(6),T(2),AMP(2,18)
CCPFCA NF,EF,NE,ATC,NACS,NC,NCV,N,NPP,NF,NR,NTR
READ(1)EMCE,AXP,AZP,AZV,T,F,AMP
DE 13 I=1,2
IF(I=1)11,11,12
11 DC 13 J=1,NFF
DC 13 K=1,NF
CCMPCALIZA CCCR E FAIXA COM CC PILAR
NF=K+1
NFF=N+1
J2=2*N
J1=J2-1
J3=2*NRES+N
```

PAGE 10 CESARCTI

```
K1=J2+1
K2=K1+1
K3=-3+1
CC(1)=EV(J1)
CC(2)=EV(J2)
CC(3)=EV(J3)
C VERIFICA SE E' ULTIMO ARCAR
1F1$-N$)14,15,15
15 DC(4)=EF
CC(5)=EF
CC(6)=PF
GC(TC)16
14 CC(4)=EV(K1)
CC(5)=EV(K2)
CC(6)=EV(K3)
16 WFILE(5,1)N
1 FFORMAT(5(/),6X,'VETCR DESLOCAMENTO DO PILAR(SESFF)',2X,I2)
WFILE(5,2){EC(L),L=1,6}
2 FFORMAT(6X,6E11.4)
AAXF=AXF(J,K)
AAZF=AZF(J,K)
ALXM=F(K)
CALL FICF1{EMCC,AUXF,AAXP,AAZP,RP}
WFILE(5,3)N
3 FFORMAT(5(/),6X,'MATRIZ DE RIGICEZ DO PILAR(SESFF)',2X,I2)
DC(17,L=1,6)
17 WFILE(5,2){FF(L,M),M=1,6}
DC(18,J7=1,6
ESFF(I,N1,J7)=EF
DC(18,J8=1,6
ESFF(I,N1,J7)=ESFF(I,N1,J7)+RP(J7,J8)*DC(J8)
18 CONTINUE
WFILE(5,5)N
5 FFORMAT(5(/),6X,'ESFCRCOS NO PILAR(SESFF)',2X,I2)
WFILE(5,2){ESFF(I,N1,L),L=1,6}
13 CONTINUE
12 DC(19,J=1,HE
DC(19,K=1,HE
NI=K+(J-1)*HE
NFV=NI+HE
J2=2*NI
J1=J2-1
K2=2*NFV
K1=K2-1
DE(1)=EV(J1)
DE(2)=EV(J2)
DE(3)=EV(K1)
DE(4)=EV(K2)
WFILE(5,7)N
7 FFORMAT(5(/),6X,'VETCR DESLOCAMENTO DA VEGA(SESFF)',2X,I2)
WFILE(5,2){EE(L),L=1,4}
AAZV=AZV(J,K)
ALXT=T(J)
CALL FIGV1{EMCC,AUXT,AAZV,RV}
WFILE(5,8)N
8 FFORMAT(5(/),6X,'MATRIZ DE RIGICEZ DA VIGA(SESFF)',2X,I2)
DC(20,L=1,4)
20 WFILE(5,2){RV(L,M),M=1,4}
DC(21,J7=1,4
ESFF(I,N1,J7)=ER
DC(21,J8=1,4
ESFF(I,N1,J7)=ESFF(I,N1,J7)+RV(J7,J8)*DE(J8)
21 CONTINUE
WFILE(5,9)N
9 FFORMAT(5(/),6X,'ESFCRCOS NA VIGA(SESFF)',2X,I2)
WFILE(5,2){ESFF(I,N1,L),L=1,4}
19 CONTINUE
RETURN
END
```

FEATURES SUFFICIENT  
CAN BE INTEGERS

CORE REQUIREMENTS FOR SESFF  
COMMON 14 VARIABLES 164 PROGRAM 540

RELATIVE ENTRY POINT ADDRESS IS 012E (HEX)

END OF COMPILE

// DLF

\*STCRE MS UA SESFF

PAGE 11 CESARCTI

CART 30 CC16 EB ACCB S68E EB CNT CCBD

```
// FCR
*LIST SOURCE FRECFAM
*CAC WCFD INTGEGFS
C SLBRCITINA FZFA CALCULE DE ROTACOES DE ROTULAS
SLBRCITINA SRF(IVCF, NIEAP, NIAC, ICORC, ESFF, DG,
*AZV, AXF, AZF, T, F, AMP)
CIPERSONA IVCF(42), NIPAC(42), NIPAC(42), ICORD(42),
*ESFF(2,16,6), [F(42), AZV(2,6), AXP(3,6), AZP(3,6),
*T(2), F(6), AFF(2,18), CG(42),
*RF(42,42)
CCMCA RA, ER, AP, NTC, NROS, NC, NEV, N, NPP, NF, NR, NTR
CCMCA FF
REAL(1:1)EMCE,AXF,AZP,AZV,T,F,AMP
DC 10 J=1,NF
C ATRELAC DE "CC" EM "CF"
DC 51 KZ=1,NTC
DF(KZ)=EG(KZ)
51 CCATINUE
IF(VCLF(J)=1)11,12,11
C NIVEL DC FILAF
12 K7=NIEAC(J)
KX=K7/NI
AXI=FFAC(AX)
NIF=AXI*NRA+.2
IF(NIF)13,14,13
14 NIF=NA
13 NJ=NIPAC(J)
NFF=NI+1
ICES=2*NACS+NIP
ICEI=ICES+1
C VERIFICA SE E E ULTIMO ANDAR
J1=2*N
J2=2*NFF
CX1=CF(J2)
IF(NIF-NA)15,16,15
16 DF(ICEI)=PF
DX1=ER
C DA A FCSICAC DA FRUMACA
15 DC 17 IH=1,NPF
KX=IK*N
IF(IJ-NX)18,18,17
17 CCATINUE
18 L=IK
K=ICCFD(J)-
WRITE(15,101)ICES,ICEI
101 FCRMAT(' TESTE-SRF',ICES,I='',ZI3)
WRITE(15,102)(CF(KZ),KZ=1,NTC)
102 FCRMAT(' CF=',8E14.6)
IF(K-5)19,20,19
20 F11=(CF(ICES)-CF(ICEI))/H(NIP)
F12=-CX1
F13=(ESFF(1,NI,5)*H(NIP))/(3.*EMOC*AZP(L,NIP))
F14=(-ESFF(1,NI,2)*H(NIP))/(6.*EMOC*AZP(L,NIP))
GC TC 27
C RCTACAC RA ((CRC NUMERC 2 CC PILAR
19 F11=-(CF(ICES)-CF(ICEI))/H(NIP)
F12=CF(-1)
F13=(-ESFF(1,NI,2)*H(NIP))/(3.*EMOC*AZP(L,NIP))
F14=(ESFF(1,NI,5)*H(NIP))/(6.*EMOC*AZP(L,NIP))
GC TC 27
C CLANDA RCTULA FCR NUMA VIGA
C DETERM NIVEL DA VIGA
21 K7=NIEAE(J)
KX=K7/NZ
AXI=FFAC(AX)
NIV=AXI*NRA+.2
IF(NIV)21,22,21
22 NIV=NZ
C DA A FCSICAC DA FRUMACA
21 DC 23 IH=1,NE
KX=IK*N
IF(NIEAE(J)-NX)24,24,23
23 CCATINUE
24 L=IK
NIV=NIEAE(J)+NA
J2=2*NIEAE(J)
J1=J2-1
K2=2*NIV
K1=K2-1
NI=NIPAC(J)
C VERIFICA EM QUAL CCRC E A RCTULA, NA VIGA
```

PAGE 12 CESARCTI

```
K=ICCREC(J)
IF(K=2)25,26,25
26 FI1=CF(1)
FI2=(-ESFF(2,N1,2)*T(L))/(2.*EMDE*AZV(L,NIV))
FI3=(-ESFF(2,N1,2)*T(L))/(6.*EMDE*AZV(L,NIV))
FI4=-(CF(L))-F(K1))/T(L)
GOTO 27
C FCTACAC HA FCTULA NUMERO 4 DA VIGA
25 FI1=-CF(K2)
FI2=(-ESFF(2,N1,4)*T(L))/(2.*EMDE*AZV(L,NIV))
FI3=(-ESFF(2,N1,2)*T(L))/(6.*EMDE*AZV(L,NIV))
FI4=(CF(J))-CF(K1))/T(L)
27 RR(N,J)=FI1+FI2+FI3+FI4
WRITE(5,3)J,IVCUP(J),N1,ICORD(J)
3 FFORMAT(' FCTACAC HA FCTULA=',I2,/,,' IVOLP=',I2,/,,' NOINI=',I2,
*,/,CFC=1,I2)
WRITE(5,4)FI1,FI2,FI3,FI4
4 FFORMAT(' FI=',4E14.5)
10 CONTINUE
WRITE(8,1)FF
WRITE(5,1)N
1 FFORMAT(5(/),6X,'SRR-FCTACAO EAS ROTULAS, NO PASSO=',I3)
2 FFORMAT(6X,8E14.7)
RETURN
END
```

FEATURES SLCRTEC  
CNE NCRC INTEGERS

C CRE REQUIREMENTS FOR SRR  
CCMNCA 3542 VARIABLES 120 PROGRAM 1C12

RELATIVE ENTRY POINT ADDRESS IS 0CE4 (HEX)

END OF COMPILEATION

// CUF

\*STERE WS UA SRR  
CART ID 0016 DE ACFR 56F3 . CB CNT CC46

```
// FCR
*LIST SOURCE PROGRAM
*CNE NCRC INTEGERS
C DETERMINA SE HA FCRMACAC DE MAIS ROTULAS NUM MESMO PASSO
SUBROUTINE CTRAS(EW,EW1,IVCUP,ICORE,NIEAC,NIBAB,ICONT)
DIMENSION EW(2,10,5),IVCUP(42),ICURE(42),NIBAC(42),NIBAB(42)
CCFNC N1,EK,NE,ATC,NNOS,NC,NEV,N,NPP,NF,NK,NIR
ICCNT=PF
NE=NF
CC 100 I=1,2
IF(I=1)10,10,11
10 CC 100 J=1,K
CC 100 K=2,5,2
AY=AES(EW1-EW,I,J,K)
IF(AY=1,E-2)22,22,100
22 IF(NIEAC(NE)-J)12,20,12
20 IF(ICCREC(NE)-K)12,100,12
12 NF=NR+1
ICCNT=ICCNT+1
IVCUF(NF)=I
ICCREC(NF)=K
NIBAC(NF)=J
NIEAC(NF)=0
WRITE(5,1)K
1 FFORMAT(5(/),6X,'CTRAS-ROTULAS SIMULTANEAS, PASSO=',I3)
1 FWRITE(5,2)IVCUP(NF),NIEAC(NR),ICORD(NR)
2 FFORMAT(5(/),6X,'IVCUF=',I2,' NIEAC=',I2,' ICORD=',I2)
100 CONTINUE
11 CC 101 J=1,NEV
CC 101 K=2,4,2
AY=AES(EW1-EW,I,J,K)
IF(AY=1,E-2)23,23,101
23 IF(NIEAC(NE)-J)13,21,13
21 IF(ICCREC(NE)-K)13,101,13
13 NF=NR+1
ICCNT=ICCNT+1
IVCUF(NF)=I
ICCREC(NF)=K
NIEAC(NF)=J
NIBAC(NF)=0
WRITE(5,1)K
```

PAGE 13 CESARCTI

```
      WFILE(5,3) IVCUP(NR),NIBA2(NR),ICORD(NR)
      3 FCRPAT(/,6X,'IVCUP=',I2,' NIBA2=',I2,' ICORD=',I2)
101  CLRTNLZ
      WFILE(5,4) NF,ICNT
      4 FCRPAT(5(/),6X,'ETRAS',4X,'NR=',I2,' CONT=',I2)
      RETURN
      END
```

FEATURES SUPPORTED  
CNE WORD INTEGERS

CCRE REQUIREMENTS FOR ETRAS  
CCMNCN 14 VARIABLES 1C PROGRAM 424

RELATIVE ENTRY POINT ADDRESS IS 0005 (HEX)

END OF COMPILATION

// DLP

```
*STCRE WS UA ETRAS
CART ID 0016 DE ACK 5739 DB CNT 001C
```

```
// FCR
*LIST SOURCE PROGRAM
*CNE WORD INTEGERS
  FRACTICK FRAC(I)
  I=1
  FRAC=1-I
  RETURN
  END
```

FEATURES SUPPORTED  
CNE WORD INTEGERS

CCRE REQUIREMENTS FOR FRAC
CCMNCN 0 VARIABLES 4 PROGRAM 22

RELATIVE ENTRY POINT ADDRESS IS 0004 (HEX)

END OF COMPILATION

// DLP

```
*STCRE WS UA FRAC
CART ID 0016 DE ACK 5755 DB CNT 0003
```

```
// FCR
*LIST SOURCE PROGRAM
*CNE WORD INTEGERS
  SUBFUNCTION RIGV1(MCC,AUX1,AUX2,RV)
  DIMENSION RV(4,4)
  CTE=MCC*AUX2
  RV(1,1)=CTE*12/AUX1**3
  RV(2,1)=-CTE*6/AUX1**2
  RV(3,1)=-RV(1,1)
  RV(4,1)=RV(2,1)
  RV(1,2)=RV(2,1)
  RV(2,2)=CTE*4/AUX1
  RV(3,2)=-RV(2,1)
  RV(4,2)=CTE*2/AUX1
  RV(1,3)=RV(3,1)
  RV(2,3)=RV(3,2)
  RV(3,3)=RV(1,1)
  RV(4,3)=RV(3,2)
  RV(1,4)=RV(2,1)
  RV(2,4)=RV(4,2)
  RV(3,4)=RV(3,2)
  RV(4,4)=RV(2,2)
  WFILE(5,1)
  1 FCRPAT(5(/),6X,'MATRIX RIGV1')
  WFILE(5,2)({FV(I,J),J=1,4},I=1,4)
  2 FCRPAT(6X,4E11.4)
  RETURN
  END
```

FEATURES SUPPORTED  
CNE WORD INTEGERS

CCRE REQUIREMENTS FOR RIGV1
CCMNCN 0 VARIABLES 24 PROGRAM 274

PAGE 14 CESAFCT1  
RELATIVE ENTRY POINT ADDRESS IS CC2F (HEX)  
END OF COMPILATION  
// DUP  
\*STCRE WS UA RIGV1  
CART ID 0016 DE ACK 5758 CB CNT CC14  
// FCR  
\*LIST SOURCE FRCR.FP  
\*CNE WFCR INTEGEFS  
SUBROUTINE RIGV2(EMCC,AUX1,AUX2,RV)  
DIMENSION RV(4,4)  
CTE=EMCC\*AUX2  
DO 10 I=1,4  
RV(2,I)=0.  
RV(I,2)=0.  
10 CONTINUE  
RV(1,1)=CTE\*3/AUX1\*\*2  
RV(3,1)=-RV(1,1)  
RV(4,1)=-CTE\*3/AUX1\*\*2  
RV(1,3)=RV(2,1)  
RV(3,3)=RV(1,1)  
RV(4,3)=-RV(4,1)  
RV(1,4)=RV(4,1)  
RV(3,4)=RV(4,2)  
RV(2,4)=CTE\*3/AUX1  
WFILE(5,1)  
1 FCRMAT(5(/),6X,'MATRIX RIGV2')  
WFILE(5,2)((RV(I,J),J=1,4),I=1,4)  
2 FCRMAT(6X,4E11.4)  
RETURN  
END  
  
FEATURES SUFFCRTEC  
CNE WFCR INTEGEFS  
CCRE REQUIREMENTS FOR RIGV2  
CCMKA 0 VARIOELES 20 PROGRAM 234  
RELATIVE ENTRY POINT ADDRESS IS CC2B (HEX)  
END OF COMPILATION  
// DUP  
\*STCRE WS UA RIGV2  
CART ID 0016 DE ACK 5760 CB CNT CC11  
// FCR  
\*LIST SOURCE FRCR.FP  
\*CNE WFCR INTEGEFS  
SUBROUTINE RIGV3(EMCC,AUX1,AUX2,RV)  
DIMENSION RV(4,4)  
CTE=EMCC\*AUX2  
DO 10 I=1,4  
RV(4,I)=0.  
RV(I,4)=0.  
10 CONTINUE  
RV(1,1)=CTE\*3/AUX1\*\*3  
RV(2,1)=-CTE\*3/AUX1\*\*2  
RV(3,1)=-RV(1,1)  
RV(1,2)=RV(2,1)  
RV(2,2)=CTE\*3/AUX1  
RV(3,2)=-RV(2,1)  
RV(1,3)=RV(3,1)  
RV(2,3)=RV(3,2)  
RV(3,3)=RV(1,1)  
WFILE(5,1)  
1 FCRMAT(5(/),6X,'MATRIX RIGV2')  
WFILE(5,2)((RV(I,J),J=1,4),I=1,4)  
2 FCRMAT(6X,4E11.4)  
RETURN  
END  
  
FEATURES SUFFCRTEC  
CNE WFCR INTEGEFS  
CCRE REQUIREMENTS FOR RIGV2  
CCMKA 0 VARIOELES 20 PROGRAM 234

PAGE 15 CESARCTI  
RELATIVE ENTRY POINT ADDRESS IS CC2E (HEX)  
END OF COMPILEATION  
// DLP

```
*STCRE WS UA RIGP1
CART ID 0016 DE ACCR 577E EB CNT CC11
// FCF
*LIST SOURCE FRGGRAP
*CNE WCFC INTEGERS
    SLEFCLTINE FICP1(EMCC,AUX1,AUX2,AUX3,RP)
    DIMENSION FF{6,6}
    CT2=ALX2*EMCC
    CT3=ALX3*EMCC
    CC 10 I=1,6
    CC 10 J=1,6
    RF{1,J}=0.
10 CCNT|NUE
    RF{1,1}=CT2/AUX1
    RF{4,1}=-RF{1,1}
    RF{2,2}=4*CT3/AUX1
    RF{3,2}=-6*CT3/AUX1**2
    RF{5,2}=2*CT3/AUX1
    RF{6,2}=-RF{3,2}
    RF{2,3}=RF{3,2}
    RF{3,3}=12*CT3/AUX1**3
    RF{5,3}=RF{3,2}
    RF{6,3}=-RF{3,3}
    RF{1,4}=RF{4,1}
    RF{4,4}=RF{1,1}
    RF{2,5}=RF{5,2}
    RF{3,5}=RF{5,2}
    RF{5,5}=RF{2,2}
    RF{6,5}=RF{6,2}
    RF{2,6}=RF{6,2}
    RF{3,6}=RF{6,2}
    RF{5,6}=RF{6,5}
    RF{6,6}=RF{3,2}
    WRITE{5,2}
2 FORMAT{5{/},6X,'MATRIX RIGP1'}
3 WRITE{5,3}{[RF{I,J}],J=1,6},I=1,6
4 FORMAT{6X,6E14.7}
5 RETURN
END
```

FEATURES SUPPORTED  
CNE WCFC INTEGERS

CCRE REQUIREMENTS FOR RIGP1  
CCMCN 0 VARIABLES 24 PROGRAM 36C

RELATIVE ENTRY POINT ADDRESS IS CC31 (HEX)

END OF COMPILEATION  
// DLP

```
*STCRE WS UA RIGP1
CART ID 0016 DE ACCR 578E EB CNT CC1A
// FCF
*LIST SOURCE FRGGRAP
*CNE WCFC INTEGERS
    SLEFCLTINE FICP2(EMCC,AUX1,AUX2,AUX3,RP)
    DIMENSION FF{6,6}
    CT2=ALX2*EMCC
    CT3=ALX3*EMCC
    CC 10 I=1,6
    CC 10 J=1,6
    RF{1,J}=0.
10 CCNT|NUE
    RF{1,1}=CT2/AUX1
    RF{4,1}=-CT2/AUX1
    RF{2,2}=CT3*3/AUX1**2
    RF{3,2}=-CT2*3/AUX1**2
    RF{5,2}=-RF{3,3}
    RF{1,4}=RF{4,1}
    RF{4,4}=RF{1,1}
    RF{3,5}=RF{5,2}
    RF{5,5}=CT3*3/AUX1
    RF{6,5}=-RF{5,3}
```

PAGE 16 CESARCT1

```
RF{3,6}=RF{6,3}
RF{5,6}=RF{4,5}
RF{6,6}=RF{3,3}
WFITE{5,2}
2 FCRFAT{5(/),6X,'MATRIX RIGP2'}
WFITE{5,3}([RF{i,j},J=1,6],I=1,6)
3 FCFFAT{6X,6E14.7}
RETURN
END
```

FEATURES SUPPORTED  
CNE WORD INTEGERS

CCRE REQUIREMENTS FOR RIGF2
CCMCA C VARIOLES 24 PROGRAM 288
RELATIVE ENTRY POINT ADDRESS IS CC2F (HEX)
END OF COMPIILATION
// DUF

```
*STCRE HS UA RIGF2
CART ID 0016 CE ACF 57AB EB CNT CC15
// FCR
*LIST SOURCE FRCCGP4
*CNE WORD INTEGERS
SLBFCLTINE F1CP3(EMCC,AUX1,AUX2,AUX3,RP)
DIMENSION RF{6,6}
CT2=ALX2*EMCC
CT3=ALX3*EMCC
CC 10 I=1,6
CC 10 J=1,6
RF{1,J}=0.
10 CONTINUE
RF{1,1}=CT2/AUX1
RF{4,1}=-CT2/AUX1
RF{2,2}=CT3*3/AUX1
RF{3,2}=-CT3*3/AUX1**2
RF{6,2}=-RF{3,2}
RF{2,3}=RF{3,2}
RF{3,3}=CT3*3/AUX1**2
RF{6,3}=-RF{3,3}
RF{1,4}=RF{4,1}
RF{4,4}=RF{1,1}
RF{2,6}=RF{6,2}
RF{3,6}=RF{6,3}
RF{6,6}=RF{3,3}
WFITE{5,2}
2 FCRFAT{5(/),6X,'MATRIX RIGP2'}
WFITE{5,3}([RF{i,j},J=1,6],I=1,6)
3 FCFFAT{6X,6E14.7}
RETURN
END
```

FEATURES SUPPORTED  
CNE WORD INTEGERS

CCRE REQUIREMENTS FOR RIGF3
CCMCA C VARIOLES 24 PROGRAM 288
RELATIVE ENTRY POINT ADDRESS IS 002F (HEX)
END OF COMPIILATION
// DUF

```
*STCRE HS UA RIGF3
CART ID 0016 CE ACF 57BC EB CNT CC15
// FCR
*LIST SOURCE FRCCGP4
*CNE WORD INTEGERS
SLBFCLTINE F1CP4(EMCC,AUX1,AUX2,RP)
DIMENSION RF{6,6}
CT2=ALX2*EMCC/AUX1
CC 10 I=1,6
CC 10 J=1,6
RF{1,J}=0.
10 CONTINUE
RF{1,1}=CT2
RF{4,1}=-CT2
```

PAGE 17 CESAFCTI

```
RF(1,4)=-CT2
FF(4,4)=CT2
WRITE(5,2)
2 FFORMAT(5/),6X,'MATRIX RIGP4')
WRITE(5,2)((-F(I,J),J=1,t),I=1,t)
3 FFORMAT(6X,6E14.7)
RETFIN
END

FEATURES SUPPORTED
CNE LCFC INTEGERS

CNE REQUIREMENTS FOR RIGP4
CCMCA      0 VARIABES    IC PROGRAM    152
RELATIVE ENTRY POINT ADDRESS IS CC1F (HEX)
END OF COMPILEATION
// DLF

*STERE      WS  UA  RIGP4
CART IC 0016  CE AICF 57D2  CB CNT  CC0B

// FCR
*LIST SOURCE FREEFOR
*CNE LCFC INTEGERS
C ALTERA A MATRIZ RJ, QUANDO HA FORMACAO OU FECHAMENTO DE UMA ROTULA
C ABRE OU FECHA UMA PCTULA POR VEZ
    SLBFCLTINE AMF(NIEAE),IVCUP,ICORE,NIBAB,MF,AXP,AZP,AZV,T,H,AMP,
    *RJ)
    DIMENSION NIEC(42),IVCUP(42),ICORE(42),NIBAB(42),
    *AXP(3,6),AZF(3,6),AZV(2,6),T(2),H(6),RV(4,4),RP(6,6),
    *MF(42),AMF(2,18),
    *RJ(42,42)
    CMMCA  RA,EF,NE,ATC,NNDS,NC,NEV,N,NPP,NF,NR,NTR
C DECIDE SE C CALL VER CC PREM PRINCIPAL OU DA FECHRO
L2=AMF(1,1)
IF(MF)10,11,1C
10 K1=NF
    LF1=1
    LF2=-1
    GC TC 12
11 K1=NR
    LF1=-1
    LF2=1
12 REAC(9*1)RJ
    REAC(1*1)EMCE,AXP,AZP,AZV,T,H,AMP
    IF(IVCFL(K1)-1)13,14,13
C VERIFICA SE A VIGA TEM PCTULA NA OUTRA COORDENADA
13 K1=NIEAE(K1)
    IT=PR
    DC 100 I=1,NF
    IF(NIEAE(I)-NIBAE(K1))100,16,1C
16 IF(I-K1)17,100,17
17 IF(ICCF(I)-ICRC(K1))18,10C,1E
18 IF(IF(I))10C,19,100
19 IT=1
100 CCNTINE
    IF(IT)73,74,73
73 IVC2R=1
    GC TC 2C
74 IVC2R=PF
C LOCALIZA A PRUMACE DA VIGA NO PAINEL
20 DC 101 1A=1,NE
    KX=1H4A
    IF(NIEAE(K1)-KX)21,21,101
101 CCNTINE
21 L=1A
    ALX1=T(L)
C LOCALIZA O ANCAF DA VIGA NO PAINEL
    K7=NIEAE(K1)
    AX=L7/NF
    AXI=FRACT(AX)
    NIV=AX1*NF+2
    IF(NIV)22,23,22
23 KIV=KA
22 ALX2=L2V(L,NIV)
    NF=NIEAE(K1)+KA
    J2=2*NIEAE(K1)
    J1=J2-1
    K2=2*KFV
    K1=K2-1
```

PAGE 18 CESARCTI

```
C VERIFICA SE A VIGA JA TEM UMA ROTULA
 1F(IVCF-1)24,25,24
 25 IF(ICCFL(N1)-2)26,27,26
 26 CALL FIGV2(EMCC,AUX1,AUX2,RV)
 GC TC 26
 27 CALL FIGV3(EMCC,AUX1,AUX2,RV)
 28 LX=LF1
 LY=1
 GC TC 29
 24 CALL FIGV1(EMCC,AUX1,AUX2,RV)
 LX=LF1
 LY=C
 29 RJ(J1,J1)=RJ(J1,J1)+LX*RV(1,1)
 RJ(J1,J2)=RJ(J1,J2)+LX*RV(1,2)
 RJ(J1,K1)=RJ(J1,K1)+LX*RV(1,3)
 RJ(J1,K2)=RJ(J1,K2)+LX*RV(1,4)
 RJ(J2,J1)=RJ(J1,J2)
 RJ(J2,J2)=RJ(J2,J2)+LX*RV(2,2)
 RJ(J2,K1)=RJ(J2,K1)+LX*RV(2,3)
 RJ(J2,K2)=RJ(J2,K2)+LX*RV(2,4)
 RJ(K1,J1)=RJ(J1,K1)
 RJ(K1,J2)=RJ(J2,K1)
 RJ(K1,K1)=RJ(K1,K1)+LX*RV(3,2)
 RJ(K1,K2)=RJ(K1,K2)+LX*RV(3,4)
 RJ(K2,J1)=RJ(J1,K2)
 RJ(K2,J2)=RJ(J2,K2)
 RJ(K2,K1)=RJ(K1,K2)
 RJ(K2,K2)=RJ(K2,K2)+LX*RV(4,4)
 IF(LY-1)30,31,3
 30 IF(ICCFL(N1)-2)32,33,32
 32 CALL FIGV3(EMCC,AUX1,AUX2,RV)
 GC TC 34
 33 CALL FIGV2(EMCC,AUX1,AUX2,RV)
 34 LX=LF2
 LY=1
 GC TC 29
 C VERIFICA SE O PILAR JA TEM ROTULA NA OUTRA COORDENADA
 14 NJ=NIEAC(N1)
 IT=ER
 CC[102]=1,AR
 IF(NIEAC(1)-NIBAC(N1))102,36,102
 36 IF(1-N1)37,102,37
 37 IF(ICCFL(1)-1)CFC(N1))38,102,38
 38 IF(MF(1))102,39,102
 39 IT=1
 102 CONTINUE
 IF(IT)71,72,71
 71 IFC2R=1
 GC TC 40
 72 IFC2R=BF
 C LOCALIZA A FRUMACA DO PILAR NO PAINEL
 40 DC 103 IN=1,NFP
 NX=IN#A
 IF(NIEAC(N1)-NX)41,41,103
 103 CONTINUE
 41 L=IN
 C LOCALIZA O ANDAF DO PILAR
 N7=NIEAC(N1)
 AX=N7/NF
 AY=FRAC(AX)
 NIF=AX*NF+2
 IF(NIF)42,43,42
 43 NIF=NIF
 42 ALX1=F(NIF)
 ALX2=FXF(L,NIF)
 ALX3=FZF(L,NIF)
 NFF=NIEAC(N1)+1
 J2=2*NIEAC(N1)
 J1=J2-1
 J3=2*NIF+NIF
 K2=2*NFF
 K1=K2-1
 K3=J3+1
 C VERIFICA SE O PILAR JA TEM ROTULA
 45 IF(IFC2F-1)44,45,44
 45 IF(IFCRL(N1)-2)46,47,46
 46 CALL FIGF2(EMCC,AUX1,AUX2,AUX2,RP)
 GC TC 46
 47 CALL FIGF3(EMCC,AUX1,AUX2,AUX2,RP)
 48 LX=LF1
 LY=C
 GC TC 49
 44 CALL FIGF1(EMCC,AUX1,AUX2,AUX2,RP)
```

PAGE 19 CESAFCT1

```
LX=LF1
LY=
49 RJ(J1,J1)=FJ(J1,J1)+LY*RP(1,1)
RJ(J2,J1)=FJ(J2,J1)+LX*RP(2,1)
RJ(J3,J1)=FJ(J3,J1)+LX*RP(3,1)
RJ(J1,J2)=FJ(J1,J2)+LY*RP(1,2)
RJ(J3,J2)=FJ(J3,J2)+LX*RP(3,2)
RJ(J1,J3)=FJ(J1,J3)+LY*RP(1,3)
RJ(J2,J3)=FJ(J2,J3)+LX*RP(2,3)
C VERIFICASE C UTLIF ANEAR
1F(IF-N1)51,51
50 FJ(K1,J1)=FJ(K1,J1)+LX*RP(4,1)
RJ(K2,J1)=FJ(K2,J1)+LX*RP(5,1)
RJ(K3,J1)=FJ(K3,J1)+LX*RP(6,1)
RJ(K1,J2)=FJ(K1,J2)+LX*RP(4,2)
RJ(K2,J2)=FJ(K2,J2)+LX*RP(5,2)
RJ(K3,J2)=FJ(K3,J2)+LX*RP(6,2)
RJ(K1,J3)=FJ(K1,J3)+LX*RP(4,3)
RJ(K2,J3)=FJ(K2,J3)+LX*RP(5,3)
RJ(K3,J3)=FJ(K3,J3)+LX*RP(6,3)
RJ(J1,K1)=FJ(K1,J1)
RJ(J2,K1)=FJ(K1,J2)
RJ(J3,K1)=FJ(K1,J3)
FJ(K1,K1)=FJ(K1,K1)+LX*RP(4,4)
RJ(K2,K1)=FJ(K2,K1)+LX*RP(5,4)
RJ(K3,K1)=FJ(K3,K1)+LX*RP(6,4)
RJ(J1,K2)=FJ(K2,J1)
RJ(J2,K2)=FJ(K2,J2)
RJ(J3,K2)=FJ(K2,J3)
RJ(K1,K2)=FJ(K2,K1)
RJ(K2,K2)=FJ(K2,K2)+LX*RP(5,5)
RJ(K3,K2)=FJ(K3,K2)+LX*RP(6,5)
RJ(J1,K3)=FJ(K3,J1)
RJ(J2,K3)=FJ(K3,J2)
RJ(J3,K3)=FJ(K3,J3)
RJ(K1,K3)=FJ(K3,K1)
RJ(K2,K3)=FJ(K3,K2)
RJ(K3,K3)=FJ(K3,K3)+LX*RP(6,6)
51 IF(LY-1)52,31,52
52 IF(IFC2F-1)61,62,61
62 CALL FIGF4(EMC,AUX1,AUX2,RP)
GE TC 56
61 IF(IFCCFC(N1)-2)54,55,54
55 CALL FIGF2(EMC,AUX1,AUX2,AUX3,RP)
GE TC 56
54 CALL FIGF3(EMC,AUX1,AUX2,AUX3,RP)
56 LX=LF2
LY=1
GE TC 49
31 WRITE(9*1)PJ
C LISTAGENS FERIA VERICUACCES
M1=IVCUF(K1)
IF(INTP-N1)57,58,57
58 WRITE(5,1)N
1 FCRMAT(5//),6X,'AMRF-FORMOU-SE MAIS UMA ROTULA, NO PASSO=',I2)
GE TC 59
57 WRITE(5,2)NF
2 FCRMAT(5//),6X,'AMRF-FECHOU ROTULA, FORMADA NO PASSO=',I2)
59 WRITE(5,3)FF(N1),M1,N1,ICORD(N1)
3 FCRMAT(///,6X,'AMRF-MF=',I2,2X,'IVOUP=',I2,2X,'NI=',I2,3X,'ICORD
*',I2)
5 WRITE(5,5)N
5 FCRMAT(//,6X,'AMRF-MATRIX RJ NO PASSO=',I2)
DC 105 I=1,NTC
105 WRITE(5,4){FJ(I,J),J=1,NTC}
4 FCRMAT(6X,10E11.4)
RETURN
END
FEATURES SUFFCRTC
CNE WERC INTEGERS
CCRF REQUIREMENTS FOR AMRF
CCRFCA 14 VARIABLES 160 PROGRAM 2124
RELATIVE ENTRY POINT ADDRESS IS 011C (HEX)
END OF COMPILEATION
// DLP
```

PAGE 20 CESARCTJ

```
*STCRE HS UP ERFF
CART ID 0016 DE AEEF 57CC CR CNT CCAC

// FCF
*LIST SCUFCE FRCGRF
*CNE WCFC INTEGERS
C VERIFICA SE HA FECHAMENTO DE ROTULAS
    SLB=FLTRK(FECRC(1),IVCUP,10,42,K1HAD,MF,1CONT,K1,K2,K3)
    CIPERK(NIEAC(42),NIEAE(42),IVCUP(42),
    *ICCF(42)),P(42),K1(42),K2(42),K3(42),1CONT(42),
    *AXP(3,6),AZP(3,6),AZV(2,6),T(2),F(6),AMP(2,18),RJ(42,42),
    *RJ(42,42)
    CCPKA,BF,NE,NTC,NKCS,NC,NEV,A,NPP,NF,NR,NTR
    CCPKA FR
    READ(8*1)FF
    KFITE(5,7)N
    7 FCRMAT(IX,'FECRC-RR-PASSO=',I2)
    WRITE(5,101)NTA
101 FCRMAT(' TESTE-FECRC, NTH=',I2)
    DC 40 L9=1,N
    40 WRITE(5,8)(RF(L9,L8),L8=1,NTR)
    8 FCRMAT(IX,10E12.4)
    N2=N-1
    N3=N-1CENT(N2)
    L10 J=1,N2
C VERIFICA SE FR(K2,J) E FR(N,J) MUEARAM RELATIVAMENTE
C SLEIS SIKAIS. SE MUEARAM, FECHOU ESSA ROTULA.
    NEG=0
    A2=ABS(FR(N2,J))
    E2=FR(N2,J)-A2
    IF(E2)30,31,30
    30 NEG=1
    31 A3=ABS(FR(N,J))
    E3=FR(N,J)-A3
    IF(E3)32,33,32
    32 NEG=NEG+1
    33 IF(NEC-1)34,15,34
    34 AY=A2-A3
    IF(AY)10,15
    15 READ(5'J)K1(J),K2(J),K3(J)
    K=1CCFC(J)
    P1=IVCLF(J)
    IF(IVCLF(J)-1)11,12,11
    11 NI=NIEAC(J)
    GC TC 13
    12 NI=NIEAC(J)
C K1=IVCLF, K2=N1, K3=ICCRE
C VERIFICA FAFA NAO FECHA UMA ROTULA JA FECHADA
    13 IF(K1(J)-P1)20,21,20
    21 IF(K2(J)-NI)20,22,20
    22 IF(K3(J)-K)20,10,20
C SE A SLEIA FCF FELC COMANDO 10, INDICA QUE ESSA ROTULA
C JA HAVIA SE FECHADO...
    20 K1(J)=P1
    K2(J)=NI
    K3(J)=K
    WRITE(5,5)
    5 FCRMAT(5(/),6X,'FECRC-RETACOES DA ROTULA QUE SE FECHA')
    WRITE(5,6)FR(N2,J),FR(N,J)
    6 FCRMAT(6X,2E14.7)
    WRITE(5'J)K1(J),K2(J),K3(J)
    WRITE(5,2)K1(J),K2(J),K3(J)
    2 FCRMAT(5(/),6X,'K1',12,'K2',12,'K3',12)
    MF(J)=N
    NF=J
    WRITE(5,1)NF,N,MF(J)
    1 FCRMAT(5(/),6X,'FECRC-FECHOU A ROTULA',I2,'NO PASSO',I2,
    *'MF=',I2)
    CALL AMP(1)IEAC,IVCUP,ICCRE,NIEAE,MF,AXP,AZP,AZV,T,H,AMP,RJ)
    10 CONTINUE
    RETURN
    END

FEATURES SUPPORTED
CNE WCFC INTEGERS

CCPCKA 3542 VARIABLES 3734 PROGRAM 522
RELATIVE ENTRY POINT ADDRESS IS 0EFC (HEX)
END OF COMPILATION
```

PAGE 21 CESARCTI

// DLP

\*STCPE XE LF FICFC  
CART ID 0016 DE AEEK 5869 CB CNT CC23

// FCR  
\*LOC5(CARD,1132PRINTER,TYPEWRITER,KEYEDARC,DISK,PLOTTER,14C3PRINTER)  
\*LIST SCLHCE FRCGFAP  
\*CRE WCRD INTEGERS  
\*NAME PRC11  
DIMENSION JVCF(42),NIBAE(42),NIEAC(42),JCORD(42),  
\*MF(42),EF(42),CV(42),PF(42),PV(42),ESFF(2,18,6),  
\*ESFV(2,18,6),K(2,18,5),K1(42),K2(42),K3(42),AXP(3,6),  
\*AZF(3,6),AZV(2,2),T(2),H(E),AMP(2,1E),IT(42),  
\*RJ(42,42)  
DIMENSION FF(42,42)  
CCMKA RA,BR,NE,NTC,ANCS,NC,NEV,N,NPP,NF,NR,NTR  
CCMKA FR  
C DEFINE FILE - N=10, NFF=3, N=60, NR=70, COM EXTENDED PRECISION  
DEFINE FILE 1(3,320,U,KP1)  
DEFINE FILE 5(7:,S,U,KP5)  
DEFINE FILE 6(40,320,U,KP8)  
DEFINE FILE 9(46,320,U,KP9)  
DEFINE FILE 10(1,320,U,KP10)  
DEFINE FILE 11(1,320,U,KP11)  
CARACTERISTICAS ELST., GECMET. E CARREG. DO PAINEL  
CALL FANEIT,AXF,FZF,AZV,PV,PF,T,AMP)  
C ZERAR INICIARES DE RCT(S) FECFAIAS, E GRAVAR-DISCO  
CC 100 I=1,NR  
K1(I)=BF  
K2(I)=BF  
K3(I)=BF  
KETTE(5,I)K1(I),K2(I),K3(I)  
100 CCNTINUE  
C ZERAR FF(NR)=N  
CC 101 J=1,NR  
MF(J)=BF  
101 CCNTINUE  
NR=BR  
N=BR  
NTR=0  
CWT=PP  
CHAMA A MF - PRIMEIRA MONTAGEM DA RJ  
CALL MF(T,F,AXP,AZP,AMP,AZV,RJ)  
READ(9\*1)FJ  
C LISTAGEP CA FJ  
CALL LISTE(1,FJ,CF,ESFF)  
C INVERSAE CA FJ  
CALL INV(RJ,NTC)  
C LISTAGEP CA FJ INVERTIDA  
CALL LISTE(2,FJ,CF,ESFF)  
READ(10\*)FF  
CALCULE CCS DESLOCAMENTOS (CCORD-GLCBAIS), CEVIDO A PF  
CALL FRC1(FJ,CF,FF,NTC)  
C LISTAGEP DE 'CF'  
CALL LISTE(3,FJ,CF,ESFF)  
CALCULE CCS DESLOCAMENTOS (EVIDE A PF  
CALL SESFF(CF,ESFF,AXP,AZP,AZV,F,T,AMP)  
READ(1\*1)EMC1,AXP,AZP,AZV,T,F,AMP  
C VERIFICA SE HA PLASTIFICACAO PRECOCE, CEVIDO A PF  
CC 103 I=1,2  
IF(I=1)10,10,11  
10 CC 103 J=1,NR  
CC 103 K=2,5,2  
IF(AMP(I,J)=PES(ESFF(I,J,K)))12,12,103  
103 CCNTINUE  
12 CALL LISTE(4,FJ,CF,ESFF)  
GC TC 24  
11 CC 104 J=1,NEV  
CC 104 K=2,4,2  
IF(AMP(I,J)=PES(ESFF(I,J,K)))12,12,104  
104 CCNTINUE  
READ(11\*1)FV  
C INICIE EC FRCCESSC ITERATIVO -(PASSO-A-PASSO)-  
18 NF=ER  
READ(9\*1)RJ  
CALL EETER(FJ,EET,NTC)  
C VERIFICA O SINAL EC DETERMINANTE DA RJ  
IF(EET-1.E-10)13,13,14  
13 CALL LISTE(5,FJ,CF,ESFF)  
GC TC 24  
14 READ(9\*1)RJ  
CALL INV(RJ,NTC)

PAGE 22 CESARCTI

```
CALCULE CCS CESLCCARENTCS (CCCRE-GLCPAIS), DEVIDO A PV
C LISTAGEF DE 'CV'
CALL LISTE(6,FJ,CV,ESFF)
C VERIFICA SE E C FFIKEIFC PASSO
15 CALL SESFF(CV,ESFV,AXP,AZP,AZV,T,H,AMP)
GC TC 17
16 CALL SESFV(CV,ESFV,NIEAC,NIEAC,ICORE,MF,AXP,AZP,AZV,T,H,AMP)
17 N=N+1
NF=NF+1
CALCULA C 'PERCENT' INCREMENTO DE GARCA
CALL PERCENT(MF,NIEAC,NIEAE,ICCRE,IVCUP,ESFF,ESFV,DW,DW)
CALCULA CS 'CUTRCS' INCREMENTOS DE CARGO
CALL CUTRCS(CW,IVCUP,ICORE,NIPAC,NIBAB,ICONT)
NTR=NTR+ICONT+1
ICS=1
ITT(N)=ICONT+
CALCULC CCS ESFCFCES ACUMULACCS
23 CALL PRCC2(ESFF,ESFV,CW,ICS,NCV,NC)
CALL LISTE(7,FJ,CF,ESFF)
CALCULC CCS CESLCCARENTCS ACUMULACOS
CC 105 K=1,NT
DF(K)=CF(K)+CW*CV(K)*ICS
105 CONTINUE
CALL LISTE(8,FJ,CF,ESFF)
IF(ICS-1)18,15,12
19 CALL SFF(IVCUP,NIEAE,NIPAC,ICCRE,ESFF,CF,AZV,AXP,AZP,T,H,AMP)
ICONT=ICONT+1
NF=NF-ICONT
IF(N-2)20,20,21
21 CALL FECR(INIEAC,IVCUP,ICORE,NIBAB,MF,ITT,K1,K2,K3)
IF(NF)22,20,22
22 ICS=-1
K=N-1
NTR=NTR-ICONT
GC TC 23
20 NTR=NTR-ICONT
CC 106 K=1,ICONT
NF=NF+1
NTR=NTR+1
CALL AMFP(NIPAC,IVCUP,ICORE,NIPAB,MF,AXP,AZP,AZV,T,H,AMP,RJ)
106 CONTINUE
DWT=CW+CW
GC TC 18
24 WFILE(5,1)CWT
1 FCRPAT(4(/),' DWT=',E14.7)
CALL EXIT
END
```

FEATURES SUFFICIENT  
FOR HCFC INTEGERS  
ICCS

CCRE REQUIREMENTS FOR PRG11  
CCMCH 3542 VARIABLES 5716 PROGRAM 702

END OF COMPILEATION

// XEQ

## APÊNDICE II - PROGRAMA PRGMII

O programa PRGMII foi escrito em linguagem FORTRAN, conforme a seção "e" seguinte.

Apresentar-se-ão a seguir, pela ordem, a descrição do programa, a entrada de dados, a notação de variáveis utilizadas no programa, a interpretação dos resultados e a listagem do programa.

### a) DESCRIÇÃO DO PROGRAMA

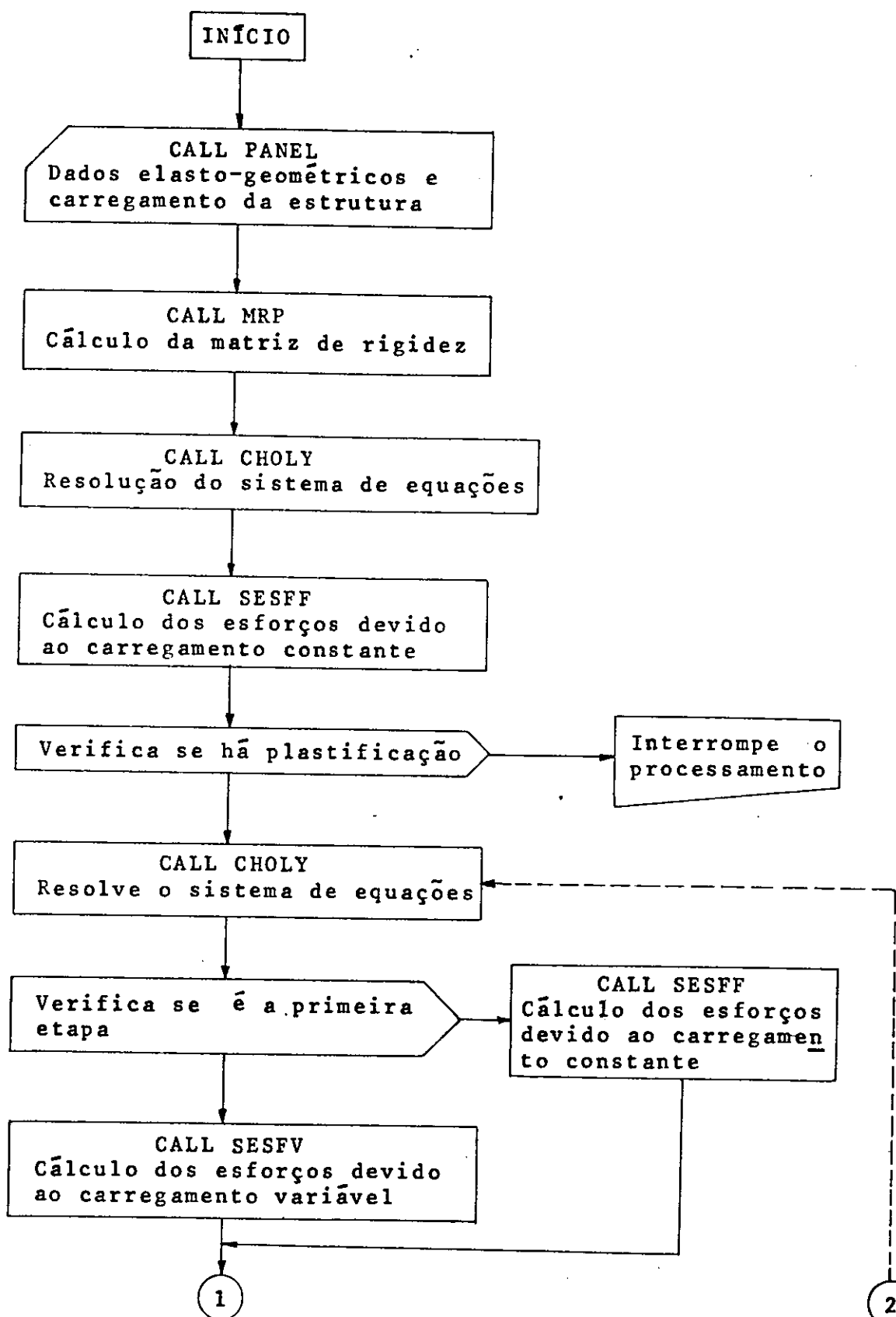
#### a.1) Sub-rotinas utilizadas

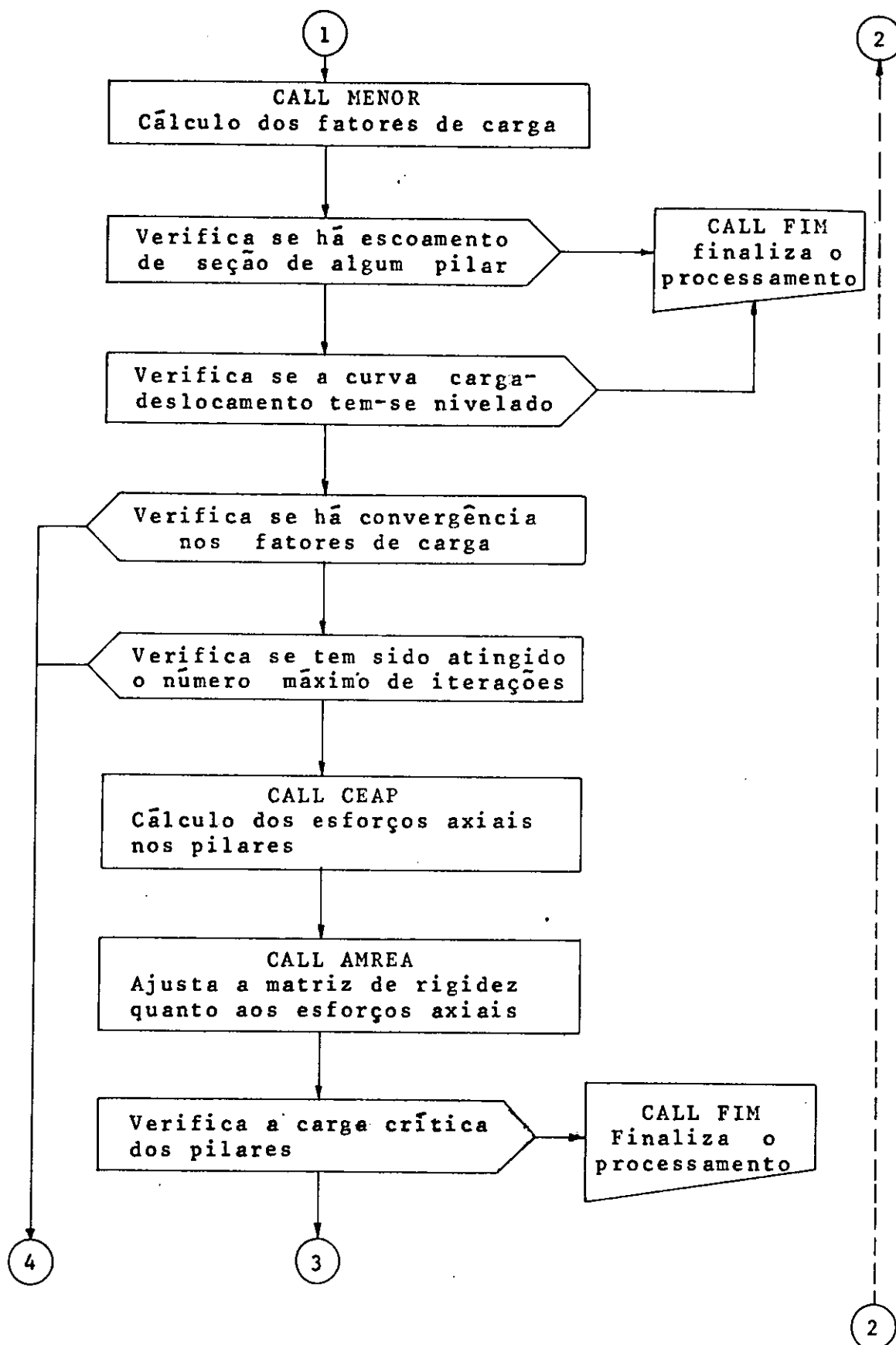
As sub-rotinas de que se utiliza o PRGMII são as seguintes:

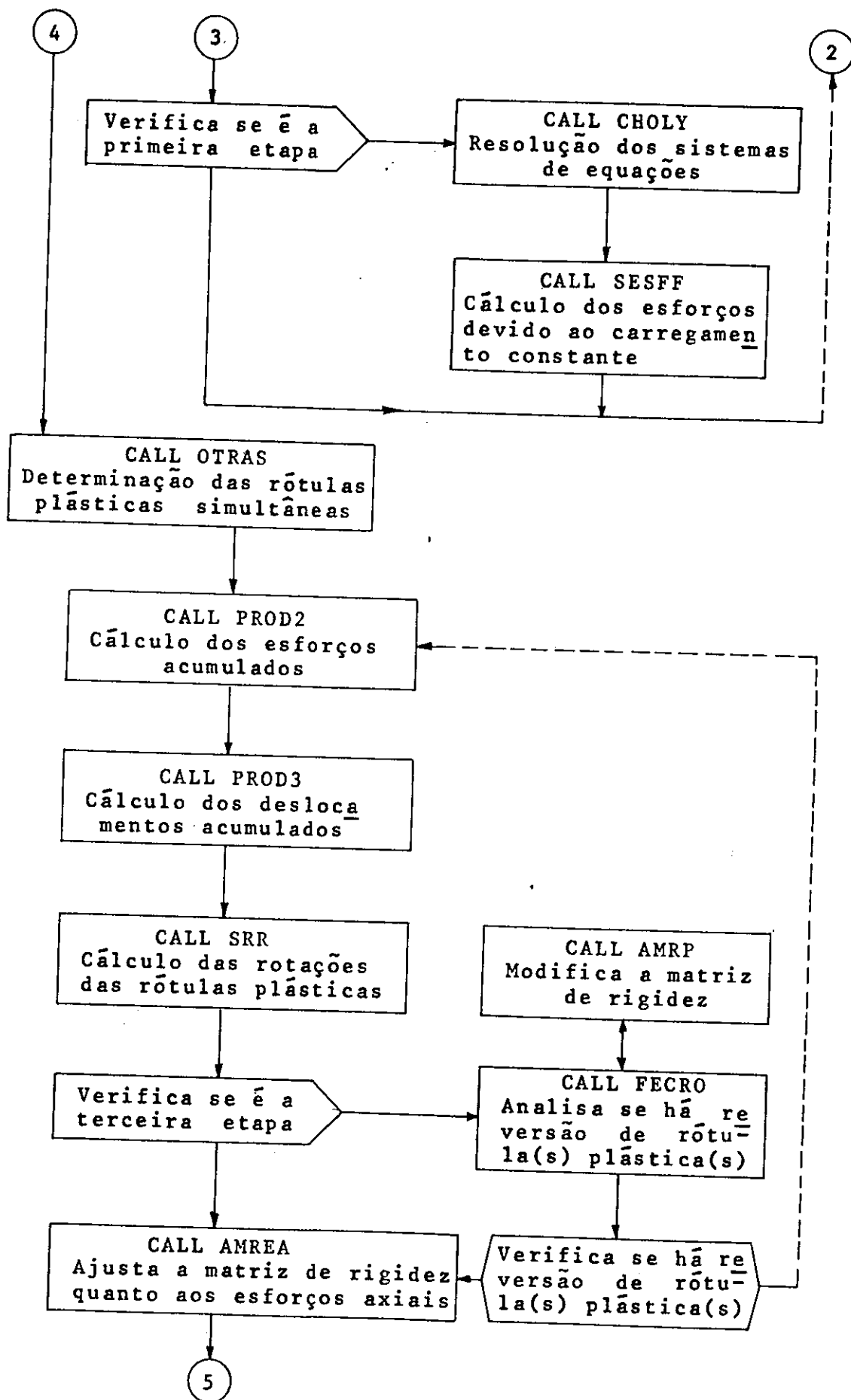
- PANEL - leitura e impressão dos dados elasto-geométricos e carregamento da estrutura;
- MRP - faz a montagem da matriz de rigidez da estrutura a partir das matrizes de rigidez das barras;
- RIGPJ - montam as matrizes de rigidez dos pilares com e sem rótulas plásticas ( $i=1,2,3,4,6$ ;  $j=1,\dots,4$ );
- RIGVJ - idem para as vigas;
- CHOLY - resolve o sistema de equações e calcula os deslocamentos segundo as coordenadas do sistema estrutural;
- SESFF - calcula os esforços nas extremidades das barras e as reações de apoio da estrutura, devido ao carregamento constante PF(NTC);
- SESFV - calcula os esforços nas extremidades das barras e as reações de apoio da estrutura, devido ao carregamento variável PV(NTC);
- FESTI - calcula os coeficientes das funções de estabilidade, conforme seção 5.2.2;

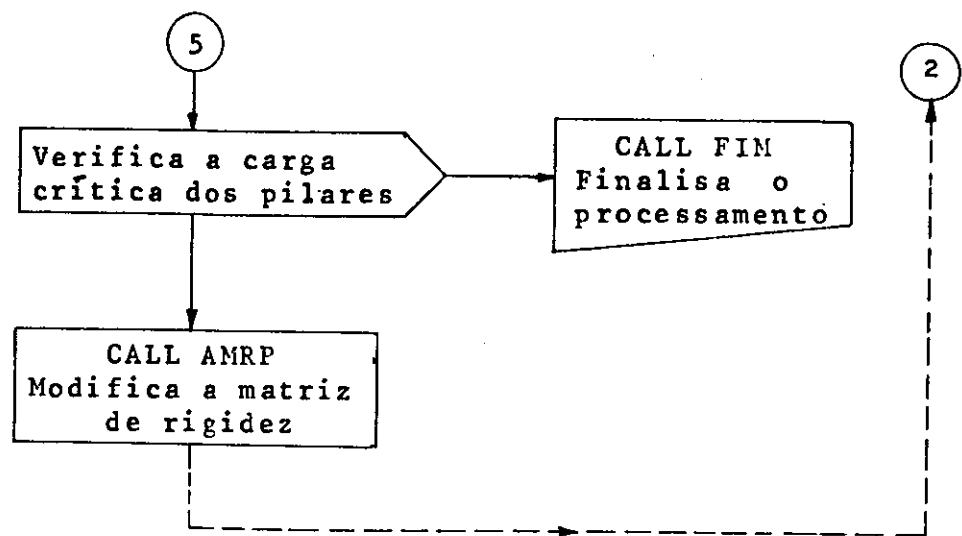
- MENOR - calcula os fatores de carga DW(2,NC,5) e determina, dentre eles, o menor fator de carga (DEI), referente à formação da primeira rótula plástica da etapa "i" (veja seção 4.4);
- CEAP - calcula os esforços axiais através do fator de carga DWP (veja eq. 6.1, seção 6.1);
- AMREA - ajusta a matriz de rigidez do sistema estrutural em função dos esforços axiais nos pilares, conforme seção 6.1;
- OTRAS - determina as outras rótulas plásticas da etapa "i" (pontos simultâneos de plastificação);
- PROD2 - calcula os esforços acumulados das barras, segundo as coordenadas das vigas e pilares;
- PROD3 - calcula os deslocamentos acumulados, segundo as coordenadas do sistema estrutural;
- SRR - calcula as rotações das rótulas plásticas;
- FECRO - analisa se há reversão de rótula(s) plástica(s);
- AMRP - modifica a matriz de rigidez do sistema estrutural face à formação de rótula(s) plástica(s);
- FIM - imprime o fator de carga DWT (carga última da estrutura) e finaliza o processamento;
- LISTE - executa a impressão de vetores, matrizes e mensagens ao longo do processamento do programa.

a.2) Fluxograma simplificado









b) ENTRADA DE DADOS

(\*) - numeração da ordem da sequência de variáveis (dados) especificados na seção "c".

(*)	VARIÁVEIS	NÚMERO DE VARIÁVEIS	FORMATO
1	SIG, OSCIL	2	2F6.0
2	NPP, NR	2	2I3
3	EMOD, BR, NA	3	F6.0, F2.0, I2
4	T(I), I=1, NB	NB	18F4.0
5	H(I), I=1, NA	NA	18F4.0
6	AXP(I,K); K=1, NA; I=1, NPP	NA*NPP	12F6.0
7	AZP(I,K); K=1, NA; I=1, NPP	NA*NPP	12F6.0
8	AZV(I,K); K=1, NA; I=1, NB	NA*NB	12F6.0
9	MAP(1,I), I=1, NC	NC	10E7.3
10	AMP(2,I), I=1, NDV	NDV	10E7.3
11	NNC, NAC	2	2I2
12	NV, NH, A1, A2, A3, A4	6	2I2, 4F5.2
13	NAND, A5, A6	3	I2, 2F5.2

As variáveis indexadas do quadro acima, com exceção de T(I) e H(I), são lidas pela ordem, de acordo com a numeração das barras na estrutura conforme a Fig. 4.1.

Pelo quadro acima, tem-se acesso à entrada de dados da estrutura a ser analisada.

c) NOTAÇÃO DE VARIÁVEIS UTILIZADAS NO PRGMII

SIG - tensão de escoamento  $\sigma_y$ .

OSCIL - coeficiente utilizado na determinação de  $\Delta W_p$ , conforme seção 6.3.

DWF	- parâmetros utilizados para verificar a convergência no ajuste dos esforços axiais nos pilares, no ciclo interno $DWF =  DWA/DWI-1 $ ; (ciclo - veja seção 6).
DWA	- fator de carga do ciclo interno "i-1".
DWI	- fator de carga do ciclo interno "i", ciclo interno atual.
DWP	- fator de carga predito.
DW(2,NC,5)	- fatores de carga.
NUIT	- contador de número de ciclos internos.
NA	- número de andares do pórtico.
NB	- número de vão de viga.
NTC	- número de coordenadas do sistema estrutural.
NNOS	- número de nós do pórtico (veja Fig. 4.1).
NC	- número de pilares.
NDV	- número de vigas.
N	- contador do número de "etapas".
NPP	- número de prumadas de pilares.
NF	- número de rótula plástica que se fechou.
NR	- número de rótulas plásticas.
NTR	- contador auxiliar do número de rótulas plás-ticas.
RR(M,NR)	- rotações das rótulas plásticas.
RJ(NTC,NTC)	- matriz de rigidez da estrutura.
T(NB)	- vãos das vigas, entre prumadas.
H(NA)	- altura dos pilares de cada andar.
AXP(NPP,NA)	- área da seção transversal dos pilares.
AZP(NPP,NA)	- momento de inércia dos pilares.
AZV(NB,NA)	- momento de inércia das vigas.

AMP(2,NC)	- momento de plastificação das barras.
EMOD	- módulo de elasticidade.
DV(NTC)	- componente de deslocamentos devido a PV(NTC), segundo o sistema de coordenadas da Fig.3.6.
DF(NTC)	- idem, para PF(NTC).
ESFV(2,NC,6)	- esforços devidos a PV(NTC), segundo as <u>coor</u> denadas das barras - Figs. 3.4 e 3.5.
ESFF(2,NC,6)	- idem, para PF(NTC)
EPA(NC)	- esforços axiais nos pilares do ciclo <u>inter</u> no anterior (ciclo - veja seção 6).
EAP(NC)	- esforços axiais nos pilares do ciclo <u>inter</u> no atual.
NIBAC(NR)	- variável que indica o número do pilar no qual tem se formado a rótula de número NR.
NIBAB(NR)	- idem acima, para viga.
IVOUP(NR)	- variável que indica se a rótula plástica é numa viga ou num pilar: IVOUP(NR) = 1 - rótula num pilar. IVOUP(NR) = 2 - rótula numa viga.
ICORD(NR)	- variável que indica o número da coordenada da barra, na qual se forma a rótula de númer <u>o</u> NR.
MF(NR)	- variável para indicar a etapa onde determinada rótula se fechou.
K1,K2,K3(NR)	- indicadores de rótulas plásticas fechadas.
PF(NTC)	- componente de carga do carregamento constan <u>te</u> (seção 3.3), segundo o sistema de coorde <u>nadas</u> da Fig. 3.6.
PV(NTC)	- idem, para o carregamento variável.
ITT(N)	- contador de rótulas plásticas de cada etapa (etapa - veja seção 6).

- IC - indicador de carga crítica em pilar(es).
- M - indicador de fase do ciclo interno.
- ICONT - contador auxiliar de rótulas plásticas.
- DWT - fator de carga referente à capacidade última de carga da estrutura.
- NNC - número de nós do pórtico solicitados por cargas verticais.
- NAC - número de andares solicitados por cargas horizontais.
- NV - número de origem das prumadas, da esquerda para a direita, com relação ao nó considerado.
- NH - número de ordem dos andares, de cima para baixo, com relação ao nó considerado.
- NAND - número de andar solicitado horizontalmente.
- A1 - parâmetro de carga vertical do carregamento constante.
- A2 - momento de engastamento do carregamento constante.
- A3 - parâmetro de carga vertical do carregamento variável.
- A4 - momento de engastamento do carregamento variável.
- A5 - parâmetro de carga horizontal do carregamento constante.
- A6 - parâmetro de carga horizontal do carregamento variável.

d) INTERPRETAÇÃO DOS RESULTADOS

A seguir são apresentadas as instruções necessárias à interpretação dos resultados fornecidos pelo PRGMII.

Ao ser iniciada o processamento, pelo PRGMII são impressos os dados da estrutura apresentados na seção "c". Na primeira fase (fase - veja seção 6) do PRGMII são im pressas as matrizes de rigidez das barras e da estrutura, assim como os deslocamentos devidos a PF(NTC) e PV(NTC), segundo o sistema de coordenadas da Fig. 3.6.

Na segunda fase do programa PRGMII (fase incremental e interativa, conforme capítulos 5 e 6) tem-se em cada etapa (uma etapa corresponde a um ciclo externo - conforme seção 6) os parâmetros associados à convergência dos esforços axiais nos pilares, à formação e reversão de rótula(s) plástica(s) e aos esforços e deslocamentos variáveis e acumulados.

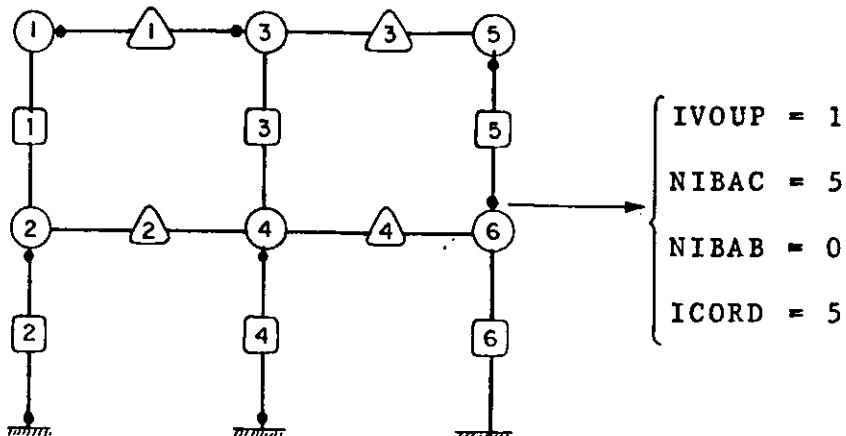
Seja, por exemplo, o pórtico da Fig. II, no qual esteja se formando a nona rótula plástica, na sétima etapa de análise; o programa PRGMII imprime:

ETAPA = 7

IVOUP = 1            NIBAC = 5            NIBAB = 0            ICORD = 5

DWI = 0,7366120E+00            DWP = 0,736618E+00

NUIT = 2            NR = 9



(i) - nº do nó      (i) - nº do pilar      (i) - nº da viga

FIG. II - EXEMPLO

São impressos, também, os esforços ESFF(2,NC,6) e deslocamentos DF(NTC) acumulados da etapa atual. Com esses elementos (veja notação - seção "c") pode-se localizar a rótula no pórtico e, expressar as relações necessárias ao que se objetiva analisar.

Caso haja a formação de mais que uma rótula plástica numa mesma etapa, o PRGMII imprime, por exemplo:

RÓTULA(S) PLÁSTICA(S)      ETAPA = 5

IVOUP = 1, NIBAC = 4, ICORD = 5

Por outro lado, caso haja a reversão da rótula "NR" na etapa "N", é impressa a mensagem

REVERTEU-SE A RÓTULA "NR" NA ETAPA "N"

e, o PRGMII procede de acordo com o que se apresenta na seção 5.2.1.

e) LISTAGEM DO PROGRAMA PRGMII

A correspondência entre as rotinas apresentadas na seção "a" e os segmentos<sup>(17)</sup> que constituem o PRGMII nesta listagem é a seguinte:

- PROGRAM SEG0(3) - contém o programa principal e as subrotinas PROD2 e LISTE;
- PROGRAM SEG1(5) - contém as subrotinas MRP, R1GP1 e R1GV1;
- PROGRAM SEG2(5) - contém as subrotinas SESFF, R2GP1 e R2GV1;
- PROGRAM SEG3(5) - contém as subrotinas SESFV, R3GP1, R3GP2, R3GP3, R3GP4, R3GV1, R3GV2, R3GV3 e FEST3;
- PROGRAM SEG4(5) - contém as subrotinas AMREA, R4GP1, R4GP2, R4GP3, R4GP4 e FEST4;
- PROGRAM SEG5(5) - contém as subrotinas FECRO, AMRP, R5GP1, R5GP2, R5GP3, R5GP4, R5GV1, R5GV2, R5GV3 e FEST5;
- PROGRAM SEG6(5) - contém as subrotinas AMRP, R5GV1, R5GV2, R5GV3, FEST5, R5GP1, R5GP2, R5GP3 e R5GP4;
- PROGRAM SEG7(5) - contém a subrotina PANEL;
- PROGRAM SEG8(5) - contém a subrotina MENOR;
- PROGRAM SEG9(5) - contém a subrotina SRR;
- PROGRAM SE10(5) - contém uma subrotina que faz leitura e gravação de dados entre o disco<sup>( )</sup> e a memória interna do computador;
- PROGRAM SE11(5) - contém a subrotina CHOLY;
- PROGRAM SE12(5) - contém a subrotina OTRAS.

Na listagem seguinte, "PROGRAM SEG0(3)" corresponde ao segmento principal ou, programa principal e "PROGRAM SEG1(5) e PROGRAM SEIJ(5)" aos segmentos propriamente ditos<sup>(17)</sup>.

PAGE 0001

(FTN4--RELEASE 24177B--JULY, 1971)

```

0001 FTN4,L
0002 PROGRAM SEC0(3)
0003 INTEGER P(S),Q(S),S10(3),S11(3),S12C3)
0004 INTEGER S1(3),S2(3),S3(3),S4(3),S5(3),S6(3),S7(3),S8(3),S9(3)
0005 COMMON HA,BR,NB,HTC,NHOS,HC,HDV,H,HPP,NF,HR,HTR
0006 COMMON RR(36,38),RJ(42,42)
0007 COMMON T(2),H(6),AXP(3,6),AZP(3,6),AZY(2,6),AMP(2,18),
0008 *EKOD,DV(42),ESFF(2,18,6),EPA(18),EAP(18),DF(42),
0009 *NIBAC(38),IVOUP(38),ICORD(38),NIBABC(38),MF(38),
0010 *K1(38),K2(38),K3(38),PF(42),PV(42),ESFY(2,18,6),
0011 *DW(2,18,5),ITT(36),IC,DWI,HUIT
0012 COMMON M,ICDHT,SIG,DWT,DWA,OSCIL
0013 DATA S1/2HSE,2HG1,2H /,S2/2HSE,2HG2,2H /,S3/2HSE,2HG3,2H /,
0014 *S4/2HSE,2HG4,2H /,S5/2HSE,2HG5,2H /,S6/2HSE,2HG6,2H /,
0015 *S7/2HSE,2HG7,2H /,S8/2HSE,2HG8,2H /,S9/2HSE,2HG9,2H /
0016 DATA S10/2HSE,2H10,2H /
0017 DATA S11/2HSE,2H11,2H /,S12/2HSE,2H12,2H /
0018 CARACTERISTICAS ELAST.,GEOMET. E CARREG. DO PAINEL
0019 CALL EXEC(8,S7)
0020 C ZERAR INDICADORES DE ROTULAS FECHADAS
0021 DO 100 I=1,HR
0022 K1(I)=BR
0023 K2(I)=BR
0024 K3(I)=BR
0025 100 CONTINUE
0026 C ZERAR MF(HR)=0 - ROTULAS QUE SE FECHARAN
0027 DO 101 J=1,HR
0028 101 MF(J)=BR
0029 HR=0
0030 N=0
0031 HTR=0
0032 DWT=0
0033 DO 200 J=1,HC
0034 EPA(J)=0.
0035 EAP(J)=0.
0036 200 CONTINUE
0037 IC=0
0038 CHAMA A MRP - PRIMEIRA MONTAGEM DA RJ
0039 CALL EXEC(8,S1)
0040 P(1)=-1
0041 CALL EXEC(8,S10,P)
0042 IF(IC)62,62,24
0043 C LISTAGEM DA RJ
0044 62 CALL LISTE(1,RJ,DF,ESFF)
0045 C INVERSÃO DA RJ
0046 Q(1)=-1
0047 CALL EXEC(8,S11,Q)
0048 C LISTAGEM DA RJ INVERTIDA
0049 CALL LISTE(2,RJ,DF,ESFF)
0050 CALL LISTE(3,RJ,DF,ESFF)
0051 CALL EXEC(8,S2)
0052 DO 103 I=1,2
0053 IF(I-1)10,10,11

```

PAGE 0002 SEGO (FTN4--RELEASE 241778--JULY, 1971)

```
0054    10 DO 103 J=1,NC
0055      DO 103 K=2,5,3
0056      IF(AMP(I,J)-ABS(ESFF(I,J,K)))12,12,103
0057 103 CONTINUE
0058      12 CALL LISTE(4,RJ,DF,ESFF)
0059      GO TO 24
0060      11 DO 104 J=1,NDY
0061        DO 104 K=2,4,2
0062        IF(AMP(I,J)-ABS(ESFF(I,J,K)))12,12,104
0063 104 CONTINUE
0064 C INICIO DO PROCESSO ITERATIVO
0065      18 HF=0
0066      NUIT=0
0067      DWA=0.
0068      14 P(1)=1
0069        CALL EXEC(8,S10,P)
0070        Q(1)=1
0071        CALL EXEC(8,S11,Q)
0072        CALL LISTE(5,RJ,DV,ESFF)
0073        IF(N)15,15,16
0074 15 NR=NR+1
0075        CALL EXEC(8,S2)
0076        GO TO 17
0077      16 CALL EXEC(8,S3)
0078      NR=NR+1
0079      17 CALL EXEC(8,S8)
0080      WRITE(6,30)N,NUIT,DVI
0081 30 FORMAT(/, " N=", I2, ",      NUIT=", I2, ",      DVI=", E14.7)
0082      M=0
0083      IF(DVI-I.E-10)24,24,51
0084 51 DWF=ABS(DWA/DVI-1.)
0085      IF(DWF-0.003)50,50,53
0086      53 NUIT=NUIT+1
0087      IF(NUIT-5)54,54,50
0088      54 DO 201 K=1,NC
0089      201 EAP(K)=ESFF(1,K,4)+DWP*ESFY(1,K,4)
0090      NR=NR-1
0091      P(1)=1
0092      CALL EXEC(8,S10,P)
0093      CALL EXEC(8,S4)
0094      P(1)=-1
0095      CALL EXEC(8,S10,P)
0096      IF(IC)24,55,24
0097 55 DO 202 K=1,NC
0098      EPACK=EAP(K)
0099 202 CONTINUE
0100      DWA=DVI
0101      P(1)=1
0102      CALL EXEC(8,S10,P)
0103      IF(N)57,57,14
0104 57 Q(1)=-1
0105      CALL EXEC(8,S11,Q)
0106      CALL EXEC(8,S2)
```

PAGE 0003 SEGO (FTN4--RELEASE 241778--JULY, 1971)

```
0107      M=1
0108      GO TO 14
0109      50 N=N+1
0110      CALL EXEC(8,S12)
0111      NTR=NTR+ICONT+1
0112      IDS=1
0113      ITT(N)=ICONT+1
0114      23 CALL PROD2(ESFF,ESFV,DUI,IDS,NDV,NC)
0115      CALL LISTE(6,RJ,DF,ESFF)
0116      DO 105 K=1,HTC
0117      DF(K)=DF(K)+DWI*DVK*K*IDS
0118      105 CONTINUE
0119      CALL LISTE(7,RJ,DF,ESFF)
0120      IF(IDS-1)18,19,18
0121      19 CALL EXEC(8,S9)
0122      ICONT=ICONT+1
0123      NR=NR-ICONT
0124      IF(N-2)20,20,21
0125      21 CALL EXEC(8,S5)
0126      IF(NF)22,20,22
0127      22 IDS=-1
0128      N=N-1
0129      NTR=NTR-ICONT
0130      GO TO 23
0131      20 NTR=NTR-ICONT
0132      DO 203 K=1,NC
0133      EAP(K)=ESFF(1,K,4)
0134      203 CONTINUE
0135      P(1)=1
0136      CALL EXEC(8,S10,P)
0137      CALL EXEC(8,S4)
0138      P(1)=-1
0139      CALL EXEC(8,S10,P)
0140      IF(IC)24,60,24
0141      60 DO 204 K=1,NC
0142      EAP(K)=EAP(K)
0143      204 CONTINUE
0144      P(1)=1
0145      CALL EXEC(8,S10,P)
0146      DO 106 K=1,ICONT
0147      NR=NR+1
0148      NTR=NTR+1
0149      CALL EXEC(8,S6)
0150      106 CONTINUE
0151      P(1)=-1
0152      CALL EXEC(8,S10,P)
0153      DWT=DWT+DWI
0154      GO TO 18
0155      24 WRITE(6,1)DWT
0156      1 FORMAT(4(/),*, DWT=*,E14.7)
0157      END
```

\*\* NO ERRORS\*

PAGE 0001

(FTN4--RELEASE 24177B--JULY, 1971)

```
0001      SUBROUTINE PRODZ(EF,EV,DWI,IDS,NDV,NC)
0002      REAL EF(2,18,6),EV(2,18,6)
0003      DO 1 I=1,2
0004      IF(I-1)10,10,11
0005 10  DO 1 L=1,NC
0006      DO 1 M=1,6
0007      EF(I,L,M)=EF(I,L,M)+DWI*EV(I,L,M)*IDS
0008      1 CONTINUE
0009      11 DO 2 L=1,NDV
0010      DO 2 M=1,4
0011      EF(I,L,M)=EF(I,L,M)+DWI*EV(I,L,M)*IDS
0012      2 CONTINUE
0013      RETURN
0014      END
```

\*\* NO ERRORS\*

```
0001      SUBROUTINE LISTE(KAI,RJ,DF,ESFF)
0002      REAL RJ(42,42),DF(42),ESFF(2,18,6)
0003      COMMON NA,BR,NB,NTC,HNDS,NC,NDV,N,NPP,NF,NR,NTR
0004      50 FORMAT(6X,"PRGM-MATRIZ RJ, PASSO=",I3)
0005      51 FORMAT(1X,1OE12.4)
0006      52 FORMAT(6X,"PRGM- RJ INVERTIDA, PASSO=",I3)
0007      53 FORMAT(6X,"PRGM- VETOR DF, PASSO=",I3)
0008      54 FORMAT(6X,"PLASTIFICACAO PRECOCE - FIM DO PROCESSAMENTO-DIMIN PF")
0009      56 FORMAT(6X,"PRGM- VETOR DV, PASSO=",I3)
0010      57 FORMAT(6X,"PRGM- ESFF - ESFORCOS ACUMULADOS,PASSO=",I3)
0011      58 FORMAT(6X,"PRGM - DESLOCAMENTOS ACUMULADOS - DF, PASSO=",I3)
0012      M=6
0013      GO TO (2,3,4,5,7,8,9),KAI
0014      2 WRITE(M,50)N
0015      20 WRITE(M,51)((RJ(I,J),J=1,NTC),I=1,NTC)
0016      GO TO 1
0017      3 WRITE(M,52)N
0018      GO TO 20
0019      4 WRITE(M,53)N
0020      21 WRITE(M,51)(DF(I),I=1,NTC)
0021      GO TO 1
0022      5 WRITE(M,54)
0023      GO TO 1
0024      7 WRITE(M,56)N
0025      GO TO 21
0026      8 WRITE(M,57)N
0027      DO 100 I=1,2
0028      IF(I-1)22,22,23
0029      22 WRITE(M,51)((ESFF(I,J,K),K=1,6),J=1,NC)
0030      100 CONTINUE
0031      23 WRITE(M,51)((ESFF(I,J,K),K=1,4),J=1,NDV)
0032      GO TO 1
0033      9 WRITE(M,58)N
0034      WRITE(M,51)(DF(I),I=1,NTC)
0035      1 RETURN
0036      END
```

\*\* NO ERRORS\*

0037 \$

PAGE 0001

(FTN4--RELEASE 24177B--JULY, 1971)

```

0001 FTN4,L
0002      PROGRAM SEG1(S)
0003      DIMENSION RV(4,4),RP(6,6)
0004      COMMON NA,BR,NB,HTC,HNDS,NC,NDV,H,NPP,NF,NR,NTR
0005      COMMON RR(36,38),RJ(42,42)
0006      COMMON T(2),H(6),AXP(3,6),AZV(3,6),AMP(2,18),
0007      *EMOD,DV(42),ESFF(2,18,6),EPA(18),EAP(18),DF(42),
0008      *NIBAC(38),IVDUP(38),ICORD(38),NIBAB(38),MF(38),
0009      *K1(38),K2(38),K3(38),PF(42),PV(42),ESFV(2,18,6),
0010      *DW(2,18,5),ICOHT(36),IC
0011      F=0.
0012 C ZERAR A MATRIZ "RJ"
0013      DO 100 I=1,HTC
0014      DO 100 J=1,NB
0015      RJ(I,J)=BR
0016      100 CONTINUE
0017      KCOD=6
0018      DO 101 J=1,NB
0019      AUX1=T(J)
0020      DO 101 K=1,NA
0021      AUX2=AZV(J,K)
0022      NI=K+(J-1)*NA
0023      NFV=NI+NA
0024      J2=2*NI
0025      J1=J2-1
0026      K2=2*NFV
0027      K1=K2-1
0028      WRITE(KCOD,1)NI,NFV
0029      1 FORMAT(//,"      MRP=",NI=",I2,"      NFV=",I2)
0030      CALL RIGV1(EMOD,AUX1,AUX2,RV)
0031      RJ(J1,J1)=RJ(J1,J1)+RV(1,1)
0032      RJ(J1,J2)=RJ(J1,J2)+RV(1,2)
0033      RJ(J1,K1)=RJ(J1,K1)+RV(1,3)
0034      RJ(J1,K2)=RJ(J1,K2)+RV(1,4)
0035      RJ(J2,J1)=RJ(J1,J2)
0036      RJ(J2,J2)=RJ(J2,J2)+RV(2,2)
0037      RJ(J2,K1)=RJ(J2,K1)+RV(2,3)
0038      RJ(J2,K2)=RJ(J2,K2)+RV(2,4)
0039      RJ(K1,J1)=RJ(J1,K1)
0040      RJ(K1,J2)=RJ(J2,K1)
0041      RJ(K1,K1)=RJ(K1,K1)+RV(3,3)
0042      RJ(K1,K2)=RJ(K1,K2)+RV(3,4)
0043      RJ(K2,J1)=RJ(J1,K2)
0044      RJ(K2,J2)=RJ(J2,K2)
0045      RJ(K2,K1)=RJ(K1,K2)
0046      RJ(K2,K2)=RJ(K2,K2)+RV(4,4)
0047      101 CONTINUE
0048      CONTRIBUICAO DO PILARES
0049      DO 102 K=1,NA
0050      AUX1=H(K)
0051      J3=2*NHDS+K
0052      K3=J3+1
0053      DO 102 J=1,NPP

```

PAGE 0002 SEC1 (FTN4--RELEASE 24177B--JULY, 1971)

```
0054      AUX2=AXP(J,K)
0055      AUX3=AZP(J,K)
0056      NI=K+(J-1)*HA
0057      NFP=NI+1
0058      J2=2*HI
0059      J1=J2-1
0060      K2=2*NFP
0061      K1=K2-1
0062      WRITE(KCOD,2)NI,NFP
0063      2 FORMAT(//," MRP=",NI=",I2," , NFP=",I2)
0064      CALL RIGP1(EMOD,AUX1,AUX2,AUX3,RP,F,IC)
0065      RJ(J1,J1)=RJ(J1,J1)+RP(1,1)
0066      RJ(J2,J1)=RJ(J2,J1)+RP(2,1)
0067      RJ(J3,J1)=RJ(J3,J1)+RP(3,1)
0068      RJ(J1,J2)=RJ(J2,J1)
0069      RJ(J2,J2)=RJ(J2,J2)+RP(2,2)
0070      RJ(J3,J2)=RJ(J3,J2)+RP(3,2)
0071      RJ(J1,J3)=RJ(J3,J1)
0072      RJ(J2,J3)=RJ(J3,J2)
0073      RJ(J3,J3)=RJ(J3,J3)+RP(3,3)
0074      C  VERIFICA SE E O ULTIMO ANDAR
0075      IF(K-HA)20,102,102
0076      20 RJ(K1,J1)=RJ(K1,J1)+RP(4,1)
0077      RJ(K2,J1)=RJ(K2,J1)+RP(5,1)
0078      RJ(K3,J1)=RJ(K3,J1)+RP(6,1)
0079      RJ(K1,J2)=RJ(K1,J2)+RP(4,2)
0080      RJ(K2,J2)=RJ(K2,J2)+RP(5,2)
0081      RJ(K3,J2)=RJ(K3,J2)+RP(6,2)
0082      RJ(K1,J3)=RJ(K1,J3)+RP(4,3)
0083      RJ(K2,J3)=RJ(K2,J3)+RP(5,3)
0084      RJ(K3,J3)=RJ(K3,J3)+RP(6,3)
0085      RJ(J1,K1)=RJ(K1,J1)
0086      RJ(J2,K1)=RJ(K1,J2)
0087      RJ(J3,K1)=RJ(K1,J3)
0088      RJ(K1,K1)=RJ(K1,K1)+RP(4,4)
0089      RJ(K2,K1)=RJ(K2,K1)+RP(5,4)
0090      RJ(K3,K1)=RJ(K3,K1)+RP(6,4)
0091      RJ(J1,K2)=RJ(K2,J1)
0092      RJ(J2,K2)=RJ(K2,J2)
0093      RJ(J3,K2)=RJ(K2,J3)
0094      RJ(K1,K2)=RJ(K2,K1)
0095      RJ(K2,K2)=RJ(K2,K2)+RP(5,5)
0096      RJ(K3,K2)=RJ(K3,K2)+RP(6,5)
0097      RJ(J1,K3)=RJ(K3,J1)
0098      RJ(J2,K3)=RJ(K3,J2)
0099      RJ(J3,K3)=RJ(K3,J3)
0100      RJ(K1,K3)=RJ(K3,K1)
0101      RJ(K2,K3)=RJ(K3,K2)
0102      RJ(K3,K3)=RJ(K3,K3)+RP(6,6)
0103      102 CONTINUE
0104      WRITE(KCOD,3)
0105      3 FORMAT(6X,"MATRIZ RJ - MRP")
0106      WRITE(KCOD,4)((RJ(I,J),J=1,HTC),I=1,HTC)
```

PAGE 0003 SEG1 (FTN4--RELEASE 241778--JULY, 1971)

```
0107      4 FORMAT(10E12.4)
0108      CALL EXEC(29)
0109      CALL SEGO
0110      END
```

\*\* NO ERRORS\*

PAGE 0001 (FTN4--RELEASE 241778--JULY, 1971)

```
0001      SUBROUTINE RIGV1(EMOD,AUX1,AUX2,RV)
0002      DIMENSION RV(4,4)
0003      JF=6
0004      CTE=EMOD*AUX2
0005      RV(1,1)=CTE*12/AUX1**3
0006      RV(2,1)=-CTE*6/AUX1**2
0007      RV(3,1)=-RV(1,1)
0008      RV(4,1)=RV(2,1)
0009      RV(1,2)=RV(2,1)
0010      RV(2,2)=CTE*4/AUX1
0011      RV(3,2)=-RV(2,1)
0012      RV(4,2)=CTE*2/AUX1
0013      RV(1,3)=RV(3,1)
0014      RV(2,3)=RV(3,2)
0015      RV(3,3)=RV(1,1)
0016      RV(4,3)=RV(3,2)
0017      RV(1,4)=RV(2,1)
0018      RV(2,4)=RV(4,2)
0019      RV(3,4)=RV(3,2)
0020      RV(4,4)=RV(2,2)
0021      WRITE(JF,1)
0022      1 FORMAT(//," MATRIX RIGV1")
0023      WRITE(JF,2)((RV(I,J),J=1,4),I=1,4)
0024      2 FORMAT(6X,4E11.4)
0025      RETURN
0026      END
```

\*\* NO ERRORS\*

PAGE 0001

CFTH4--RELEASE 24177B--JULY, 1971

```
0001      SUBROUTINE RIGPI(E,AH,AXP,AZP,RP,F,IC)
0002 C  MATRIZ DE RIGIDEZ - PILAR SEM ROTULA PLASTICA
0003      DIMENSION RP(6,6)
0004      PI=3.1416
0005      JF=6
0006      DO 10 I=1,6
0007      DO 10 J=1,6
0008      RP(I,J)=0.
0009      10 CONTINUE
0010 C  VERIFICO SE O ESFORCO AXIAL E PROXIMO DE ZERO,
0011 C  EM CASO AFFIRMATIVO S=4, C=0.5, E  M=1
0012      AF=AH*SQRT(ABS(F)/(E*AQP))/2.
0013 C  PARA VALORES DE AF MENOR QUE 0.05, AS EXPRESSOES DE S E C
0014 C  CALCULAM VALORES IRREALIS...
0015      IF(AF<0.05)11,11,12
0016      11 B2=4.
0017      B3=6.
0018      B4=2.
0019      B5=12.
0020      GO TO 21
0021      12 IF(F)13,14,14
0022      13 B2=(1.-2*AF*(1./TANH(2*AF)))*AF/(TANH(AF)-AF)
0023      B3=AF**2*(1.-1./SQRT(1.-(TANH(2*AF))**2))*(1.-(TANH(AF))**2)
0024      B32=TANH(AF)*(TANH(AF)-AF)
0025      B3=B3/B32
0026      B41=AF*(2*AF-TANH(2*AF))/SQRT(1.-TANH(2*AF)**2)*(1.-TANH(AF)**2)
0027      B4=B41/(2*B32)
0028      B51=2*B3/(2*B3+4.*AF**2)
0029      B5=2.*B3/B51
0030      GO TO 21
0031      14 IF(AF-PI)>16,15,15
0032 C  SE ALFA E MAIOR QUE PI, A CARGA CRITICA DESSE PILAR JA FOI ATINGIDA
0033      15 IC=1
0034      GO TO 20
0035      16 B2=AF*(SIN(2*AF)-2*AF*COS(2*AF))/(2*SIN(AF)*(SIN(AF)-AF*COS(AF)))
0036      B3=AF**2*(1.-COS(2*AF))/(SIN(AF)*(SIN(AF)-AF*COS(AF)))
0037      B4=AF*(2*AF-SIN(2*AF))/(2*SIN(AF)*(SIN(AF)-AF*COS(AF)))
0038      B51=2*B3/(2*B3-4*AF**2)
0039      B5=2*B3/B51
0040      21 RP(1,1)=E*AXP/AH
0041      RP(4,1)=-RP(1,1)
0042      RP(2,2)=B2*E*AQP/AH
0043      RP(3,2)=-B3*E*AQP/AH**2
0044      RP(5,2)=B4*E*AQP/AH
0045      RP(6,2)=-RP(3,2)
0046      RP(2,3)=RP(3,2)
0047      RP(3,3)=B5*E*AQP/AH**3
0048      RP(5,3)=RP(3,2)
0049      RP(1,4)=RP(4,1)
0050      RP(6,3)=-RP(3,3)
0051      RP(4,4)=RP(1,1)
```

PAGE 0002 RIGPI (FTN4--RELEASE 24177B--JULY, 1971)

```
0052      RPC(2,5)=RPC(3,2)
0053      RPC(3,5)=RPC(5,3)
0054      RPC(5,5)=RPC(2,2)
0055      RPC(6,5)=RPC(6,2)
0056      RPC(2,6)=RPC(6,2)
0057      RPC(3,6)=RPC(6,3)
0058      RPC(5,6)=RPC(6,5)
0059      RPC(6,6)=RPC(3,3)
0060      20 IF(IC)18,18,17
0061      17 WRITE(JF,4)
0062      4 FORMAT(//," RIGPI - PILAR COM CARGA CRITICA")
0063      GO TO 19
0064      18 WRITE(JF,2)
0065      2 FORMAT(//," MATRIZ RIGPI")
0066      WRITE(JF,3)(RPC(I,J),J=1,6),I=1,6
0067      3 FORMAT(6X,6E14.7)
0068      19 RETURN
0069      END
```

\*\* NO ERRORS\*

0070 \$

PAGE 0001

(FTN4--RELEASE 24177B--JULY, 1971)

```
0001 FTN4,L
0002     PROGRAM SEG2(5)
0003     REAL DC(6),DB(4),RP(6,6),RV(4,4),DV(42),ESFF(2,18,6)
0004     COMMON HA,BR,NB,NTC,HNOS,NC,NDV,H,NFP,HF,HR,HTR
0005     COMMON RR(36,38),RJ(42,42)
0006     COMMON T(2),H(6),AXP(3,6),AZP(3,6),AZV(2,6),AMP(2,18),
0007     *EMOD,DHV(42),ESHF(2,18,6),EPAC(18),EAP(18),DHF(42),
0008     *HIBAC(38),IVOUP(38),ICORD(38),HIBAB(38),MF(38),
0009     *K1(38),K2(38),K3(38),PF(42),PV(42),ESHV(2,18,6),
0010     *DW(2,18,5),ICONT(36),IC,OUT,HUIT,M
0011     IF(HR)40,40,41
0012    41 IF(HUIT)43,43,42
0013    42 IF(M)40,40,43
0014    40 DO 44 I=1,NTC
0015     DV(I)=DHV(I)
0016    44 CONTINUE
0017    GO TO 46
0018    43 DO 45 I=1,NTC
0019     DV(I)=DHV(I)
0020    45 CONTINUE
0021    46 KCOD=6
0022    DO 13 I=1,2
0023     IF(I-1)11,11,12
0024    11 DO 13 J=1,NPP
0025     DO 13 K=1,HA
0026     HI=K+(J-1)*HA
0027     NFP=HI+1
0028     J2=2*HI
0029     J1=J2-1
0030     J3=2*HNOS+K
0031     K1=J2+1
0032     K2=K1+1
0033     K3=J3+1
0034     DC(1)=DV(J1)
0035     DC(2)=DV(J2)
0036     DC(3)=DV(J3)
0037     IF(K-HA)14,15,15
0038    15 DC(4)=BR
0039     DC(5)=BR
0040     DC(6)=BR
0041     GO TO 16
0042    14 DC(4)=DV(K1)
0043     DC(5)=DV(K2)
0044     DC(6)=DV(K3)
0045    16 AAXP=AXP(J,K)
0046     AAZP=AZP(J,K)
0047     AUXH=H(K)
0048     F=EPAC(HI)
0049     CALL R2GP1(EMOD,AUXH,AAXP,AAZP,RP,F,IC)
0050     DO 18 J7=1,6
0051     ESFF(I,HI,J7)=BR
0052     DO 18 J8=1,6
0053     ESFF(I,HI,J7)=ESFF(I,HI,J7)+RPC(J7,J8)*DC(J8)
```

PAGE 0002 SEG2 (FTN4--RELEASE 24177B--JULY, 1971)

```
0054    18 CONTINUE
0055    13 CONTINUE
0056    12 DO 19 J=1,N8
0057      DO 19 K=1,NA
0058      HI=K+(J-1)*HA
0059      HFV=HI+HA
0060      J2=2*HI
0061      J1=J2-1
0062      K2=2*HFV
0063      K1=K2-1
0064      DB(1)=DV(J1)
0065      DB(2)=DV(J2)
0066      DB(3)=DV(K1)
0067      DB(4)=DV(K2)
0068      AAZY=AZV(J,K)
0069      AUXT=T(J)
0070      CALL R2GY1(EMOD,AUXT,AAZY,RV)
0071      DO 21 J7=1,4
0072      ESFF(I,HI,J7)=BR
0073      DO 21 J8=1,4
0074      ESFF(I,HI,J7)=ESFF(I,HI,J7)+RV(J7,J8)*DB(J8)
0075 21 CONTINUE
0076 19 CONTINUE
0077  IF(HR)50,50,51
0078  51 IF(HUIT)52,52,57
0079  57 IF(M)50,50,52
0080  50 DO 53 I=1,2
0081  DO 53 J=1,NC
0082  DO 53 K=1,6
0083  ESHF(I,J,K)=ESFF(I,J,K)
0084  53 CONTINUE
0085  GO TO 54
0086  52 DO 55 I=1,2
0087  DO 55 J=1,NC
0088  DO 55 K=1,6
0089  ESHV(I,J,K)=ESFF(I,J,K)
0090  55 CONTINUE
0091  54 CALL EXEC(29)
0092  CALL SEGO
0093  END.
```

\*\* NO ERRORS\*

PAGE 0001

CFTH4--RELEASE 24177B--JULY, 1971

```
0001      SUBROUTINE R2CV1(EMOD,AUX1,AUX2,RV)
0002      DIMENSION RV(4,4)
0003      JF=6
0004      CTE=EMOD*AUX2
0005      RV(1,1)=CTE*12/AUX1**3
0006      RV(2,1)=-CTE*6/AUX1**2
0007      RV(3,1)=-RV(1,1)
0008      RV(4,1)=RV(2,1)
0009      RV(1,2)=RV(2,1)
0010      RV(2,2)=CTE*4/AUX1
0011      RV(3,2)=-RV(2,1)
0012      RV(4,2)=CTE*2/AUX1
0013      RV(1,3)=RV(3,1)
0014      RV(2,3)=RV(3,2)
0015      RV(3,3)=RV(1,1)
0016      RV(4,3)=RV(3,2)
0017      RV(1,4)=RV(2,1)
0018      RV(2,4)=RV(4,2)
0019      RV(3,4)=RV(3,2)
0020      RV(4,4)=RV(2,2)
0021      RETURN
0022      END
```

\*\* NO ERRORS\*

PAGE 0001

CFTN4--RELEASE 24177B--JULY, 1971

```
0001      SUBROUTINE R2GPI(E,AH,AXP,AZP,RP,F,IC)
0002 C  MATRIZ DE RIGIDEZ - PILAR SEM ROTULA PLASTICA
0003      DIMENSION RP(6,6)
0004      PI=3.1416
0005      JF=6
0006      DO 10 I=1,6
0007      DO 10 J=1,6
0008      RP(I,J)=0.
0009      10 CONTINUE
0010 C  VERIFICO SE O ESFORCO AXIAL E PROXIMO DE ZERO,
0011 C  EM CASO AFIRMATIVO S=4, C=0.5, E  M=1
0012 C  AF=AH*SQRT(ABS(F)/(E*AHP))/2.
0013 C  PARA VALORES DE AF MENOR QUE 0.05, AS EXPRESSOES DE S E C
0014 C  CALCULAM VALORES IRREALIS...
0015      IF(AF<0.05)11,11,12
0016      11 B2=4.
0017      B3=6.
0018      B4=2.
0019      B5=12.
0020      GO TO 21
0021      12 IF(F)13,14,14
0022      13 B2=(1.-2*AF*(1./TANH(2*AF)))*AF/(TANH(AF)-AF)
0023      B3=AF**2*(1.-1./SQRT(1.-(TANH(2*AF))**2))*(1.-(TANH(AF))**2)
0024      B32=TANH(AF)*(TANH(AF)-AF)
0025      B3=B31/B32
0026      B41=AF*(2*AF-TANH(2*AF))/SQRT(1.-TANH(2*AF)**2)*(1.-TANH(AF)**2)
0027      B4=B41/(2*B32)
0028      B51=2*B3/(2*B3+4.*AF**2)
0029      B5=2.*B3/B51
0030      GO TO 21
0031      14 IF(AF-PI)16,15,15
0032 C  SE ALFA E MAIOR QUE PI, A CARGA CRITICA DESSE PILAR JA FOI ATINGIDA
0033      15 IC=1
0034      GO TO 20
0035      16 B2=AF*(SIN(2*AF)-2*AF*COS(2*AF))/(2*SIN(AF)*(SIN(AF)-AF*COS(AF)))
0036      B3=AF**2*(1.-COS(2*AF))/(SIN(AF)*(SIN(AF)-AF*COS(AF)))
0037      B4=AF*(2*AF-SIN(2*AF))/(2*SIN(AF)*(SIN(AF)-AF*COS(AF)))
0038      B51=2*B3/(2*B3-4*AF**2)
0039      B5=2*B3/B51
0040      21 RP(1,1)=E*AXP/AH
0041      RP(4,1)=-RP(1,1)
0042      RP(2,2)=B2*E*AHP/AH
0043      RP(3,2)=-B3*E*AHP/AH**2
0044      RP(5,2)=B4*E*AHP/AH
0045      RP(6,2)=-RP(3,2)
0046      RP(2,3)=RP(3,2)
0047      RP(3,3)=B5*E*AHP/AH**3
0048      RP(5,3)=RP(3,2)
0049      RP(1,4)=RP(4,1)
0050      RP(6,3)=-RP(3,3)
0051      RP(4,4)=RP(1,1)
```

PAGE 0002 R2GP1 (FTN4--RELEASE 241778--JULY, 1971)

```
0052      RPC(2,5)=RPC(3,2)
0053      RPC(3,5)=RPC(5,3)
0054      RP(5,5)=RP(2,2)
0055      RPC(6,5)=RPC(6,2)
0056      RPC(2,6)=RPC(6,2)
0057      RPC(3,6)=RPC(6,3)
0058      RPC(5,6)=RPC(6,5)
0059      RP(6,6)=RP(3,3)
0060      20 IF(IC>18,18,17
0061      17 WRITE(JF,4)
0062      4 FORMAT(///," RIGPI - PILAR COM CARGA CRITICA")
0063      18 RETURN
0064      END.
```

\*\* NO ERRORS\*

0065 \$

PAGE 0001

(FTN4--RELEASE 241778--JULY, 1971)

```
0001 FTN4.L
0002      PROGRAM SEG3(5)
0003      DIMENSION DC(6),DB(4),RP(6,6),RY(4,4)
0004      COMMON NA,BR,NB,HTC,NHOS,NC,NDV,N,NPP,NF,NR,NTR
0005      COMMON RR(36,38),RJ(42,42)
0006      COMMON T(2),H(6),AXP(3,6),AZP(3,6),AZV(2,6),AMP(2,18),
0007      *EMOD,DV(42),ESFF(2,18,6),EPAC(18),EAP(18),DF(42),
0008      *NIBAC(38),IVDUP(38),ICORD(38),NIBAB(38),MF(38),
0009      *K1(38),K2(38),K3(38),PF(42),PV(42),ESFV(2,18,6),
0010      *DW(2,18,5),ICONT(36),ICC
0011      KCOD=6
0012      DO 100 I=1,2
0013      IF(I-1)20,20,21
0014      20 DO 100 J=1,NPP
0015      DO 100 K=1,NA
0016      HI=K+(J-1)*NA
0017      NFP=HI+1
0018      J2=2*HI
0019      J1=J2-1
0020      J3=2*NHOS+K
0021      K1=J2+1
0022      K2=K1+1
0023      K3=J3+1
0024      DC(1)=DV(J1)
0025      DC(2)=DV(J2)
0026      DC(3)=DV(J3)
0027      IF(K-NA)22,23,23
0028      23 DC(4)=BR
0029      DC(5)=BR
0030      DC(6)=BR
0031      GO TO 24
0032      22 DC(4)=DV(K1)
0033      DC(5)=DV(K2)
0034      DC(6)=DV(K3)
0035      24 WRITE(KCOD,I)HI,(DC(L),L=1,6)
0036      1 FORMAT(" SESFY - DC - PILAR=",I2,/,6E12.4)
0037      AUXH=H(K)
0038      AXXP=AXP(J,K)
0039      AZP=AZP(J,K)
0040      IPC2R=BR
0041      DO 101 L=1,HR
0042      IF(NIBAC(L)-HI)101,25,101
0043      25 IF(MF(L))101,26,101
0044      26 IPC2R=IPC2R+1
0045      IC=ICORD(L)
0046      101 CONTINUE
0047      F=EPAC(HI)
0048      C DECIDE QUAL E A CONDICAO DE RIGIDEZ DO PILAR
0049      IF(IPC2R-1)27,28,29
0050      27 CALL R3GP1(EMOD,AUXH,AXXP,AZP,RP,F,ICC)
0051      GO TO 30
0052      28 IF(IC-2)31,32,31
0053      31 CALL R3GP3(EMOD,AUXH,AXXP,AZP,RP,F,ICC)
```

PAGE 0002 SEG3 (FTN4--RELEASE 24177B--JULY, 1971)

```
0054      GO TO 30
0055      32 CALL R3GP2(EMOD,AUXH,AAXP,AAZP,RP,F,ICC)
0056      GOTO 30
0057      29 CALL R3GP4(EMOD,AUXH,AAXP,AAZP,RP,F,ICC)
0058      30 DO 102 J7=1,6
0059      ESFV(I,NI,J7)=BR
0060      DO 102 J8=1,6
0061      ESFV(I,NI,J7)=ESFV(I,NI,J7)+RP(J7,J8)*DC(J8)
0062      102 CONTINUE
0063      WRITE(KCOD,5)HI,(ESFV(I,NI,M),M=1,6)
0064      5 FORMAT(" SESFV-ESFV-PILAR=",I2,3X,6E14.5)
0065      100 CONTINUE
0066      21 DO 103 J=1,NB
0067      DO 103 K=1,NA
0068      NI=K+(J-1)*NA
0069      NFV=NI+NA
0070      J2=2*NI
0071      J1=J2-1
0072      K2=2*NFV
0073      K1=K2-1
0074      DB(1)=DV(J1)
0075      DB(2)=DV(J2)
0076      DB(3)=DV(K1)
0077      DB(4)=DV(K2)
0078      WRITE(KCOD,6)HI,(DB(M),M=1,4)
0079      6 FORMAT(" SESFV=DB-VIGA=",I2,/,4E12.4)
0080      AAZY=AZY(J,K)
0081      AUXT=T(J)
0082      IVC2R=BR
0083      DO 104 L=1,NR
0084      IF(NIBAB(L)-NI)104,33,104
0085      33 IF(MF(L))104,34,104
0086      34 IVC2R=IVC2R+1
0087      IC=ICORD(L)
0088      104 CONTINUE
0089      IF(IVC2R-1)35,36,37
0090      35 CALL R3GV1(EMOD,AUXT,AAZY,RV)
0091      GO TO 38
0092      36 IF(IC-2)39,40,39
0093      39 CALL R3GV3(EMOD,AUXT,AAZY,RV)
0094      GO TO 38
0095      40 CALL R3GV2(EMOD,AUXT,AAZY,RV)
0096      GO TO 38
0097      37 CALL RIGV4(RV)
0098      38 DO 105 J7=1,4
0099      ESFV(I,NI,J7)=BR
0100      DO 105 J8=1,4
0101      ESFV(I,NI,J7)=ESFV(I,NI,J7)+RV(J7,J8)*DB(J8)
0102      105 CONTINUE
0103      WRITE(KCOD,8)HI,(ESFV(I,NI,M),M=1,4)
0104      8 FORMAT(" SESFV-ESFV-VIGA=",I2,3X,4E14.5)
0105      103 CONTINUE
0106      CALL EXEC(29)
0107      CALL SEGO
0108      END
```

\*\* NO ERRORS \*

PAGE 0001

(FTN4--RELEASE 24177B--JULY, 1971)

```
0001      SUBROUTINE RIGV4(RV)
0002      DIMENSION RV(4,4)
0003      DO 10 I=1,4
0004      DO 10 J=1,4
0005      RV(I,J)=0.
0006 10 CONTINUE
0007      RETURN
0008      END
```

\*\* NO ERRORS\*

PAGE 0001

(FTN4--RELEASE 24177B--JULY, 1971)

```
0001      SUBROUTINE R3GV1(EMOD,AUX1,AUX2,RV)
0002      DIMENSION RV(4,4)
0003      JF=6
0004      CTE=EMOD*AUX2
0005      RV(1,1)=CTE*I2/AUX1**3
0006      RV(2,1)=-CTE*6/AUX1**2
0007      RV(3,1)=-RV(1,1)
0008      RV(4,1)=RV(2,1)
0009      RV(1,2)=RV(2,1)
0010      RV(2,2)=CTE*4/AUX1
0011      RV(3,2)=-RV(2,1)
0012      RV(4,2)=CTE*2/AUX1
0013      RV(1,3)=RV(3,1)
0014      RV(2,3)=RV(3,2)
0015      RV(3,3)=RV(1,1)
0016      RV(4,3)=RV(3,2)
0017      RV(1,4)=RV(2,1)
0018      RV(2,4)=RV(4,2)
0019      RV(3,4)=RV(3,2)
0020      RV(4,4)=RV(2,2)
0021      RETURN
0022      END
```

\*\* NO ERRORS\*



PAGE 0001

CFTN4--RELEASE 24177B--JULY, 1971

```
0001      SUBROUTINE R3GV2(EMOD,AUX1,AUX2,RV)
0002      DIMENSION RV(4,4)
0003      JF=6
0004      CTE=EMOD*AUX2
0005      DO 10 I=1,4
0006      RV(2,I)=0.
0007      RV(1,2)=0.
0008 10 CONTINUE
0009      RV(1,1)=CTE*3/AUX1**3
0010      RV(3,1)=-RV(1,1)
0011      RV(4,1)=-CTE*3/AUX1**2
0012      RV(1,3)=RV(3,1)
0013      RV(3,3)=RV(1,1)
0014      RV(4,3)=-RV(4,1)
0015      RV(1,4)=RV(4,1)
0016      RV(3,4)=RV(4,3)
0017      RV(4,4)=CTE*3/AUX1
0018      RETURN
0019      END.
```

\*\* NO ERRORS\*

PAGE 0001

CFTN4--RELEASE 24177B--JULY, 1971

```
0001      SUBROUTINE R3GV3(EMOD,AUX1,AUX2,RV)
0002      DIMENSION RV(4,4)
0003      JF=6
0004      CTE=EMOD*AUX2
0005      DO 10 I=1,4
0006      RV(4,I)=0.
0007      RV(1,4)=0.
0008 10 CONTINUE
0009      RV(1,1)=CTE*3/AUX1**3
0010      RV(2,1)=-CTE*3/AUX1**2
0011      RV(3,1)=-RV(1,1)
0012      RV(1,2)=RV(2,1)
0013      RV(2,2)=CTE*3/AUX1
0014      RV(3,2)=-RV(2,1)
0015      RV(1,3)=RV(3,1)
0016      RV(2,3)=RV(3,2)
0017      RV(3,3)=RV(1,1)
0018      RETURN
0019      END.
```

\*\* NO ERRORS\*

PAGE 0001

(FTN4--RELEASE 24177B--JULY, 1971)

```
0001      SUBROUTINE R3GP4(E,AH,AXP,AZP,RP,F,IC)
0002      DIMENSION RP(6,6)
0003      JF=6
0004      PI=3.1416/2.
0005      AF=AH*SQRT(ABS(F)/(E*AZP))/2.
0006      IF(AF-PI>10,11,11
0007 10  DO 12 I=1,6
0008      DO 12 J=1,6
0009      RP(I,J)=0.
0010      12 CONTINUE
0011      RP(1,1)=E*AXP/AH
0012      RP(4,1)=-RP(1,1)
0013      RP(1,4)=RP(4,1)
0014      RP(4,4)=RP(1,1)
0015      GO TO 13
0016      11 IC=1
0017      WRITE(JF,4)
0018      4 FORMAT(//,*' RIGP4 - PILAR COM CARGA CRITICA')
0019      13 RETURN
0020      END
```

\*\* NO ERRORS\*

PAGE 0001

(FTN4--RELEASE 24177B--JULY, 1971)-

```
0001      SUBROUTINE R2GP3(E,AH,AXP,AZP,RP,F,IC)
0002      DIMENSION RP(6,6)
0003      CALL FEST3(E,AH,AZP,RP,F,IC,B1,B2)
0004      JZ=6
0005      IF(IC>10,10,11
0006 10  RP(1,1)=E*AXP/AH
0007      RP(4,1)=-RP(1,1)
0008      RP(1,4)=RP(4,1)
0009      RP(4,4)=RP(1,1)
0010      RP(2,2)=B2*E*AZP/AH
0011      RP(3,2)=-B2*E*AZP/AH**2
0012      RP(6,2)=-RP(3,2)
0013      RP(2,3)=RP(3,2)
0014      RP(3,3)=B1*E*AZP/AH**3
0015      RP(6,3)=-RP(3,3)
0016      RP(2,6)=RP(6,2)
0017      RP(3,6)=RP(6,3)
0018      RP(6,6)=RP(3,3)
0019      GO TO 12
0020      11 WRITE(JZ,4)
0021      4 FORMAT(//,*' RIGP3 - PILAR COM CARGA CRITICA')
0022      12 RETURN
0023      END
```

\*\* NO ERRORS\*

PAGE 0001

CFTH4--RELEASE 24177B--JULY, 1971

```
0001      SUBROUTINE RJGP1(E,AH,AXP,AZP,RP,F,IC)
0002 C  MATRIZ DE RIGIDEZ - PILAR SEM ROTULA PLASTICA
0003      DIMENSION RP(6,6)
0004      PI=3.1416
0005      JF=6
0006      DO 10 I=1,6
0007      DO 10 J=1,6
0008      RP(I,J)=0.
0009      10 CONTINUE
0010 C  VERIFICO SE O ESFORCO AXIAL E PROXIMO DE ZERO,
0011 C  EM CASO AFIRMATIVO S=4, C=0.5, E  M=1
0012 C  AF=AH*SQRT(ABS(F)/(E*AZP))/2.
0013 C  PARA VALORES DE AF MENOR QUE 0.05, AS EXPRESSOES DE S E C
0014 C  CALCULAM VALORES IRREALIS...
0015      IF(AF<0.05)11,11,12
0016      11 B2=4.
0017      B3=6.
0018      B4=2.
0019      B5=12.
0020      GO TO 21
0021      12 IF(F)13,14,14
0022      13 B2=(1.-2*AF*(1./TANH(2*AF)))*AF/(TANH(AF)-AF)
0023      B31=AF**2*(1.-1./SQRT(1.-(TANH(2*AF))**2))*(1.-(TANH(AF))**2)
0024      B32=TANH(AF)*(TANH(AF)-AF)
0025      B3=B31/B32
0026      B41=AF*(2*AF-TANH(2*AF)/SQRT(1.-TANH(2*AF)**2))*(1.-TANH(AF)**2)
0027      B4=B41/(2*B32)
0028      B51=2*B3/(2*B3+4.*AF**2)
0029      B5=2.*B3/B51
0030      GO TO 21
0031      14 IF(AF-PI)16,15,15
0032 C  SE ALFA E MAIOR QUE PI, A CARGA CRITICA DESSE PILAR JA FOI ATINGIDA
0033      15 IC=1
0034      GO TO 20
0035      16 B2=AF*(SIN(2*AF)-2*AF*COS(2*AF))/(2*SIN(AF)*(SIN(AF)-AF*COS(AF)))
0036      B3=AF**2*(1.-COS(2*AF))/(SIN(AF)*(SIN(AF)-AF*COS(AF)))
0037      B4=AF*(2*AF-SIN(2*AF))/(2*SIN(AF)*(SIN(AF)-AF*COS(AF)))
0038      B51=2*B3/(2*B3-4*AF**2)
0039      B5=2*B3/B51
0040      21 RP(1,1)=E*AXP/AH
0041      RP(4,1)=-RP(1,1)
0042      RP(2,2)=B2*E*AZP/AH
0043      RP(3,2)=-B3*E*AZP/AH**2
0044      RP(5,2)=B4*E*AZP/AH
0045      RP(6,2)=-RP(3,2)
0046      RP(2,3)=RP(3,2)
0047      RP(3,3)=B5*E*AZP/AH**3
0048      RP(5,3)=RP(3,2)
0049      RP(1,4)=RP(4,1)
0050      RP(6,3)=-RP(3,3)
0051      RP(4,4)=RP(1,1)
```

PAGE 0002 R3GP1 (FTN4--RELEASE 24177B--JULY, 1971)

```
0052      RPC(2,5)=RPC(5,2)
0053      RPC(3,5)=RPC(5,3)
0054      RPC(5,5)=RPC(2,2)
0055      RPC(6,5)=RPC(6,2)
0056      RPC(2,6)=RPC(6,2)
0057      RPC(3,6)=RPC(6,3)
0058      RPC(5,6)=RPC(6,5)
0059      RPC(6,6)=RPC(3,3)
0060      20 IF(IC>18,18,17
0061      17 WRITE(JF,4)
0062      4 FORMAT(//,*    RIGP1 - PILAR COM CARGA CRITICA*)
0063      18 RETURN
0064      END
```

\*\* NO ERRORS\*

PAGE 0001 (FTN4--RELEASE 24177B--JULY, 1971)

```
0001      SUBROUTINE R3GP2(E,AH,AXP,AZP,RP,F,IC)
0002      DIMENSION RP(6,6)
0003      JF=6
0004      CALL FEST3(E,AH,AZP,RP,F,IC,B1,B2)
0005      IF(IC>10,10,12
0006      10 RP(1,1)=E*AXP/AH
0007      RP(4,1)=-RP(1,1)
0008      RP(1,4)=RP(4,1)
0009      RP(4,4)=RP(1,1)
0010      RP(3,3)=B1*E*A2P/AH**3
0011      RP(5,3)=-B2*E*A2P/AH**2
0012      RP(6,3)=-RP(3,3)
0013      RP(3,5)=RP(5,3)
0014      RP(5,5)=B2*E*A2P/AH
0015      RP(6,5)=-RP(5,3)
0016      RP(3,6)=RP(6,3)
0017      RP(5,6)=RP(6,5)
0018      RP(6,6)=RPC3,3)
0019      GO TO 14
0020      12 WRITE(JF,4)
0021      4 FORMAT(//,*    RIGP2 - PILAR COM CARGA CRITICA*)
0022      14 RETURN
0023      END
```

\*\* NO ERRORS\*

PAGE 0001

(FTN4--RELEASE 241778--JULY, 1971)

```
0001      SUBROUTINE FEST3(E,AH,AZP,RP,F,[C,B1,B2])
0002      DIMENSION RP(6,6)
0003      DO 10 I=1,6
0004      DO 10 J=1,6
0005      RP(I,J)=0.
0006      10 CONTINUE
0007      C  VERIFICO SE O ESFORCO AXIAL E NULO;
0008      C  EM CASO AFIRMATIVO S=4, C=0.5 E M=1
0009      AF=AH*SQRT(ABS(F)/(E+AZP))/2.
0010      IF(AF-0.05)>11,11,12
0011      11 B1=3.
0012      B2=3.
0013      GO TO 17
0014      12 IF(F>13,14,14
0015      13 B11=2*TANH(AF)*SQRT(1.-(TANH(2*AF))**2)
0016      B12=(1.-(TANH(AF))**2)*(TANH(2*AF)-2*AF)
0017      B1=-4*AF**2*(B11/B12-1.)
0018      B21=8*(AF**2)*TANH(AF)*SQRT(1.-(TANH(2*AF))**2)
0019      B22=(1.-(TANH(AF))**2)*(TANH(2*AF)-2*AF)
0020      B2=-B21/B22
0021      GO TO 17
0022      C  SE ALFA FOR MAIOR QUE 2.2467, A CARGA CRITICA DESSE PILAR
0023      C  FOI ATINGIDA
0024      14 IF(AF-2.2467)>16,15,15
0025      15 IC=1
0026      GO TO 17
0027      16 S1=4*AF**2*(2*COS(AF)*SIN(AF)/(SIN(2*AF)-2*AF*COS(2*AF))-1.)
0028      B2=8*AF**2*COS(AF)*SIN(AF)/(SIN(2*AF)-2*AF*COS(2*AF))
0029      17 RETURN
0030      END
```

\*\* NO ERRORS\*

0031. \$

```
0001 FTN4,L
0002     PROGRAM SEG4(5)
0003     DIMENSION RP(6,6)
0004     COMMON NA,BR,NB,HTC,HNDS,NC,NDV,N,NPP,NF,HR,NTR
0005     COMMON RR(36,38),RJ(42,42)
0006     COMMON T(2),H(6),AXP(3,6),AZP(3,6),AZY(2,6),AMP(2,18),
0007     *EMOD,DY(42),ESFF(2,18,6),EPAC(18),EAF(18),DF(42),
0008     *NIBACC(38),IVDUP(38),ICORD(38),NIBABC(38),MF(38),
0009     *K1(38),K2(38),K3(38),PF(42),PV(42),ESFV(2,18,6),
0010     *DU(2,18,5),ICOHT(36),IC
0011     DO 100 K=1,NA
0012     AUX1=H(K)
0013     J3=2*HNDS+K
0014     K3=J3+1
0015     DO 100 J=1,NPP
0016     AUX2=AXP(J,K)
0017     AUX3=AZP(J,K)
0018     HI=K+(J-1)*NR
0019     HFP=HI+1
0020     J2=2*HI
0021     J1=J2-1
0022     K2=2*NFP
0023     K1=K2-1
0024     JF=6
0025     WRITE(JF,1)HI,HFP
0026     1 FORMAT(//," AMREA =",HI,I2," NFP=",I2)
0027 C  VERIFICO SE O PILAR TEM ROTULA(S) PLASTICA(S)
0028     IPCR=0
0029     LY=0
0030     IF(NR>5)51,51,50
0031     50 DO 11 I=1,NR
0032     IF(HI-NIBACC(I))11,19,11
0033     10 IF(MF(I))11,12,11
0034     12 IW=I
0035     IPCR=IPCR+1
0036     11 CONTINUE
0037     51 F=EPAC(HI)
0038     26 IF(IPCR-1)13,14,15
0039     13 CALL R4GP1(EMOD,AUX1,AUX2,AUX3,RP,F,IC)
0040     GO TO 21
0041     14 IF(ICORD(IU)-2)16,17,16
0042     16 CALL R4GP3(EMOD,AUX1,AUX2,AUX3,RP,F,IC)
0043     GO TO 21
0044     17 CALL R4GP2(EMOD,AUX1,AUX2,AUX3,RP,F,IC)
0045     GO TO 21
0046     15 CALL R4GP4(EMOD,AUX1,AUX2,AUX3,RP,F,IC)
0047     21 IF(LY)18,19,18
0048     19 LX=-1
0049     GO TO 20
0050     18 LX=1
0051     IF(IC>99,20,99
0052     20 RJ(J1,J1)=RJ(J1,J1)+LX*RPC(1,1)
RJ(J2,J1)=RJ(J2,J1)+LX*RPC(2,1)
```

PAGE 0002 SEG4 (FTN4--RELEASE 24177B--JULY, 1971)

```
0054      RJ(J3,J1)=RJ(J3,J1)+LX*RPC(3,1)
0055      RJ(J1,J2)=RJ(J2,J1)
0056      RJ(J2,J2)=RJ(J2,J2)+LX*RPC(2,2)
0057      RJ(J3,J2)=RJ(J3,J2)+LX*RPC(3,2)
0058      RJ(J1,J3)=RJ(J3,J1)
0059      RJ(J2,J3)=RJ(J3,J2)
0060      RJ(J3,J3)=RJ(J3,J3)+LX*RPC(3,3)
0061 C  VERIFICANDO ULTIMO ANDAR
0062      IF(K=NA)22,23,23
0063      22 RJ(K1,J1)=RJ(K1,J1)+LX*RPC(4,1)
0064      RJ(K2,J1)=RJ(K2,J1)+LX*RPC(5,1)
0065      RJ(K3,J1)=RJ(K3,J1)+LX*RPC(6,1)
0066      RJ(K1,J2)=RJ(K1,J2)+LX*RPC(4,2)
0067      RJ(K2,J2)=RJ(K2,J2)+LX*RPC(5,2)
0068      RJ(K3,J2)=RJ(K3,J2)+LX*RPC(6,2)
0069      RJ(K1,J3)=RJ(K1,J3)+LX*RPC(4,3)
0070      RJ(K2,J3)=RJ(K2,J3)+LX*RPC(5,3)
0071      RJ(K3,J3)=RJ(K3,J3)+LX*RPC(6,3)
0072      RJ(J1,K1)=RJ(K1,J1)
0073      RJ(J2,K1)=RJ(K1,J2)
0074      RJ(J3,K1)=RJ(K1,J3)
0075      RJ(K1,K1)=RJ(K1,K1)+LX*RPC(4,4)
0076      RJ(K2,K1)=RJ(K2,K1)+LX*RPC(5,4)
0077      RJ(K3,K1)=RJ(K3,K1)+LX*RPC(6,4)
0078      RJ(J1,K2)=RJ(K2,J1)
0079      RJ(J2,K2)=RJ(K2,J2)
0080      RJ(J3,K2)=RJ(K2,J3)
0081      RJ(K1,K2)=RJ(K2,K1)
0082      RJ(K2,K2)=RJ(K2,K2)+LX*RPC(5,5)
0083      RJ(K3,K2)=RJ(K3,K2)+LX*RPC(6,5)
0084      RJ(J1,K3)=RJ(K3,J1)
0085      RJ(J2,K3)=RJ(K3,J2)
0086      RJ(J3,K3)=RJ(K3,J3)
0087      RJ(K1,K3)=RJ(K3,K1)
0088      RJ(K2,K3)=RJ(K3,K2)
0089      RJ(K3,K3)=RJ(K3,K3)+LX*RPC(6,6)
0090      23 IF(LY-1)24,100,24
0091      24 LY=1
0092      F=EAP(NI)
0093      GO TO 26
0094      100 CONTINUE
0095      99 CALL EXEC(29)
0096      CALL SEGO
0097      END
```

\*\* NO ERRORS\*

PAGE 0001

(FTN4--RELEASE 24177B--JULY, 1971)

```
0001      SUBROUTINE R4GP3(E,AH,AXP,AZP,RP,F,IC)
0002      DIMENSION RP(6,6)
0003      CALL FEST4(E,AH,AZP,RP,F,IC,B1,B2)
0004      JZ=6
0005      IF(IC>10,10,11
0006 10  RP(1,1)=E*AXP/AH
0007      RP(4,1)=-RP(1,1)
0008      RP(1,4)=RP(4,1)
0009      RP(4,4)=RP(1,1)
0010      RP(2,2)=B2+E*A2P/AH
0011      RP(3,2)=-B2+E*A2P/AH**2
0012      RP(6,2)=-RP(3,2)
0013      RP(2,3)=RP(3,2)
0014      RP(3,3)=B1+E*A2P/AH**3
0015      RP(6,3)=-RP(3,3)
0016      RP(2,6)=RP(6,2)
0017      RP(3,6)=RP(6,3)
0018      RP(6,6)=RP(3,3)
0019      GO TO 12
0020 11  WRITE(JZ,4)
0021      4 FORMAT(//,*    RICP3 - PILAR COM CARGA CRITICA*)
0022      RETURN
0023      END
```

\*\* NO ERRORS\*

PAGE 0001

(FTN4--RELEASE 24177B--JULY, 1971)

```
0001      SUBROUTINE R4GP4(E,AH,AXP,AZP,RP,F,IC)
0002      DIMENSION RP(6,6)
0003      JF=6
0004      PI=3.1416/2.
0005      AF=AH*SQRT(ABS(F)/(E*A2P))/2.
0006      IF(AF-PI)>10,11,11
0007 10  DO 12 I=1,6
0008      DO 12 J=1,6
0009      RP(I,J)=0.
0010 12  CONTINUE
0011      RP(1,1)=E*AXP/AH
0012      RP(4,1)=-RP(1,1)
0013      RP(1,4)=RP(4,1)
0014      RP(4,4)=RP(1,1)
0015      GO TO 13
0016 11  IC=1
0017      WRITE(JF,4)
0018      4 FORMAT(//,*    RICP4 - PILAR COM CARGA CRITICA*)
0019      RETURN
0020      END
```

\*\* NO ERRORS\*

PAGE 0001

(FTN4--RELEASE 241778--JULY, 1971)

```

0001      SUBROUTINE R4GP1(E,AH,AXP,AZP,RP,F,[C])
0002  C  MATRIZ DE RIGIDEZ - PILAR SEM ROTULA PLASTICA
0003      DIMENSION RP(6,6)
0004      PI=3.1416
0005      JF=6
0006      DO 10 I=1,6
0007      DO 10 J=1,6
0008      RP(I,J)=0.
0009  10 CONTINUE
0010  C  VERIFICO SE O ESFORCO AXIAL E PROXIMO DE ZERO,
0011  C  EM CASO AFIRMATIVO S=4, C=0.5, E  M=1
0012      AF=AH*SQRT(ABS(F)/(E*A2P))/2.
0013  C  PARA VALORES DE AF MENOR QUE 0.05, AS EXPRESSOES DE S E C
0014  C  CALCULAM VALORES IRREVIS...
0015      IF(AF<0.05)11,11,12
0016      11 B2=4.
0017      B3=6.
0018      B4=2.
0019      B5=12.
0020      GO TO 21
0021      12 IF(F)>13,14,14
0022      13 B2=(1.-2*AF*(1./TANH(2*AF)))*AF/(TANH(AF)-AF)
0023      B31=AF**2*(1.-1./SQRT(1.-(TANH(2*AF))**2))*(1.-(TANH(AF))**2)
0024      B32=TANH(AF)*(TANH(AF)-AF)
0025      B3=B31/B32
0026      B41=AF*(2*AF-TANH(2*AF)/SQRT(1.-TANH(2*AF)**2))*(1.-TANH(AF)**2)
0027      B4=B41/(2*B32)
0028      B51=2*B3/(2*B3+4.*AF**2)
0029      B5=2.*B3/B51
0030      GO TO 21
0031      14 IF(AF-PI)>16,15,15
0032  C  SE ALFA E MAIOR QUE PI, A CARGA CRITICA DESSE PILAR JA FOI ATINGIDA
0033      15 IC=1
0034      GO TO 20
0035      16 B2=AF*(SIN(2*AF)-2*AF*COS(2*AF))/(2*SIN(AF)*(SIN(AF)-AF*COS(AF)))
0036      B3=AF**2*(1.-COS(2*AF))/(SIN(AF)*(SIN(AF)-AF*COS(AF)))
0037      B4=AF*(2*AF-SIN(2*AF))/(2*SIN(AF)*(SIN(AF)-AF*COS(AF)))
0038      B51=2*B3/(2*B3-4*AF**2)
0039      B5=2*B3/B51
0040      21 RP(1,1)=E*AXP/AH
0041      RP(4,1)=-RP(1,1)
0042      RP(2,2)=B2*E*A2P/AH
0043      RP(3,2)=-B3*E*A2P/AH**2
0044      RP(5,2)=B4*E*A2P/AH
0045      RP(6,2)=-RP(3,2)
0046      RP(2,3)=RP(3,2)
0047      RP(3,3)=B5*E*A2P/AH**3
0048      RP(5,3)=RP(3,2)
0049      RP(1,4)=RP(4,1)
0050      RP(6,3)=-RP(3,3)
0051      RP(4,4)=RP(1,1)

```

PAGE 0002 R4GP1 (FTN4--RELEASE 241778--JULY, 1971)

```
0052      RPC(2,5)=RPC(5,2)
0053      RPC(3,5)=RPC(5,3)
0054      RPC(5,5)=RPC(2,2)
0055      RPC(6,5)=RPC(6,2)
0056      RPC(2,6)=RPC(6,2)
0057      RPC(3,6)=RPC(6,3)
0058      RPC(5,6)=RPC(6,5)
0059      RPC(6,6)=RPC(3,3)
0060      20 IF(IC>18,18,17
0061      17 WRITE(JF,4)
0062      4 FORMAT(//,*' RIGP1 - PILAR COM CARGA CRITICA')
0063      18 RETURN
0064      END
```

\*\* NO ERRORS\*

PAGE . 0001 (FTN4--RELEASE 241778--JULY, 1971)

```
0001      SUBROUTINE R4GP2(E,AH,AXP,AZP,RP,F,IC)
0002      DIMENSION RP(6,6)
0003      JF=6
0004      CALL FEST4(E,AH,AZP,RP,F,IC,B1,B2)
0005      IF(IC>10,10,12
0006      10 RP(1,1)=E*AXP/AH
0007      RP(4,1)=-RP(1,1)
0008      RP(1,4)=RP(4,1)
0009      RP(4,4)=RP(1,1)
0010      RP(3,3)=B1*E*A2P/AH**3
0011      RP(5,3)=-B2*E*A2P/AH**2
0012      RP(6,3)=-RP(3,3)
0013      RP(3,5)=RPC(5,3)
0014      RP(5,5)=B2*E*A2P/AH
0015      RP(6,5)=-RPC(5,3)
0016      RP(3,6)=RPC(6,3)
0017      RP(5,6)=RPC(6,5)
0018      RP(6,6)=RPC(3,3)
0019      GO TO 14
0020      12 WRITE(JF,4)
0021      4 FORMAT(//,*' RIGP2 - PILAR COM CARGA CRITICA')
0022      14 RETURN
0023      END
```

\*\* NO ERRORS\*

PAGE 0001

CFTN4--RELEASE 24177B--JULY, 1971

```
0001      SUBROUTINE FEST4(E,AH,AZP,RP,F,IC,B1,B2)
0002      DIMENSION RP(6,6)
0003      DO 10 I=1,6
0004      DO 10 J=1,6
0005      RP(I,J)=0.
0006      10 CONTINUE
0007      C  VERIFICO SE O ESFORCO AXIAL E NULO;
0008      C  EM CASO AFIRMATIVO S=4, C=0.5 E M=1
0009      C  AF=AH*SQRT(ABS(F)/(E*A2P))/2.
0010      C  IF(AF<0.05)11,11,12
0011      11 B1=3.
0012      B2=3.
0013      GO TO 17
0014      12 IF(F)13,14,14
0015      13 B11=2*TANH(AF)*SQRT(1.-(TANH(2*AF))**2)
0016      B12=(1.-(TANH(AF)**2))*(TANH(2*AF)-2*AF)
0017      B1=-4*AF**2*(B11/B12-1.)
0018      B21=8*(AF**2*TANH(AF))*SQRT(1.-(TANH(2*AF))**2)
0019      B22=(1.-(TANH(AF))**2)*(TANH(2*AF)-2*AF)
0020      B2=-B21/B22
0021      GO TO 17
0022      C  SE ALFA FOR MAIOR QUE 2.2467, A CARGA CRITICA DESSE PILAR
0023      C  FOI ATINGIDA
0024      14 IF(AF>2.2467)16,15,15
0025      15 IC=1
0026      GO TO 17
0027      16 B1=4*AF**2*(2*COS(AF)*SIN(AF)/(SIN(2*AF)-2*AF*COS(2*AF))-1.)
0028      B2=8*AF**2*COS(AF)*SIN(AF)/(SIN(2*AF)-2*AF*COS(2*AF))
0029      17 RETURN
0030      END
```

\*\* NO ERRORS\*

0031 \$

PAGE 0001

(FTN4--RELEASE 241778--JULY, 1971)

```
0001 FTH4,L
0002      PROGRAM SEG5(S)
0003      INTEGER S6(3)
0004      COMMON NA,BR,NB,NTC,NMDS,NC,NOV,N,NPP,NF,NR,NTR
0005      COMMON RR(36,38),RJ(42,42)
0006      COMMON T(2),H(6),AXP(3,6),AZP(3,6),AZV(2,6),AMP(2,18),
0007      *EMOD,DV(42),ESFF(2,18,6),EPAC(18),EAP(18),DF(42),
0008      *NIBAC(38),IVDUP(38),ICORD(38),NIBAB(38),MF(38),
0009      *K1(38),K2(38),K3(38),PF(42),PV(42),ESFV(2,18,6),
0010      *DW(2,18,5),ICONT(36),IC
0011      DATA S6/2HSE,2HG6,2H /
0012      JF=6
0013      WRITE(JF,7)H
0014      7 FORMAT(" FECRO - RR - PASSO=",I2)
0015      WRITE(JF,10)NTR
0016      101 FORMAT(" TESTE-FECRO, NTR=",I3)
0017      DO 40 L9=1,N
0018      40 WRITE(JF,8)(RR(L9,L8),L8=1,NTR)
0019      8 FORMAT(1X,10E12.4)
0020      H2=N-1
0021      N3=NR-ICONT(H2)
0022      DO 10 J=1,N3
0023      C VERIFICA SE RR(H2,J) E RR(N,J) MUDARAM RELATIVAMENTE
0024      C SEUS SINAIS. SE MUDARAM, FECHOU ESSA ROTULA.
0025      NEG=0
0026      A2=ABS(RR(H2,J))
0027      B2=RR(H2,J)-A2
0028      IF(B2>30,31,30
0029      30 NEG=1
0030      31 A3=ABS(RR(N,J))
0031      B3=RR(N,J)-A3
0032      IF(B3>32,33,32
0033      32 NEG=NEG+1
0034      33 IF(NEG-1)34,15,34
0035      34 AY=A2-A3
0036      IF(AY>10,10,15
0037      15 K=ICORD(J)
0038      M1=IVDUP(J)
0039      IF(IVDUP(J)-1)11,12,11
0040      11 M1=NIBAB(J)
0041      GO TO 13
0042      12 M1=NIBAC(J)
0043      C K1=IVDUP,K2=M1,K3=ICORD
0044      C VERIFICA PARA NAO FECHAR UMA ROTULA JA FECHADA
0045      13 IF(K1(J)-M1)20,21,20
0046      21 IF(K2(J)-M1)20,22,20
0047      22 IF(K3(J)-K)20,10,20
0048      C SE A SIADA FOR PELO COMANDO 10, INDICA QUE ESSA ROTULA
0049      C JA HAVIA SE FECHADO...
0050      20 K1(J)=M1
0051      K2(J)=M1
0052      K3(J)=K
0053      WRITE(JF,5)
```

PAGE 0002 SEGS CFTN4--RELEASE 24177B--JULY, 1971

```
0054      5 FORMAT(//," FECRO-ROTACOES DA ROTULA QUE SE FECHA")
0055      WRITE(JF,6)RR(N2,J),RR(N,J)
0056      6 FORMAT(6X,2E14.7)
0057      WRITE(JF,2)K1(J),K2(J),K3(J)
0058      2 FORMAT(//," K1=",I2," K2=",I2," K3=",I2)
0059      MF(J)=N
0060      NF=J
0061      WRITE(JF,1)NF,N,MF(J)
0062      1 FORMAT(//," FECRO-FECHOU A ROTULA",I2," NO PASSO",I2,
0063      " MF=",I2)
0064      CALL EXEC(8,S6)
0065      10 CONTINUE
0066      CALL EXEC(29)
0067      CALL SEGO
0068      END
```

\*\* NO ERRORS\*

0069 \$

PAGE 0001

(FTN4--RELEASE 241778--JULY, 1971)

```
0001 FTN4,L
0002      PROGRAM SEG6(5)
0003      DIMENSION RV(4,4),RP(6,6)
0004      COMMON HA,BR,NB,HTC,NNOS,HC,HDV,H,HPP,NF,HR,HTR
0005      COMMON RR(36,38),RJ(42,42)
0006      COMMON T(2),H(6),AXP(3,6),AZP(3,6),AZV(2,6),AMP(2,18),
0007      *EMOD,DV(42),ESFF(2,18,6),EPA(18),EPF(18),DF(42),
0008      *HIBAC(38),IVOUPC(38),ICORD(38),HIBAB(38),MF(38),
0009      *K1(38),K2(38),K3(38),PF(42),PV(42),ESFV(2,18,6),
0010      *DV(2,18,5),ICONT(36),IC
0011 C DECIDE SE O CALL VEM DO PRGM PRINCIPAL OU DA FECHRO
0012      UZ=AMP(1,1)
0013      JF=6
0014      IF(NF)10,11,10
0015      10 N1=NF
0016      LF1=1
0017      LF2=-1
0018      GO TO 12
0019      11 N1=NR
0020      LF1=-1
0021      LF2=1
0022      12 IF(IVOUPC(1)-E)13,14,13
0023 C VERIFICA SE A VIGA TEM ROTULA NA OUTRA COORDENADA
0024      13 NI=HIBAB(1)
0025      IT=BR
0026      DO 100 I=1,NR
0027      IF(HIBAB(I)-HIBAB(N1))100,16,100
0028      16 IF(I-N1)I7,100,17
0029      17 IF(ICORD(I)-ICORD(N1))18,100,18
0030      18 IF(MF(I))100,19,100
0031      19 IT=1
0032      100 CONTINUE
0033      IF(IT)73,74,73
0034      73 IVC2R=1
0035      GO TO 20
0036      74 IVC2R=BR
0037 C LOCALIZA A PRUMADA DA VIGA NO PAINEL
0038      20 DO 101 IH=1,NB
0039      NX=IH*HA
0040      IF(NIBAB(N1)-NX)21,21,101
0041      101 CONTINUE
0042      21 L=IH
0043      AUX1=T(L)
0044 C LOCALIZA O ANDAR DA VIGA NO PAINEL
0045      W7=NIBAB(1)
0046      AX=W7/HA
0047      AXI=FRAC6(AX)
0048      HIV=AXI*HA+.2
0049      IF(HIV)22,23,22
0050      23 HIV=HA
0051      22 AUX2=AZY(L,HIV)
0052      NFV=NIBAB(1)+HA
0053      J2=2*NIBAB(1)
```

PAGE. 0002 SEC6 CFTN4--RELEASE 24177B--JULY, 1971

```
0054      J1=J2-1
0055      K2=2*NF9
0056      K1=K2-1
0057  C VERIFICA SE A VIGA JA TEM UMA ROTULA
0058      IF(IVC2R-1)24,25,24
0059      25 IF(ICORD(H1)-2)26,27,26
0060      26 CALL R6GV2(EMOD,AUX1,AUX2,RV)
0061      GO TO 28
0062      27 CALL R6GV3(EMOD,AUX1,AUX2,RV)
0063      28 LX=LF1
0064      LY=1
0065      GO TO 29
0066      24 CALL R6GV1(EMOD,AUX1,AUX2,RV)
0067      LX=LF1
0068      LY=0
0069      29 RJ(J1,J1)=RJ(J1,J1)+LX*RVC(1,1)
0070      RJ(J1,J2)=RJ(J1,J2)+LX*RVC(1,2)
0071      RJ(J1,K1)=RJ(J1,K1)+LX*RVC(1,3)
0072      RJ(J1,K2)=RJ(J1,K2)+LX*RVC(1,4)
0073      RJ(J2,J1)=RJ(J1,J2)
0074      RJ(J2,J2)=RJ(J2,J2)+LX*RVC(2,2)
0075      RJ(J2,K1)=RJ(J2,K1)+LX*RVC(2,3)
0076      RJ(J2,K2)=RJ(J2,K2)+LX*RVC(2,4)
0077      RJ(K1,J1)=RJ(J1,K1)
0078      RJ(K1,J2)=RJ(J2,K1)
0079      RJ(K1,K1)=RJ(K1,K1)+LX*RVC(3,3)
0080      RJ(K1,K2)=RJ(K1,K2)+LX*RVC(3,4)
0081      RJ(K2,J1)=RJ(J1,K2)
0082      RJ(K2,J2)=RJ(J2,K2)
0083      RJ(K2,K1)=RJ(K1,K2)
0084      RJ(K2,K2)=RJ(K2,K2)+LX*RVC(4,4)
0085      IF(LY-1)30,31,30
0086      30 IF(ICORD(H1)-2)32,33,32
0087      32 CALL R6GV3(EMOD,AUX1,AUX2,RV)
0088      GO TO 34
0089      33 CALL R6GV2(EMOD,AUX1,AUX2,RV)
0090      34 LX=LF2
0091      LY=1
0092      GO TO 29
0093  C VERIFICA SE O PILAR JA TEM ROTULA NA OUTRA COORDENADA
0094      14 NI=NIBAC(H1)
0095      IT=BR
0096      DO 102 I=1,NR
0097      IF(NIBAC(I)-NIBAC(H1))102,36,102
0098      36 IF(I-H1)37,102,37
0099      37 IF(ICORD(I)-ICORD(H1))38,102,38
0100      38 IF(MF(I))102,39,102
0101      39 IT=1
0102      102 CONTINUE_
0103      IF(IT)71,72,71
0104      71 IPC2R=1
0105      GO TO 40
0106      72 IPC2R=BR
```

PAGE 0003 SEG6 (FTN4--RELEASE 24177B--JULY, 1971)

```
0107 C LOCALIZA A PRUMADA DO PILAR NO PAINEL
0108    40 DO 103 IN=1,NPP
0109      NX=IN*HA
0110      IF(NIBAC(H1)-NX>41,41,103
0111      103 CONTINUE
0112      41 L=IN
0113 C LOCALIZA O ANDAR DO PILAR
0114      W7=NIBAC(H1)
0115      AX=W7/HA
0116      AXI=FRAC6(AX)
0117      NIP=AXI*HA+.2
0118      IF(NIP)42,43,42
0119      43 NIP=HA
0120      42 AUX1=H(NIP)
0121      AUX2=AXP(L,NIP)
0122      AUX3=AZP(L,NIP)
0123      NFP=NIBAC(H1)+1
0124      J2=2*NIBAC(H1)
0125      J1=J2-1
0126      J3=2*NNOS+HIP
0127      K2=2*NFP
0128      K1=K2-1
0129      K3=J3+1
0130      F=EPA(H1)
0131 C VERIFICA SE O PILAR JA TEM ROTULA
0132      IF(IPC2R-1)44,45,44
0133      45 IF(ICORD(H1)-2)46,47,46
0134      46 CALL R6GP2(EMOD,AUX1,AUX2,AUX3,RP,F,IC)
0135      GO TO 48
0136      47 CALL R6GP3(EMOD,AUX1,AUX2,AUX3,RP,F,IC)
0137      48 LX=LF1
0138      LY=0
0139      GO TO 49
0140      44 CALL R6GP1(EMOD,AUX1,AUX2,AUX3,RP,F,IC)
0141      LX=LF1
0142      LY=0
0143      49 RJ(J1,J1)=RJ(J1,J1)+LX*RPC(1,1)
0144      RJ(J2,J1)=RJ(J2,J1)+LX*RPC(2,1)
0145      RJ(J3,J1)=RJ(J3,J1)+LX*RPC(3,1)
0146      RJ(J1,J2)=RJ(J2,J1)
0147      RJ(J2,J2)=RJ(J2,J2)+LX*RPC(2,2)
0148      RJ(J3,J2)=RJ(J3,J2)+LX*RPC(3,2)
0149      RJ(J1,J3)=RJ(J3,J1)
0150      RJ(J2,J3)=RJ(J3,J2)
0151      RJ(J3,J3)=RJ(J3,J3)+LX*RPC(3,3)
0152 C VERIFICA SE E O ULTIMO ANDAR
0153      IF(NIP-HA)50,51,51
0154      50 RJ(K1,J1)=RJ(K1,J1)+LX*RPC(4,1)
0155      RJ(K2,J1)=RJ(K2,J1)+LX*RPC(5,1)
0156      RJ(K3,J1)=RJ(K3,J1)+LX*RPC(6,1)
0157      RJ(K1,J2)=RJ(K1,J2)+LX*RPC(4,2)
0158      RJ(K2,J2)=RJ(K2,J2)+LX*RPC(5,2)
0159      RJ(K3,J2)=RJ(K3,J2)+LX*RPC(6,2)
```

PAGE 0004 SEG6 (FTN4--RELEASE 24177B--JULY, 1971)

```
0160      RJ(K1,J2)=RJ(K1,J3)+LX*RPC(4,3)
0161      RJ(K2,J3)=RJ(K2,J3)+LX*RPC(5,3)
0162      RJ(K3,J3)=RJ(K3,J3)+LX*RPC(6,3)
0163      RJ(J1,K1)=RJ(K1,J1)
0164      RJ(J2,K1)=RJ(K1,J2)
0165      RJ(J3,K1)=RJ(K1,J3)
0166      RJ(K1,K1)=RJ(K1,K1)+LX*RPC(4,4)
0167      RJ(K2,K1)=RJ(K2,K1)+LX*RPC(5,4)
0168      RJ(K3,K1)=RJ(K3,K1)+LX*RPC(6,4)
0169      RJ(J1,K2)=RJ(K2,J1)
0170      RJ(J2,K2)=RJ(K2,J2)
0171      RJ(J3,K2)=RJ(K2,J3)
0172      RJ(K1,K2)=RJ(K2,K1)
0173      RJ(K2,K2)=RJ(K2,K2)+LX*RPC(5,5)
0174      RJ(K3,K2)=RJ(K3,K2)+LX*RPC(6,5)
0175      RJ(J1,K3)=RJ(K3,J1)
0176      RJ(J2,K3)=RJ(K3,J2)
0177      RJ(J3,K3)=RJ(K3,J3)
0178      RJ(K1,K3)=RJ(K3,K1)
0179      RJ(K2,K3)=RJ(K3,K2)
0180      RJ(K3,K3)=RJ(K3,K3)+LX*RPC(6,6)
0181 51 IF(LY-1>52,31,52
0182 52 IF(IPC2R-1>61,62,61
0183 62 CALL R6GP4(EMOD,AUX1,AUX2,AUX3,RP,F,IC)
0184 GO TO 56
0185 61 IF(ICORD(H1)-2>54,55,54
0186 55 CALL R6GP2(EMOD,AUX1,AUX2,AUX3,RP,F,IC)
0187 GO TO 56
0188 54 CALL R6GP3(EMOD,AUX1,AUX2,AUX3,RP,F,IC)
0189 56 LX=LF2
0190 LY=1
0191 GO TO 49
0192 C LISTAGENS PARA AVERIGUACOES
0193 31 M1=IVDUP(H1)
0194     IF(NTR-H1>57,58,57
0195 58 WRITE(JF,1)H
0196     1 FORMAT(//,*' AMRP - FORMOU-SE MAIS UMA ROTULA, PASSO=',I3)
0197 GO TO 59
0198 57 WRITE(JF,2)HF
0199     2 FORMAT(//,*' AMRP - FECHOU ROTULA, FORMADA NO PASSO=',I3)
0200 59 WRITE(JF,3)MFC(H1),M1,NI,ICORD(H1)
0201     3 FORMAT(//,*' AMRP-MF=',I2,*' IVDUP=',I2,*' NI=',I2,
0202     *' ICORD=',I2)
0203 CALL EXEC(29)
0204 CALL SEG0
0205 END
```

\*\* NO ERRORS\*

PAGE 0001

(FTN4--RELEASE 24177B--JULY, 1971)

```
0001      FUNCTION FRAC6(A)
0002      I=A
0003      FRAC6=A-I
0004      RETURN
0005      END
```

\*\* NO ERRORS\*

PAGE 0001

(FTN4--RELEASE 24177B--JULY, 1971)

```
0001      SUBROUTINE R6GV1CEMOD(AUX1,AUX2,RV)
0002      DIMENSION RV(4,4)
0003      JF=6
0004      CTE=EMOD*AUX2
0005      RV(1,1)=CTE*12/AUX1**3
0006      RV(2,1)=-CTE*6/AUX1**2
0007      RV(3,1)=-RV(1,1)
0008      RV(4,1)=RV(2,1)
0009      RV(1,2)=RV(2,1)
0010      RV(2,2)=CTE*4/AUX1
0011      RV(3,2)=-RV(2,1)
0012      RV(4,2)=CTE*2/AUX1
0013      RV(1,3)=RV(3,1)
0014      RV(2,3)=RV(3,2)
0015      RV(3,3)=RV(1,1)
0016      RV(4,3)=RV(3,2)
0017      RV(1,4)=RV(2,1)
0018      RV(2,4)=RV(4,2)
0019      RV(3,4)=RV(3,2)
0020      RV(4,4)=RV(2,2)
0021      WRITE(JF,1)
0022      1 FORMAT(//,"  MATRIZ R6GV1")
0023      WRITE(JF,2)((RV(I,J),J=1,4),I=1,4)
0024      2 FORMAT(6X,4E11.4)
0025      RETURN
0026      END
```

\*\* NO ERRORS\*

PAGE 0002 R6GP1 (FTN4--RELEASE 24177B--JULY, 1971)

```
0052      RPC(2,5)=RPC(5,2)
0053      RPC(3,5)=RPC(5,3)
0054      RPC(5,5)=RPC(2,2)
0055      RPC(6,5)=RPC(6,2)
0056      RPC(2,6)=RPC(6,2)
0057      RPC(3,6)=RPC(6,3)
0058      RPC(5,6)=RPC(6,5)
0059      RPC(6,6)=RPC(3,3)
0060  20 IF(IC)>18,18,17
0061  17 WRITE(JF,4)
0062      4 FORMAT(//," RIGP1 - PILAR COM CARGA CRITICA")
0063      GO TO 19
0064  18 WRITE(JF,2)
0065      2 FORMAT(//," MATRIZ RIGP1")
0066      WRITE(JF,3)((RPC(I,J),J=1,6),I=1,6)
0067      3 FORMAT(6X,6E14.7)
0068  19 RETURN
0069      END
```

\*\* NO ERRORS\*

PAGE 0001 (FTN4--RELEASE 24177B--JULY, 1971)

```
0001      SUBROUTINE R6GPZ(E,AH,AXP,AZP,RP,F,IC)
0002      DIMENSION RPC(6,6)
0003      JF=6
0004      CALL FEST6(E,AH,AZP,RP,F,IC,B1,B2)
0005      IF(IC)>10,10,12
0006  10  RPC(1,1)=E*AXP/AH
0007      RPC(4,1)=-RPC(1,1)
0008      RPC(1,4)=RPC(4,1)
0009      RPC(4,4)=RPC(1,1)
0010      RPC(3,3)=B1*E*A2P/AH**3
0011      RPC(5,3)=-B2*E*A2P/AH**2
0012      RPC(6,3)=-RPC(3,3)
0013      RPC(3,5)=RPC(5,3)
0014      RPC(5,5)=B2*E*A2P/AH
0015      RPC(6,5)=-RPC(5,3)
0016      RPC(3,6)=RPC(6,3)
0017      RPC(5,6)=RPC(6,5)
0018      RPC(6,6)=RPC(3,3)
0019      WRITE(JF,2)
0020      2 FORMAT(//," MATRIZ RIGP2")
0021      WRITE(JF,3)((RPC(I,J),J=1,6),I=1,6)
0022      3 FORMAT(6X,6E14.7)
0023      GO TO 14
0024  12  WRITE(JF,4)
0025      4 FORMAT(//," RIGP2 - PILAR COM CARGA CRITICA")
0026  14  RETURN
0027      END
```

\*\* NO ERRORS\*

PAGE 0001

(FTN4--RELEASE 24177B--JULY, 1971)

```
0001      SUBROUTINE R6GV3(EMOD,AUX1,AUX2,RV)
0002      DIMENSION RV(4,4)
0003      JF=6
0004      CTE=EMOD*AUX2
0005      DO 10 I=1,4
0006      RV(4,I)=0.
0007      RV(I,4)=0.
0008 10 CONTINUE
0009      RV(1,1)=CTE*3/AUX1**3
0010      RV(2,1)=-CTE*3/AUX1**2
0011      RV(3,1)=-RV(1,1)
0012      RV(1,2)=RV(2,1)
0013      RV(2,2)=CTE*3/AUX1
0014      RV(3,2)=-RV(2,1)
0015      RV(1,3)=RV(3,1)
0016      RV(2,3)=RV(3,2)
0017      RV(3,3)=RV(1,1)
0018      WRITE(JF,1)
0019      1 FORMAT(//,"  MATRIZ RIGV3")
0020      WRITE(JF,2)((RV(I,J),J=1,4),I=1,4)
0021      2 FORMAT(6X,4E11.4)
0022      RETURN
0023      END
```

\*\* NO ERRORS\*

PAGE 0001

(FTN4--RELEASE 24177B--JULY, 1971)

```
0001      SUBROUTINE R6GP4(E,AH,AXP,AZP,RP,F,IC)
0002      DIMENSION RP(6,6)
0003      JF=6
0004      PI=3.1416/2.
0005      AF=AH*SQRT(ABS(F)/CE*AZP))/2.
0006      IF(AF-PI)>10,11,11
0007 10  DO 12 I=1,6
0008 11  DO 12 J=1,6
0009      RP(I,J)=0.
0010 12 CONTINUE
0011      RP(1,1)=E*AXP/AH
0012      RP(4,1)=-RP(1,1)
0013      RP(1,4)=RP(4,1)
0014      RP(4,4)=RP(1,1)
0015      WRITE(JF,2)
0016      2 FORMAT(//,"  MATRIZ RIGP4")
0017      WRITE(JF,3)((RP(I,J),J=1,6),I=1,6)
0018      3 FORMAT(6X,6E14.7)
0019      GO TO 13
0020 11  IC=1
0021      WRITE(JF,4)
0022      4 FORMAT(//,"  RIGP4 - PILAR COM CARGA CRITICA")
0023 13 RETURN
0024      END.
```

\*\* NO ERRORS\*

PAGE 0001

(FTN4--RELEASE 24177B--JULY, 1971)

```
0001      SUBROUTINE R6GV2(EMOD,AUX1,AUX2,RV)
0002      DIMENSION RV(4,4)
0003      JF=6
0004      CTE=EMOD*AUX2
0005      DO 10 I=1,4
0006      RV(2,I)=0.
0007      RV(I,2)=0.
0008 10 CONTINUE
0009      RV(1,1)=CTE*3/AUX1**3
0010      RV(3,1)=-RV(1,1)
0011      RV(4,1)=-CTE*3/AUX1**2
0012      RV(1,3)=RV(3,1)
0013      RV(3,3)=RV(1,1)
0014      RV(4,3)=-RV(4,1)
0015      RV(1,4)=RV(4,1)
0016      RV(3,4)=RV(4,3)
0017      RV(4,4)=CTE*3/AUX1
0018      WRITE(JF,1)
0019 1 FORMAT(//,"  MATRIX R6GV2")
0020      WRITE(JF,2)(RV(I,J),J=1,4),I=1,4
0021 2 FORMAT(6X,4E11.4)
0022      RETURN
0023      END
```

\*\* NO ERRORS \*\*

PAGE 0001 (FTN4--RELEASE 24177B--JULY, 1971)

```
0001      SUBROUTINE R6GP3(E,AH,AXP,AZP,RP,F,IC)
0002      DIMENSION RP(6,6)
0003      CALL FEST6(E,AH,AZP,RP,F,IC,B1,B2)
0004      JZ=6
0005      IF(IC)10,10,11
0006 10  RP(1,1)=E*AXP/AH
0007      RP(4,1)=-RP(1,1)
0008      RP(1,4)=RP(4,1)
0009      RP(4,4)=RP(1,1)
0010      RP(2,2)=B2+E*A2P/AH
0011      RP(3,2)=-B2+E*A2P/AH**2
0012      RP(6,2)=-RP(3,2)
0013      RP(2,3)=RP(3,2)
0014      RP(3,3)=B1+E*A2P/AH**3
0015      RP(6,3)=-RP(3,3)
0016      RP(2,6)=RP(6,2)
0017      RP(3,6)=RP(6,3)
0018      RP(6,6)=RP(3,3)
0019      WRITE(JZ,2)
0020 2   FORMAT(//,*' MATRIZ RIGP3')
0021      WRITE(JZ,3)(RP(I,J),J=1,6),I=1,6
0022 3   FORMAT(6X,6E14.7)
0023      GO TO 12
0024 11  WRITE(JZ,4)
0025 4   FORMAT(//,*' RIGP3 - PILAR COM CARGA CRITICA')
0026 12  RETURN
0027      END.
```

\*\* NO ERRORS\*

PAGE 0001

(FTN4--RELEASE 24177B--JULY, 1971)

```
0001      SUBROUTINE R6GP1(E,AH,AKP,AZP,RP,F,IC)
0002 C  MATRIZ DE RIGIDEZ - PILAR SEM ROTULA PLASTICA
0003      DIMENSION RP(6,6)
0004      PI=3.1416
0005      JF=6
0006      DO 10 I=1,6
0007      DO 10 J=1,6
0008      RP(I,J)=0.
0009      10 CONTINUE
0010 C  VERIFICO SE O ESFORCO AXIAL E PROXIMO DE ZERO,
0011 C  EM CASO AFIRMATIVO S=4, C=0.5, E M=1
0012      AF=AH*SQRT(ABS(F)/(E*AZP))/2.
0013 C  PARA VALORES DE AF MENOR QUE 0.05, AS EXPRESSOES DE S E C
0014 C  CALCULAM VALORES IRREALIS...
0015      IF(AF<0.05)11,11,12
0016      11 B2=4.
0017      B3=6.
0018      B4=2.
0019      B5=12.
0020      GO TO 21
0021      12 IF(F)>13,14,14
0022      13 B2=(1.-2*AF*(1./TANH(2*AF)))*AF/(TANH(AF)-AF)
0023      B31=AF**2*(1.-1./SQRT(1.-(TANH(2*AF))**2))*(1.-(TANH(AF))**2)
0024      B32=TANH(AF)*(TANH(AF)-AF)
0025      B3=B31/B32
0026      B41=AF*(2*AF-TANH(2*AF)/SQRT(1.-TANH(2*AF)**2))*(1.-TANH(AF))**2
0027      B4=B41/(2*B32)
0028      B51=2*B3/(2*B3+4.*AF**2)
0029      B5=2.*B3/B51
0030      GO TO 21
0031      14 IF(AF-PI)>16,15,15
0032 C  SE ALFA E MAIOR QUE PI, A CARGA CRITICA DESSE PILAR JA FOI ATINGIDA
0033      15 IC=1
0034      GO TO 20
0035      16 B2=AF*(SIN(2*AF)-2*AF*COS(2*AF))/(2*SIN(AF)*(SIN(AF)-AF*COS(AF)))
0036      B3=AF**2*(1.-COS(2*AF))/(SIN(AF)*(SIN(AF)-AF*COS(AF)))
0037      B4=AF*(2*AF-SIN(2*AF))/(2*SIN(AF)*(SIN(AF)-AF*COS(AF)))
0038      B51=2*B3/(2*B3-4*AF**2)
0039      B5=2*B3/B51
0040      21 RPC(1,1)=E*AHP/AH
0041      RPC(4,1)=-RPC(1,1)
0042      RPC(2,2)=B2*E*AZP/AH
0043      RPC(3,2)=-B3*E*AZP/AH**2
0044      RPC(5,2)=B4*E*AZP/AH
0045      RPC(6,2)=-RPC(3,2)
0046      RPC(2,3)=RPC(3,2)
0047      RPC(3,3)=B5*E*AZP/AH**3
0048      RPC(5,3)=RPC(3,2)
0049      RPC(1,4)=RPC(4,1)
0050      RPC(6,3)=-RPC(3,3)
0051      RPC(4,4)=RPC(1,1)
```

```
0001      SUBROUTINE FEST6(E,AH,AZP,RP,F,IC,B1,B2)
0002      DIMENSION RP(6,6)
0003      DO 10 I=1,6
0004      DO 10 J=1,6
0005      RP(I,J)=0.
0006 10 CONTINUE
0007 C  VERIFICO SE O ESFORCO AXIAL E NULO;
0008 C  EM CASO AFIRMATIVO S=4, C=0.5 E M=1
0009      AF=AH*SQRT(ABS(F)/(E*A2P))/2.
0010      IF(AF<0.05)11,11,12
0011 11 B1=3.
0012      B2=3.
0013      GO TO 17
0014 12 IF(F)13,14,14
0015 13 B11=2*TANH(AF)*SQRT(1.-(TANH(2*AF)**2))
0016      B12=(1.-(TANH(AF)**2))*(TANH(2*AF)-2*AF)
0017      B1=-4*AF**2*(B11/B12-1.)
0018      B21=8*(AF**2)*TANH(AF)*SQRT(1.-(TANH(2*AF)**2))
0019      B22=(1.-(TANH(AF)**2))*(TANH(2*AF)-2*AF)
0020      B2=-B21/B22
0021      GO TO 17
0022 C  SE ALFA FOR MAIOR QUE 2.2467, A CARGA CRITICA DESSE PILAR
0023 C  FOI ATINGIDA
0024 14 IF(AF>2.2467)16,15,15
0025 15 IC=1
0026      GO TO 17
0027 16 B1=4*AF**2*(2*COS(AF)*SIN(AF)/(SIN(2*AF)-2*AF*COS(2*AF))-1.)
0028      B2=8*AF**2*COS(AF)*SIN(AF)/(SIN(2*AF)-2*AF*COS(2*AF))
0029 17 RETURN
0030      END.
```

\*\* NO ERRORS \*

PAGE 0001

CFTN4--RELEASE 241778--JULY, 1971

```
0001  FTN4,L
0002      PROGRAM SEC7(5)
0003      COMMONH HA,BR,NB,HTC,HNOS,HC,HDV,N,HPP,NF,HR,HTR
0004      COMMONH RR(36,38),RJ(42,42)
0005      COMMON T(2),H(6),AXP(3,6),AZP(3,6),AZV(2,6),AMP(2,18),
0006      *EMOD,DV(42),ESFF(2,18,6),EPA(18),EAP(18),DFC(42),
0007      *NIBAC(38),IVOUP(38),ICORD(38),NIBAB(38),MF(38),
0008      *K1(38),K2(38),K3(38),PF(42),PV(42),ESFV(2,18,6),
0009      *DU(2,18,5),ICONT(36),IC,DUI,HUIT
0010      COMMON HT,ICTT,SIG,DYH,D22,D33,OSCIL
0011 C LEIA-SE O VALOR MAXIMO PRESUMIVEL PARA "NR"
0012      KCOD3=5
0013      KCOD4=6
0014      READ(KCOD3,3)SIG,OSCIL
0015      READ(KCOD3,8)HPP,HR
0016      8 FORMAT(3I3)
0017      READ(KCOD3,1)EMOD,BR,HA
0018      1 FORMAT(F6.0,F2.0,I2)
0019      NB=HPP-1
0020      READ(KCOD3,2)(T(I),I=1,NB)
0021      2 FORMAT(18F4.0)
0022      READ(KCOD3,2)(CH(I),I=1,NA)
0023      READ(KCOD3,3)((AXP(I,K),K=1,NA),I=1,NPP)
0024      3 FORMAT(12F6.0)
0025      READ(KCOD3,3)((AZP(I,K),K=1,NA),I=1,NPP)
0026      READ(KCOD3,3)((AZV(K,I),I=1,NA),K=1,NB)
0027      HC=HA*HPP
0028      HDV=HA*NB
0029 C LEITURA DOS VALORES DE "MP"
0030      READ(KCOD3,4)(AMP(1,I),I=1,NC)
0031      4 FORMAT(10E7.3)
0032      READ(KCOD3,4)(AMP(2,I),I=1,HDV)
0033      HNOS=HA*HPP
0034      HTC=2*HNOS+HA
0035 C ZERAR OS VETORES DE CARGA
0036      DO 103 J=1,HTC
0037      PV(J)=BR
0038      PF(J)=BR
0039      103 CONTINUE
0040 C ARREGAMENTO VERTICAL, A1,3=YERT., A2,4=MOR.
0041      READ(KCOD3,5)HNC,HAC
0042      5 FORMAT(2I2)
0043      IF(HNC)20,20,21
0044      21 DO 104 I=1,NC
0045      READ(KCOD3,6)HV,NH,A1,A2,A3,A4
0046      6 FORMAT(2I2,4F7.0)
0047      NI=(NV-1)*HA+NH
0048      J2=2*NI
0049      J1=J2-1
0050      PF(J1)=A1
0051      PF(J2)=A2
0052      PV(J1)=A3
0053      PV(J2)=A4
```

PAGE 0002 SEG7 (FTN4--RELEASE 24177B--JULY, 1971)

```

0054 C O CARREG E A ACAO DOS ESFORCOS SOBRE OS NOS
0055 C OS SINAIS DEVEM SER COERENTES C/ AS COORD GLOBAIS
0056 104 CONTINUE
0057 CARREGAMENTO HORIZONTAL
0058 20 IF(NAC)22,22,23
0059 23 DO 105 I=1,NAC
0060     READ(KCOD3,7)NAND,A5,A6
0061     .7 FORMAT(I2,2F5.2)
0062     J3=2*NHDS+NAND
0063     PF(J3)=A5
0064     PV(J3)=A6
0065 105 CONTINUE
0066 C LISTAGENS
0067 22 WRITE(KCOD4,10)EMOD
0068 10 FORMAT(/,6X,"EMOD=",E14.7)
0069     WRITE(KCOD4,19)SIG
0070     WRITE(KCOD4,29)OSCIL
0071     29 FORMAT(6X,"OSCILACAO=",E12.4)
0072     19 FORMAT(6X,"SIGMA=",E14.7)
0073     WRITE(KCOD4,11)((AXP(I,J),J=1,NA),I=1,NPP)
0074     11 FORMAT(6X,"AXP=",9E12.4)
0075     WRITE(KCOD4,12)((AZP(I,J),J=1,NA),I=1,NPP)
0076     12 FORMAT(6X,"AZP=",9E12.4)
0077     WRITE(KCOD4,13)((AZV(J,I),I=1,NA),J=1,HB)
0078     13 FORMAT(6X,"AZV=",9E12.4)
0079     WRITE(KCOD4,14)(T(I),I=1,HB)
0080     14 FORMAT(6X,"T=".9E12.4)
0081     WRITE(KCOD4,15)(H(I),I=1,NA)
0082     15 FORMAT(6X,"H=".9E12.4)
0083     WRITE(KCOD4,16)(AMP(I,J),J=1,NC),I=1,2)
0084     16 FORMAT(6X,"AMP=".9E12.4)
0085     WRITE(KCOD4,17)(PV(I),I=1,HTC)
0086     17 FORMAT(6X,"PY=".9E12.4)
0087     WRITE(KCOD4,18)(PF(I),I=1,HTC)
0088     18 FORMAT(6X,"PF=".9E12.4)
0089     CALL EXEC(29)
0090     CALL SEGO
0091     END

```

\*\* NO ERRORS \*

0092 \$

PAGE 0001

(FTN4--RELEASE 241778--JULY, 1971)

```

0001  FTN4,L
0002      PROGRAM SEG8(5)
0003      REAL PY(18),AMP(2,18),DU1(12),DU2(12,4),DU3(18),DU4(18,5)
0004      COMMON HA,BR,HB,HTC,HHS,HC,HDV,H,HPP,NF,HR,HTR
0005      COMMON RR(36,38),RJ(42,42)
0006      COMMON T(2),H(6),AXP(3,6),AZP(3,6),AZV(2,6),AM(2,18),
0007      *EMOD,DY(42),ESFF(2,18,6),EPA(18),EAP(18),DF(42),
0008      *HIBAC(38),IVDUP(38),ICORD(38),NIBAB(38),MF(38),
0009      *K1(38),K2(38),K3(38),PF(42),PY(42),ESFV(2,18,6),
0010      *DU(2,18,5),ITT(36),IC,DWI,HUIT,
0011      COMMON MXY,ICTX,SGM,DWT,DWA,DWP,OSCIL
0012      KCOD=6
0013      HIBAB(NR)=BR
0014      HIBAC(NR)=BR
0015      I=6
0016      DO 60 K=1,HPP
0017      DO 60 J=1,HA
0018      I=I+1
0019      PY(I)=AXP(K,J)*SGM
0020      60 CONTINUE
0021      DO 70 I=1,2
0022      IF(I-1)61,61,62
0023      61 DO 70 J=1,NC
0024      IF(ABS(EPA(J)/PY(J))-0.1526)63,63,64
0025      63 AMP(1,J)=AM(1,J)
0026      GO TO 70
0027      64 AMP(1,J)=1.18*AM(1,J)*(1.-ABS(EPA(J)/PY(J)))
0028      IF(AMP(1,J))65,65,70
0029      65 AMP(1,J)=0.
0030      IC=1
0031      WRITE(KCOD,8)J
0032      8 FORMAT(//," P=PY, NO PILAR = ",I3)
0033      GO TO 86
0034      70 CONTINUE
0035      62 DO 71 J=1,HDV
0036      71 AMP(2,J)=AM(2,J)
0037      WRITE(KCOD,7)((AMP(I,J),J=1,NC),I=1,2)
0038      7 FORMAT(* MP - REDUZIDO*,/,5(E14.6,3X))
0039      DO 100 I=1,2
0040      IF(I-1)10,10,11
0041      10 DO 101 J=1,NC
0042      DO 101 K=2,5,3
0043      DIV=ESFV(I,J,K)
0044      IF(DIV)50,51,52
0045      51 DU(I,J,K)=1.E35
0046      GO TO 101
0047      50 DU(I,J,K)=(-AMP(I,J)-ESFF(I,J,K))/DIV
0048      GO TO 101
0049      52 DU(I,J,K)=(AMP(I,J)-ESFF(I,J,K))/DIV
0050      101 CONTINUE
0051      GO TO 14
0052      11 DO 102 J=1,NDV
0053      DO 102 K=2,4,2

```

PAGE 0002 SEG8 CFTN4--RELEASE 24177B--JULY, 1971

```
0054      DIV=ESFY(I,J,K)
0055      IF(DIV)53,54,55
0056 54 DW(I,J,K)=1.E35
0057      GO TO 102
0058 53 DW(I,J,K)=(-AMP(I,J)-ESFF(I,J,K))/DIV
0059      GO TO 102
0060 55 DW(I,J,K)=(AMP(I,J)-ESFF(I,J,K))/DIV
0061      102 CONTINUE
0062 14 IF(I-1)17,17,18
0063 17 DO 103 J=1,NC
0064      K=2
0065      L=5
0066      IF(DU(I,J,K)-DW(I,J,L))19,20,20
0067 19 DW3(J)=DW(I,J,K)
0068      IA=K
0069      GO TO 21
0070 20 DW3(J)=DW(I,J,L)
0071      IA=L
0072 21 IF(J-1)22,22,23
0073 22 ICORP=IA
0074      NBARP=J
0075      DW4(NBARP,ICORP)=DW3(J)
0076      GO TO 103
0077 23 IF(DW4(NBARP,ICORP)-DW3(J))103,103,22
0078 103 CONTINUE
0079 100 CONTINUE
0080 18 DO 104 J=1,HDV
0081      K=2
0082      L=4
0083      IF(DU(I,J,K)-DW(I,J,L))24,25,25
0084 24 DW1(J)=DW(I,J,K)
0085      IA=K
0086      GO TO 26
0087 25 DW1(J)=DW(I,J,L)
0088      IA=L
0089 26 IF(J-1)27,27,28
0090 27 ICORY=IA
0091      NBARY=J
0092      DW2(NBARY,ICORY)=DW1(J)
0093      GO TO 104
0094 28 IF(DW2(NBARY,ICORY)-DW1(J))104,104,27
0095 104 CONTINUE
0096 29 IF(DW2(NBARY,ICORY)-DW4(NBARP,ICORP))29,29,30
0097 30 DWI=DW4(NBARP,ICORP)
0098      IVOUP(HR)=1
0099      HIBAC(HR)=HBARP
0100      ICORD(HR)=ICORP
0101      NIBAB(HR)=0
0102      GO TO 31
0103 29 DWI=DW2(NBARY,ICORY)
0104      IVOUP(HR)=2
0105      HIBAB(HR)=NBARY
0106      ICORD(HR)=ICORY
```

PAGE 0003 SEG8 CFTH4--RELEASE 24177B--JULY, 1971

```
0107      NIBAC(NR)=0
0108 31 WRITE(KCOD,1)N
0109 1 FORMAT(//," MENOR INCREMENTO DE CARGA, PASSO=",I3)
0110 DUP=(OSCIL+DWI+DWA)/(OSCIL+1.)
0111 WRITE(KCOD,2)IVOUNP(NR),NIBAC(NR),ICORD(NR),DWI,DUP
0112 2 FORMAT(//," IVOUNP=",I2," NIBAC=",I2," NIBAB=",I2,
0113   " ICORD=",I2," DWI=",E14.7," DUP=",E14.7)
0114 WRITE(KCOD,3)N
0115 3 FORMAT(//," MENOR - INCREMENTOS DE CARGA, PASSO=",I3)
0116 DO 105 I=1,2
0117 IF(I-1)41,41,40
0118 40 WRITE(KCOD,4)
0119 4 FORMAT(//," VIGAS").
0120 WRITE(KCOD,5)((DW(I,J,K),K=2,4,2),J=1,NDY)
0121 GO TO 105
0122 41 WRITE(KCOD,6)
0123 6 FORMAT(//," PILARES")
0124 WRITE(KCOD,5)((DW(I,J,K),K=2,5,3),J=1,NC)
0125 5 FORMAT(//,2(E14.6,3X))
0126 105.CONTINUE
0127 86 CALL EXEC(29)
0128 CALL SEGO
0129 END
```

\*\* NO ERRORS\*

0130 \$

PAGE 0001

(FTN4--RELEASE 24177B--JULY, 1971)

```
0001  FTN4.L
0002      PROGRAM SEC9(5)
0003      REAL DF(43)
0004      COMMON HA, BR, NB, NTC, NNDS, NC, NDV, N, NPP, NF, NR, NTR
0005      COMMON RR(36,38), RJ(42,42)
0006      COMMON T(2), H(6), AXP(3,6), AZP(3,6), AZV(2,6), AMP(2,18),
0007      *EMOD, DV(42), ESFF(2,18,6), EPA(18), EPAC(18), DG(42),
0008      *NIBAC(38), IVOUP(38), ICORD(38), NIBAB(38), HF(38),
0009      *K1(38), K2(38), K3(38), PF(42), PV(42), ESFV(2,18,6),
0010      *DV(2,18,5), ICONT(36), IC
0011      KCOD=6
0012      DO 10 J=1,NR
0013      DO 51 KZ=1,NTC
0014      DF(KZ)=DG(KZ)
0015 51 CONTINUE
0016      IF(CIVOUP(J)-1)11,12,11
0017 12  W7=NIBAC(J)
0018      AX=W7/HA
0019      AXI=FRAC(AX)
0020      NIP=AXI*NA+.2
0021      IF(NIP)13,14,13
0022 14  NIP=NA
0023 13  NI=NIBAC(J)
0024      NFP=NI+1
0025      ICES=2*NNDS+HIP
0026      ICEI=ICES+1
0027      J1=2*NI
0028      J2=2*NFP
0029      DX1=DF(J2)
0030      IF(NIP-NA)15,16,15
0031 16  DF(ICEI)=BR
0032      DX1=BR
0033 15  DO 17 IH=1,NPP
0034      NX=IH*NA
0035      IF(NI-NX)18,18,17
0036 17  CONTINUE
0037 18  L=IH
0038      K=ICORD(J)
0039      WRITE(KCOD,101)ICES,ICEI
0040 101 FORMAT(1,"    TESTE-SRR, ICES,I=",2I4)
0041      IF(K-5)19,20,19
0042 20  FI1=(DF(ICES)-DF(ICEI))/H(NIP)
0043      FI2=-DX1
0044      FI3=(-ESFF(1,NI,5)*H(NIP))/(3.*EMOD*AZP(L,NIP))
0045      FI4=(-ESFF(1,NI,2)*H(NIP))/(6.*EMOD*AZP(L,NIP))
0046      GO TO 27
0047 19  FI1=-(DF(ICES)-DF(ICEI))/H(NIP)
0048      FI2=DF(J1)
0049      FI3=(-ESFF(1,NI,2)*H(NIP))/(3.*EMOD*AZP(L,NIP))
0050      FI4=(-ESFF(1,NI,5)*H(NIP))/(6.*EMOD*AZP(L,NIP))
0051      GO TO 27
0052 11  W7=NIBAB(J)
0053      AX=W7/HA
```

PAGE 0002 SEG9 CFTN4--RELEASE 241778--JULY, 1971

```
0054      AXI=FRACC(AX)
0055      HIV=AXI*NA+.2
0056      IF(NIV>21.22.21
0057      22 HIV=NA
0058      21 DO 23 IN=1,NB
0059      NX=IN*NA
0060      IF(NIBAB(J)-NX)>24.24.23
0061      23 CONTINUE
0062      24 L=IN
0063      HFV=NIBAB(J)+NA
0064      J2=2*NIBAB(J)
0065      J1=J2-1
0066      K2=2*HFV
0067      K1=K2-1
0068      NI=NIBAB(J)
0069      K=ICORD(J)
0070      IF(K-2)>25.26.25
0071      26 FI1=DF(J2)
0072      FI2=(-ESFF(2,NI,2)*T(L))/(3.*EMOD*AZV(L,HIV))
0073      FI3=(ESFF(2,NI,4)*T(L))/(6.*EMOD*AZV(L,HIV))
0074      FI4=-(DF(J1)-DF(K1))/T(L)
0075      GO TO 27
0076      25 FI1=-DF(K2)
0077      FI2=(ESFF(2,NI,4)*T(L))/(3.*EMOD*AZV(L,HIV))
0078      FI3=(-ESFF(2,NI,2)*T(L))/(6.*EMOD*AZV(L,HIV))
0079      FI4=(DF(J1)-DF(K1))/T(L)
0080      27 RR(N,J)=FI1+FI2+FI3+FI4
0081      10 CONTINUE
0082      WRITE(KCOD,1)N
0083      1 FORMAT(//,"      SRR - ROTACAO DAS ROTULAS, NO PASSO=",I3)
0084      WRITE(KCOD,2)(RR(N,J),J=1,NR)
0085      2 FORMAT(6X,8E14.6)
0086      CALL EXEC(29)
0087      CALL SEG0
0088      END
```

\*\* NO ERRORS\*

PAGE 0001 CFTN4--RELEASE 241778--JULY, 1971

```
0001      FUNCTION FRACC(A)
0002      I=A
0003      FRAC=A-I
0004      RETURN
0005      END
```

\*\* NO ERRORS\*

0006 \$

PAGE 0001

(FTN4--RELEASE 241778--JULY, 1971)

```
0001  FTN4.L
0002      PROGRAM SE10(5)
0003      REAL X(64)
0004      INTEGER B(128),F(3),P(5)
0005      COMMON NR,BR,NB,L,NHDS,HC,HDV,HN,NPP,NF,HR,NTR
0006      COMMON RR(36,38),RJ(42,42)
0007      COMMON T(2),H(6),AXP(3,6),AZP(3,6),AZV(2,6),AMP(2,18),
0008      *EMOD,DV(42),ESFF(2,18,6),EPA(18),EAP(18),DF(42),
0009      *NIBAC(38),IV0UP(38),ICORD(38),NIBAB(38),MF(38),
0010      *K1(38),K2(38),K3(38),PF(42),PV(42),ESFY(2,18,6),
0011      *DW(2,18,5),ICOHT(36),IC
0012      EQUIVALENCE (X(1),B(1))
0013      DATA F/2HCE,2HSA,1HR/
0014      CALL RMPAR(P)
0015      IF(P(1)>10.40
0016      10 DO 30 N=1,L
0017      DO 20 J=1,L
0018      20 X(J)=RJ(N,J)
0019      30 CALL EXEC(15,2,B,128,F,N)
0020      GO TO 60
0021      40 DO 50 N=1,L
0022      CALL EXEC(14,2,B,128,F,N)
0023      DO 50 J=1,L
0024      50 RJ(N,J)=X(J)
0025      60 CALL EXEC(29)
0026      CALL SEGO
0027      END
```

\*\* NO ERRORS \*

0028 \$

PAGE 0001

CFTN4--RELEASE 24177B--JULY, 1971

```
0001  FTN4.L
0002      PROGRAM SE11(5)
0003      INTEGER Q(5)
0004      REAL B(42),Y(42),X(42)
0005      COMMON HA,BR,NB,N,NHOS,NC,NDV,NN,NPP,NF,NR,NTR
0006      COMMON RR(36,38),A(42,42)
0007      COMMON T(2),H(6),AZP(3,6),AZV(2,6),AHP(2,18),
0008      *EMOD,DY(42),ESFF(2,18,6),EPA(18),EAP(18),DF(42),
0009      *NIBAC(38),IVOUP(38),ICOR0(38),NIBAB(38),MF(38),
0010      *K1(38),K2(38),K3(38),PF(42),PV(42),ESFV(2,18,6),
0011      *DW(2,18,5),ICONT(36),IC
0012      CALL RMPAR(Q)
0013      KCOD=6
0014      IF(Q(1)>10,11
0015      10 DO 12 I=1,N
0016      12 B(I)=PF(I)
0017      GO TO *13
0018      11 DO 14 I=1,N
0019      14 B(I)=PV(I)
0020      13 ERRO=1.E-3
0021      A1=A(1,1)
0022      IF(A1-ERRO)>102,102,30
0023      30 AUX1=SQRT(A1)
0024      A(1,1)=AUX1
0025      DO 60 I=2,N
0026      A(I,1)=A(I,1)/AUX1
0027      60 CONTINUE
0028      DO 100 J=2,N
0029      AJ=A(J,J)
0030      IF(AJ-ERRO)>102,102,65
0031      65 L1=J-1
0032      SOMA=0.
0033      DO 70 K=L1,L1
0034      AUX2=A(J,K)
0035      70 SOMA=AUX2*AUX2+SOMA
0036      A(J,J)=SQRT(AJ-SOMA)
0037      IF(J-N)>75,104,104
0038      75 L2=J+1
0039      DO 90 I=L2,N
0040      SOMA=0.
0041      DO 80 K=1,L1
0042      SOMA=A(I,K)*A(J,K)+SOMA
0043      80 CONTINUE
0044      A(I,J)=(A(I,J)-SOMA)/A(J,J)
0045      90 CONTINUE
0046      100 CONTINUE
0047      102 WRITE(KCOD,103)
0048      103 FORMAT(//," A MATRIZ NAO E POSITIVA DEFINIDA")
0049      IC=2
0050      CALL EXEC(29)
0051      CALL SEGO
0052      104 Y(1)=B(1)/AUX1
0053      DO 110 I=2,N
```

PAGE 0002 SE11 (FTN4--RELEASE 241778--JULY, 1971)

```
0054      L=I-1
0055      SOMA=0.
0056      DO 108 J=1,L
0057      SOMA=SOMA+A(I,J)*Y(J)
108 CONTINUE
0059      Y(I)=(B(I)-SOMA)/AC(I,I)
0060      110 CONTINUE
0061      X(H)=Y(H)/AC(H,H)
0062      H1=H-1
0063      DO 120 J=1,H1
0064      SOMA=0.
0065      I=H-J
0066      I1=I+1
0067      DO 115 L=I1,H
0068      SOMA=SOMA+A(L,I)*X(L)
115 CONTINUE
0070      X(I)=(Y(I)-SOMA)/AC(I,I)
0071      120 CONTINUE
0072      IF(Q(1)>15,16
0073      15 DO 17 I=1,H
0074      17 DV(I)=X(I)
0075      GO TO 18
0076      16 DO 19 I=1,H
0077      19 DV(I)=X(I)
0078      18 CALL EXEC(29)
0079      CALL SEGO
0080      END
```

\*\* NO ERRORS\*

0081 \$

PAGE 0001 (FTN4--RELEASE 241778-JULY, 1971)

```
0001  FTN4.L
0002      PROGRAM SE12(S)
0003      COMMON HA,BR,NB,HTC,HH05,HC,HDV,N,NPP,NF,HR,HTR
0004      COMMON RR(36,38),RJ(42,42)
0005      COMMON T(2),H(6),AXP(3,6),AZP(3,6),AZV(2,6),AMP(2,18),
0006      *EMOD,DV(42),ESFF(2,18,6),EPAC(18),EAP(18),DF(42),
0007      *NIBAC(38),IVOUPC(38),ICORD(38),HIBAB(38),MF(38),
0008      *K1(38),K2(38),K3(38),PF(42),PV(42),ESFY(2,18,6),
0009      *DW(2,18,5),ITT(36),IC,DWI,HUIT
0010      COMMON M,ICONT
0011      KCOD=6
0012      ICONT=BR
0013      HD=HR
0014      DO 100 I=1,2
0015      IF(I-1)10,10,11
0016      10 DO 100 J=1,NC
0017      DO 100 K=2,5,3
0018      AY=ABS(DW(I,J,K)/DWI-1.)
0019      IF(AY-0.04)22,22,100
0020      22 IF(NIBAC(HD)-J)12,20,12
0021      20 IF(ICORD(HD)-K)12,100,12
0022      12 HR=NR+1
0023      ICONT=ICONT+1
0024      IVOUP(HR)=I
0025      ICORD(HR)=K
0026      NIBAC(HR)=J
0027      NIBAB(HR)=0
0028      WRITE(KCOD,1)N
0029      1 FORMAT(//," OTRAS - ROTULAS SIMULTANEAS, PASSO=",I3)
0030      WRITE(KCOD,2)IVOUP(HR),NIBAC(HR),ICORD(HR)
0031      2 FORMAT(//," IVOUP=",I2,", NIBAC=",I2,", ICORD=",I2)
0032      100 CONTINUE
0033      11 DO 101 J=1,NDV
0034      DO 101 K=2,4,2
0035      AY=ABS(DW(I,J,K)/DWI-1.)
0036      IF(AY-0.04)23,23,101
0037      23 IF(NIBAB(HD)-J)13,21,13
0038      21 IF(ICORD(HD)-K)13,101,13
0039      13 HR=NR+1
0040      ICONT=ICONT+1
0041      IVOUP(HR)=I
0042      ICORD(HR)=K
0043      NIBAB(HR)=J
0044      NIBAC(HR)=0
0045      WRITE(KCOD,1)N
0046      WRITE(KCOD,3)IVOUP(HR),NIBAB(HR),ICORD(HR)
0047      3 FORMAT(//," IVOUP=",I2,", NIBAB=",I2,", ICORD=",I2)
0048      101 CONTINUE
0049      WRITE(KCOD,4)NR,ICONT
0050      4 FORMAT(//," OTRAS-",", NR=",I2,", ICONT=",I2)
0051      CALL EXEC(29)
0052      CALL SEG0
0053      END
```

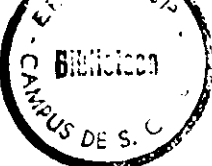
\*\* NO ERRORS\*

0054 \$

BIBLIOGRAFIA

01. TRANBERG, W.; SWANNELL, P. and MEEK, J.L., "Frame Collapse Using Tangent Stiffness", Journal of the Structural Division, ASCE. Vol. 102, No. ST3, Proc. Paper 11979, March, 1976, pp. 659-673.
02. NEAL, B.G., "The Plastic Methods of Structural Analysis", third (S.I.) edition, Chapman and Hall Ltd, 11 New Fetter Lane-London EC4P 4EE, 1977, 205 p.
03. HORNE, M.R., "Plastic Theory of Structures", First M. I.T. Press Edition, Great Britain, 1971, 173 p.
04. MAJID, K.I. and ANDERSON, D., "The Computer Analysis of Large Multi-Storey Framed Structures", The Structural Engineer, Vol. 46, No. 11, November, 1968, pp. 357-365.
05. LIAPUNOV, S., "Ultimate Load Studies of Plane Multistory Steel Rigid Frames", thesis presented to the Graduate Division of the School of Engineering and Science of New York University, at New York, N.Y., on April 26, in 1973, in partial fulfillment of the requirements for the degree of Doctor of Philosophy.
06. WANG, C.K., "Matrix Methods of Structural Analysis", International Texbook Company, Scranton, Pa., 1966, 300 p.
07. ANTUNES, H.M.C.C., "Carregamento Crítico de Instabilidade Geral para Estruturas Tridimensionais de Edifícios Altos", Tese apresentada à Escola de Engenharia de São Carlos - USP, em São Carlos, SP, 1978.
08. CHEONG-SIAT-MOY, F., "Inelastic Sway Buckling of Multistory Frames", Journal of the Structural Division, ASCE, Vol. 102, No. ST1, Proc. Paper 11848, January, 1976, pp. 65-75.

09. HORNE, M.R. and MERCHANT, W., "The Stability of Frames", Pergaman Press Ltd, 1965, 179 p.
10. PACITTI, T., "Fortran Monitor, Princípios", Ao Livro Técnico S.A., R.J., 1968, 219 p.
11. GALAMBOS, T.V., "Structural Members and Frames", Prentice-Hall, Inc., Englewood Cliffs, N.J., 1968, 373 p.
12. MACNAMEE, B.M. and LU, L.W., "Inelastic Multistory Frame Buckling", Journal of the Structural Division, ASCE, Vol. 98, No. ST7, Proc. Paper 9062, July, 1972, pp. 1613-1631.
13. SORIANO, H.L., "Formulação dos Métodos de Gauss e de Cholesky para a Análise Matricial de Estruturas", Trabalho apresentado à COPPE-UFRJ, Rio de Janeiro, 1972, 77 p.
14. ANTUNES, H.M.C.C., "Instabilidade Elástica de Estruturas Lineares Planas Usuais", Dissertação apresentada à Escola de Engenharia de São Carlos - USP, São Carlos, SP, 1972.
15. LU, L.W.; OZER, E.; DANIELS, J.H.; OKTEN, O.S. and MORINO, S., "Strength and Drift Characteristics of Steel Frames", Journal of the Structural Division, ASCE, Vol. 103, No. ST11, Proc. Paper 13372, November, 1977, pp. 2225-2241.
16. CHEONG-SIAT-MOY, F.; OZER, E. and LU, L.W., "Strength of Steel Frames under Gravity Loads", Journal of the Structural Division, ASCE, Vol. 103, No. ST6, Proc. Paper 13021, June, 1977, pp. 1223-1235.
17. User's Manual, Moving-Head Disc Operating Sistem, Hewlett - Packard Company, 11000 Wolfe Road, Cupertino California 95014, Second Edition, 1971, U.S.A.
18. TRANBERG, W.; SWANNELL, P. and MEEK, J.L., "Frame Collapse Using Tangent Stiffness", Journal of the Structural Division, ASCE, Vol. 102, No. ST3, Proc. Paper 11979, March, 1976, pp. 659.



19. TRANBERG, W.; SWANNELL, P. and MEEK, J.L., "Frame Colapse Using Tangent Stiffness", Journal of the Structural Division, ASCE. Vol. 102, No. ST3, Proc. Paper 11979, March, 1976, pp. 660.
20. LIAPUNOV, S., "Ultimate Load Studies of Plane Multistory Steel Rigid Frames", thesis presented to the Graduate Division of the School of Engineering and Science of New York University, at New York, N.Y., on April 26, in 1973, in partial fulfillment of the requirements for the degree of Doctor of Philosophy, pp. 8.
21. LIAPUNOV, S., "Ultimate Load Studies of Plane Multistory Steel Rigid Frames", thesis presented to the Graduate Division of the School of Engineering and Science of New York University, at New York, N.Y., on April 26, in 1973, in partial fulfillment of the requirements for the degree of Doctor of Philosophy, pp. 9.
22. LIAPUNOV, S., "Ultimate Load Studies of Plane Multistory Steel Rigid Frames", thesis presented to the Graduate Division of the School of Engineering and Science of New York University, at New York, N.Y., on April 26, in 1973, in partial fulfillment of the requirements for the degree of Doctor of Philosophy, pp. 10 and 64.